



ISBN 974-644-135-3

รายงานการวิจัย

เรื่อง

แบบจำลองกระบวนการสร้างผลผลิตข้าวในภาคใต้

Yield Elaboration Model for Rice in Southern Thailand

เลขที่
เลขหน่วย
Bib Key
.....

โดย

นายรังสรรค์ อากาศพงกุล
ภาควิชาพิชศาสตร์
คณะทรัพยากรธรรมชาติ
มหาวิทยาลัยสงขลานครินทร์

ได้รับทุนอุดหนุนการวิจัยประเภททั่วไป ประจำปี 2538 จากสำนักคณะกรรมการวิจัยแห่งชาติ

พฤษภาคม 2544

Abstract:

An understanding of the yield elaboration process and the stages of plant growth and development from seed germination until physiological maturity at harvesting is useful in the interpretation and analysis of limited-grain-yield problems. The interaction of plant-soil-climate with various cultural practices are important in defining a model to predict grain yield. The objectives of this research were to study the effects of nitrogen availability and planting methods on plant growth and development within the yield elaboration process, to analyse the patterns of each variable, and to define genetic coefficients and parameters for defining a yield elaboration model in the south climate.

A rice cultivar known as Chieng Phatthalung was used in the study. Pot and field experiments were conducted from September 1995 through February 1996 (the wet season). Two outdoor pot experiments were undertaken. The first studied the yield elaboration process with six N allocation rates: 0, 75, 125, 187.5, 250 and 312.5 kg N ha⁻¹ were applied in a randomized complete block design with three pots per treatment per replication for three replications. The second outdoor pot experiment examined apical development stages with four N application rates: 0, 75, 125 and 187.5 kg N ha⁻¹ (equivalent) were applied to 11 pots per treatment. An on-farm study examined the difference in the yield elaboration process between wet sown rice and transplanted rice. Plant density in wet-sown rice was about 400 plants m⁻², and the hill spacing in transplanted rice was approximately 16-20 hills m⁻². The number of plants hill⁻¹ and the hill spacing in each farmer's field varied according to individual practices. The rate of N application was 75 kg N ha⁻¹. The experimental design was also conducted as a randomized complete block by using each farmer's field as a block.

The results of the pot experiments showed that the beginning of tillering, the turning point of leaf appearance, panicle initiation, flag leaf stage, 50% flowering, and physiological maturity were found at about 220, 520, 1,200, 1,790, 2,015 and 2,520^oCd, equivalent to 11, 27, 62, 92, 103 and 129 days after sowing (DAS), respectively. The total number of leaves on the main stem was 15-16. The turning point of leaf appearance and panicle initiation coincided with the appearance of the 8-9th and 12-13th leaves, respectively. N showed positive effects in increased stem height, panicle length, number of primary rachis-branches, number of tillers, leaf components, total above-ground dry matter, yield and yield components, %N and N uptake. Not all results gave a positive correlation - the number of leaves culm⁻¹, specific leaf, leaf area ratio

and grain filling percentage were not significantly different between the treatments, and the weight of 1,000 grains and the harvest index were both higher in the non-N treated trials. Also, the N uptake at harvest decreased in the N trials, especially in the higher application trials. The observations of different planting methods showed that the growth and development stages of wet sown rice occurred earlier than in transplanted rice, probably due to transplant shock. Timing for the beginning of tillering, 50% flowering and physiological maturity were 410, 1,920, and $2,380^{\circ}\text{Cd}$, or about 21, 99 and 122 DAS for wet sown rice and 760, 2,110 and $2,535^{\circ}\text{Cd}$ or about 39, 108 and 130 DAS for transplanted rice, respectively. However, the beginning of stem elongation for wet sown rice was later than that for transplanted rice at about 1,090 and 940°Cd or about 56 and 48 DAS, respectively. Generally, a higher density in the number of plants and tillers for wet sown rice gave a higher leaf area and total above-ground dry matter before the 50% flowering stage. Analysis of yield components showed that wet sown rice had a higher number of panicles but a lower number of spikelets and number of grains than transplanted rice. Percentage of filled grains and the 1,000 grain weight were not different between the planting methods. Overall grain yield and harvest index were also low in wet sown rice. The %N at various stages was lower in wet sown rice, however the total N uptake at maturity was not significantly different between the methods. The wet sown rice did show a lower uptake in the grains. Non-linear equations and linear regression were used to show the patterns of growth and development.

บทคัดย่อ

ความเข้าใจกระบวนการสร้างผลผลิตพืชอย่างเป็นลำดับขั้นตอนของการเจริญเติบโตและพัฒนาการ ตั้งแต่เมล็ดเริ่มอกในช่วงเริ่มการเพาะปลูกจนสิ้นสุดการสะสมน้ำหนักแห้งของเมล็ดที่ระยะสุกแก่ทางสรีวิทยาในช่วงเก็บเกี่ยวผลผลิต จะมีประโยชน์อย่างยิ่งสำหรับการขอใบอนุญาตและวิเคราะห์นำเสนอเหตุของปัญหาต่าง ๆ ที่จำกัดระดับผลผลิตพืช ผลที่เกิดขึ้นจากอันตรกิริยาระหว่างพืช-ดิน-ภูมิอากาศ และการเขตกรรมด้านต่าง ๆ ในแต่ละขั้นตอนการเจริญเติบโตและพัฒนาการ จะมีความสำคัญในการกำหนดรูปแบบจำลองการประมาณค่าผลผลิตของพืช วัดถูประสงค์ของ การวิจัยครั้งนี้เพื่อ ศึกษาอิทธิพลของในต่อเจนและแบบบริการปลูกที่มีผลต่อลักษณะการเจริญเติบโตและพัฒนาการของข้าวพันธุ์เสียงพักลุงที่เกิดขึ้นในกระบวนการสร้างผลผลิต พร้อมทั้งศึกษา วิเคราะห์รูปแบบของด้วยตัวต่าง ๆ ที่มีส่วนเกี่ยวข้องกับองค์ประกอบผลผลิต ตลอดจนการหาค่า สัมประสิทธิ์พันธุกรรมและค่าพารามิเตอร์ต่าง ๆ ที่สำคัญสำหรับแบบจำลองการสร้างผลผลิตข้าว ในสภาพภูมิอากาศของภาคใต้ การวิจัยครั้งนี้ได้ทำการทดลองห้องสภาพการปลูกในกระถางและใน แปลงนาเกษตรกรช่วงฤดูนาปีระห้วงเดือนกันยายน 2538 ถึงเดือนกุมภาพันธ์ 2539 การทดลองใน กระถางมี 2 การทดลอง การทดลองแรกเป็นการศึกษากระบวนการสร้างผลผลิตของข้าว อัตรา ในต่อเจนที่กำหนดมี 6 ระดับ คือ 0, 12, 20, 30, 40 และ 50 กก. ในต่อเจน ไร¹ วางแผนการ ทดลองแบบสุ่มในบล็อกสมบูรณ์ มีจำนวน 3 ชั้้า ๆ ละ 3 กระถาง หรือเมนต์¹ การทดลองที่สอง เป็นการศึกษาระยะพัฒนาการต่าง ๆ ของตายอด อัตราในต่อเจนมี 4 ระดับ คือ 0, 12, 20 และ 30 กก. ในต่อเจน ไร¹ และหรือเมนต์ในต่อเจนแต่ละระดับมีจำนวน 11 กระถาง ส่วนการทดลองใน แปลงนาเกษตรกรเป็นการศึกษาความแตกต่างกระบวนการสร้างผลผลิตของข้าวระหว่างวิธีการ ปลูกแบบหัวน้ำดมกับการปลูกแบบปักดำ ความหนาแน่นจำนวนต้นมีค่าโดยประมาณ 400 ต้น เมตร² และ 16-20 กก เมตร² ตามลำดับ ระยะความห่างระหว่างกอจะชั้นอยู่กับความเคียนของ เกษตรกรเจ้าของแปลง อัตราในต่อเจนที่ใส่เท่ากับ 12 กก. ในต่อเจน ไร¹ การทดลองวางแผน แบบสุ่มในบล็อกสมบูรณ์ โดยใช้แปลงนาเกษตรกรแต่ละรายที่มีวิธีการปลูกแต่ละแบบเป็นชั้า รวม จำนวน 6 ชั้า

ผลการทดลองในกระถางได้แสดงให้เห็นว่า ระยะเริ่มสร้างหน่อ จุดวอกลับของอัตราการ ปรากฏใน ระยะเริ่มกำเนิดตากอก ระยะใบธง ระยะดอกบาน 50% และระยะสุกแก่ทางสรีวิทยา มีค่าโดยประมาณ 220, 520, 1,200, 1,790, 2,015 และ 2,520 °Cd หรือเท่ากับ 11, 27, 62, 92, 103 และ 129 วันหลังการหัวน้ำดมเมล็ดข้าวออก ตามลำดับ จำนวนใบต้นหลักมีใบทั้งหมดประมาณ 15-16 ใน จุดวอกลับของอัตราการปรากฏใน และการกำเนิดตากอกจะเกิดขึ้นเมื่อต้นหลักมีใบประมาณ 8-9 ใบ และ 12-13 ใบ ตามลำดับ ในต่อเจนมีผลเด่นชัดต่อการเพิ่มความสูงลำต้น ความยาวของ จำนวนระแหงปูมภูมิ จำนวนหน่อ องค์ประกอบพื้นที่ใน น้ำหนักแห้งของพืชส่วนหนึ่งต่อวัน ผลผลิต

และองค์ประกอบผลผลิต เปอร์เซ็นต์และปริมาณในโทรศัพท์ส่วนหนึ่งอีกดิน ในการนี้ของจำนวนใบ ตันหั้งหมด¹ ค่าพื้นที่เป็นจำเพาะ อัตราส่วนพื้นที่ใบ และเปอร์เซ็นต์เมล็ดเต็มไม่แสดงผลแตกต่างระหว่างทรีเมนต์ ในทางตรงข้ามน้ำหนัก 1,000 เมล็ด และต้นนี้การเก็บเกี่ยวผลผลิตของทรีเมนต์ที่ไม่ใช่ในโทรศัพท์จะมีค่ามากกว่าทรีเมนต์ที่ไม่ใช่ในโทรศัพท์ นอกจากนี้ปริมาณในโทรศัพท์ส่วนหนึ่งอีกดินจะมีค่าลดลงในช่วงเก็บเกี่ยวผลผลิตตามอัตราในโทรศัพท์ที่เพิ่มขึ้น สำหรับความแตกต่างระหว่างแบบวิธีการปลูกพบว่า การปลูกแบบหัวน้ำตามที่ไม่มีขั้นตอนการถอนกล้าจะมีการเจริญเติบโตและพัฒนาการที่ระยะต่าง ๆ ได้เร็วกว่าการปลูกแบบปักชำ โดยระยะเริ่มสร้างหน่อระยะดอกบาน 50% และระยะสุกแก่ทางสรีรวิทยาของการปลูกแบบหัวน้ำตามมีค่าประมาณ 410, 1,920 และ 2,380 °Cd หรือเท่ากับ 21, 99 และ 122 วันหลังการหัวน้ำตามเมล็ดข้าวอก ส่วนการปลูกแบบปักชำมีค่าเท่ากับ 760, 2,110 และ 2,535 °Cd หรือเท่ากับ 39, 108 และ 130 วันหลังการหัวน้ำตามเมล็ดข้าวอก ตามลำดับ อย่างไรก็ตามระยะเริ่มยึดลำต้นของการปลูกแบบหัวน้ำตามจะขึ้นกับการปลูกแบบปักชำซึ่งมีค่าโดยประมาณ 1,090 และ 940 °Cd หรือเท่ากับ 56 และ 48 วันหลังการหัวน้ำตามเมล็ดข้าวอก ตามลำดับ สภาพทั่วไปของการปลูกแบบหัวน้ำตามซึ่งมีจำนวนต้นและหน่อที่หนาแน่นกว่า จะมีผลทำให้พื้นที่ใบและน้ำหนักแห้งหั้งหมดของพืชส่วนหนึ่งอีกดินในช่วงก่อนระยะดอกบาน 50% มีค่ามากกว่า ผลการวิเคราะห์องค์ประกอบผลผลิตได้แสดงให้เห็นว่า การปลูกแบบหัวน้ำตามมีจำนวนรวมมากกว่า แต่มีจำนวนดอกและจำนวนเมล็ดน้อยกว่า ส่วนเปอร์เซ็นต์เมล็ดเต็มและน้ำหนัก 1,000 เมล็ด ไม่แสดงความแตกต่างระหว่างแบบวิธีการปลูกหั้งสอง ระดับผลผลิตและต้นนี้เก็บเกี่ยวของ การปลูกแบบหัวน้ำตามจะมีค่าต่ำกว่าตัวอย่าง ถึงแม้ว่า เปอร์เซ็นต์ในโทรศัพท์ส่วนหนึ่งอีกดินของวิธีการปลูกแบบหัวน้ำตามทุก ๆ ช่วงระยะการเจริญเติบโตและพัฒนาการ จะมีค่าต่ำกว่าการปลูกแบบปักชำทุกແปริมาณในโทรศัพท์ส่วนหนึ่งอีกดินที่ระยะเก็บเกี่ยวผลผลิตระหว่างวิธีการปลูกหั้งสองไม่แสดงผลความแตกต่างกัน อย่างไรก็ตาม การปลูกแบบหัวน้ำตามจะมีปริมาณในโทรศัพท์ส่วนของเมล็ดน้อยกว่า รูปแบบต่าง ๆ ของการเจริญเติบโตและพัฒนาการในแต่ละลักษณะของข้าวพันธุ์เชียงพหลุงที่สมพันธ์กับค่าความร้อน สะสมภายหลังการหัวน้ำตามเมล็ดข้าวอกและความสมพันธ์ต่าง ๆ ระหว่างตัวแปร 2 ลักษณะที่เกี่ยวข้องได้แสดงในรูปสมการวีเกรฟชันและสมการไม่เชิงเส้น

สารบัญเรื่อง

	หน้า
กิตติกรรมประกาศ	I
บทคัดย่อ	II
สารบัญเรื่อง	VI
สารบัญตาราง	IX
สารบัญภาพ	XI
คำย่อและสัญลักษณ์ที่ใช้ในการวิจัย	xiv
 บทนำ	 1
 วิธีการดำเนินการวิจัย	 6
ลักษณะงานที่ศึกษาและสถานที่ทดลอง	6
พันธุ์ข้าวที่ศึกษา	6
ลักษณะต่าง ๆ ของคุณสมบัติดิน	7
การเตรียมดินของทางทดลองในกระบวนการ	7
วิธีการปลูก การเขตกรรม และแผนงานทดลอง	7
การเก็บตัวอย่างพืชและการบันทึกข้อมูล	9
อายุการเจริญเติบโตและพัฒนาการของพืช	15
ปริมาณรังสีแสงสังเคราะห์	16
การสะสมน้ำหนักแห้งของเมล็ด	17
การก่อเกิดผลผลิต	18
การวิเคราะห์ข้อมูลและการคำนวณค่าพารามิเตอร์	19
 ผลการวิจัย	 20
สภาพภูมิอากาศในช่วงการทดลอง	20
อายุพืชที่ระยะต่าง ๆ ของการเจริญเติบโตและพัฒนาการ	22
การประกอบใบ	23
การยึดจำต้น	25

	หน้า
พัฒนาการของตากออก จำนวนต้น	28
จำนวนหน่อ	32
พื้นที่ใบและองค์ประกอบพื้นที่ใบ	37
น้ำหนักแห้งพืชส่วนเห็นออดิน	41
พื้นที่ใบจำเพาะและอัตราส่วนพื้นที่ใบ	52
การประมาณค่าพื้นที่ใบ	59
ปริมาณการดูดกลืนรังสีแสงสังเคราะห์	66
การเจริญเติบโตของเมล็ด	68
ผลผลิตและองค์ประกอบผลผลิต	72
ตัวนีกการเก็บเกี่ยว	76
ปริมาณในตอรเจนในส่วนพืช	84
 วิจารณ์ผล	 99
สภาพภูมิอากาศที่มีอิทธิพลต่อการเจริญเติบโตและพัฒนาการของข้าว	99
การเจริญเติบโตและพัฒนาการของต้นหลัก	101
ในตอรเจนและแบบวิธีการปลูกที่มีผลต่อการเจริญเติบโตและการสร้างสม	
น้ำหนักแห้ง	104
พื้นที่ใบจำเพาะและอัตราส่วนพื้นที่ใบ	110
ความสัมพันธ์ระหว่างพื้นที่ใบกับน้ำหนักแห้ง	111
ประสิทธิภาพการใช้รังสีแสงสังเคราะห์	112
รูปแบบและลักษณะการเจริญเติบโตของเมล็ด	114
การวิเคราะห์ผลผลิตและองค์ประกอบผลผลิต	118
การก่อเกิดและ การแปรผันของตัวนีกการเก็บเกี่ยว	120
ลักษณะการเปลี่ยนแปลงของในตอรเจนในพืชส่วนเห็นออดิน	124
 สรุปผลและข้อเสนอแนะ	 129
เอกสารอ้างอิง	133
ภาคผนวก	149
Appendix A. Soil properties	149
Appendix B. Soil texture	151

	หน้า
Appendix C. NH_4^+ -N at sowing and harvesting	152
Appendix D. Previous crop and cultural practices within farmer's field (1995-96 wet season)	153
Appendix E. Responses of morphological and physiological traits to nitrogen application rates for pot experiment	154
แบบประวัตินักวิจัย	158

สารบัญตาราง

(List of Tables)

	Page
Table 1. Climatic conditions during the growing season 1995-96.	20
Table 2. Accumulated thermal time after sowing ($^{\circ}\text{Cd}$) at various growth stages for pot experiment and field experiment.	22
Table 3. Number of leaves on main stem at various growth stages for pot experiment.	25
Table 4 Number of leaves on the main stem as a function of thermal time in $^{\circ}\text{Cd}$ after sowing, phyllochron and the coefficient of determination (r^2) for treatment nitrogens in pot experiment at various growth stages.	26
Table 5. Developmental stages of the apical at the main shoot following Matsushima's classification for the four nitrogen treatments during the stem elongation stage.	29
Table 6. Culm height, panicle length and number of primary rachis-branches of the main shoot at harvest for the four N application rates.	32
Table 7. Number of culms pot^{-1} for pot experiment and number of culms m^{-2} for field experiment at various growth stages.	35
Table 8. Number of tillers plant^{-1} at various growth stages for pot experiment and field experiment.	42
Table 9. Correlation matrix of leaf area components for pot experiment and field experiment.	43
Table 10. Leaf area in $\text{cm}^2 \text{pot}^{-1}$ for pot experiment and leaf area in $\text{cm}^2 \text{m}^{-2}$ for field experiment at various growth stages.	45
Table 11. Number of leaves pot^{-1} for pot experiment and number of leaves m^{-2} for field experiment at various growth stages.	48
Table 12. Number of leaves culm^{-1} at various growth stages for pot experiment and field experiment.	49
Table 13. Leaf size in $\text{cm}^2 \text{leaf}^{-1}$ at various growth stages for pot experiment and field experiment.	51

	Page
Table 14. Leaf dry weight at various growth stages in g pot ⁻¹ for pot experiment and in g m ⁻² for field experiment.	53
Table 15. Stem dry weight at various growth stages in g pot ⁻¹ for pot experiment and in g m ⁻² for field experiment.	54
Table 16. Above-ground dry matter at various growth stages in g pot ⁻¹ for pot experiment and in g m ⁻² for field experiment.	59
Table 17. Specific leaf area at various growth stages for pot experiment and field experiment.	61
Table 18. Leaf area ratio at various growth stages for pot experiment and field experiment.	62
Table 19. Estimation of final grain weight, maximum rate of grain filling and duration in accumulated thermal time from anthesis to 0.95 of final grain weight for pot experiment and field experiment.	75
Table 20. Yield and yield components for pot experiment and field experiment.	78
Table 21. Correlation matrix of yield and yield components for pot experiment and field experiment.	80
Table 22. Percentage of nitrogen in dry matter (%N) and nitrogen uptake (N _{UP} ; g N pot ⁻¹ or g N m ⁻²) at various growth stages for (a) pot experiment and (b) field experiment during the growing season 1995-96.	94

สารบัญภาพ

(List of Illustrations)

	Page
Fig. 1. Amount of rainfall, mean air temperature and sunshine duration at SongKhla and Phatthalung from September 1995 to February 1996.	21
Fig. 2. Relationship between number of leaves on main stem and thermal time after sowing for pot experiment.	24
Fig. 3. Relationship between stem height (culm+apex) of main stem and thermal time after sowing for field experiment of wet sown rice and transplanted rice.	27
Fig. 4. Relationship between panicle length and apical development stages for treatment N0, N1, N2 and N3 in pot experiment.	29
Fig. 5. Relationship between panicle length and thermal time after sowing for treatment N0, N1, N2 and N3 in pot experiment.	30
Fig. 6. Relationship between Huan leaf number during stem elongation and thermal time after sowing for treatment N0, N1, N2 and N3 in pot experiment.	31
Fig. 7. Relationship between number of plants m^{-2} and thermal time after sowing for field experiment of wet sown rice and transplanted rice.	33
Fig. 8. Relationship between number of culms m^{-2} and thermal time after sowing for field experiment of wet sown rice and transplanted rice.	36
Fig. 9. Relationship between number of tillers m^{-2} and thermal time after sowing for field experiment of wet sown rice and transplanted rice.	38
Fig. 10. Relationship between number of tillers $plant^{-1}$ and thermal time after sowing for pot experiment and field experiment.	40
Fig. 11. Relationship between leaf area and thermal time after sowing for field experiment of wet sown rice transplanted rice.	46
Fig. 12. Relationship between number of leaves $culm^{-1}$ and thermal time after sowing for field experiment of wet sown rice and transplanted rice.	50
Fig. 13. Relationship between leaf size and thermal time after sowing for field experiment of wet sown rice and transplanted rice.	52

	Page
Fig. 14. Relationship between leaf dry weight and thermal time after sowing for field experiment of wet sown rice and transplanted rice.	56
Fig. 15. Relationship between stem dry weight and thermal time after sowing for field experiment of wet sown rice and transplanted rice.	57
Fig. 16. Relationship between total above-ground dry matter and thermal time after sowing for field experiment of wet sown rice and transplanted rice.	60
Fig. 17. Relationship between specific leaf area and thermal time after sowing for field experiment of wet sown rice and transplanted rice.	64
Fig. 18 Relationship between leaf area ratio and thermal time after sowing for field experiment of wet sown rice and transplanted rice.	65
Fig. 19. Relationships between leaf area and leaf dry weight and total above-ground dry matter at stem elongation and 50% flowering stages for pot experiment.	67
Fig. 20. Relationship between leaf area and leaf dry weight for field experiment of wet sown rice and (b) transplanted rice.	69
Fig. 21. Relationship between leaf area and total above-ground dry matter for field experiment of wet sown rice and transplanted rice.	70
Fig. 22 Relationship between total above-ground dry matter and accumulative absorbed photosynthetically active radiation (PAR_a) for field experiment of wet sown rice and transplanted rice.	71
Fig. 23 Relationship between mean grain weight and thermal time from anthesis for pot experiment and field experiment.	73
Fig. 24 Relationship between maximum rate of grain filling and duration of grain filling with 95% confidence intervals for pot experiment and field experiment.	76
Fig. 25 Relationship between grains moisture content and thermal time after sowing for pot experiment and field experiment.	77
Fig. 26. Relationship between grain yield and number of grains area ⁻¹ for pot experiment and field experiment.	82
Fig. 27. Relationship between grain yield and weight of 1,000 grains for pot experiment and field experiment.	83

	Page
Fig. 28. Relationship between weight of 1,000 grains and number of grains area for pot experiment and field experiment.	85
Fig. 29. Relationship between harvest index during the grain filling perion and thermal time after sowing for field experiment of wet sown rice and transplanted rice.	86
Fig. 30. Relationship between harvest index and grain yield for pot experiment and field experiment.	89
Fig. 31. Relationship between harvest index and total above-ground dry matter for pot experiment and field experiment.	90
Fig. 32. Relationship between grain yield and total above-ground dry matter for pot experiment and field experiment.	91
Fig. 33. Comparison of predicted and observed grain yield for (a) pot experiment and (b) field experiment.	93
Fig. 34. Relationship between percentage of nitrogen in dry matter and total above-ground dry matter for field experiment.	96
Fig. 35. Relationship between nitrogen uptake and total above-ground dry matter at various growth stages for (a) pot experiment and (b) field experiment.	97

คำย่อและสัญลักษณ์ที่ใช้ในการวิจัย

(List of Abbreviations and symbols used)

CDTT	=accumulated daily thermal time
$^{\circ}\text{Cd}$	=degree celsius days
EXP	=exponential
D	=duration of grain filling
DGW	=dry grain weight
F	=50% flowering stage
FGW	=fresh grain weight
FLO	=flowering stage
%FG	=percentage of filled grains
GW	=grain weight
GY	=grain yield
H	=harvesting stage
HI	=harvest index
K	=extinction coefficient
L	=leaf area index
LA	=leaf area
LAR	=leaf area ratio
LDW	=leaf dry weight
L_n	=length of the youngest leaf blade above the collar of the subtending leaf
L_{n-1}	=length of the blade of the penultimate leaf
LPA	=length of panicle
LSIZE	=leaf size
M2	=square meter (m^2)
MC	=grain moisture content
N	=nitrogen application rate; maximum possible sunshine
%N	=percentage of nitrogen
N_{UP}	=nitrogen uptake
NBG	=number of non-fertilized grains

NC	=number of culms
NG	=number of grains
NL	=number of leaves
NLC	=number of leaves culm ⁻¹
NP	=number of plants
NPA	=number of panicles
NSPIK	=number of spikelets
NT	=number of tillers
%N	=percentage of nitrogen absorbed on weight basis
O _i	=the <i>i</i> th observed value
P _i	=the <i>i</i> th predicted value
PAR	=photosynthetically active radiation
PAR _a	=absorbed PAR
PAR _i	=incident PAR
PCF	=panicle conversion factor
PI	=panicle initiation stage
PMC	=pollen mother cell
PPI	=physiological panicle initiation
PW	=panicle weight
R	=maximum rate of grain filling
R ²	=coefficient of determination for non-linear regression
RMSD	=root mean square deviation
RUE	=radiation use efficiency
SE	=stem elongation stage
SLA	=specific leaf area
SDW	=stem dry weight
STH	=stem height (culm+apex)
STPA	=stage of panicle
T _{base}	=base temperature for plant growth
TDM	=total above-ground dry matter
T _{max}	=maximum temperature

T _{min}	=minimum temperature
TP	=turning point
TPR	=transplanted rice
VPI	=visual panicle initiation
W1000G	=weight of 1,000 grains
W1G	=weight of one grain
W1GB	=weight of one non-fertilized grain
WBG	=weight of non-fertilized grains
WSR	=wet sown rice
a	=constant
b	=constant
c	=constant
n	=actual duration of bright sunshine; number of samples; total number of visible leaves on the main stem
r	=coefficient of correlation
r ²	=coefficient of determination for linear regression
Σ	=sum of
si	=efficiency of intercepted radiation
>	=greater than
≥	=greater than or equal to
<	=less than
≤	=less than or equal to

บทนำ

แหล่งปลูกข้าวของภาคใต้โดยส่วนใหญ่จะกระจายอยู่ตามพื้นที่ราบลุ่มรอบ ๆ ทะเลสาบสงขลาในเขตจังหวัดนครศรีธรรมราช พัทลุง และสงขลา พื้นที่นาในส่วนนี้ประมาณกว่ามีบริเวณมากกว่า 65% ของพื้นที่ที่ทำนาทั้งหมด แม้ว่าสภาพภูมิอากาศของภาคใต้จะเอื้ออำนวยต่อการทำนาปลดสองครั้ง กล่าวคือ อุณหภูมิอากาศค่อนข้างคงที่เมื่อค่าเฉลี่ยอยู่ในช่วงระหว่าง 25-29°C และเดือนจำและฝนตกตลอดปี ปริมาณฝนรายปีรวมเฉลี่ยมากกว่า 1,600 มิลลิเมตร อย่างไรก็ตามโดยสภาพที่เป็นจริงแล้ว การทำนาในภาคใต้จะถูกกำหนดโดยการกระจายและปริมาณฝนที่ตอกหนักมาก ทำให้เกิดสภาพน้ำท่วมขังพื้นที่จนได้รับความเสียหายในช่วงฤดูนาปี ตรงกันข้ามมักจะเกิดภัยแล้งและข้าวขาดน้ำในช่วงฤดูนาปี ปริมาณข้าวเปลือกของภูมิภาคที่ผลิตได้มากที่สุดในช่วงฤดูนาปีที่พื้นที่นาทั้งหมดถูกใช้เพื่อการปลูกข้าว มีผลผลิตค่อนข้างต่ำโดยเฉลี่ยประมาณไว้ละ 35 ถั่ง (Apakupakul, 1991) ข้อมูลผลผลิตข้าวเปลือกที่รายงานโดยกองเศรษฐกิจการเกษตร กองทรัพยากรและสหกรณ์ ตั้งแต่ปี พ.ศ. 2510-2537 ได้แสดงให้เห็นว่า ผลผลิตข้าวเปลือกของภาคใต้ไม่มีแนวโน้มที่จะเพิ่มขึ้น ทั้ง ๆ ที่ในขณะปัจจุบันมีการศั้นคว้าหาข้าวพันธุ์ให้เกษตรกรปลูกทดแทนข้าวพันธุ์เก่าพื้นเมือง สงเสริมให้มีการบำรุงความอุดมสมบูรณ์ของดิน แนะนำสูตรปุ๋ยที่เหมาะสมต่อพื้นที่สำหรับการตอบสนองของข้าวแต่ละพันธุ์ รวมทั้งเทคโนโลยีอื่น ๆ ที่เกี่ยวข้องกับการเข้ากระบวนการผลิตข้าว

ปัจจัยจำกัดที่สำคัญ ๆ ของการผลิตข้าวในภาคใต้ ได้พิจารณาด้วยปัจจัยทางด้านเศรษฐกิจ ภูมิศาสตร์ นโยบาย โดยกลุ่มนักวิจัยของโครงการระบบการทำฟาร์มไทย-ฝรั่งเศส คณะทรัพยากรธรรมชาติ มหาวิทยาลัยสงขลานครินทร์ ในช่วงระหว่างปี พ.ศ. 2525 จนถึงปี พ.ศ. 2533 และได้สรุปสาเหตุของปัจจัยจำกัดการผลิตข้าวออกเป็น 2 ประเด็นสำคัญ กล่าวคือ ประเด็นแรก ผลผลิตข้าวต่ำที่ได้รับในแต่ละปีไม่เพียงแต่เกิดขึ้นเฉพาะปัจจุบันด้านขาดความอุดมสมบูรณ์เท่านั้น สภาพน้ำท่วมขังในช่วงฤดูนาปีจะเป็นสาเหตุสำคัญอีกประการหนึ่งที่มีผลกระทบต่อการเปลี่ยนแปลงองค์ประกอบผลผลิตของข้าวด้วย โดยเฉพาะอย่างยิ่งสภาพน้ำท่วมขังที่ไม่สามารถควบคุมระดับน้ำได้ในช่วงแรกของการเจริญเติบโตขณะที่เป็นระยะต้นกล้าจนถึงระยะแตกออกสูงสุด ซึ่งจะส่งผลกระทบต่อการเจริญเติบโตในช่วงต้นกล้าที่จะเกิดขึ้นระหว่างประมาณปลายเดือนตุลาคมถึงกลางเดือนพฤษจิกายน ลักษณะการตอบของผู้คนในภาคใต้ที่มีปริมาณฝนตกลงมากระหว่างเดือนพฤษจิกายนถึงเดือนธันวาคม ประกอบกับมีอัตราอุณหภูมิลดลงอย่างต่อเนื่องในช่วงเวลาเดียวกัน ทำให้สภาพพื้นที่เกือบทั้งหมดในส่วนที่ลุ่มสูดของพื้นที่บริเวณนี้เกิดสภาพน้ำท่วมขังยืดยาวออกไปจนถึงช่วงกำเนิดตัวออก และบางที่อาจจะยืดเยื้อเลยไปถึงระยะต้นของปี พ.ศ. 2534 ที่มีปริมาณฝนมากกว่าปกติ ประเด็นที่สอง ลำดับขั้นตอนทางเทคนิคของการเกษตร (itinerary of techniques) ที่มีความแตกต่างกันของแต่ละพื้นที่ในส่วนที่

เกี่ยวกับแบบวิธีการปลูก การเตรียมพื้นที่ปลูก ปริมาณและช่วงเวลาการใส่ปุ๋ย การกำจัดวัชพืช ชนิดของพื้นดินที่นิยมปลูกในพื้นที่ ตลอดจนการตัดสินใจหรือการเลือกใช้เทคโนโลยีที่เหมาะสม ของเกษตร จะมีผลทำให้กระบวนการสร้างผลผลิตของพืชในแต่ละแห่งมีความแตกต่างกัน (Sebillotte, 1978)

ผลงานของนักวิจัยกลุ่มนี้ได้ตีพิมพ์เผยแพร่ก่อนมากรามาย (Crozat et al., 1985a; 1985b; Crozat and Chitapong, 1986; Crozat et al., 1986; Apakupakul, et al., 1986; Le Gouis and Apakupakul, 1990; Trebuil, 1986; etc.) ซึ่งจากการศึกษาวิเคราะห์พื้นที่และปัจจัยจำกัดต่าง ๆ ที่มีอิทธิพลต่อกระบวนการสร้างผลผลิตของข้าวที่ปลูกในสภาพจริงบนพื้นที่นาเขตการเกษตรอาชัยน้ำ ผ่านของเกษตรกรบริเวณอำเภอสิงห์พระ จังหวัดสิงห์ลาก และอำเภอบางแก้ว จังหวัดพัทลุง พบปัญหาว่า แปลงนาเกษตรกรในช่วงฤดูกาลการทำนาปีมักเกิดสภาพน้ำท่วมขังโดยเฉลี่ยมีระดับน้ำสูงกว่า 30-50 เซนติเมตร ปัจจัยที่ได้ศึกษาผ่านมาแล้วประกอบด้วย จำนวนครั้งของการ大雨ที่มีผลต่อขนาดก้อนดินและโครงสร้างติน ปริมาณและระยะเวลาการใส่ปุ๋ยในตรรжен ชนิดของพืชตระกูลถััวที่สามารถติ่งในตรรженในสภาพน้ำท่วม ปริมาณของวัชพืช แบบวิธีการปลูกที่สอดคล้องต่อการจำกัดข้าวฟี และอื่น ๆ ผลงานเหล่านี้ให้แต่เพียงแนวความคิดของกลไกที่เกี่ยวกับการสร้างผลผลิตข้าวอย่างกว้าง ๆ แต่ยังขาดความรู้พื้นฐานและการจัดรวมข้อมูลต่าง ๆ อีกมาก โดยเฉพาะอย่างยิ่งลักษณะรูปแบบต่าง ๆ ของการเจริญเติบโตและพัฒนาการตามขั้นตอนการกระบวนการสร้างผลผลิตข้าว ที่เริ่มตั้งแต่ระยะการออกของเมล็ดเป็นต้นกล้าจนกระทั่งถึงระยะสุดท้ายทางสีรีวิทยาในช่วงเก็บเกี่ยวผลผลิต ประกอบกับในขณะปัจจุบันกำลังประสบกับปัญหาเศรษฐกิจและอัตราค่าแรงงานเพิ่มสูงขึ้นเป็นลำดับตามสภาพการคุณชีพ ส่งผลให้เกษตรกรลดพื้นที่การทำนาแบบปักดำ และหันมาให้ความสำคัญกับการปลูกแบบหัวน้ำตามมากขึ้นอย่างต่อเนื่อง ทั้งนี้เพราะว่าการทำนาแบบหัวน้ำตามใช้แรงงานน้อย ลดขั้นตอนการปฏิบัติงาน ต้นทุนการผลิตต่ำ และสามารถเก็บเกี่ยวได้เร็วขึ้น (Schnier et al., 1990a) ซึ่งผลกระทบที่ตามมาก็คือ ผลงานต่าง ๆ ที่ได้ศึกษาในกรณีการทำนาแบบปักดำไม่สามารถนำมาประยุกต์ได้กับสภาพการปลูกข้าวในสถานะการณ์ปัจจุบันอย่างไรก็ตามเทคนิคของการศึกษาให้เข้าใจอย่างลึกซึ้งถึงกลไกต่าง ๆ ด้วยการติดตามผลอย่างละเอียดในขั้นตอนต่าง ๆ อย่างเป็นลำดับตลอดช่วงการเจริญเติบโตและพัฒนาการในกระบวนการสร้างผลผลิตของพืชที่มีระบบการปลูกแต่ละแบบเปรียบเสมือนเครื่องมือที่มีความสำคัญมากต่อการอธิบายผล ซึ่งจะเห็นได้ว่าเมื่อการเจริญเติบโตและพัฒนาการของพืชในขั้นตอนใดขั้นตอนหนึ่งเกิดการเปลี่ยนแปลงไปจากสภาพปกติ ขั้นตอนของพืชที่เกิดขึ้นตามมาภายหลังขั้นตอนนั้น ๆ จะกระทั่งถึงขั้นตอนสุดท้ายของการสร้างผลผลิตจะถูกกระทบตามไปด้วย รูปแบบการเปลี่ยนแปลงและข้อมูลที่วิเคราะห์หรือความรวมได้ในแต่ละขั้นตอน สามารถนำมากำหนดการสร้างแบบจำลอง

และเป็นแนวทางที่มีประโยชน์เพื่อกำนัจฉัยปัจจัยจำกัดที่เกิดขึ้นในชั้นตอนต่าง ๆ ของการสร้างผลิตพืชแต่ละชนิดได้เป็นอย่างดี (รังสรรค์ อภากัพภกุล, 2536)

แบบจำลองพืชแต่ละชนิดที่สร้างขึ้นจะมีประโยชน์เพื่อกำหนดอิฐผลที่ได้จากการทดลอง และเป็นเครื่องมือสำคัญสำหรับการวิจัยหรือวางแผนการปลูกพืช (Whisler et al., 1986) โดยทั่วไปแบบจำลองพืชสามารถจำแนกออกเป็น 2 ประเภทใหญ่ ๆ คือ แบบจำลองเอมพิริคัล (empirical model) และแบบจำลองกล (mechanistic model) แบบจำลองทั้งสองมีความแตกต่างกันตรงที่ว่า แบบจำลองเอมพิริคัลจะที่ใช้สมการอย่างง่าย ๆ ไม่ยุ่งยากซับซ้อนสำหรับการประมาณค่า ส่วนแบบจำลองกลจะเป็นต้องพิจารณาถึงปัจจัยต่าง ๆ ที่มีอิทธิพลในแต่ละชั้นตอนของการเจริญเติบโตและพัฒนาการของพืชที่มีการเปลี่ยนแปลงตลอดเวลา และรูปแบบสมการจะมีความยุ่งยากซับซ้อนกว่ามาก อย่างไรก็ตามแบบจำลองกลได้เป็นที่ยอมรับว่ามีความถูกต้องตรงกับสภาพความเป็นจริงมากที่สุด และให้ค่าทำนายได้ถูกต้องแม่นยำที่สุดด้วย ในขณะปัจจุบันนี้แบบจำลองที่สร้างขึ้นมาและนิยมใช้กันอย่างแพร่หลายทั่วไปจะเป็นแบบจำลองกล ยกตัวอย่างเช่น ARCWHEAT (Weir et al., 1984), BEANGROW (Hoogenboom et al., 1994), CERES (Ritchie and Otter, 1984; Jones and Kiniry, 1986; Ritchie et al., 1986; Birch et al., 1990; etc.), EPIC (Williams et al., 1984), GUMCAS (Matthew and Hunt, 1994), LINTUL-BRASMAP (Hobekotte, 1997), QSUN (Chapman et al., 1985), SORGF (Maas and Arkin, 1980), SOYGROW (Wilkerson et al., 1983; Jones et al., 1984) และอื่น ๆ อีกมากกว่า 20 รูปแบบ ผังงานแบบจำลองพืชที่มีแผนภูมิอย่างง่าย ๆ (Sinclair, 1986; Muchow et al., 1990; Amir and Sinclair, 1991a, b; Sinclair and Amir, 1992) หรือผังงานที่แสดงรายละเอียดต่าง ๆ ทุกชั้นตอนอย่างชัดเจนและมีความ слับซับซ้อนมากขึ้น (O'Leary et al., 1985; Graf et al., 1990a, b, 1991; Aggarwal et al., 1994) ได้คำนึงถึงความสมพันธ์ที่มีต่อกันระหว่างพืช-ดิน-ภูมิอากาศเป็นพื้นฐาน โดยให้ความสำคัญกับปัจจัยหลักที่มีผลต่อการเจริญเติบโตและพัฒนาการตลอดช่วงอายุของพืช ประกอบด้วย อัตราการหายใจน้ำของพืช ปริมาณไนโตรเจนซึ่งเป็นธาตุอาหารหลักที่พืชมักจะแสดงอาการขาดแคลนให้เห็นอยู่เสมอ สภาพลมที่อากาศในแต่ละวันที่เกี่ยวข้องกับปริมาณรังสีทางอาทิตย์ อุณหภูมิ และปริมาณฝน เมื่อพิจารณาผังงานแบบจำลองพืชอย่างง่ายดังที่ยกตัวอย่างมาแล้ว ชั้นตอนต่าง ๆ ที่แสดงจะเกี่ยวข้องกับลำดับการเจริญเติบโตและพัฒนาการของพืช การสร้างจำนานวนไปที่สัมพันธ์กับอุณหภูมิ การสร้างมวลซึ่งภาพที่ขึ้นอยู่กับการดูดกลืนรังสีแสงสังเคราะห์ และการสะสมน้ำหนักแห้งของเมล็ดที่ถูกควบคุมโดยช่วงเวลาและอุณหภูมิ ลักษณะของแผนภูมิที่กล่าวมาเนี้จะเนื่องกับลำดับชั้นตอนของการศึกษากระบวนการสร้างผลผลิตของพืชนั้นเอง (รังสรรค์ อภากัพภกุล, 2536; Sebillotte, 1978; Boiffin et al., 1981; Sebillotte, 1989)

แนวความคิดของการวิเคราะห์กระบวนการสร้างผลผลิตพืชที่เสนอโดย Sebillotte (1980) มีจุดมุ่งหมายสำคัญเพื่อการวินิจฉัยปัจจัยที่เกี่ยวกับปัจจัยต่าง ๆ ของโครงสร้างดิน ปริมาณน้ำและธาตุอาหาร รวมทั้งสมรรถภาพมีข้าวนา ที่มีอิทธิพลต่อการสร้างผลผลิตของพืช และเพื่อยางเกณฑ์กำหนดการให้คำแนะนำสำหรับการจัดการพืชให้มีการผลผลิตที่ดีขึ้น การวิเคราะห์ผลในแนวความคิดดังกล่าวนี้ได้มีการศึกษาไว้แล้วอย่างละเอียดในพื้นที่หลายชนิด เช่น ข้าวสาลี (Masle-Meynard, 1980; Meynard, 1985) ข้าว (Pigeaire, 1980; Durr, 1984; Apakupakul, 1991) ข้าวบาเลย์ (Gbongue, 1985) ข้าวโพดเลี้ยงสัตว์ (Navarro-Garza, 1984) ถั่วเหลือง (Pigeaire, 1984) ผลที่ได้จากการศึกษาในพื้นที่เหล่านี้พยายามจะหาเหตุผลอีบายว่า ปัจจัยใดเป็นปัจจัยสำคัญต่อการสร้างผลผลิตและองค์ประกอบผลผลิต ปัจจัยการผลิตนั้น ๆ มีผลอย่างไรและได้เกิดขึ้นในขั้นตอนใดของช่วงอายุพืช ซึ่งจะเห็นได้ว่าการวิเคราะห์กระบวนการสร้างผลผลิตจำเป็นต้องศึกษาและติดตามผลอย่างละเอียดในแต่ละขั้นตอนของการเจริญเติบโตและพัฒนาการของพืช ดังเดี๋ยวนี้ต้องแรกเมื่อเริ่มต้นการปลูกพืชจนกระทั่งถึงขั้นตอนสุดท้ายในช่วงเก็บเกี่ยวผลผลิต

เมื่อพิจารณาถึงผลผลิตของพืชได้ ๆ จะพบว่าผลผลิตของพืชนั้น ๆ มีความแปรผันกับผลร่วมขององค์ประกอบผลผลิตที่เกี่ยวข้องกับจำนวนต้น จำนวนหน่อ จำนวนวง จำนวนเมล็ด และน้ำหนักเมล็ด ช่วงเวลาของการสร้างองค์ประกอบผลผลิตดังกล่าวนี้ อาจจำแนกอย่างกว้างๆ ออกได้เป็น 2 ระยะ กล่าวคือ ระยะแรกจะเป็นการเจริญเติบโตทางด้านลำต้น การสร้างหน่อและการเพิ่มจำนวนใบ ที่มีความสำคัญต่อการดูดกลืนรังสีดวงอาทิตย์เพื่อการสังเคราะห์แสงและการสร้างสมน้ำหนักแห้ง ส่วนระยะหลังที่เริ่มจากตอกบานจนถึงการสุกแก่ทางสรีรวิทยาจะเป็นช่วงเวลาสำหรับการสร้างจำนวนเมล็ดและการสะสมน้ำหนักแห้งในส่วนของเมล็ด ในกรณีของข้าวนั้นเมื่อว่าผลงานของ Matsushima (1975) จะได้ศึกษาถึงการก่อเกิดองค์ประกอบผลผลิตแต่ละลักษณะ พร้อมกับวิเคราะห์ปัจจัยต่าง ๆ ที่มีอิทธิพลต่อการเปลี่ยนแปลงผลผลิตและองค์ประกอบผลผลิตໄว้อย่างละเอียดในทุกขั้นตอน และผลงานทดลองในลำดับต่อมา (Pigeaire, 1980; Durr, 1984; Apakupakul, 1991) ที่ศึกษากำหนดกระบวนการสร้างผลผลิตของข้าวนั้น ผลกระทบที่เหล่านี้ได้เสนอรูปแบบของความสัมพันธ์เพียงบางลักษณะ และยังขาดรูปแบบของสมการหรือฟังก์ชันต่าง ๆ ที่สำคัญมากในแต่ละขั้นตอนการเจริญเติบโตและพัฒนาการของพืช ที่มีความจำเป็นต่อการวิเคราะห์เพื่อกำหนดแบบจำลองกระบวนการสร้างผลผลิตของข้าว ขณะเดียวกันค่าพารามิเตอร์ที่รวมไว้จากผลงานวิจัยต่าง ๆ ที่มีผู้เสนอไว้แล้วยังไม่เหมาะสมและมีความคาดเคลื่อนสูงสำหรับการทำนายค่าผลผลิตของข้าวในพื้นที่ที่ศึกษา ดังนั้นการศึกษาทดลองในครั้นนี้มีวัตถุประสงค์เพื่อ:

- (1) ศึกษาอิทธิพลต่าง ๆ ของไนโตรเจนและแบบวิธีการปลูกที่มีผลต่อลักษณะการเจริญเติบโตและพัฒนาการของข้าวพันธุ์เจี้ยงพักลุงที่เกิดขึ้นในกระบวนการสร้างผลผลิต
- (2) วิเคราะห์รูปแบบของตัวแปรต่าง ๆ ที่มีส่วนเกี่ยวข้องกับองค์ประกอบผลผลิต และ

(3) การหาค่าสัมประสิทธิ์พันธุกรรมและค่าพารามิเตอร์ต่าง ๆ ที่สำคัญสำหรับแบบจำลองการสร้างผลลัพธ์ข้าวในสภาพภูมิอากาศของภาคใต้

ในการทดลองครั้งนี้คาดว่าประ予以ชนที่จะได้รับจากผลงานวิจัย คือ

(1) เป็นข้อมูลพื้นฐานสำคัญสำหรับการวินิจฉัยปัญหาต่าง ๆ ที่เกี่ยวข้องปัจจัยจำกัดการเจริญเติบโตและพัฒนาการของข้าวนานาช่วงน้ำตามและนาปักดำในสภาพภูมิอากาศช่วงฤดูกาลการทำปีของภาคใต้

(2) สามารถเข้าใจถึงระยะเวลาการก่อเกิดและพัฒนาการขององค์ประกอบผลผลิต และการอิษัยผลของปัจจัยต่าง ๆ ที่มีอิทธิพลทำให้องค์ประกอบผลผลิตแต่ละลักษณะเกิดความผิดแยกไปจากสภาพปกติ เมื่อปัจจัยนั้น ๆ มีไม่เพียงพอต่อความต้องการที่ขั้นตอนใดในช่วงการเจริญเติบโตและพัฒนาการของข้าว

(3) ข้อมูลของการวิจัยมีความสำคัญต่อการให้คำแนะนำต่าง ๆ ที่เป็นประโยชน์แก่เกษตรกร และสามารถนำมามาวงแหน่งสำหรับการปรับกลยุทธ์เพื่อการผลิตข้าวให้มีความเหมาะสมกับพื้นที่และตามความต้องการสำหรับบริโภคของประชากรในภาคใต้

วิธีดำเนินการวิจัย

งานวิจัยเพื่อศึกษาและรวบรวมข้อมูลที่เกี่ยวข้องกับการเจริญเติบโตและพัฒนาการสำหรับการสร้างแบบจำลองกระบวนการสร้างผลผลิตข้าวในภาคใต้ได้กระทำในช่วงฤดูนาปี โดยเริ่มปลูกข้าวเมื่อเดือนกันยายน 2538 และสิ้นสุดการเก็บเกี่ยวในเดือนกุมภาพันธ์ 2539 ลักษณะงานทดลองครั้งนี้มีการศึกษาติดตามผลอย่างใกล้ชิดทั้งแบบการปลูกในกระบวนการและในสภาพแวดล้อมที่เป็นจริงบนพื้นที่นาของเกษตรกร ดังมีรายละเอียดสำคัญ ๆ ประกอบด้วย

ลักษณะงานที่ศึกษาและสถานที่ทดลอง

1. การทดลองในกระบวนการ ข้อมูลที่ได้จากการทดลองนี้มีจุดมุ่งหมายเพื่อใช้ประกอบและเปรียบเทียบผลที่ได้จากการทดลองในแปลงนาเกษตรกร ลักษณะการศึกษาแบ่งออกเป็น 2 งานทดลองย่อย กล่าวคือ

การทดลองที่ 1.1 อิทธิพลของปริมาณไนโตรเจนที่มีผลต่อกระบวนการสร้างผลผลิตของข้าว

การทดลองที่ 1.2 การพัฒนาตัวอยอดและการเจริญเติบโตของลำต้นเมื่อได้รับปริมาณไนโตรเจนที่แตกต่างกัน

งานทดลองดังกล่าวนี้มีสภาพการปลูกคล้าย ๆ กับการหว่านน้ำตาม โดยใช้สถานที่ทดลองของคณะทรัพยากรธรรมชาติ มหาวิทยาลัยสงขลานครินทร์ วิทยาเขตหาดใหญ่ ช่องตั้งอยู่ที่ละติจูด $07^{\circ} 01'$ เหนือ และลองติจูด $100^{\circ} 30'$ ตะวันออก

2. การทดลองในแปลงนาเกษตรกร ลักษณะงานทดลองเป็นการเบริ่งเทียนกระบวนการสร้างผลผลิตของข้าวที่มีวิธีการปลูกแบบหว่าน้ำตามและแบบปักดำ โดยเกษตรกรเจ้าของพื้นที่จะเป็นผู้รับผิดชอบงานทางเขตกรรมหลักสำคัญ ๆ ที่เกี่ยวข้องกับการทำนา แปลงนาของเกษตรกรในส่วนนี้จะกระจายอยู่ตามแหล่งต่าง ๆ ภัยในเขตอำเภอเมืองพัทลุง และอำเภอเขาชัยสน จังหวัดพัทลุง หรือประมาณละติจูดที่ $07^{\circ} 35'$ เหนือ และลองติจูด $100^{\circ} 30'$ ตะวันออก

พันธุ์ข้าวที่ศึกษา

ข้าวปัจจุบันของการทดลองเป็นข้าวพันธุ์เชียงพัทลุงจากการคัดเลือกสายพันธุ์ที่ดีของศูนย์วิจัยข้าวพัทลุงและผ่านการรับรองพันธุ์ขึ้นทะเบียนตามประกาศกรมวิชาการเกษตร นิรนาม (2539) ได้รายงานว่า ลักษณะทั่วไปของข้าวพันธุ์นี้ไวต่อช่วงแสง ลำต้นสูงประมาณ 150 เซนติเมตร สีใบเขียว ใบเรցและเป็นแนวอน รากยาวปานกลาง ระแห้งค่อนข้างถี่ คงแรงยากร

ร่วงของเมล็ดปานกลาง เมล็ดยาวเรียวมีเปลือกสีฟาง ขนาดยาว 9.8 มิลลิเมตร กว้าง 2.5 มิลลิเมตร และหนา 1.8 มิลลิเมตร น้ำหนัก 1,000 เมล็ด เฉลี่ย 23.1 กรัม ข้าวกล้องสีขาว มีขนาดยาว 6.7 มิลลิเมตร กว้าง 2.1 มิลลิเมตร และหนา 1.8 มิลลิเมตร มีท้องไข่ปานกลาง ข้าวถุงร่วนแข็งและไม่หอย ปริมาณอภิผล 2.83% ระยะพักตัวของเมล็ดประมาณ 1 สัปดาห์ ผลตอบสนองต่อในตระเจนสูงสุดเมื่อใส่ในอัตรา 9 กิโลกรัม ไร่¹ ปลูกได้เฉพาะฤดูนาปี อายุเก็บเกี่ยว เนากว่าข้าวพื้นเมืองพันธุ์ส่งเสริมและพันธุ์บอร์งที่มีอยู่เดิม โดยเก็บเกี่ยวได้ในเดือนมกราคม ผลผลิตสูงสุดเฉลี่ย 470 กิโลกรัม ไร่¹ แต่มีความอ่อนแอดอโรคใหม่ในระยะหลัง

ลักษณะต่าง ๆ ของคุณสมบัติดิน

คุณสมบัติทางพิสิกส์และเคมีดินของการทดลองได้สุมเก็บตัวอย่างดินเพื่อนำไปวิเคราะห์ ในห้องปฏิบัติการกลางของคณะวิทยากรธรรมชาติ มหาวิทยาลัยสงขลานครินทร์ โดยการทดลองในกระถางได้นำดินซุกดบางรายการแปลงนาเกษตรกรในอำเภอเข้าชัยสน จังหวัดพัทลุง มาฝังลงให้แห้งแล้วจึงทำการย่อยดินให้ละเอียด หลังจากนั้นได้สุมเก็บตัวอย่างดินเพียงครั้งเดียวที่ก่อนการบรรจุดินลงในกระถาง ส่วนในแปลงเกษตรกรแต่ละรายจะมีการเก็บตัวอย่างดิน 3 ครั้ง โดยเริ่มเก็บตัวอย่างดินครั้งแรกในช่วงก่อนการเตรียมแปลงปลูก ต่อมาในครั้งที่สองจะเก็บตัวอย่างดินก่อนการใส่ปุ๋ยรองพื้น และครั้งสุดท้ายจะเก็บตัวอย่างดินภายหลังการเก็บเกี่ยวผลผลิต ผลการวิเคราะห์ลักษณะต่าง ๆ ของคุณสมบัติดินที่กล่าวมานี้ ได้แสดงรายละเอียดต่าง ๆ ไว้ใน Appendix A, B and C

การเตรียมดินของการทดลองในกระถาง

ดินที่นำมาจากแปลงเกษตรกรที่ผ่านการผึ่งลงให้แห้งและย่อยละเอียดดินแล้วของการทดลองที่ 1.1 และ 1.2 จะแบ่งใส่บรรจุลงในกระถาง ๆ ละ 18 กิโลกรัม กระถางมีขนาดเส้นผ่าศูนย์กลาง 36 เซนติเมตร และมีความลึก 40 เซนติเมตร หลังจากนั้นจะใส่น้ำขึ้นໄ้ 1 สัปดาห์ เพื่อให้ดินอิ่มตัวและพร้อมที่จะคลุกเคล้าดินให้มีสภาพเป็นโคลนก่อนการปลูก 1 วัน ซึ่งในวันที่จะปลูกนั้นจะต้องไม่มีน้ำขึ้นอยู่บนผิวน้ำดิน เช่นเดียวกับการปฏิบัติโดยทั่ว ๆ ไปสำหรับการเตรียมแปลงหัวน้ำตามข้อแนะนำของเกษตรกร

วิธีการปลูก การเขตกรรมและแผนงานทดลอง

แบบวิธีการปลูกข้าวในกระถางทั้ง 2 การทดลอง มีลักษณะการปลูกคล้าย ๆ กับการหัวน้ำตาม เมล็ดข้าวที่ใช้ปลูกได้ผ่านการแช่น้ำมาแล้ว 24 ชั่วโมง หลังจากนั้นจะนำไปหุ้มให้เมล็ดคงอีก 48 ชั่วโมง เมล็ดที่ผ่านกระบวนการดังกล่าวจะนำไปขยายดูบนผิวน้ำดิน เมื่อวันที่

11 กันยายน 2538 โดยหมายผลกระทบ 60-70 เมล็ด และถอนแยกให้เหลือเฉพาะต้นที่สมบูรณ์ ผลกระทบ 40 ต้น (โดยให้มีจำนวนต้นใกล้เคียงกับสภาพการปลูกแบบหัวน้ำตามในแปลงนา เกษตรกร) เมื่อวันที่ 25 กันยายน 2538 ซึ่งวันที่ถอนแยกนี้ต้นหลักจะมีใบประมาณ 6 ใบ การใส่ปุ๋ยในต่อเจนจะแบ่ง成 2 ครั้ง ๆ ละเท่า ๆ กัน โดยใส่ร่องพื้นครั้งแรกในวันเดียวกับการถอนแยก ด้วยปุ๋ยผสมสูตร 16-20-0 และใส่ปุ๋ยแต่งหน้าในครั้งที่สองที่ระยะปีดลำต้นเมื่อ 23 พฤศจิกายน 2538 ด้วยปุ๋ยชูเรย (46-0-0) ปริมาณในต่อเจนของการทดลองที่ 1.1 มีจำนวน 6 ระดับ ประกอบด้วย 0, 12, 20, 30, 40 และ 50 กิโลกรัม ในต่อเจน ไร่¹ ของทวีตเมนต์ N0, N1, N2, N3, N4 และ N5 ตามลำดับ แผนการทดลองเป็นแบบสุ่มในบล็อกสมบูรณ์ ทวีตเมนต์ละ 3 กระถาง ข้าว¹ รวมจำนวน 3 ข้าว ส่วนปริมาณในต่อเจนของการทดลองที่ 1.2 มีจำนวน 4 ระดับ ประกอบด้วย 0, 12, 20 และ 30 กิโลกรัม ในต่อเจน ไร่¹ ตามลำดับของทวีตเมนต์ N0, N1, N2 และ N3 เช่นเดียว กับการทดลองที่ 1.1 ทวีตเมนต์ในต่อเจนแต่ละระดับมีจำนวน 11 กระถางเพื่อต้องการให้มีจำนวนค่าสังเกตที่มากพอสำหรับการเปรียบเทียบความแตกต่างระหว่างค่าเฉลี่ยของทวีตเมนต์ N0 กับค่าเฉลี่ยของทวีตเมนต์ N1, N2 และ N3 ระดับน้ำในกระถางของการทดลองหั้งลงภายหลังการถอนแยก 3 วัน จะควบคุมให้มีความสูงประมาณ 3-5 เซนติเมตร. ตลอดช่วงการเจริญเติบโตจนกระทั่งถึง 1 สปดาห์ก่อนการเก็บเกี่ยวผลผลิต

สำหรับการทดลองในแปลงเกษตรกร ได้เริ่มดำเนินการทดลองในช่วงเวลาใกล้เคียงกัน กับการทดลองในกระถาง เมล็ดข้าวของทำการทำนาแบบหัวน้ำตามและการตอกล้าของวิธี การปลูกแบบปักดำได้ปฏิบัติอย่างเดียวกันที่กล่าวไว้แล้วข้างต้น แปลงนาเกษตรกรแต่ละรายจะมีแบบการปลูกข้าว 2 วิธี ประกอบด้วยการปลูกแบบหัวน้ำตามหนึ่งแปลงและการทำนาแบบปักดำหนึ่งแปลง ขนาดแปลงนาของแต่ละวิธีการปลูกมีพื้นที่เฉลี่ยประมาณ 1-1.5 ไร่ ความหนาแน่นในแปลงหัวน้ำตามมีจำนวนต้นโดยเฉลี่ยประมาณ 400 ต้น เมตร² โดยใช้อัตราการหัวน้ำเมล็ดที่ได้จากการคำนวณเปอร์เซ็นต์ความคงอกกับน้ำหนักแห้งเฉลี่ยของเมล็ดพันธุ์² ส่วนแปลงปักดำจะมีความหนาแน่นปีกัดมีอายุประมาณ 20-36 วัน ความเยาว์ปีกัดของจำนวนกอและอายุกล้าในแปลงปักดำ มีสาเหตุสำคัญ ๆ จากความเครียหิน และความพร้อมในการเตรียมแปลงปักดำของเกษตรกรแต่ละราย สำหรับวันหัวน้ำข้างอกในแปลงนาหัวน้ำตามและวันตอกกล้าเพื่อการปักดำของเกษตรกรจะขึ้นอยู่กับความสะดวกและการตัดสินใจของเกษตรกรแต่ละราย การปลูกหัวส่องแบบจะได้รับในต่อเจน 12 กิโลกรัม ไร่¹ โดยมีจำนวนครั้งของการใส่ปุ๋ย ปริมาณการแบ่งปุ๋ยที่ใส่ในแต่ละครั้ง สูตรปุ๋ยสำหรับการรองรับพื้นและ การแต่งหน้า ตลอดจนระยะเวลาที่ใส่จะเป็นเช่นเดียวกันที่ได้กล่าวไว้แล้วในทวีตเมนต์ N1 ของ การทดลองในกระถาง จะมีความแตกต่างเพียงเล็กน้อยตรงที่ว่าการใส่ปุ๋ยครั้งแรกสำหรับการรองรับพื้นนั้น ได้ก่อระหบลังการหัวน้ำข้างอก 1 สปดาห์ และหลังการปักดำ 1 วัน สำหรับแปลงหัวน้ำ

น้ำดมและแปลงปักดำ ตามลำดับ ประวัติของแปลงและการเขตกรรมของเกษตรกรแต่ละรายในการทดลองครั้งนี้ มีรายละเอียดต่าง ๆ ที่ได้แสดงไว้ใน Appendix D แผนการทดลองของการศึกษาวิธีการปลูกในแปลงเกษตรกรที่มีผลต่อแบบจำลองการสร้างผลผลิตขึ้นช้าๆ ได้วางแผนแบบสุ่มในบล็อกสมบูรณ์ โดยมีแปลงเกษตรกรแต่ละรายเป็นชั้้า รวมจำนวนห้องสิบ 6 ชั้้า

ตลอดช่วงฤดูกาลการปลูกของการทดลองในกระบวนการและการทดลองในแปลงนาเกษตรกรไม่มีการกำจัดพืชและไม่ได้ใช้สารเคมีใด ๆ ในการป้องกันโรคและแมลงรวมทั้งศัตรูต่าง ๆ ที่จะเข้ารับภาระทำความเสียหายให้กับพืช

การเก็บตัวอย่างพืชและข้อมูลที่บันทึก

การศึกษาในแต่ละการทดลองจะมีความแตกต่างกันอย่างเด่นชัด เพื่อให้ผลการทดลองได้ครอบคลุมปัญหาต่าง ๆ ที่ต้องการทราบพร้อมทั้งเหตุผลคำขอรับอย่างละเอียดของการวิจัยนั้น ๆ การเก็บตัวอย่างพืชและการบันทึกข้อมูลต่าง ๆ จะขอกล่าวแยกกันตามลักษณะงานทดลองที่ได้กำหนดไว้ ดังนี้

1. การทดลองในกระบวนการ

1.1 การทดลองที่ 1.1 ลักษณะงานที่เกี่ยวกับการสุมเก็บตัวอย่างพืชและการบันทึกข้อมูล ประกอบด้วย

(1) การปรากฏใบ ตั้งแต่ระยะต้นกล้าจนถึงระยะใบรงได้ดีตามการปรากฏใบของต้นหลัก (main stem) ที่อยู่ในตัวแห่งกลากกระถางจำนวน 2 ต้น กระถาง 1 ชั้้า โดยเริ่มบันทึกครั้งแรกในระยะที่ข้าวมีจำนวน 3 ใบ การบันทึกจะกระทำทุก ๆ 3 วัน จนกระทั่งสิ้นสุดการปรากฏใบเมื่อเห็นคอกใบรองผลพันจากกากใบ และทุก ๆ ครั้งที่มีการบันทึกจำนวนใบจะบันทึกจำนวนหน่อที่เกิดขึ้นจากต้นหลักที่สังเกตด้วย การปรากฏใบแต่ละครั้งที่บันทึกจะใช้ค่าเฉลี่ยของ Huan (1973) โดยมีจุดทศนิยม 1 หลัก ซึ่งการปรากฏใบที่วันบันทึกข้อมูลได้ ๆ เมื่อกำหนดให้ L_n คือ ความยาวของใบที่อ่อนที่สุด L_{n-1} คือความยาวใบที่อยู่ถัดลงมาจากใบ L_n และ k คือจำนวนใบทั้งหมดที่ปรากฏบนต้นหลักในวันนั้น ๆ ค่าการปรากฏใบจะคำนวณได้จากสมการ คือ

$$\text{Huan leaf number} = \frac{L_n}{L_{n-1}} + (k-1) \quad (\text{A1})$$

(2) การเจริญเติบโตทางลำต้นและใบ ในช่วงการเจริญเติบโตที่ระยะเริ่มต้นลำต้นและระยะดอกบาน 50% ได้สุมเก็บตัวอย่างพืชที่ตั้งเมนต์ละ 1 กระถาง ช่วงการเจริญเติบโต 1 ชั้้า ระยะเริ่มต้นของข้าวในการทดลองนี้ได้ประมาณค่าจากข้อมูลการทดลองใน

แปลงหัวน้ำตามของเกษตรกร (การทดลองที่ 2) ที่มีการหัวน้ำเมล็ดข้าวอกในช่วงเวลาที่ใกล้เดียงกัน โดยยึดถือตามเกณฑ์กำหนดของ Apakupakul (1991) ที่รายงานว่า ระยะการเริ่มเยิดลำต้นของข้าวจะเริ่มเมื่อความสูงของต้นหลักที่รัศจากข้อแรกจนถึงปลายยอดอยู่ในช่วง 25 มิลลิเมตร ข้อมูลที่จดบันทึกแต่ละระยะการเจริญเติบโตและพัฒนาการประกอบด้วย ความสูงของต้นหลัก (เฉพาะการเก็บตัวอย่างครั้งแรกของระยะเยิดลำต้น) จำนวนต้นจำานวนหน่อ จำนวนใบ พื้นที่ใบ น้ำหนักแห้งใบ และน้ำหนักแห้งต้น การวัดพื้นที่ใบของทรีเมนต์ต่าง ๆ ในแต่ละชั้าได้สูมมากระถางละ 20 ต้น (ครึ่งหนึ่งของจำนวนต้นทั้งหมดในกระถาง) ก่อนการวัดพื้นที่ใบได้บันทึกจำนวนใบพร้อมกับแยกส่วนใบออกจากลำต้น จำนวนใบในส่วนนี้ได้นำไปวัดพื้นที่ด้วยเครื่องวิเคราะห์ระบบภาพของเดลต้า-ที (delta-T image analysis system; DIAS) ลักษณะความสูงต้นจากข้อแรกจนถึงปลายยอดอยู่ในช่วง 20-25 มิลลิเมตร ให้ใบมีดโคนผ่าตรงบริเวณประมาณกึ่งกลางทางส่วนบนของลำต้นออกเป็น 2 ซีก พร้อมกับบันทึกข้อมูลหลังจากนั้นนำตัวอย่างพืชทั้งหมดทั้งที่เป็นส่วนใบและส่วนลำต้นไปอบแห้งที่อุณหภูมิ 70°C เป็นเวลา 72 ชั่วโมง จึงบันทึกน้ำหนักแห้งใบและน้ำหนักแห้งต้น ตั้งนั้นค่าต่าง ๆ ที่บันทึกได้ในขั้นตอนนี้ซึ่งประกอบด้วย ค่าของพื้นที่ใบ (LA_1) จำนวนใบ (NL_1) น้ำหนักแห้งใบ (LDW_1) และน้ำหนักแห้งลำต้น (SDW_1) จะมีความสัมพันธ์กับการคำนวณค่าขนาดใบเฉลี่ย ($LSIZE$) พื้นที่ใบจำเพาะ (specific leaf area; SLA) และอัตราส่วนพื้นที่ใบ (leaf area ratio; LAR) ของแต่ละระยะการเจริญเติบโตและพัฒนาการ ดังสมการด้านล่าง ตามลำดับ คือ

$$LSIZE = LA_1/NL_1 \quad (A2)$$

$$SLA = LA_1/LDW_1 \quad (A3)$$

$$LAR = LA_1/(LDW_1+SDW_1) \quad (A4)$$

สำหรับตัวอย่างพืชส่วนที่เหลืออีกประมาณครึ่งหนึ่งนั้นได้ปฏิบัติในทำนองเดียวกันด้วยการบันทึกจำนวนใบ (NL_2) พร้อมกับแยกส่วนใบออกจากส่วนลำต้นเพื่อนำไปอบและบันทึกน้ำหนักแห้งใบ (LDW_2) และน้ำหนักแห้งต้น (SDW_2) ผลรวมของจำนวนใบ น้ำหนักแห้งใบและน้ำหนักแห้งต้นทั้งส่วนแรกและส่วนหลัง สามารถคำนวณหาค่าทั้งหมดของพื้นที่ใบ (LA) จำนวนใบรวม (NL) และน้ำหนักแห้งของพืชทั้งหมดส่วนหนึ่งเดือน (TDM) ในแต่ละระยะการเจริญเติบโตได้ดังสมการด้านล่าง ตามลำดับคือ

$$LA = (LDW_1+LDW_2) \times SLA \quad (A5)$$

$$NL = NL_1 + NL_2 \quad (A6)$$

$$TDM = LDW_1 + LDW_2 + SDW_1 + SDW_2 \quad (A7)$$

(3) การเจริญเติบโตของเมล็ด ขณะเริ่มระบบผสมเกสร (ประมาณ 1-2 วันก่อนระยะดอกบาน 50%) ได้คัดเลือกรวงซึ่งมีขนาดใกล้เคียงกันที่กำลังผลิตจากภายในไปประมาณ 50% ของความยาววงพาร้อมกับทำเครื่องหมายไว้ที่โคนครองวงจำนวน 15 วง หรือ เมนต์¹ ช้า¹ การเก็บตัวอย่างครั้งแรกจะเป็นวันเดียวกับวันที่ทำการคัดเลือกรวงและหลังจากนั้น จะเก็บตัวอย่างทุก ๆ 3 วัน โดยเก็บครั้งละ 9 เมล็ด วง⁻¹ ซึ่งเป็นตำแหน่งเมล็ดของวงแท้ที่ 3, 4 และ 5 นับจากวงแรกด้านปลายวง ระหว่าง 3 เมล็ด (Fujita et al., 1984; Rahman and Yoshida, 1985; Apakupakul, 1991) นำเมล็ดที่เก็บได้ทั้ง 3 ชั้น มารวมกันจะได้จำนวนเมล็ดที่เก็บ ในแต่ละครั้งรวม 27 เมล็ด หรือ เมนต์¹ พร้อมกับบันทึกน้ำหนักสดเมล็ด (FGW) แล้วนำเข้าอบแห้งที่ 70°C เป็นเวลา 72 ชั่วโมง หลังจากนั้นได้บดลอยให้เมล็ดลดอุณหภูมิลงจนเท่ากับอุณหภูมิห้องด้วยการนำตัวอย่างเมล็ดใส่ไว้ในโดดความชื้นจึงบันทึกน้ำหนักแห้งเมล็ด (DGW) ด้วยเครื่องซึ่งที่มีความละเอียดถูกต้องถึงหน่วย 4 หลัก ความแตกต่างระหว่างน้ำหนักเมล็ดก่อนและหลังอบแห้ง สามารถคำนวณหาเปอร์เซนต์ความชื้นเมล็ด (MC) ได้ดังสมการ

$$MC = (FGW - DGW)/FGW \times 100 \quad (A8)$$

(4) ผลผลิตและองค์ประกอบผลผลิต ระยะเก็บเกี่ยวผลผลิตขณะที่พืชมีการสุกแก่ทางสรีวิทยานั้น จำนวนตัวอย่างของพืชยังคงเหลืออยู่อีกหรือ เมนต์¹ กระถาง ช้า¹ ข้อมูลพืชที่บันทึกในช่วงนี้ประกอบด้วย จำนวนต้น จำนวนหน่อ จำนวนวง จำนวนดอก (spikelets) จำนวนเมล็ดตี จำนวนเมล็ดไม่สมบูรณ์ น้ำหนักเฉลี่ยเมล็ด ผลผลิต และน้ำหนักแห้งทั้งหมดของพืชส่วนเหนือดิน ในที่นี้คำว่าเมล็ดตีจะหมายถึง เมล็ดที่มีค่าความถ่วงจำเพาะมากกว่าหรือเท่ากับ 1.06 โดยใช้วิธีการคัดแยกเมล็ดด้วยน้ำเกลือ (Matsushima, 1975) ส่วนค่าน้ำหนักเฉลี่ยของเมล็ดตีได้สุมนับจากน้ำหนักเฉลี่ย 500 เมล็ด จำนวน 3 ตัวอย่าง หรือ เมนต์¹ ช้า¹ และปรับค่าให้เป็นน้ำหนักเฉลี่ย 1,000 เมล็ด สำหรับเมล็ดไม่สมบูรณ์ที่มีความถ่วงจำเพาะเมล็ดน้อยกว่า 1.06 ได้คำนวณหาค่าจำนวนน้ำหนักเฉลี่ยของหรือ เมนต์¹ ต่าง ๆ ในแต่ละชั้นด้วยวิธีการขันเดียวกัน ค่าน้ำหนักเฉลี่ยของเมล็ดทั้งสองประเภทนี้ ซึ่งประกอบด้วยน้ำหนักเฉลี่ยเมล็ดตี 1 เมล็ด (W1G) และน้ำหนักเฉลี่ยเมล็ดไม่สมบูรณ์ 1 เมล็ด (W1GB) ที่มีความสัมพันธ์กับน้ำหนักเมล็ดตี (GW) พื้นที่⁻¹ และน้ำหนักเมล็ดไม่สมบูรณ์ (BGW) พื้นที่⁻¹ สามารถคำนวณจำนวนเมล็ด

(NG พื้นที่¹) จำนวนเมล็ดไม่สมบูรณ์ (NBG) พื้นที่¹ และจำนวนดอก (NSPI) พื้นที่¹ ได้ดังสมการต่อ ๆ ตามลำดับ คือ

$$NG = GW/W1G \quad (A9)$$

$$NBG = BGW/W1GB \quad (A10)$$

$$NSPI = NG+NBG \quad (A11)$$

ค่าต่อไปนี้ ที่เกี่ยวข้องกับน้ำหนักเมล็ด ผลผลิต และน้ำหนักแห้งทั้งหมดของพืชส่วนเหนือดิน (น้ำหนักผลรวมของส่วนตอซัง ระแหง เมล็ดดี และเมล็ดไม่สมบูรณ์) ในช่วงสุดท้ายของการเก็บเกี่ยวผลผลิตนี้ จะเป็นค่าของน้ำหนักที่บันทึกหลังผ่านการอบแห้งที่ 70°C เป็นเวลา 72 ชั่วโมง เช่นเดียวกับกระบวนการเจริญเติบโตอื่น ๆ ที่ได้ก่อสร้างแล้วข้างต้น สำหรับค่าน้ำหนักแห้งของพืชทั้งหมดส่วนเหนือดิน (TDM) พื้นที่¹ สามารถนำไปคำนวณหาค่าตัวชี้วัดการเก็บเกี่ยว (harvest index, HI) ดังความสัมพันธ์ของสมการ คือ

$$HI = GW/TDM \quad (A12)$$

(5) เปรอร์เซนต์ในตรรженที่อยู่ในพืชส่วนเหนือดิน ส่วนทั้งหมดของพืชที่อยู่เหนือดินที่ได้จากการเก็บตัวอย่างในทรีตเมนต์ต่าง ๆ และผ่านการอบแห้งพร้อมทั้งบันทึกน้ำหนักแห้งมาแล้วในทุก ๆ ช่วงระยะเวลาเจริญเติบโตและพัฒนาการนั้น ช่วงระยะเวลาเจริญเติบโตที่ระยะเริ่มยึดลำต้นได้นำเข้าส่วนของใบกับส่วนของต้นไปบดรวมกันให้ละเอียด ส่วนในช่วงการเจริญเติบโตที่ระยะตอๆ กัน 50% ส่วนของพืชที่นำไปบดละเอียดนั้นจะมีส่วนของรากรวมอยู่ด้วยกับส่วนของใบและส่วนของต้น สำหรับในช่วงสุดท้ายของการเก็บเกี่ยวผลผลิตจะมีความแตกต่างไปจากช่วงการเจริญเติบโตทั้งสอง กล่าวคือ ตัวอย่างพืชที่นำไปบดละเอียดประกอบด้วย 2 ส่วน ส่วนแรกเป็นส่วนของตอซังบดรวมกับส่วนของระแหง และเมล็ดไม่สมบูรณ์ ส่วนที่สองเป็นส่วนของเมล็ดดีที่บดอย่างละเอียด ตัวอย่างที่บดละเอียดแล้วในแต่ละช่วงการเจริญเติบโตและพัฒนาการของทรีตเมนต์ต่าง ๆ รวมกันทั้ง 3 ชั้น จำนวนทรีตเมนต์ละ 1 ตัวอย่าง ได้นำส่งห้องปฏิบัติการเพื่อวิเคราะห์หาเบอร์เซนต์ในตรรженในส่วนต่าง ๆ ของพืช (%N) โดยน้ำหนักแห้งซึ่งปริมาณในตรรженที่สะสมไว้ในส่วนทั้งหมดของพืชเหนือดิน (N_{up}) พื้นที่¹ ที่ช่วงการเจริญเติบโตและพัฒนาการระยะต่าง ๆ แสดงได้ดังสมการ คือ

$$N_{up} = \%N \times TDM \quad (A13)$$

ทำนองเดียวกันบริมาณในต่อเจนในตอชั้งรวมทั้งในส่วนของระแห้งและเมล็ดไม่สมบูรณ์ ($N_{up-straw}$) พื้นที่¹ และปริมาณในต่อเจนของเมล็ด ($N_{up-grains}$) พื้นที่¹ มีความสัมพันธ์กับน้ำหนักแห้งของส่วนตอชั้งรวมกับระแห้งและเมล็ดไม่สมบูรณ์ (DM_{straw}) และน้ำหนักแห้งของเมล็ด (GW) ตามลำดับดังสมการ คือ

$$N_{up-straw} = \% N_{straw} \times DM_{straw} \quad (A14)$$

$$N_{up-grains} = \% N_{grains} \times GW \quad (A15)$$

1.2 การทดลองที่ 1.2 ลักษณะการปฏิบัติงานเพื่อกำหนดตัวอย่างพืชและการบันทึกข้อมูลประกอบด้วย

(1) การทำเครื่องหมายลำดับใบ ในของต้นหลักที่นับจากโคนต้นสูปปลายยอดจะถูกทำเครื่องหมายแสดงลำดับใบไว้บนแผ่นใบ ต้นหลักที่ใช้ทำเครื่องหมายแสดงลำดับใบมีจำนวน 20 ต้น กระถาง¹ ทรีตเมนต์¹ โดยเริ่มกระทำครั้งแรกเมื่อต้นหลักมีใบ 3 ใบ และกระทำสปดาห์ลดกระรังจนกระทั่งข้าวออกใบอง การกระทำเช่นนี้เพื่อให้อธิบายผลการพัฒนาโดยตลอดของต้นหลักที่สัมพันธ์กับระยะการปรากฏในของวันที่มีการเก็บตัวอย่างพืชในวันนั้น ๆ

(2) การเจริญเติบโตและพัฒนาการ เมื่อข้าวเข้าสู่ระยะเริ่มยึดลำต้นจาก การพิจารณาข้อมูลของการทดลองที่ 1.1 จะเริ่มเก็บตัวอย่างพืชครั้งแรกจากต้นที่ทำเครื่องหมายแสดงลำดับใบจำนวน 1 ต้น กระถาง¹ ทรีตเมนต์¹ โดยเก็บเป็นช่วง ๆ ละ 2-5 วัน และการเก็บตัวอย่างพืชในช่วงการเจริญเติบโตระยะนี้จะสิ้นสุดเมื่อข้าวออกดอก ข้อมูลบันทึกลักษณะต่าง ๆ ของต้นหลักที่ได้จากการเก็บตัวอย่างในแต่ละครั้งประกอบด้วย ระยะการปรากฏใน จำนวนหน่อ ความสูงต้นจากข้อแรกถึงปลายยอดอ่อน ระยะพัฒนาการของตัวอ่อน ความยาวระหว่างจักรอวง ถึงปลายร่วง หลังจากนั้นได้นำตัวอย่างเข้าอบแห้งที่ 70°C เป็นเวลา 72 ชั่วโมง จึงบันทึกน้ำหนักแห้งทั้งหมดของพืชส่วนเหนือดิน พัฒนาการโดยตลอดของต้นหลักที่บันทึกในระยะต่าง ๆ ได้กระทำโดยการใช้ใบมีดโกนผ่าประมาณกึ่งกลางตรงบริเวณโคนต้นหลักพร้อมกับตัดเนื้อเยื่อข้าวบริเวณปลายยอดอ่อนไปบางไว้บนแผ่นสไลด์ หลังจากนั้นจึงนำไปส่องดูลักษณะรูปร่างของต่ายอดด้วยกล้องจุลทรรศน์นิสส่องดู ระยะต่าง ๆ ของการพัฒนาโดยตลอดได้บันทึกตามการจัดแบ่งของ Matsushima (1975) กล่าวโดยสรุปสั้น ๆ จะประกอบด้วย

ระยะ I: เริ่มสร้างใบลง

ระยะ II-III: เริ่มสร้างกลีบรองดอก

ระยะ IV-VIII: เริ่มสร้างระแห้ง

ระยะ IX-XII: เริ่มสร้างดอก

ระยะ XIII: เรนูเซลล์แม่เปลี่ยนสภาพ

ระยะ XIV-XVII: ไม้โซซิส

ระยะ XVIII-XXI: เกษุสูกแก่

ในการศึกษาครั้งนี้ไม่ได้ติดตามการเปลี่ยนสภาพของเรโนเชลล์ เมื่อพัฒนาการด้วยตัวน้ำมันตัดสีน้ำเงิน แต่เป็นพัฒนาการด้วยตัวน้ำมันตัดสีน้ำเงินโดยใช้ตัวต้านที่ได้รับการพัฒนาจากสารต้านตัวต้านน้ำมันตัดสีน้ำเงิน จึงเป็นการเปลี่ยนสภาพเพื่อการเปลี่ยนตัวของเรโนเชลล์เมื่อนึ่ง

สำหรับตัวอย่างที่ศึกษาในช่วงสุดท้ายที่ระยะเก็บเกี่ยวน้ำได้กระทำเหมือนกันทุกประการกับทิ่กไก่ตามแม้ว่าจะระยะเริ่มเยิดจำต้น ข้อมูลของตัวน้ำมันที่บันทึกประกอบด้วยความถูกต้อง (ผลรวมของลำต้นและราก) จำนวนหน่อ ความยาวราก จำนวนระแหงปูมภูมิ และน้ำหนักแห้งทั้งหมดของพืชสวนเนื้อดินที่อบแห้ง 70°C เป็นเวลา 72 ชั่วโมง

2. การทดลองในแปลงนาเกษตรกร

ลักษณะพิเศษของงานมีการติดตามการเจริญเติบโตและพัฒนาการของข้าวที่มีวิธีการปลูกแบบหัวน้ำดูดและแบบปักดำอย่างใกล้ชิดกว่างานทดลองในกรุงเทพฯ ข้อมูลที่บันทึกประกอบด้วย

(1) การเจริญเติบโตและพัฒนาการตั้งแต่ระยะกล้าจนถึงระยะก่อนเก็บเกี่ยวผลผลิต การสุ่มเก็บตัวอย่างพืชตั้งแต่ช่วงแรกของการเจริญเติบโตระยะต้นกล้าจนกระทั่งถึง 1-2 สัปดาห์ก่อนระยะสุกแก่ทางสรีรวิทยาในช่วงเก็บเกี่ยวผลผลิตนั้นจะกระทำทุกๆ สัปดาห์ โดยเริ่มเก็บตัวอย่างพืชครั้งแรกในช่วงเวลาหลังการหัวน้ำดูดประมาณ 2 สัปดาห์ และหลังการปักดำประมาณ 1 สัปดาห์ ในแปลงหัวน้ำดูดและในแปลงปักดำ ตามลำดับ ขนาดของตัวอย่างในแปลงหัวน้ำดูดได้สุ่มเก็บจากพื้นที่ขนาด 0.5×0.5 เมตร ส่วนในแปลงปักดำที่มีการปฏิบัติไม่ยุ่งยากและสะดวกกว่า ได้สุ่มเก็บจำนวน 4 กอ เมตร² แปลงเกษตรกรแต่ละรายจะเก็บตัวอย่างพืชจำนวน 2 ตัวอย่าง แบบการปลูก¹ ข้อมูลที่บันทึกจากตัวอย่างพืชที่สุ่มเก็บมาของแต่ละครั้งในหนึ่งหน่วยพื้นที่จะเป็นเช่นเดียวกับการทดลองที่ 1.1 ประกอบด้วย จำนวนต้น จำนวน กอ จำนวนหน่อ จำนวนใบ พื้นที่ใบ น้ำหนักแห้งใบ และน้ำหนักแห้งต้น ตัวอย่างพืชทั้งหมดของแต่ละแบบการปลูกจะสุ่มมาตัวอย่างละครั้งหนึ่งของจำนวนต้นที่เก็บมาได้ในแต่ละครั้งเพื่อนำไปวัดพื้นที่ใบ รวมทั้งการคำนวณค่าขนาดใบเฉลี่ย พื้นที่ใบจำเพาะ และอัตราส่วนพื้นที่ใบ ตลอดจนการบันทึกน้ำหนักแห้งใบ น้ำหนักแห้งต้น น้ำหนักแห้งทั้งหมดของพืชสวนเนื้อดิน และอื่นๆ นั้น ได้มีการปฏิบัติที่เหมือนกันทุกประการดังที่ได้กล่าวไว้อย่างละเอียดแล้วในการทดลองที่ 1.1 ของหัวข้ออย่างที่ (2) สำหรับการติดตามลักษณะการยึดจำต้นที่เกี่ยวกับความถูกต้องนั้นก็ของ การปลูกทั้ง 2 แบบ ได้บันทึกในช่วงระหว่างหลังการหัวน้ำดูดประมาณ 30-90 วัน และระหว่างหลังการปักดำ 20-70 วัน ตามลำดับสำหรับการปลูกแบบหัวน้ำดูดและการปลูกแบบปักดำโดยใช้จำนวนต้น 10 ต้น ตัวอย่าง¹ แบบการปลูก¹ ลักษณะของขั้นตอนในการปฏิบัติและการบันทึกข้อมูลความถูกต้องนั้นหากได้กระทำการเดียวกันทือธิบายให้แล้วข้างต้น

(2) การเจริญเติบโตของเมล็ด การสะสมน้ำหนักแห้งของเมล็ดตั้งแต่ระยะเริ่มพัฒนาของข้าวที่มีการปลูกทั้ง 2 แบบ ได้ศึกษาเช่นเดียวกันกับการทดลองในกระถาง รวมที่ทำเครื่องหมายเพื่อศึกษาการเจริญเติบโตของเมล็ดมีจำนวนแปลงละ 80 ราก แบบการปลูกโดยเก็บตัวอย่างสปัดานะละ 1 ครั้ง ๆ ละ 10 ราก ๆ ละ 9 เมล็ด ซึ่งในแต่ละครั้งของการเก็บตัวอย่าง จะมีจำนวนเมล็ดรวมแปลงละ 90 เมล็ด แบบการปลูก¹ ตำแหน่งของเมล็ดภายในราก การบันทึกน้ำหนักลดเมล็ดและน้ำหนักแห้งเมล็ด การคำนวณหาเปอร์เซนต์ความชื้นเมล็ด ตลอดจนเทคนิดต่าง ๆ ทุกขั้นตอนได้บรรยายไว้อย่างละเอียดแล้วในการทดลอง 1.1 ของหัวข้ออยู่ที่ (3)

(3) ผลผลิตและองค์ประกอบผลผลิต ตัวอย่างพืชที่ศึกษาในช่วงระยะเก็บเกี่ยวผลผลิตของการปลูกทั้ง 2 แบบ ได้เก็บเกี่ยวด้วยตัวอย่างจากพื้นที่ขนาด 1.0x1.0 เมตร และเพิ่มจำนวนตัวอย่างเป็นแปลงละ 4 ตัวอย่าง แบบการปลูก¹ สำหรับการบันทึกข้อมูลและขั้นตอนต่าง ๆ ที่เกี่ยวข้องกับการวัดผลผลิตและองค์ประกอบผลผลิต รวมทั้งการคำนวณต่าง ๆ ของแต่ละองค์ประกอบผลผลิต น้ำหนักแห้งหักหมัดของพืชส่วนเหนือดิน และค่าดัชนีการเก็บเกี่ยวสามารถศึกษารายละเอียดต่าง ๆ ได้เขียนเดียวกับการทดลอง 1.1 ของหัวข้ออยู่ที่ (4)

(4) เปอร์เซนต์ในโครงสร้างในพืชส่วนเหนือดิน ลักษณะตัวอย่างพืชที่บดละเอียดของส่วนต่าง ๆ พืชที่อยู่เหนือดินจากแปลงต่าง ๆ ของการปลูกทั้ง 2 แบบ ที่ระยะเริ่มยึดลำต้น ระยะตอกบาน 50% และระยะเก็บเกี่ยวผลผลิต ได้กระทำเหมือนกันทุกประการและมีการคำนวณหาปริมาณในโครงสร้างที่จะสมให้ในส่วนเหนือดินของพืชไม่ว่าจะเป็นส่วนต้น ตอซัง หรือเมล็ดได้ปฏิบัติเช่นเดียวกับการทดลอง 1.1 ของหัวข้ออยู่ที่ (5)

อายุการเจริญเติบโตและพัฒนาการของพืช

อายุพืชในช่วงต่าง ๆ ของการเจริญเติบโตและพัฒนาการหลังการหยดเมล็ดข้าวออกในกระถางทดลองและการห่วงเมล็ดข้าวออกในแปลงห่วงน้ำตามและแปลงตอกกล้าเพื่อการปักชำนั้น จะแสดงในรูปของค่าความร้อนสะสม (accumulated daily thermal time, CDTT) หลังการห่วงเมล็ด มีหน่วยเป็น °Cd ซึ่งคำนวณจากค่าอุณหภูมิสูงสุดประจำวัน (T_{max}) และค่าอุณหภูมิต่ำสุดประจำวัน (T_{min}) โดยใช้อุณหภูมิพื้นฐานสำหรับการเจริญเติบโตของข้าว (T_{base}) เท่ากับ 8°C และ S_1 กับ S_2 เป็นวันหลังการห่วงเมล็ด และวันเก็บตัวอย่างที่ระยะใด ๆ ตามลำดับ ดังความสัมพันธ์ของสมการ คือ

$$CDTT = \sum_{j=s_1}^{S_2} \left[\left(\frac{T_{max} + T_{min}}{2} \right) - T_{base} \right] \quad (A16)$$

การทดลองครั้งนี้ใช้ข้อมูลภูมิอากาศของสถานีอากาศเกษตรกรหนองส์ อำเภอหนองในญี่ จังหวัดสิงห์ลา และสถานีอากาศเกษตรพัทลุง อำเภอเมืองพัทลุง จังหวัดพัทลุง ซึ่งตั้งอยู่ห่างประมาณ 1 และ 5 กิโลเมตร ตามลำดับจากศูนย์ทรัพยากรธรรมชาติ มหาวิทยาลัยสงขลานครินทร์ และแปลงนาเกษตรกรที่ใช้เป็นพื้นที่ทดลอง

ปริมาณรังสีแสงสังเคราะห์

ผลสัมฤทธิ์ของการทดลองครั้งนี้ได้รับผลกระทบจากการเปลี่ยนแปลงของปริมาณรังสีแสงสังเคราะห์ที่มีความสัมพันธ์ระหว่าง

$$\text{PAR}_s = \xi_i \text{PAR}_i \quad (\text{A17})$$

เมื่อ PAR_s คือ ปริมาณรังสีแสงสังเคราะห์ที่พืชดูดกลืน (เมกะจูล เมตร⁻²) ξ_i คือ ประสิทธิภาพการดูดกลืนรังสีของพืช และ PAR_i คือ ปริมาณรังสีแสงสังเคราะห์หนึ่งอุ่นแปลงพืช (เมกะจูล เมตร⁻²) ซึ่งประมาณค่าได้จากประยุกต์สมการอ้างส่วนรวม คือ

$$\text{PAR}_s = \text{PAR}_0(a + b \frac{n}{N}) \quad (\text{A18})$$

เมื่อ PAR_0 คือ ปริมาณรังสีแสงสังเคราะห์หนึ่งบนราษฎร์โลก (เมกะจูล เมตร⁻²) a และ b คือ ค่าคงที่ ซึ่งแบ่งผันตามละตitud ในที่นี่ได้ค่า $a=0.24$ และ $b=0.40$ (ข้อวิทย์ ศิลารัตนานайнีย, 2527) ส่วนค่า n คือ ระยะเวลาที่มีแสงแดดจ้า (ชั่วโมง วัน^{-1}) และ N คือ ระยะเวลาที่คาดว่ามีแสงแดดสูงสุด (ชั่วโมง วัน^{-1})

สำหรับค่าประสิทธิภาพการดูดกลืนรังสีของพืช พบร่วมกับค่า ξ_i แบบเอกซ์โพเนนเชียลกับค่าดัชนีพื้นที่ใบ ซึ่งคำนวณค่าได้ดังสมการ

$$\xi_i = 0.95(1-\text{EXP}(-KL)) \quad (\text{A19})$$

เมื่อ K คือ สมประสิทธิ์การลดปริมาณรังสีภายใต้พื้นที่ใบ ($\text{extinction coefficient}$) การทดลองครั้งนี้ได้กำหนดให้ค่า K เท่ากับ 0.8 สำหรับข้าวพันธุ์เจียงพัทลุงที่มีใบแผ่นกว้าง และ L คือ ดัชนีพื้นที่ใบ

การสะสมน้ำหนักแห้งของเมล็ด

ความสัมพันธ์ระหว่างน้ำหนักแห้งของเมล็ดกับช่วงเวลาความร้อนสะสมที่แสดงลักษณะแบบรีเกรสชันเลี้นโครงของฟังก์ชันลอจิสติกจะมีรูปสมการทั่วไป คือ

$$Y = \frac{a}{1 + b \text{EXP}(-cX)} \quad (\text{A20})$$

เมื่อ Y คือ ค่าเฉลี่ยน้ำหนักแห้งของเมล็ด X คือ ช่วงเวลาความร้อนสะสมภายหลังการผสมเกสร a คือ พารามิเตอร์แสดงค่าน้ำหนักแห้งสูงสุดของเมล็ด หรือค่า carrying capacity b คือ พารามิเตอร์ที่แสดงความสัมพันธ์ทั้งอัตราและระยะเวลาการสร้างสมน้ำหนักแห้ง และ c คือ พารามิเตอร์ที่เกี่ยวข้องกับอัตราการสะสมน้ำหนักแห้ง

อัตราบัดดล (instantaneous rate) การสะสมน้ำหนักแห้งของเมล็ดสามารถคำนวณค่าได้จากภาระอนุพันธ์ของสมการแรก นั่นคือ

$$\frac{dy}{dx} = \frac{cY(a - Y)}{a} \quad (\text{A21})$$

สมการเชิงอนุพันธ์นี้จะให้ค่าอัตราสูงสุดการสะสมน้ำหนักแห้งของเมล็ดขณะที่ Y มีค่าเท่ากับ 0.5a และเมื่อแทนที่ Y ด้วยค่า 0.5a ลงในสมการ จะได้ค่าอัตราสูงสุดการสะสมน้ำหนักแห้งของเมล็ด (R) ดังความสัมพันธ์

$$R = \frac{ca}{4} \quad (\text{A22})$$

ในทางทฤษฎีของฟังก์ชันลอจิสติกจะพบว่า น้ำหนักแห้งของเมล็ดจะเข้าใกล้เชิงเส้นกำกับบนแต่ไม่สัมผัสถูกเส้นกำกับบน (ค่าพารามิเตอร์ a) ซึ่งในการทดลองครั้งนี้จะพิจารณาว่าที่ระยะสุกแก่ทางศรีวิทยานั้น ค่าเฉลี่ยน้ำหนักแห้งของเมล็ด(Y) จะเท่ากับ 0.95a ดังนั้นระยะเวลาการสร้างสมน้ำหนักแห้งของเมล็ดที่เริ่มต้นจากระยะผสมเกสรจนถึงระยะสุกแก่ทางศรีวิทยาขณะที่เมล็ดมีน้ำหนักแห้งเท่ากับ 0.05a และ 0.95a ตามลำดับนั้น จะมีความสัมพันธ์ดังสมการ

$$D = \frac{\ln a - \ln b \left(\frac{0.05a}{0.95a} \right)}{c} \quad (\text{A23})$$

เมื่อ D คือ ระยะเวลาการสร้างสมบันหนักแห้งของเมล็ดจากระยะผสมเกสร ($^{\circ}\text{Cd}$) และ In คือ ผลการที่มีธรรมชาติหรือผลของการที่มีแบบเปียร์

การก่อเกิดผลผลิต

คำว่า “การก่อเกิดผลผลิตของเมล็ด (grain yield formation)” ในที่นี้หมายความถึง น้ำหนักแห้งที่สร้างขึ้นและเก็บสะสมอยู่ในส่วนของเมล็ดตั้งแต่ระยะเริ่มแรกภายหลังการผสมเกสรจนกระทั่งถึงระยะสุดท้ายแก่ทางสรีรวิทยาในช่วงเก็บเกี่ยวผลผลิต ซึ่งอัตราส่วนของน้ำหนักแห้ง เมล็ดกับน้ำหนักแห้งทั้งหมดของพืชส่วนหนึ่งอีกต้นที่ช่วงเวลาใด ๆ ก็คือ ค่าดัชนีการเก็บเกี่ยวที่ช่วงเวลานั้น ๆ แต่เนื่องจากการแยกเมล็ดที่มีการสร้างสมบันหนักแห้งในแต่ละวงของอัญพืชที่แตกก่อได้ดี เช่น ข้าว จะมีความยุ่งยากและจำเป็นต้องใช้เวลาค่อนข้างมาก โดยเฉพาะอย่างยิ่ง แล้วในกรณีที่มีการเก็บตัวอย่างเป็นจำนวนมาก ๆ จะมีข้อจำกัดหลายประการและข้อมูลที่ได้มักขาดความเที่ยงตรง ดังนั้นในงานทดลองครั้งนี้การก่อเกิดผลผลิตของเมล็ดในแต่ละช่วงเวลาที่นี้ การเก็บตัวอย่างได้ สามารถค่าได้จากสมการ

$$\text{GY} = \text{PW} \times \text{PCF} \quad (\text{A24})$$

เมื่อ GY คือ ผลผลิตของเมล็ดที่ช่วงเวลา n PW คือ น้ำหนักวง และ PCF คือ ตัวประกอบการแปลงผันของวง (panicle conversion factor) สำหรับปรับค่าน้ำหนักวงให้เป็นค่าผลผลิตของเมล็ด ซึ่งค่า PCF ได้พิจารณาจากความสัมพันธ์ดังสมการ

$$\text{PCF} = \frac{Y_h}{\text{PW}_h} \quad (\text{A25})$$

เมื่อ Y_h และ PW_h คือ ผลผลิตของเมล็ด และน้ำหนักวงที่ระยะเก็บเกี่ยวผลผลิต ตามลำดับ ซึ่ง อัตราส่วนดังกล่าวมีข้อสมมติสำคัญ 2 ประการ กล่าวคือ ประการแรก จำนวนเมล็ดที่มีการสร้างสมบันหนักแห้ง รวม $^{\prime}$ ที่บันทึกได้ในระยะเก็บเกี่ยวผลผลิตกับที่ระยะการเก็บตัวอย่างได้ ในช่วงที่มีการสร้างสมบันหนักแห้งเมล็ดจะมีจำนวนเมล็ดเท่ากัน ประการที่สอง อัตราส่วนระหว่างน้ำหนักวงและจำนวนเมล็ดไม่สมบูรณ์ (ผลลัพธ์ของน้ำหนักวงกับน้ำหนักเมล็ด) กับน้ำหนักวง ที่ระยะเก็บเกี่ยวผลผลิตกับที่ระยะการเก็บตัวอย่างได้ จะมีอัตราส่วนเดียวกัน นอกจากข้อสมมติทั้ง 2 ประการนี้แล้ว การวิจัยย้อนหลังอีกมากmany ที่ศึกษาเกี่ยวกับการเจริญเติบโตของเมล็ดต่างก็รายงานผลการทดลองว่า การสร้างสมบันหนักแห้งของเมล็ดในช่วงที่มีการเจริญเติบโตอย่างรวดเร็ว จะมีอัตราการเพิ่มน้ำหนักแห้งของเมล็ดในลักษณะเกือบคงที่ ดังนั้นค่า PCF ที่

ระยะเก็บเกี่ยวผลผลิตกับที่ระยะการเก็บตัวอย่างได้ พอกจะอนุมานได้ว่าเป็นอัตราส่วนเดียวกัน และมีค่าคงที่ที่ใช้สำหรับการแปลงผันแปรนักงานให้เป็นน้ำหนักผลผลิตของเมล็ดที่ช่วงการเก็บตัวอย่างนั้น ๆ ได้

ความแม่นยำของสมการได้ สำหรับประมาณค่าผลผลิตของเมล็ดในแต่ละสภาพและวิธีการปลูกนั้น ๆ จะตัดสินด้วยการพิจารณาค่ารากกำลังสองเฉลี่ยของการเบี่ยงเบน (root mean square deviation, RMSD) ที่เกิดจากผลรวมเฉลี่ยด้วยการเบรี่ยบเทียบแบบคู่ของส่วนต่างข้อมูลคู่ที่ i ได้ ๆ ระหว่างค่าสังเกต(O_i) และค่าท่านาย(P_i) ที่คำนวณได้ โดย n เป็นจำนวนข้อมูลตั้งความสัมพันธ์

$$\text{RMSD} = \left[\frac{1}{n} \sum_{i=1}^n (O_i - P_i)^2 \right]^{0.5} \quad (\text{A26})$$

สมการได้มีค่า RMSD ต่ำกว่า หมายความว่า สมการนั้น ๆ จะให้ค่าการทำนายผลผลิตเมล็ดที่ถูกต้องและมีความแม่นยำที่ต่ำกว่ากันนั่นเอง

การวิเคราะห์ข้อมูลและการคำนวนค่าพารามิเตอร์

ความสัมพันธ์ระหว่างลักษณะต่าง ๆ ของตัวแปรที่ศึกษา ความแตกต่างทางสถิติจาก การวิเคราะห์ANOVA ในการเปรียบเทียบค่าเฉลี่ยด้วยวิธี Student Newman-Keuls k-test และการทดสอบค่า t ที่ระดับความเชื่อมั่น $P=0.05$ ตัวแปรแต่ละลักษณะที่วิเคราะห์ทางสถิติไม่ว่าจะการเปรียบเทียบระหว่างเป็นทริเมเนต์ในตรีเจนหรือระหว่างแบบวิธีการปลูก ตลอดจนการทดสอบความเป็นอนุพันธ์ของสัมประสิทธิ์การสัมมนาและส่วนตัดแกน Y (y intercept) ได้ประเมินผลด้วยโปรแกรมสถิติสำหรับปีของ STAT-ITCF Statistical package, Version 3.20 (ITCF, 1987) สำหรับลักษณะระยะพัฒนาการของตัวอยอดที่บันทึกได้ในแต่ละครั้งของการเก็บตัวอย่างได้แสดงด้วยค่า มัธยฐานของระยะตายอดที่บันทึกผลได้ในวันนั้น ๆ ส่วนค่าพารามิเตอร์ของรีเกรสชันเส้นตรงและรีเกรสชันเส้นโค้งของพังก์ชันต่าง ๆ ทางคณิตศาสตร์ที่แสดงความสัมพันธ์ระหว่างตัวแปรแต่ละลักษณะที่ศึกษา กับระยะเวลาการเจริญเติบโตหลังการหัวนเเมล็ดข้าวของ และหรือกับตัวแปรอื่น ๆ ได้คำนวนหาค่าจากการทำซ้ำกำลังสองน้อยสุด (iterative least squares method) ด้วยโปรแกรมสำเร็จรูป SigmaPlot scientific graphing system, version 5.00 (Jandel Corporation, 1992)

Central Library
Prince of Songkla University

ผลการวิจัย

ข้อมูลการทดลองที่บันทึกได้ตามลำดับขั้นตอนการเจริญเติบโตและพัฒนาการของข้าว ซึ่งเริ่มตั้งแต่ขั้นตอนแรกในระยะต้นกล้าจนถึงข้าวเริ่มปีกุ่มในที่ 3 จนกระทั่งถึงระยะสุดแก่ทางศรีวิทยาในช่วงเก็บเกี่ยวผลผลิตของฤดูปลูกข้าวนาปี ที่เกี่ยวข้องกับกระบวนการสร้างผลผลิตของการทดลองในกระถางและในแปลงนาเกษตรกร จำแนกเป็นข้อ ๆ มีรายละเอียดดังนี้ ดังต่อไปนี้

สภาพภูมิอากาศในช่วงการทดลอง

ฤดูปลูกข้าวนาปีของภาคใต้โดยทั่วไปเกษตรกรจะเริ่มน้ำหนาเม็ดข้างอกในการทำนาแบบหัวน้ำตามและเพื่อการตกถ่านในการทำนาแบบปักดำประมาณช่วงต้นถึงกลางเดือนกันยายน และจะเก็บเกี่ยวผลผลิตประมาณเดือนกุมภาพันธ์ สภาพภูมิอากาศตลอดช่วงการเจริญเติบโตและพัฒนาการของข้าวในการทดลองครั้งนี้ เริ่มตั้งแต่เดือนกันยายน 2538 ถึงเดือนกุมภาพันธ์ 2539 (Table 1; Fig. 1) ปรากฏผลว่า สงขลาและพัทลุงมีการกระจายของฝนดี ฝนตกทุกเดือนโดยพฤษจิกายนเป็นเดือนที่มีฝนตกมากที่สุด ปริมาณฝนและจำนวนวันที่มีฝนตกของสงขลา มีค่าเท่ากับ

Table 1. Climatic conditions during the 1995-96 wet season.

Location	Sep.95	Oct.95	Nov.95	Dec.95	Jan.96	Feb.96	Mean	Total
Rainfall (mm)								
Songkhla	212.8	247.9	488.4	443.8	84.5	33.9	--	1,511.3
Phatthalung	73.6	172.4	824.7	173.7	85.7	63.6	--	1,393.7
Rainy days (day)								
Songkhla	21	25	27	23	7	6	--	109
Phatthalung	15	23	25	18	13	13	--	107
Temperature ($^{\circ}\text{C}$)								
Songkhla	28.0	27.8	26.7	26.2	26.4	27.2	27.1	--
Phatthalung	27.9	27.4	26.2	25.7	26.4	26.1	26.6	--
Sunshine duration (hr)								
Songkhla	3.8	4.4	4.3	3.7	8.2	10.2	5.8	--
Phatthalung	4.5	4.2	2.9	4.0	6.9	7.7	5.0	--

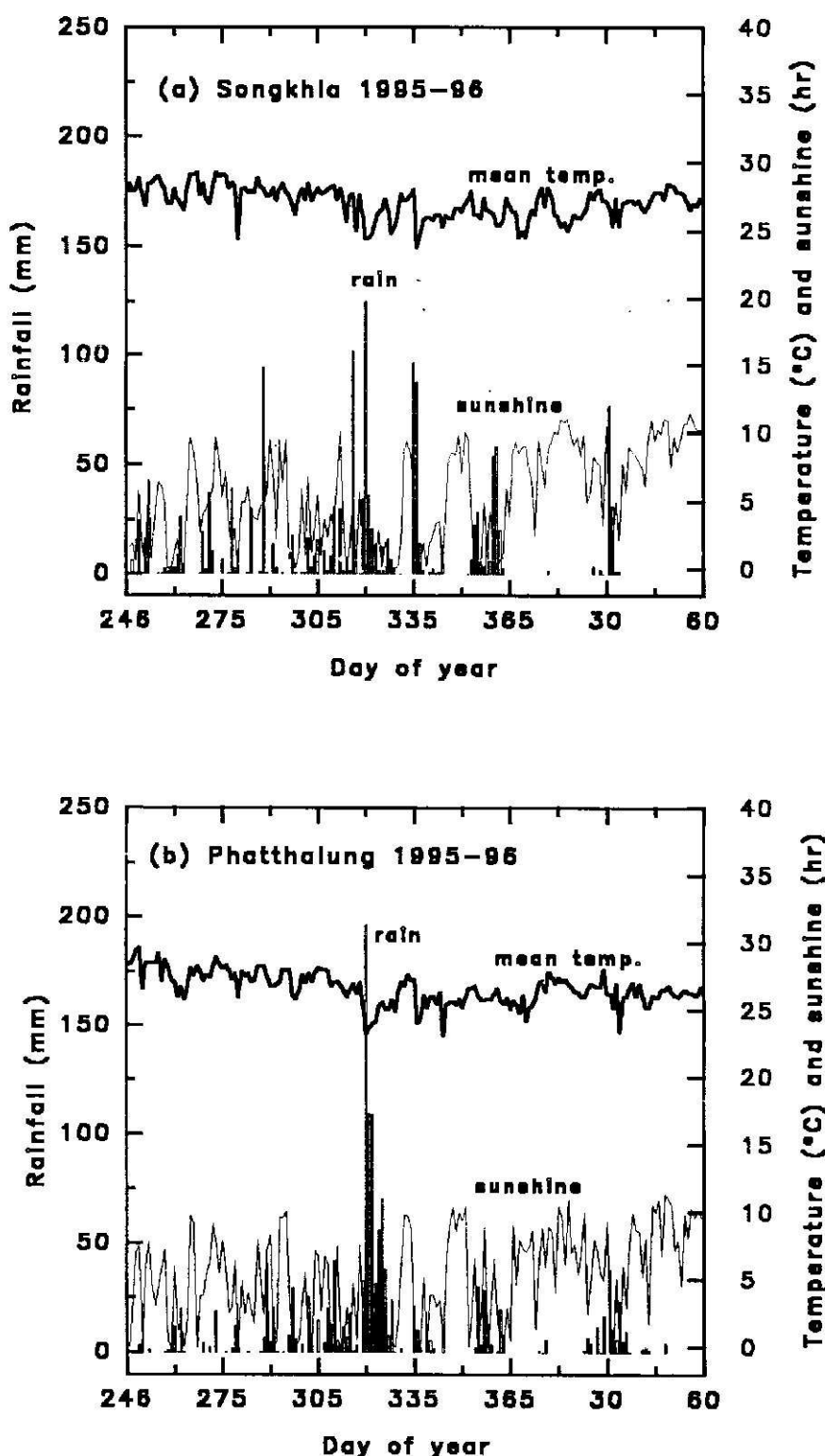


Fig. 1. Amount of rainfall, mean air temperature and sunshine duration at Songkhla and Phatthalung from September 1995 to February 1996.

1,511.3 มิลลิเมตร และ 109 วัน ส่วนพัทลุงจะมีค่าต่ำกว่าเล็กน้อยเท่ากับ 1,393.7 มิลลิเมตร และ 107 วัน ตามลำดับ อุณหภูมิอากาศแปรผันอยู่ในช่วงระหว่าง 25.7-28.0 °C สำหรับค่าเฉลี่ยช่วงเวลาที่มีแสงแดดของสงขลาและพัทลุงในเดือนกันยายนถึงธันวาคมจะต่ำกว่าเดือนกรกฎาคมและกุมภาพันธ์ โดยมีค่าเฉลี่ยผันแปรระหว่าง 3.8-4.5 และ 6.9-10.2 ชั่วโมง ตามลำดับ ซึ่งภาพรวมสภาพทั่ว ๆ ไปของลักษณะภูมิอากาศได้แสดงให้เห็นว่า สงขลามีปริมาณฝน จำนวนวันที่มีฝนตกระดับอุณหภูมิอากาศ และช่วงเวลาที่มีแสงแดดมากกว่าพัทลุงเล็กน้อย

อายุพืชที่ระยะต่าง ๆ ของการเจริญเติบโตและพัฒนาการ

ค่าความร้อนสะสมภายหลังการหว่านเมล็ดข้าวของชนิดนี้จะต่าง ๆ ของการเจริญเติบโตและพัฒนาการของข้าวที่คำนวณได้จากการ A16 การทดลองในกระถางและในแปลงนาเกษตรกรที่แสดงใน Table 2 นั้น ค่าความร้อนสะสมเฉลี่ยรายวันของการทดลองครั้งนี้มีค่าแปรผันประมาณ 18-20 °Cd

Table 2. Accumulated thermal time in °Cd after sowing at various growth stages for (a) pot experiment and (b) field experiment during the 1995-96 wet season.

Growth stage	Pot experiment	Field experiment	
		Wet sown rice	Transplanted rice
Transplanting	-	--	543.9
Beginning of tillering	217.3	408.9	759.3
Turning point	519.2	nd	nd
Beginning of stem elongation	nd	1,090.4 (1,046.6)	940.1 (1,025.5)
Panicle initiation	~1,200.0	nd	nd
Flag leaf	1,786.1	nd	nd
50% flowering	2,015.6	1,921.3	2,107.0
Harvest maturity	2,517.6	2,376.3	2,535.4

nd: non-detection

* Estimated from equations (1) and (2).

ข้อมูลการเจริญเติบโตและพัฒนาการระยะต่าง ๆ ที่กำหนดโดยค่าความร้อนสะสมภายหลังการหว่านเมล็ดข้าวของ พบร่วม เกษตรกรในพื้นที่เริ่มปักดำเมื่อต้นกล้ามีอายุประมาณ 540 °Cd

(28 วัน) ข้าวทดลองพันธุ์เนื้องพัทลุงที่ปลูกในกระถางจะเริ่มแตกกอ ก่อนการปลูกในสภาพแเปลงน ของการปลูกแบบการหัวน้ำตามและแบบการปักต่ำ โดยมีค่าเฉลี่ยประมาณ 220°Cd (11 วัน) 410 $^{\circ}\text{Cd}$ (21 วัน) และ 760°Cd (39 วัน) ตามลำดับ ในลำดับต่อๆ ไป ระยะต้นกล้าของทดลองในกระถางจะเริ่มปรากฏในชั้ลงก่อนเข้าสู่ระยะเริ่มต้น ซึ่งจุดที่เกิดเปลี่ยนแปลงอัตราการปรากฏใน (turning point) ตั้งกล่าวไว้จะเกิดขึ้นเมื่อข้าวมีอายุประมาณ 520°Cd (27 วัน) จะเริ่มปรากฏในชั้ลงที่จุดเปลี่ยนแปลงการปรากฏใน (turning point) เมื่อประมาณ 520°Cd (27 วัน) ระยะเริ่มต้นของการปลูกในสภาพแเปลงน เกษตรกรแบบหัวน้ำตามและแบบปักต่ำ มีค่าโดยประมาณเท่ากับ $1,090^{\circ}\text{Cd}$ (56 วัน) และ 940°Cd (48 วัน) ตามลำดับ ส่วนระยะการเริ่มกำเนิดต่อๆ กัน (Stage II) ตามการจำแนกของ Matsushima, 1975 และช่วงเวลาการปรากฏในตั้งแต่ใบแรกจนกระทั่งถึงใบสุดท้ายที่คอใบธงไฟล์พันจากใบไป ที่ประเมินได้จากการทดลองในกระถาง มีค่าประมาณ บ่าประมาณ $1,200^{\circ}\text{Cd}$ (62 วัน) และ $1,790^{\circ}\text{Cd}$ (92 วัน) ตามลำดับ สำหรับระยะดอกบาน 50% ของการทดลองในกระถางจะข้ากว่าการปลูกในสภาพแเปลงนหัวน้ำตาม แต่จะเร็วกว่าปลูกในสภาพแเปลงนแบบปักต่ำค่าเฉลี่ยที่บันทึกได้โดยประมาณเท่ากับ $2,015^{\circ}\text{Cd}$ (103 วัน) $1,920^{\circ}\text{Cd}$ (99 วัน) และ $2,110^{\circ}\text{Cd}$ (108 วัน) ทำนองเดียวกันระยะสุดท้ายของการเจริญเติบโตและพัฒนาการของการสุกแก่ทางศรีวิทยาในช่วงเก็บเกี่ยวผลผลิตจะแสดงผล เช่นเดียวกับระยะดอกบาน 50% โดยมีค่าเท่ากับ $2,520^{\circ}\text{Cd}$ (129 วัน), $2,380^{\circ}\text{Cd}$ (122 วัน) และ $2,535^{\circ}\text{Cd}$ (130 วัน) ของการทดลองในกระถาง สภาพแเปลงนปลูกแบบหัวน้ำตาม และแปลงปลูกแบบปักต่ำ ตามลำดับ

การปรากฏใน

ลักษณะการปรากฏในของต้นหลักที่ได้รับปริมาณไนโตรเจนที่ระดับต่างๆ กันจากการปลูกในกระถางของการทดลองที่ 1.1 (Fig. 2) เริ่มตั้งแต่ระยะต้นกล้าขึ้นมาเป็น 3 ใน จนถึงระยะใบรงจะมีลักษณะการปรากฏในเป็นแบบเดียวกัน อัตราการปรากฏในจะเริ่วในช่วงแรกๆ ของการเจริญเติบโต หลังจากนั้นอัตราการปรากฏในจะค่อยๆ ข้าลดหลั่นลงตามลำดับเมื่อข้าวมีอายุมากขึ้น และอัตราการปรากฏในจะเพิ่มสูงขึ้นอีกครั้งหนึ่งในช่วง 4-5 ใบสุดท้าย ผลการคำนวณหาจุดเปลี่ยนแปลงการปรากฏในในช่วงแรกของการเจริญเติบโตด้วยวิธีของ Draper and Smith (1981) จากการสร้างตัวแปรหุ่น และข้อมูลการตรวจสังเกตระยะพัฒนาตายอด (ดูผลการทดลองที่ 1.2) ทำให้ทราบว่าข้าวพันธุ์เนื้องพัทลุงเริ่มมีอัตราการปรากฏในชั้ลงที่จุดเปลี่ยนแปลงการปรากฏในที่ระยะ 8-9 ใบ และเริ่มกำเนิดต่อๆ กันที่ระยะ 12-13 ใบ จำนวนใบหั้ง念佛ของต้นหลักที่บันทึกได้มีจำนวนในประมาณ 15-16 ใบ ซึ่งแสดงให้เห็นว่าในการทดลองครั้งนี้จะมีช่วงเวลาของการเกิดจุดเปลี่ยนแปลงการปรากฏในและการกำเนิดต่อๆ กันได้เร็วกว่า แต่มีจำนวนใบของต้นหลักน้อยกว่า เมื่อเปรียบเทียบกับรายงานผลการทดลองในที่ตเมนต์ NO ของข้าวพันธุ์เนื้องพัทลุงพันธุ์เดียวกัน

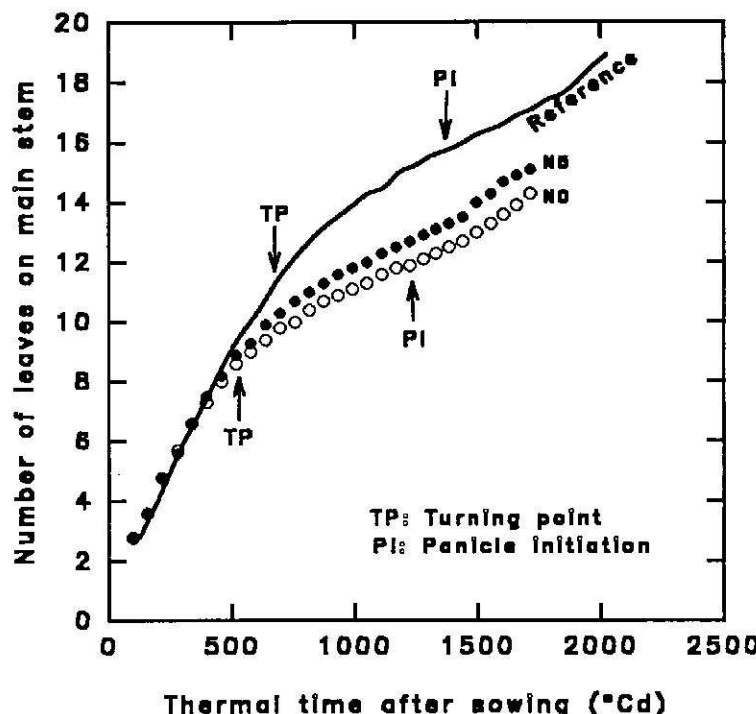


Fig. 2. Relationship between number of leaves on main stem and thermal time after sowing for pot experiment during the 1995-96 wet season (only treatment N0 and N5 are presented). Solid line represent the treatment N0 in pot experiment (1993 dry season). Arrows indicate the timing for turning point (TP) and panicle initiation (PI).

ในสภาพการปลูกที่หนาแน่นน้อยกว่า (1 ต้น กระถาง¹) ดังเห็นกราฟข้างบนจากผลงานทดลองในปี 2536

ความแตกต่างระหว่างทรีตเม้นต์ในตรรженที่เกี่ยวข้องกับจำนวนใบที่ระยะต่าง ๆ ของการเจริญเติบโตซึ่งแสดงผลการวิเคราะห์ทางสถิติได้ใน Table 3 นั้น จำนวนใบที่ปรากฏในแต่ละระยะการเจริญเติบโตจะสัมพันธ์กับปริมาณไนโตรเจน กล่าวคือ

- จุดเปลี่ยนแปลงการปรากฏใบ: $N0 \leq N1 \leq N2 \leq N3$ และ

$$N1 \leq N2 \leq N3 \leq N4 \leq N5 \quad \text{ที่ } P=0.05.$$

- ระยะเริ่มกำเนิดคาดอก: $N0 \leq N1 \leq N2; N1 \leq N2 \leq N3;$

$$N3 \leq N4 \text{ และ } N4 \leq N5 \quad \text{ที่ } P=0.001$$

- ระยะใบอ่อน: $N0 \leq N1 \leq N2 \leq N3; N3 < N4 \text{ และ}$

$$N4 < N5 \quad \text{ที่ } P=0.001$$

ความแปรปรวนของการทดลองทุกระยะการเจริญเติบโตมีค่าน้อยกว่า 2%

Table 3. Number of leaves on main stem at various growth stages for pot experiment during the 1995-96 wet season.

Treatment	Turning point	Panicle initiation	Flag leaf
N0	8.6b	11.9d	15.1c
N1	8.7ab	12.1cd	15.1c
N2	8.7ab	12.1cd	15.2c
N3	8.7ab	12.4bc	15.3c
N4	8.9a	12.5ab	15.5b
N5	8.9a	12.7a	15.9a
F-test	*	***	***
CV (%)	1.03	1.06	0.72

*,*** Significant at the 0.05 and 0.001 probability levels

Within columns, treatment means followed by the same letter are not significantly different at 0.05 probability level (Student-Newman-Keuls k-test)

ความสัมพันธ์ระหว่างจำนวนใบของทวีตเมนต์ในต่อเจนทั้ง 6 ระดับ กับช่วงเวลาความร้อนสะสมหลังการห่านเมล็ดข้าวของอุปกรณ์เจริญเติบโตและพัฒนาการทั้ง 3 ระยะ ประกอบด้วย (1) ระยะต้นกล้าถึงจุดเปลี่ยนแปลงการปราภูมิ ใน (2) ระยะจุดเปลี่ยนแปลงการปราภูมิถึงระยะเริ่มกำเนิดตัวดอก และ (3) ระยะเริ่มกำเนิดตัวดอกถึงระยะใบอ่อน มีลักษณะแบบรีเกรสรชันเลี้น ตรง จำนวนใบที่ช่วงเวลาต่าง ๆ คำนวณค่าได้จากสมการที่แสดงใน Table 4 และค่าฟิลโลโครอนของทวีตเมนต์ต่าง ๆ ในช่วงตั้งกล้า จะประมาณค่าได้จากส่วนกลับของสัมประสิทธิ์รีเกรสรชัน (1/b) ค่าที่คำนวณได้จากการทวีตเมนต์ต่าง ๆ แสดงแนวโน้มให้เห็นว่า ค่าฟิลโลโครอนหรืออัตราการปราภูมิ มีความสัมพันธ์แบบผกผันกับปริมาณในต่อเจน กล่าวคือ ทวีตเมนต์ N0 ต้องใช้เวลาสำหรับการปราภูมิแต่ละใบมากกว่าทวีตเมนต์อื่น ๆ ที่ได้รับปริมาณในต่อเจนที่สูงขึ้นในทุก ๆ ช่วงการเจริญเติบโตและพัฒนาการ ตั้งแต่ระยะต้นกล้าจนจะมีใบ 3 ใบจนถึงระยะใบอ่อน สมการรีเกรสรชันสำหรับการประมาณค่าจำนวนใบของทวีตเมนต์ต่าง ๆ ในช่วงระยะเวลาตั้งกล้า มีค่า r^2 มากกว่า 0.95

การยืดลำต้น

ความสูงต้นหลักที่ช่วงเวลาต่าง ๆ หลังการห่านเมล็ดข้าวของอุปกรณ์เจริญเติบโตและพัฒนาการแบบหนาแน่น้ำตามแบบบีกัด (Fig.3) มีลักษณะรูปร่างการเจริญเติบโตแบบพังก์ชัน เอกซ์โพเนนเชียล กล่าวคือ ความสูงต้นหลักจะคงที่ หรือเพิ่มขึ้นอย่างช้า ๆ ในช่วงแรก ๆ ของการ

Table 4 Number of leaves on the main stem as a function of thermal time in °Cd after sowing, phyllochron and the coefficient of determination (r^2) for treatment nitrogens in pot experiment at various growth stages during the 1995-96 wet season.

Treatment	Regression equations (Y = a+bX)	Phyllochron (1/b; °Cd leaf ⁻¹)	r^2
(1) From 3 leaves until turning point:			
N0	NL=1.6+14.00x10 ⁻³ CDTT	71.5	0.990 ***
N1	NL=1.5+14.32x10 ⁻³ CDTT	69.8	0.993 ***
N2	same as N1	69.3	0.993 ***
N3	same as N1	69.8	0.991 ***
N4	NL=1.4+14.85x10 ⁻³ CDTT	67.3	0.994 ***
N5	NL=1.4+14.75x10 ⁻³ CDTT	67.8	0.995 ***
(2) From turning point until panicle initiation:			
N0	NL=6.6+4.44x10 ⁻³ CDTT	225.2	0.984 ***
N1	NL=6.8+4.47x10 ⁻³ CDTT	223.7	0.986 ***
N2	NL=6.8+4.53x10 ⁻³ CDTT	220.8	0.981 ***
N3	NL=6.7+4.80x10 ⁻³ CDTT	208.3	0.988 ***
N4	NL=6.9+4.73x10 ⁻³ CDTT	211.4	0.982 ***
N5	NL=6.8+4.98x10 ⁻³ CDTT	200.8	0.977 ***
(3) From panicle initiation until flag leaf:			
N0	NL=5.6+5.02x10 ⁻³ CDTT	199.2	0.989 ***
N1	NL=5.8+5.05x10 ⁻³ CDTT	198.0	0.997 ***
N2	NL=5.6+5.14x10 ⁻³ CDTT	194.6	0.990 ***
N3	NL=5.8+5.23x10 ⁻³ CDTT	191.2	0.990 ***
N4	NL=5.7+5.42x10 ⁻³ CDTT	184.5	0.991 ***
N5	NL=5.8+5.45x10 ⁻³ CDTT	183.5	0.988 ***

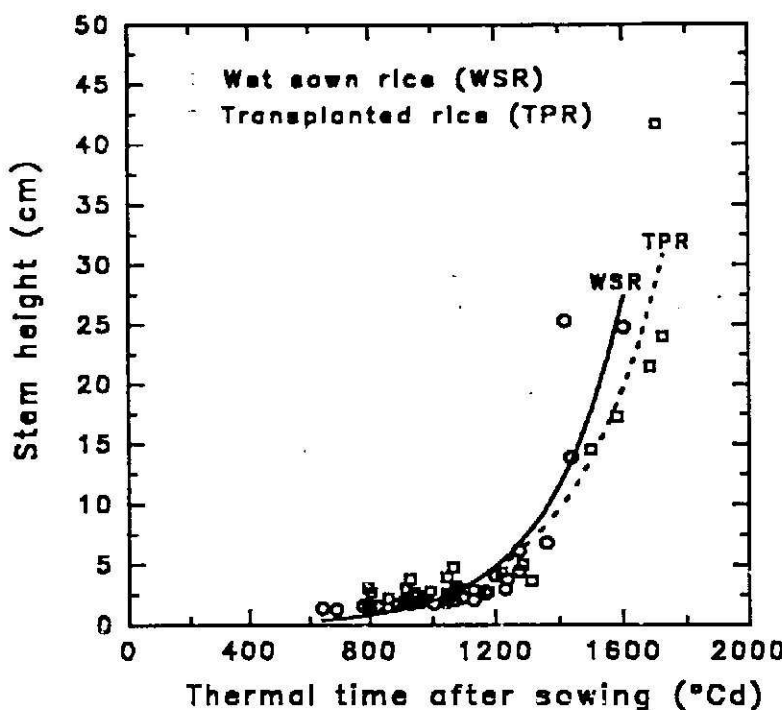


Fig. 3. Relationship between stem height (culm+apex) of main stem and thermal time after sowing for field experiment of wet sown rice and transplanted rice during the 1995-96 wet season. The fitted curves are present in equations (1) and (2), respectively.

เจริญเติบโตและจะเพิ่มขึ้นอย่างรวดเร็วเมื่อค่าความร้อนสะสมมากกว่า 1,000 °Cd (ประมาณ 51 วัน) หลังการหว่านเมล็ดข้าวของ ก้า ความสูงต้นหลักของการปลูกข้าวแบบหว่านน้ำตาม (STH_{WSR}) และ แบบปักดำ (STH_{TPR}) ที่สัมพันธ์กับค่าความร้อนสะสม (CDTT) หลังการหว่านเมล็ดข้าวของ สามารถ คำนวณค่าได้จากสมการ

$$STH_{WSR} = 2.69 \times 10^{-2} \exp(4.33 \times 10^{-3} CDTT), R^2 = 0.807^{***} \quad (1)$$

$$STH_{TPR} = 6.36 \times 10^{-2} \exp(3.58 \times 10^{-3} CDTT), R^2 = 0.868^{***} \quad (2)$$

โดยมีค่า R^2 มากกว่า 0.80 ค่าความร้อนสะสมที่คำนวณได้จากการขณะที่ต้นหลักสูง 25 มิลลิเมตรของการปลูกแบบหว่านน้ำตามและแบบปักดำ มีค่าเท่ากับ 1,050.8 และ 1,010.9 °Cd หรือ เท่ากับ 54 และ 52 วันหลังการหว่านเมล็ดข้าวของ ตามลำดับ

สำหรับสภาพการปลูกในกระถางของการทดลองที่ 1.1 ความสูงต้นหลักของทวิตเมนต์ ต่าง ๆ ขณะที่มีค่าความร้อนสะสม 1,188.5 °Cd (61 วัน) ปรากฏผลการวิเคราะห์ทางสถิติว่า ความ

สูงต้นหลักของทวีตเมนต์ $N_0 \leq N_1 \leq N_2$; $N_2 \leq N_3$ และ $N_3 < N_4 \leq N_5$ ที่ระดับความเชื่อมั่น $P=0.001$ โดยมีส่วนประสิทธิ์การแปรผันเท่ากับ 13.68% ค่าเฉลี่ยความสูงต้นหลักในทวีตเมนต์ N_0 , N_1 , N_2 , N_3 , N_4 และ N_5 เท่ากับ 3.4, 4.2, 4.2, 5.6, 7.3 และ 7.7 ซม. ตามลำดับ

พัฒนาการของตัวอักษร

ระยะต่าง ๆ ของตัวอักษรที่พัฒนาเปลี่ยนแปลงเป็นตัวอักษรในช่วงขณะยังลำต้น (Table 5) สามารถจัดจำแนกอย่างกว้าง ๆ ออกเป็น 2 ระยะ ระยะแรกเป็นการพัฒนาของรากที่เกี่ยวกับการสร้างโครงสร้าง และระยะต่อไป (ระยะ II-VIII) ส่วนระยะหลังเป็นการพัฒนาของดอกที่เกี่ยวกับการสร้างจำนวนดอกและการเปลี่ยนสภาพของเรณูเซลล์แม่ (ระยะ IX-XXII) ข้อมูลรายอุดตันหลักที่บันทึกได้ในวันเก็บตัวอย่างครั้งแรกเมื่อข้าวมีอายุ 1,406.0 °Cd (72 วัน) จากทวีตเมนต์ต่าง ๆ ในกรุงเทพฯ ระยะของการทดลองที่ 1.2 พบร้า ทวีตเมนต์ N_0 และ N_1 มีการพัฒนาต้ายอดได้ล่าช้ากว่าทวีตเมนต์ N_2 และ N_3 โดยทวีตเมนต์ N_0 และ N_1 กำลังอยู่ในระยะแรกของ การเปลี่ยนสภาพระหว่างปฐมภูมิ (ระยะ IV) ในขณะที่ทวีตเมนต์ N_2 และ N_3 อยู่ในระยะกลางของ การเปลี่ยนสภาพระหว่างปฐมภูมิ (ระยะ VI) แม้ว่าระยะพัฒนาการต้ายอดของทวีตเมนต์ N_0 ที่บันทึกได้ทั้ง 2 ครั้งในช่วงแรก ๆ ของการเก็บตัวอย่างจะแสดงผลค่อนข้างชัดเจนว่ามีพัฒนาการของรากที่สำคัญกว่า แต่การพัฒนาในระยะเริ่มเปลี่ยนสภาพของดอก (ระยะ IX) ขณะที่ต้ายอดสามารถสังเกตเห็นได้ด้วยตาเปล่า (Visual panicle initiation, VPI) รวมทั้งระยะพัฒนาการของดอกในลำดับต่อมา กลับพบว่าเกิดขึ้นในช่วงเวลาเดียวกันกับทวีตเมนต์ในต่อเจนอื่น ๆ ด้วย ผลดังกล่าวนี้ทำให้คาดคะเนได้ว่าทวีตเมนต์ต่าง ๆ เสรีสินธ์ระยะพัฒนาการของรากที่ช่วงเวลาประมาณ 1,480 °Cd (76 วัน) และเริ่มระยะพัฒนาการของดอกที่ช่วงเวลาประมาณ 1,500 °Cd (77 วัน) หลังการหันเมล็ดข้าวของ

ความสัมพันธ์ระหว่างความยาวรากกับระยะพัฒนาการต้ายอดของการเก็บตัวอย่างในช่วงเวลา 1,406.0-1,554.7 °Cd (72-80 วัน) ของทวีตเมนต์ในต่อเจนทั้ง 4 ระดับ (Fig.4) มีลักษณะการเพิ่มความยาวรากเป็นแบบพังก์ชันเอกซ์โพเนนเชียล เช่นเดียวกับลักษณะการเพิ่มความสูงลำต้น ความยาวราก (LPA) ของทวีตเมนต์ในต่อเจนระดับต่าง ๆ ที่ระยะพัฒนาการต้ายอด (STPA) ได้ สามารถประมาณค่าได้จากสมการ:

$$\text{ทวีตเมนต์ } N_0: LPA = 8.47 \times 10^{-2} \exp(30.48 \times 10^{-2} STPA), R^2 = 0.885*** \quad (3)$$

$$\text{ทวีตเมนต์ } N_1: LPA = 8.00 \times 10^{-2} \exp(31.36 \times 10^{-2} STPA), R^2 = 0.910*** \quad (4)$$

$$\text{ทวีตเมนต์ } N_2: LPA = 2.88 \times 10^{-2} \exp(43.35 \times 10^{-2} STPA), R^2 = 0.929*** \quad (5)$$

$$\text{ทวีตเมนต์ } N_3: LPA = 3.64 \times 10^{-2} \exp(42.50 \times 10^{-2} STPA), R^2 = 0.941*** \quad (6)$$

Table 5. Apical developmental stages of the main shoot following Matsushima's classification for the four nitrogen treatments during the stem elongation stage. Median stage of the apical in each date of sampling was obtained from 11 individual plants.

Treatment	Apical development stage at the date of sampling ^(a)					
	22/11/95	24/11/95	27/11/95	30/11/95	05/12/95	10/12/95
	(1406.0)	(1441.4)	(1496.7)	(1554.7)	(1642.9)	(1732.2)
<-----panicle development-----><-----spikelet development----->						
N0	IV	VII	IX	XI	>XII	PMC ^(b)
N1	IV	VII	IX	XI	>XII	PMC
N2	V	VII	IX	XI	>XII	PMC
N3	V	VII	IX	XI	>XII	PMC

(a) Numbers in parenthesis are the accumulated thermal time ($^{\circ}\text{Cd}$) after sowing.

(b) Differentiation to reduction division stages of pollen mother cell.

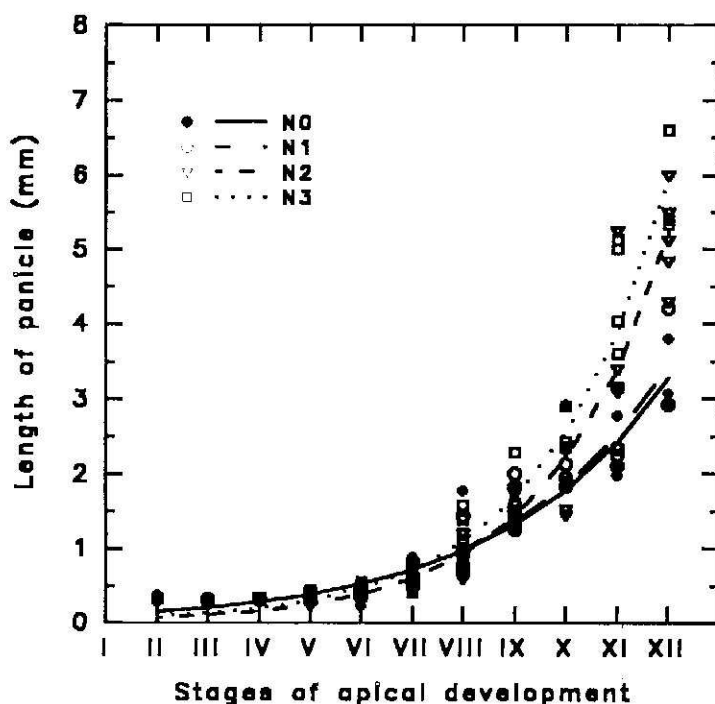


Fig. 4. Relationship between panicle length and apical development stages for treatment N0, N1, N2 and N3 in pot experiment during the 1995-96 wet season. The fitted curves are present in equations (3), (4), (5) and (6), respectively.

ความยาวรากต้นหลักของทรีตเม้นต์ต่าง ๆ จะมีค่าใกล้เคียงกันในช่วงระยะระหว่างการเปลี่ยนสภาพคอราก (ระยะ II) ขณะปลายรากเริ่มสร้างตัวออกในทางสรีรวิทยา (physiological panicle initiation, PPI) จนกระทั่งถึงระยะเริ่มแรกของการเปลี่ยนสภาพพระแสงทุติยภูมิ (ระยะ VII) ค่าเฉลี่ยความยาวรากที่ระยะ II และ VII จะเท่ากับ 0.1 และ 0.7 มิลลิเมตร ตามลำดับ ค่าความแตกต่างของความยาวรากระหว่าง ทรีตเม้นต์จะเริ่มแสดงให้เห็นชัดเจนขึ้นหลังจากการพัฒนาตามอุดาระยะ IX เป็นต้นไป ซึ่งค่าความยาวรากที่คำนวณได้จากการสำหรับทรีตเม้นต์ N0 N1 N2 และ N3 ที่การพัฒนาตามอุดาระยะ IX จะเท่ากับ 1.32 1.35 1.42 และ 1.67 และที่ระยะ XII จะเท่ากับ 3.28 3.45 5.23 และ 5.97 มิลลิเมตร ตามลำดับ ลักษณะการเจริญเติบโตในด้านความยาวราก (Fig.5) ของทรีตเม้นต์ทั้ง 4 ปรากฏว่ารากจะเริ่มเพิ่มขนาดขึ้นอย่างรวดเร็วในช่วงการเปลี่ยนสภาพออกระหว่างการพัฒนาตามอุดาระยะ XII-XIII ขณะข้าวมีอายุประมาณ $1,600^{\circ}\text{Cd}$ (83 วัน) จนกระทั่งมีขนาดรากยาวสุดที่อายุข้าวประมาณ $1,820^{\circ}\text{Cd}$ (95 วัน) หรือก่อนระยะผอมสมเกรสรอบประมาณ 5 วัน ขนาดเฉลี่ยความยาวรากสูงสุดที่บันทึกได้ในทรีตเม้นต์ N0, N1, N2 และ N3 มีค่าเท่ากับ 172.0, 179.3, 195.6 และ 225.0 มิลลิเมตร ตามลำดับ

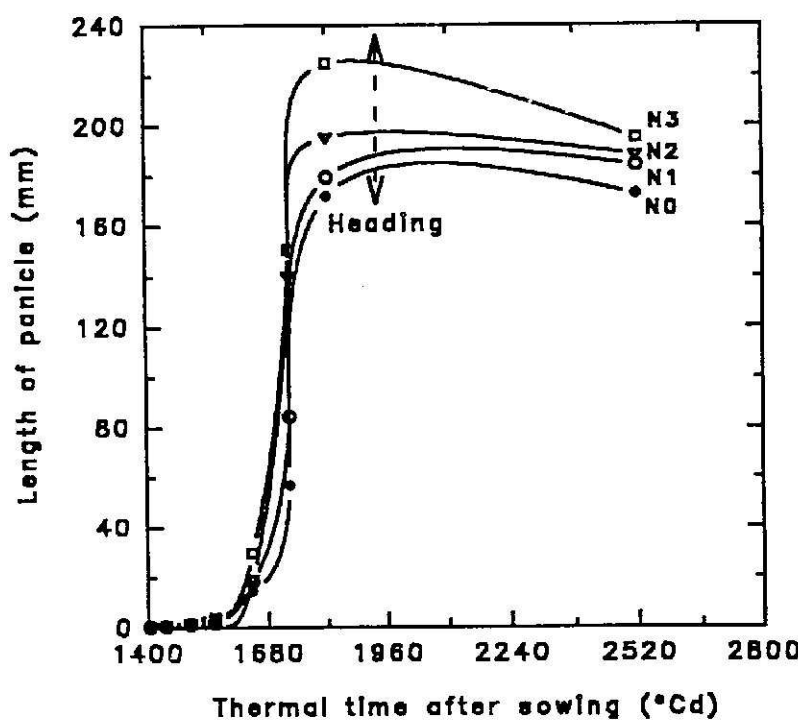


Fig. 5. Relationship between panicle length and thermal time after sowing for treatment N0, N1, N2 and N3 in pot experiment during the 1995-96 wet season. Spline curves were fitted to the observed data. Each observation point is the mean of the 11 individual plants.

จำนวนใบต้นหลักในวันเก็บตัวอย่างครั้งแรก ($1,406.0^{\circ}\text{Cd}$) มีความผันแปรตามระดับอัตราปริมาณไนโตรเจน กล่าวคือ 12.5, 12.8, 12.8 และ 13.0 ใน ตามลำดับสำหรับทรีตเมนต์ N0, N1, N2 และ N3 อย่างไรก็ตามจำนวนใบหั้งหมดของต้นหลักไม่มีความแตกต่างระหว่างทรีตเมนต์ โดยเฉลี่ยจำนวนใบหั้งหมดมีประมาณ 15 ใน จำนวนใบที่ปรากฏ (NL) ของหั้ง 4 ทรีตเมนต์ มีความสัมพันธ์แบบเรียบสุขันเส้นตรงกับค่าความร้อนสะสม (CDTT) หลังการหัวแมล็ดข้าวอก (Fig. 6) และจำนวนใบที่ช่วงเวลาต่าง ๆ ประมาณค่าได้จากการสมการ

$$\text{ทรีตเมนต์ N0: } NL = 5.50 + 4.95 \times 10^{-3} \text{ CDTT}, \quad r^2 = 0.998^{***} \quad (7)$$

$$\text{ทรีตเมนต์ N1: } NL = 5.98 + 4.83 \times 10^{-3} \text{ CDTT}, \quad r^2 = 0.990^{***} \quad (8)$$

$$\text{ทรีตเมนต์ N2: } NL = 6.31 + 4.65 \times 10^{-3} \text{ CDTT}, \quad r^2 = 0.969^{***} \quad (9)$$

$$\text{ทรีตเมนต์ N3: } NL = 6.22 + 4.83 \times 10^{-3} \text{ CDTT}, \quad r^2 = 0.982^{***} \quad (10)$$

อัตราการปรากฏใบในช่วงการยืดลำต้นของทรีตเมนต์ต่าง ๆ มีค่าโดยประมาณ 5×10^{-3} ใน $^{\circ}\text{Cd}^{-1}$

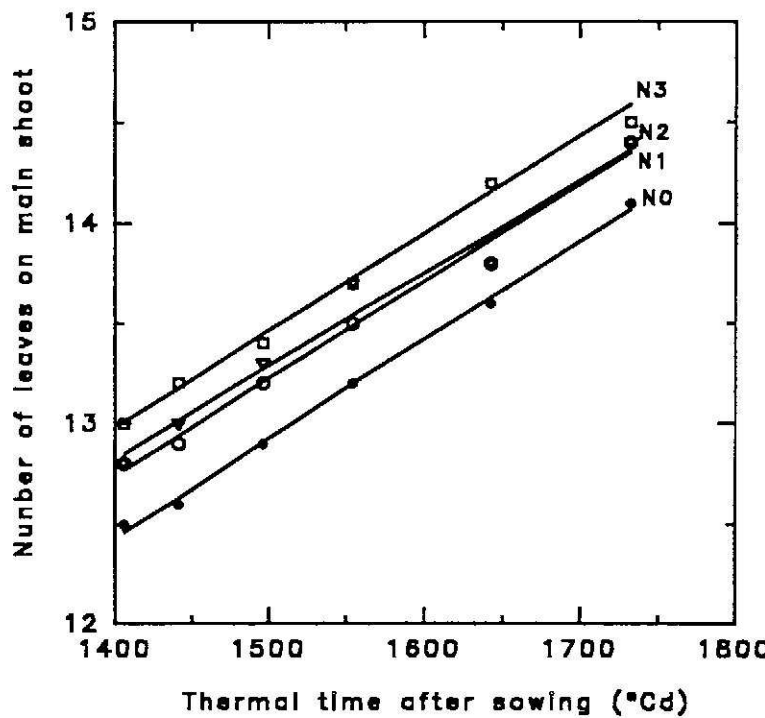


Fig. 6. Relationship between Huan leaf number during stem elongation and thermal time after sowing for treatment N0, N1, N2 and N3 in pot experiment (1995-96 wet season). Each observation point is the mean of the 11 individual plants. The fitted curves are present in equations (7), (8), (9) and (10), respectively.

ความสูงและน้ำหนักแห้งพืชส่วนเหนือดินโดยเฉลี่ยของต้นหลัก ที่ระยะเก็บเกี่ยวผลผลิต ปรากฏผลในเชิงบวกที่สัมพันธ์กับระดับปริมาณไนโตรเจน นั่นคือ ทรีตเมนต์ $N_0 < N_1 < N_2 < N_3$ ตามลำดับ และผลการวิเคราะห์ต่าง ๆ ทางสถิติจากข้อมูลของต้นหลักที่บันทึกในช่วงเก็บเกี่ยวผลผลิต (Table 6) ได้แสดงให้เห็นว่า ความสูงลำต้น (ข้อแรก-คอราก) และความยาวระหว่างทรีตเมนต์ N_1 , N_2 และ N_3 มีความแตกต่างจากทรีตเมนต์ N_0 อย่างมีนัยสำคัญทางสถิติที่ระดับความเชื่อมั่น $P=0.01$ โดยทรีตเมนต์ N_0 , N_1 , N_2 และ N_3 มีความสูงลำต้นเท่ากับ 90.6, 99.6, 102.5 และ 106.2 เซนติเมตร ส่วนรากจะมีความยาวเท่ากับ 17.3, 18.4, 18.8, และ 19.5 เซนติเมตร ตามลำดับ สำหรับจำนวนระแหঁปฐมภูมิของรากต้นหลักมีค่าผันแปรระหว่าง 7.1-7.6 ระแหঁ ราก¹ และไม่มีความแตกต่างในเชิงสถิติกับทรีตเมนต์ N_0 อย่างไรก็ตามจำนวนระแหঁมีแนวโน้มจะเพิ่มมากขึ้นเป็นลำดับ ตามอัตราปริมาณไนโตรเจน กล่าวคือ ทรีตเมนต์ $N_0 \leq N_1 \leq N_2 \leq N_3$

Table 6. Culm height, panicle length and number of primary rachis-branches of the main shoot at harvest for the four N application rates.

Treatment	Culm height ^(a)	Panicle length (cm)	Number of primary rachis-branches
	(cm)		
N_0	90.6	17.3	7.1
N_1	99.6**	18.4**	7.3NS
N_2	102.5**	18.8**	7.5NS
N_3	106.2**	19.5**	7.6NS

(a) Height from ground level to panicle necknode.

** t-test significant at the 0.01 probability level from treatment N_0 .

NS Not significant at the 0.05 level.

จำนวนต้น

สภาพการปลูกในกระถางของการทดลองที่ 1.1 ซึ่งได้กำหนดจำนวนต้นภายหลังการถอนแยกให้มีอัตราความหนาแน่นกระถางละ 40 ต้นนั้น ตัวอย่างพืชของทรีตเมนต์ต่าง ๆ ที่เก็บเกี่ยวในช่วงระยะการยึดลำต้น ระยะดอกบาน 50% และระยะเก็บเกี่ยวผลผลิต พบร่วมกับจำนวนต้นคงที่เท่ากันตลอดช่วงการเจริญเติบโตและพัฒนาการของพืช เช่นเดียวกันกับวันถอนแยก สำหรับความหนาแน่นจำนวนต้นในสภาพแปลงนาเกษตรกรของการปลูกแบบหว่านน้ำตามและแบบปักดำ (Fig. 7) ปรากฏผลในทำนองเดียวกันว่า จำนวนต้นที่ตรวจนับได้จากการสุ่มเก็บตัวอย่างในช่วงเวลาต่าง ๆ

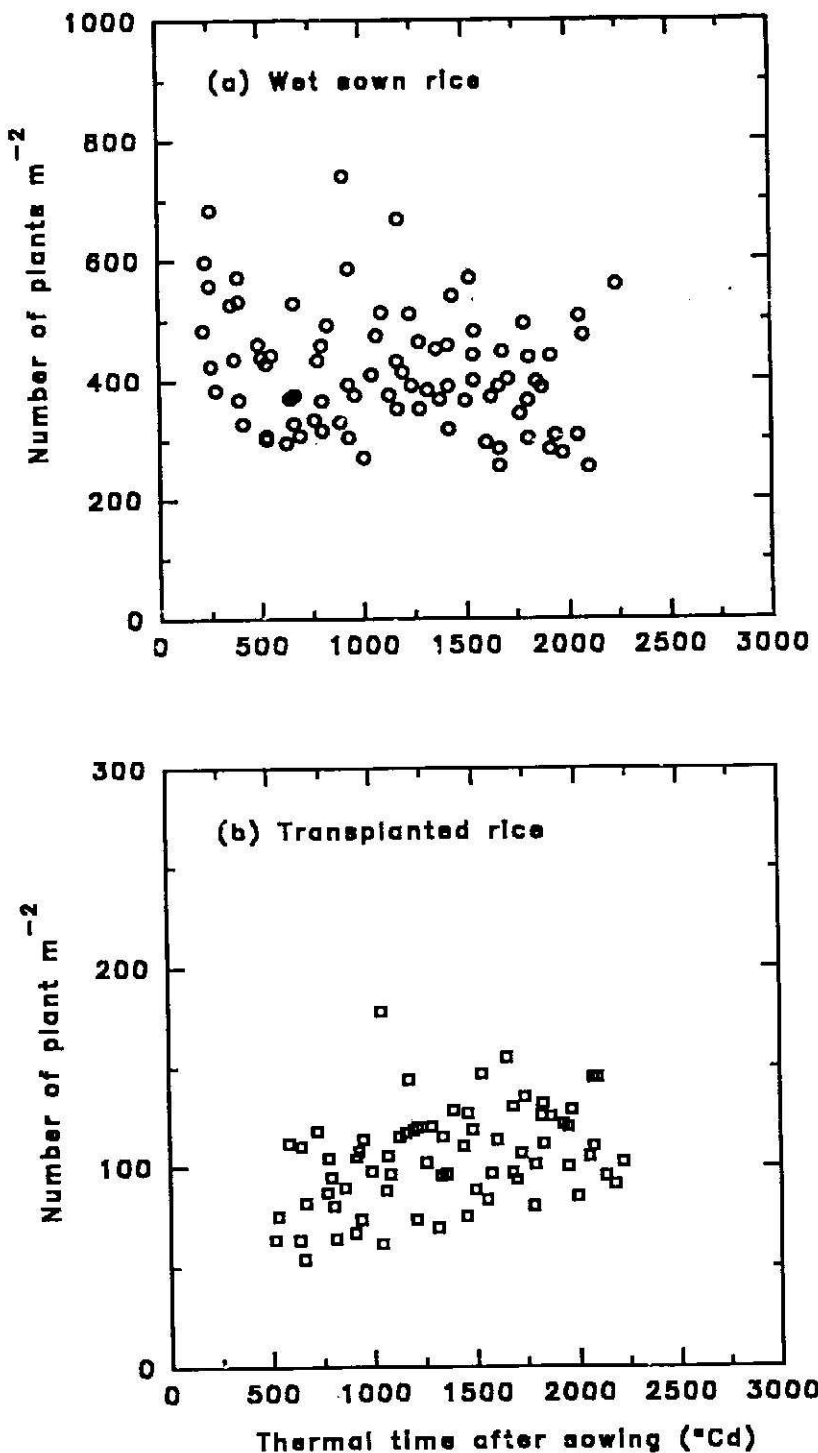


Fig. 7. Relationship between number of plants m^{-2} and thermal time after sowing for field experiment of (a) wet sown rice and (b) transplanted rice during the 1995-96 wet season.

จะมีอัตราความหนาแน่นใกล้เคียงกันตลอดดูปจุก การกระจายของจำนวนต้นส่วนใหญ่จะอยู่ในช่วงระหว่าง 300-600 และ 50-150 ต้น เมตร² ของการปลูกแบบหว่านน้ำตามและแบบปักดำ ตามลำดับ โดยจำนวนต้นเฉลี่ยของแปลงหว่านน้ำตามมีค่าเท่ากับ 416.0 ต้น เมตร² และสัมประสิทธิ์การแปรผัน 13.44% ส่วนแปลงปักดำจะมีค่าเฉลี่ยของจำนวนต้น เมตร² จำนวนต้น กอ¹ และจำนวนกอ เมตร² เท่ากับ 105.1, 5.7 และ 18.6 สัมประสิทธิ์การแปรผัน 10.64, 9.02 และ 2.09% ตามลำดับ

เมื่อพิจารณาถึงจำนวนต้นทั้งหมดซึ่งเป็นผลรวมของต้นหลักและหน่อที่ระยะต่าง ๆ ของ การสุ่มเก็บตัวอย่าง (Table 7) จะสังเกตเห็นว่าจำนวนต้นรวมทั้งหมดของการทดลองในกระถางจะเพิ่มขึ้นตามลำดับอัตราการใส่ในโตรเจน และจำนวนต้นรวมของการปลูกแบบหว่านน้ำตามจะมีมาก กว่าการปลูกแบบปักดำทุก ๆ ช่วงการเจริญเติบโตและพัฒนาการของข้าว การวิเคราะห์ทางสถิติ ของการทดลองในกระถางแสดงผลความแตกต่างของจำนวนต้นทั้งหมด กระถาง¹ ที่ระยะต่าง ๆ ปรากฏผลดังนี้

- ระยะเริ่มยึดลำต้น:	$N_0 \leq N_1$; และ $N_1 < N_2 \leq N_3 \leq N_4 \leq N_5$	ที่ $P=0.01$
- ระยะดอกบาน 50%:	$N_0 \leq N_1 \leq N_2 \leq N_3$; $N_1 \leq N_2 \leq N_3 \leq N_4$; และ $N_2 \leq N_3 \leq N_4 \leq N_5$	ที่ $P=0.05$
- ระยะเก็บเกี่ยว:	$N_1 \leq N_2 \leq N_3$; $N_2 \leq N_3 \leq N_4$; และ $N_3 \leq N_4 \leq N_5$	ที่ $P=0.01$

สัมประสิทธิ์การแปรผันที่ระยะต่าง ๆ มีค่าน้อยกว่า 10% ส่วนการปลูกในสภาพแปลงนาเกษตรกร ปรากฏว่า การปลูกแบบหว่านน้ำตามจะมีจำนวนต้นทั้งหมด เมตร² ที่ระยะเริ่มสร้างหน่อ ระยะเริ่มยึดลำต้น และระยะดอกบาน 50% มากกว่าการปลูกแบบปักดำอย่างมีนัยสำคัญทางสถิติของ ระดับความเชื่อมั่นที่ $P=0.01$, 0.05 และ 0.05 โดยมีค่าสัมประสิทธิ์การแปรผันค่อนข้างสูงที่ 40.81, 29.16 และ 17.17% ของระยะต่าง ๆ ดังกล่าว ตามลำดับ เมื่อเปรียบเทียบจำนวนต้นทั้งหมดที่บันทึกได้ในแต่ละระยะการเจริญเติบโตและพัฒนาการจะพบว่า หรือเมนต์ในโตรเจนที่ระยะต่าง ๆ รวมทั้งการปลูกแบบหว่านน้ำตามและแบบปักดำในแปลงนาเกษตรกร มีจำนวนต้นทั้งหมดค่อนขอย ลดจำนวนลงอย่างชัดเจน จากช่วงเริ่มแรกที่ระยะเริ่มสร้างหน่อจนกระทั่งเข้าสู่ระยะเก็บเกี่ยวผลผลิต ยกเว้นการปลูกแบบปักดำที่มีจำนวนต้นทั้งหมดต่ำสุดในระยะเริ่มสร้างหน่อ ผลดังกล่าวมี สามารถอธิบายได้จากติดตามลักษณะการเปลี่ยนแปลงของจำนวนต้นทั้งหมดที่ปลูกในแปลงนา เกษตรกรดังแสดงไว้ใน Fig.8 โดยจำนวนต้นทั้งหมด เมตร² ของการปลูกแบบหว่านน้ำตามและแบบ ปักดำ จะมีลักษณะการเปลี่ยนแปลงที่สามารถแบ่งออกได้เป็น 2 ช่วง กล่าวคือ ช่วงแรกของการ

Table 7. Number of culms pot^{-1} for (a) pot experiment and (b) number of culms m^{-2} for (b) field experiment at various growth stages during the 1995-96 wet season.

Treatment	Beginning of		50% flowering	Harvest maturity
	Tillering	Stem elongation		
(a) Pot experiment:				
N0	-	133.3b	99.0c	98.7c
N1	-	135.7b	107.0bc	106.0c
N2	-	149.3a	119.0abc	111.7bc
N3	--	151.7a	120.0abc	122.7ab
N4	-	158.0a	125.7ab	122.0ab
N5	-	165.7a	136.7a	130.3a
F-test	--	**	*	**
CV (%)	-	4.57	8.36	5.38
(b) Field experiment:				
Wet sown rice	765.3a	600.3a	420.7a	--
Transplanted rice	157.6b	329.9b	283.7b	--
F-test	**	*	*	--
CV (%)	40.81	29.16	17.17	--

*, ** Significant at the 0.05 and 0.01 probability levels

Within columns, treatment means followed by the same letter are not significantly different at 0.05 probability level (Student-Newman-Keuls *k*-test)

เจริญเติบโตจะมีการเพิ่มของจำนวนต้นทั้งหมด เมตร² แบบเรียบซันเส้นตรง ส่วนช่วงหลังที่เริ่มจากการสร้างหน่อของ การปลูกแบบหัวน้ำตามและเริ่มจากขณะยึดลำต้นของการปลูกแบบปักดำ จะมีจำนวนต้นทั้งหมด เมตร² ลดน้อยลงแบบพังก์ชันโลจิสติก ซึ่งจำนวนต้นทั้งหมด เมตร² ของ การปลูกแบบหัวน้ำตาม (NCM2_{WSR}) และแบบปักดำ (NCM2_{TPR}) กับค่าความร้อนสะสม (CDTT) หลังการหัวน้ำเมล็ดข้าวออก ตั้งแต่การเจริญเติบโตในช่วงแรกจนถึงระยะดอกبان 50% มีความสัมพันธ์ดังผลการ

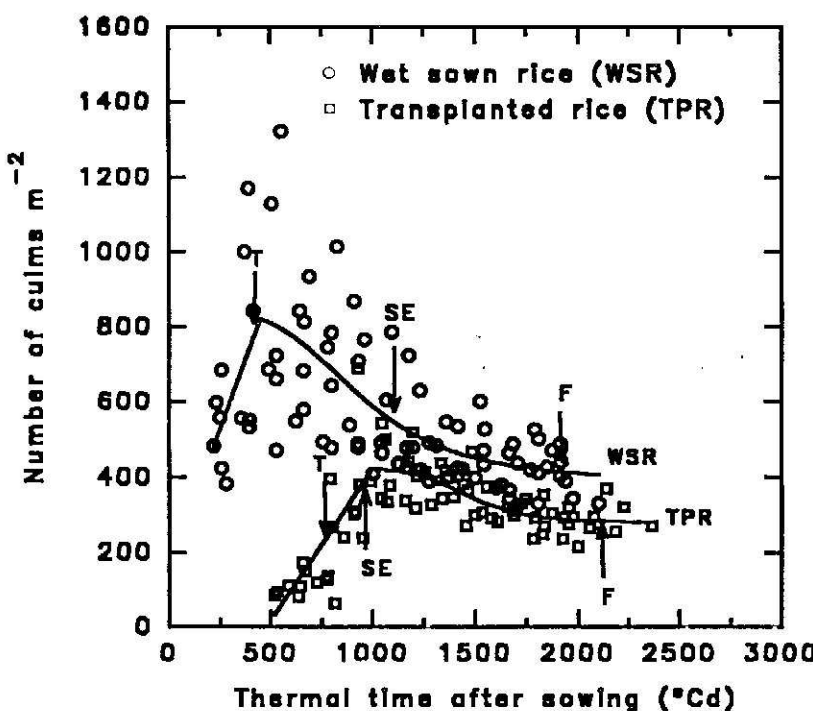


Fig. 8. Relationship between number of culms m^{-2} and thermal time after sowing for field experiment of wet sown rice and transplanted rice during the 1995-96 wet season. The fitted curves are present in equations (11), (12) and (13), (14) for wet sown rice and transplanted rice, respectively. Arrows indicate the average timing for beginning of tillering (T), beginning of stem elongation (SE) and 50% flowering (F).

-การปูกรอบหัวน้ำตาม :

ช่วงแรกที่ $CDTT \leq 450^{\circ}Cd$

$$NCM2_{WSR} = 107.71 + 1.70 CDTT, \quad R^2 = 0.287^{NS} \quad (11)$$

ช่วงหลังที่ $CDTT > 450^{\circ}Cd$

$$NCM2_{WSR} = 388.08 + \frac{455.91}{1 + \left(\frac{CDTT}{940.78} \right)^{3.94}}, \quad R^2 = 0.477^{***} \quad (12)$$

-การปูกรอบบีกคำ :

ช่วงแรกที่ $CDTT \leq 1,000^{\circ}Cd$

$$NCM2_{TPR} = -352.39 + 0.75 CDTT, \quad R^2 = 0.490^{***} \quad (13)$$

ช่วงหลังที่ $CDTT > 1,000^{\circ}Cd$

$$NCM2_{TPR} = 279.77 + \frac{145.25}{1 + \left(\frac{CDTT}{1,460.01} \right)^{10.12}}, \quad R^2 = 0.498^{***} \quad (14)$$

สมการต่าง ๆ เหล่านี้แสดงให้เห็นว่า จำนวนตันทั้งหมดของการปลูกแบบหว่านน้ำตามและแบบปักดำที่ 450 และ $1,000^{\circ}\text{Cd}$ มีค่าสูงสุดเท่ากับ 820.3 และ 421.9 ตัน เมตร 2 ตามลำดับ อัตราการลดลงของจำนวนตันจะมากสุดที่จุดเปลี่ยนความเว้า 940.8°Cd ของการปลูกแบบหว่านน้ำตาม และ $1,460.0^{\circ}\text{Cd}$ ของการปลูกแบบปักดำ มีค่าเท่ากับ 0.48 และ 0.25 ตัน $^{\circ}\text{Cd}^{-1}$ และจำนวนตันทั้งหมดต่ำสุดที่ระยะดอกบาน 50% มีค่าเท่ากับ 388.1 ตัน เมตร 2 และ 297.8 ตัน เมตร 2 ของการปลูกแบบหว่านน้ำตามและแบบปักดำ ตามลำดับ

จำนวนหน่อ

กรณีที่จำนวนตันตั้งแต่ระยะเริ่มแรกการเจริญเติบโตจนกระทั่งถึงระยะเก็บเกี่ยว มีการเปลี่ยนแปลงน้อยมาก ทำให้สามารถอธิบายได้ว่า ข้าวซึ่งเป็นพืชที่แตกต่อตัวมีจำนวนตันทั้งหมดเพิ่มขึ้นหรือลดจำนวนลงในช่วงการเจริญเติบโตที่ระยะใด ๆ นั้น มีความสัมพันธ์โดยตรงกับจำนวนหน่อที่ปรากฏในช่วงเวลาขณะนั้น ๆ ลักษณะการเปลี่ยนแปลงจำนวนหน่อของสภาพการปลูกในแปลงนาเกษตรของ การปลูกแบบหว่านน้ำตามและแบบปักดำตั้งแต่ช่วงแรก ๆ ของการเจริญเติบโตจนถึงระยะก่อนการเก็บเกี่ยวเลิกน้อย (Fig. 9) จะมีรูปแบบการเปลี่ยนแปลงเช่นเดียวกับจำนวนตันทั้งหมดที่ได้กล่าวมาแล้ว จำนวนหน่อ เมตร 2 ของการปลูกแบบหว่านน้ำตาม (NTM2_{WAT}) และแบบปักดำ (NTM2_{PDR}) ที่ปรากฏในช่วงเวลาต่าง ๆ ที่สัมพันธ์กับค่าความร้อนสะสม (CDTT) หลังการหว่านเมล็ดข้าวออกแสดงได้ดังสมการ

- การปลูกแบบหว่านน้ำตาม:

ช่วงแรกที่ $\text{CDTT} \leq 450^{\circ}\text{Cd}$

$$\text{NTM2}_{\text{WAT}} = -559.38 + 2.26\text{CDTT}, \quad r^2 = 0.464^* \quad (15)$$

ช่วงหลังที่ $\text{CDTT} > 450^{\circ}\text{Cd}$

$$\text{NTM2}_{\text{WAT}} = 49.67 + \frac{370.53}{1 + \left(\frac{\text{CDTT}}{866.79} \right)^{7.43}}, \quad R^2 = 0.565^{***} \quad (16)$$

- การปลูกแบบปักดำ :

ช่วงแรกที่ $\text{CDTT} \leq 1,000^{\circ}\text{Cd}$

$$\text{NTM2}_{\text{PDR}} = -412.74 + 0.71\text{CDTT}, \quad r^2 = 0.465^{***} \quad (17)$$

ช่วงหลังที่ $\text{CDTT} > 1,000^{\circ}\text{Cd}$

$$\text{NTM2}_{\text{PDR}} = 170.10 + \frac{139.38}{1 + \left(\frac{\text{CDTT}}{1.482.90} \right)^{12.39}}, \quad R^2 = 0.538^{***} \quad (18)$$

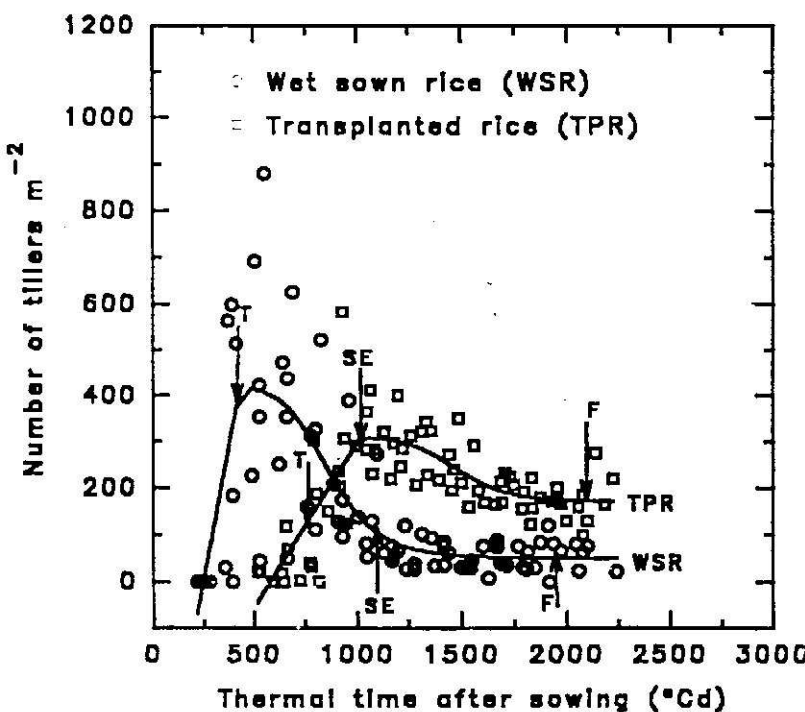


Fig. 9. Relationship between number of tillers m^{-2} and thermal time after sowing for field experiment of wet sown rice and transplanted rice during the 1995-96 wet season. The fitted curves are present in equations (15), (16) and (17), (18) for wet sown rice and transplanted rice, respectively. Arrows indicate the average timing for beginning of tillering (T), beginning of stem elongation (SE) and 50% flowering (F).

แม้ว่าค่าสูงสุดของจำนวนหน่อ เมตร⁻² ที่ 450°Cd ของการปลูกแบบหว่านน้ำตามมีจำนวนถึง 417.4 หน่อ เมตร⁻² และมีจำนวนมากกว่าการปลูกแบบปักดำที่ช่วงเวลา $1,000^{\circ}\text{Cd}$ ซึ่งมีจำนวนหน่อเพียง 308.4 หน่อ เมตร⁻² อย่างไรก็ตามค่าต่ำสุดของจำนวนหน่อที่ระยะหลังดอกบาน 50% ของการปลูกแบบหว่านน้ำตามจะน้อยกว่าการปลูกแบบปักดำ โดยมีค่าเท่ากับ 49.7 และ 170.1 หน่อ เมตร⁻² ตามลำดับ เนตุที่เป็นเห็นนี้ เพราะว่าการลดลงของหน่อในการปลูกแบบหว่านน้ำตามมีอัตราที่สูงกว่า นั้นเอง กล่าวคือ อัตราการลดลงของหน่อที่จุดเปลี่ยนความกว้างที่ 866.8°Cd ของการปลูกแบบหว่านน้ำตาม และ $1,482.9^{\circ}\text{Cd}$ ของการปลูกแบบปักดำ มีค่าเท่ากับ 0.79 และ $0.29 \text{ หน่อ } ^{\circ}\text{Cd}^{-1}$ ตามลำดับ

ผลการศึกษาจำนวนหน่อ ตัน⁻¹ จากการบันทึกหน่อที่เกิดจากต้นหลักในช่วงระยะเวลาประมาณใบของสภาพการปลูกในกระถางของการทดลองที่ 1.1 พบร้า ทุก ๆ หรือเม็ดในโตรเจนจะเริ่มสร้างหน่อแรก T2 ที่เกิดจากซอกใบที่ 2 ของต้นหลักในช่วงขณะที่ข้าวมีค่าความร้อนสะสม

217.3 °Cd (ประมาณ 11 วัน) และหน่อสุตท้ายที่ปราภูในทรีเมนต์ NO จะเป็นหน่อ T4 ทวนทรีเมนต์อื่น ๆ จะเป็นหน่อ T5 ที่ประมาณช่วงค่าความร้อนสะสม 337.3 และ 400.1 °Cd หรือประมาณ 17 และ 20 วันหลังหัวแมล็ดข้างอก ตามลำดับ จำนวนหน่อ ต้น¹ ขณะสิ้นสุดการเกิดหน่อของทรีเมนต์ NO และทรีเมนต์อื่น ๆ (N2-N5) มีประมาณ 3 และ 4 หน่อ ต้น¹ ตามลำดับ และไม่ปรากฏว่ามีหน่อ T1 เกิดขึ้นในทุก ๆ ทรีเมนต์ของการทดลองครั้งนี้ (การกำหนดซื้อไปและหน่อตุรายละเอียดต่าง ๆ ได้ใน รังสรรค์ อาภาคพะกุล, 2538a) ในทำนองเดียวกันลักษณะการเปลี่ยนแปลงจำนวนหน่อ ต้น¹ ของสภาพการปลูกในกระถางทดลองกับในสภาพแปลงเกษตรกร ของการทำนาหัวน้ำนม (Fig.10) จะมีรูปแบบที่คล้ายคลึงกัน ข้อมูลการทดลองในกระถางจะสนับสนุนให้เห็นว่า การปลูกแบบหัวน้ำนมของการทำนาที่ใช้อัตราการปลูกค่อนข้างหนาแน่นดังเช่นการทดลองครั้งนี้ จะมีช่วงเวลาเพียงสั้น ๆ สำหรับการสร้างหน่อ และจำนวนหน่อ จะลดลงอย่างรวดเร็ว ก่อนระยะการยึดลำต้น ส่วนการทำนาแบบบักดำจะมีช่วงเวลาการสร้างหน่อ ยาวนานกว่า และจำนวนหน่อที่ลดลงจะเกิดขึ้นภายหลังระยะการยึดลำต้น อย่างไรก็ตามการลดลงของจำนวนหน่อทั้ง 2 แบบการปลูกจะเกิดขึ้นอย่างต่อเนื่องจนกระทั่งถึงระยะตอบแทน 50% สมการสำหรับประมาณค่าจำนวนหน่อ ต้น¹ ของการปลูกแบบหัวน้ำนม (NTNP_{NTN}) และแบบบักดำ (NTNP_{PR}) ที่สัมพันธ์กับค่าความร้อนสะสม (CDTT) ภายหลังการหัวน้ำแมล็ดข้างอก จะเป็นพังก์ชันเดียวกันกับการลดลงของจำนวนหน่อ เมตร² กล่าวคือ

- การปลูกแบบหัวน้ำนม:

ช่วงแรกที่ CDTT ≤ 450 °Cd

$$NTNP_{NTN} = -1.37 + 5.48 \times 10^{-3} CDTT, \quad R^2 = 0.485^* \quad (19)$$

ช่วงหลังที่ CDTT > 450 °Cd

$$NTNP_{NTN} = 0.15 + \frac{0.97}{1 + \left(\frac{CDTT}{854.23} \right)^{8.90}}, \quad R^2 = 0.584^{***} \quad (20)$$

- การปลูกแบบบักดำ :

ช่วงแรกที่ CDTT ≤ 1,000 °Cd

$$NTNP_{PR} = -4.11 + 7.34 \times 10^{-3} CDTT, \quad R^2 = 0.438^{***} \quad (21)$$

ช่วงหลังที่ CDTT > 1,000 °Cd

$$NTNP_{PR} = 1.58 + \frac{1.42}{1 + \left(\frac{CDTT}{1.500.84} \right)^{15.99}}, \quad R^2 = 0.392^{***} \quad (22)$$

การประมาณค่าต่าง ๆ ที่เกี่ยวกับจำนวนหน่อ ต้น¹ ของการปลูกแบบหัวน้ำนม จะมีค่าสูงสุดที่

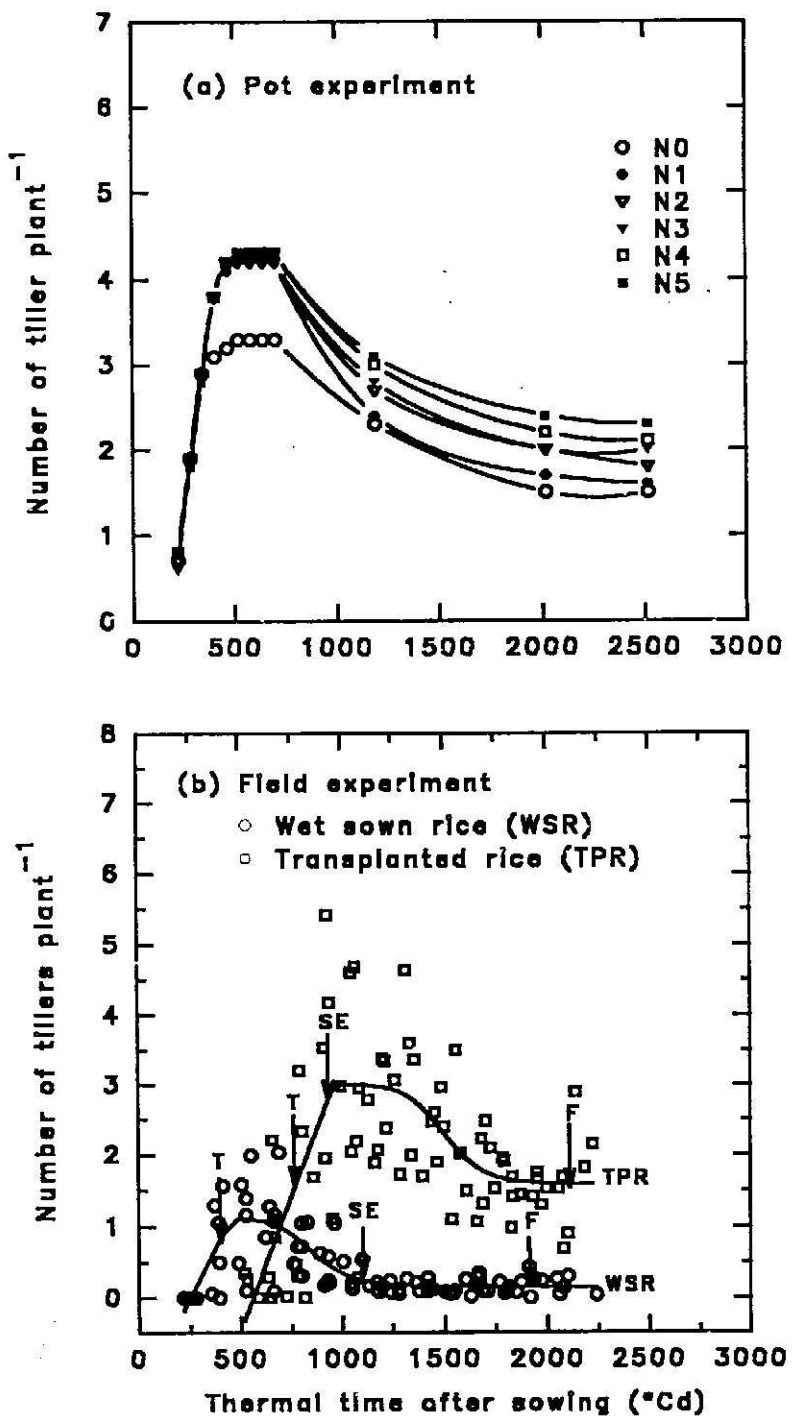


Fig. 10. Relationship between number of tillers plant⁻¹ and thermal time after sowing for (a) pot experiment and for (b) field experiment during the 1995-96 wet season. The fitted curves of field experiment are present in equations (19), (20) and (21), (22) for wet sown rice and transplanted rice, respectively. Arrows indicate the average timing for beginning of tillering (T), beginning of stem elongation (SE) and 50% flowering (F).

450°Cd เท่ากับ 1.1 หน่อ ตัน¹ อัตราการลดลงของจำนวนหน่อสูงสุดที่จุดเปลี่ยนความเร้า 854.2°Cd เท่ากับ 2.5×10^{-3} หน่อ $^{\circ}\text{Cd}^{-1}$ และจำนวนหน่อ ตัน¹ ต่ำสุดที่ระดับอกบาน 50% เท่ากับ 0.2 หน่อ ตัน¹ ส่วนการปลูกแบบปักดำจะมีจำนวนหน่อ ตัน¹ สูงสุดที่ $1,000^{\circ}\text{Cd}$ เท่ากับ 3.0 หน่อ ตัน¹ อัตราการลดลงของจำนวนหน่อสูงสุดที่จุดเปลี่ยนความเร้า $1,500.8^{\circ}\text{Cd}$ เท่ากับ 3.8×10^{-3} หน่อ $^{\circ}\text{Cd}^{-1}$ และจำนวนหน่อต่ำสุดที่ระดับอกบาน 50% เท่ากับ 1.6 หน่อ ตัน¹

ผลวิเคราะห์ทางสถิติของจำนวนหน่อ ตัน¹ (Table 8) “ได้แสดงให้เห็นว่า ความแตกต่างระหว่างทริตรเมนต์ในต่อเจนของการทดลองในกระบวนการที่ซึ่งจะระยำต่าง ๆ มีดังนี้

- ระยะเริ่มยืดลำต้น: $N_0 \leq N_1 < N_2; N_2 \leq N_3 \leq N_4 \leq N_5$ ที่ $P=0.001$
- ระยะดอกบาน 50% : $N_0 \leq N_1 \leq N_2 \leq N_3; N_1 \leq N_2 \leq N_3 \leq N_4 \leq N_5$; และ $N_2 \leq N_3 \leq N_4 \leq N_5$ ที่ $P=0.05$
- ระยะเก็บเกี่ยว: $N_0 \leq N_1 \leq N_2; N_2 \leq N_3 \leq N_4$; และ $N_3 \leq N_4 \leq N_5$ ที่ $P=0.001$

ล้มประสิทธิ์การแปรผันที่ระยะห้อง 3 มีค่าเท่ากับ 5.86 12.78 และ 7.94% ตามลำดับ สำหรับในสภาพแปลงนาเกษตรกรจะพบว่าการปลูกแบบหว่านน้ำตามที่ระยะเริ่มสร้างหน่อจะมีจำนวนหน่อ ตัน¹ ไม่แตกต่างกันกับการปลูกแบบปักดำที่ระดับความเชื่อมั่น $P>0.05$ ส่วนที่ระยะเริ่มยืดลำต้น และระยะดอกบาน 50% กลับมีจำนวนหน่อ ตัน¹ น้อยกว่าการปลูกแบบปักดำที่ระดับความเชื่อมั่น $P=0.01$ และ 0.001 ตามลำดับ สัมประสิทธิ์การแปรผันมีค่าต่ออนุจักรสูงเท่ากับ 40.96 42.94 และ 23.89% ที่ระยะเริ่มสร้างหน่อ ระยะเริ่มยืดลำต้น และระยะดอกบาน 50% ตามลำดับ

พื้นที่ใบและองค์ประกอบพื้นที่ใบ

พื้นที่ใบข้าว (LA) ในหนึ่งหน่วยพื้นที่ สามารถคำนวณค่าได้จากความสัมพันธ์ระหว่างผลคุณของจำนวนใบ (NL) กับขนาดใบเฉลี่ย (LSIZE) หรือระหว่างผลคุณของจำนวนตันทั้งหมด (NC) กับจำนวนใบของแต่ละตัน (NLC) และขนาดใบเฉลี่ย ค่าสัมสัมพันธ์เมทริกซ์ระหว่างตัวแปรต่าง ๆ ห้อง 5 ลักษณะตั้งกล่าว (Table 9) ของสภาพการปลูกในกระบวนการปราชญ์ผลให้เห็นว่า ค่าสัมสัมพันธ์ ต่าง ๆ ระหว่างตัวแปร 2 ลักษณะที่คำนวณได้ในกระบวนการยืดลำตันนั้น ค่าส่วนใหญ่จะแสดงความสัมพันธ์เป็นบวกที่ระดับความเชื่อมั่น $P=0.001$ ผลเช่นนี้ได้พบในลักษณะทำนองเดียวกันที่ระยะดอกบาน 50% ยกเว้นจำนวนใบ ตัน¹ กับขนาดใบเฉลี่ยที่ระยะดอกบาน 50% แม้ว่าจะมีค่าเป็นบวกแต่ไม่พบความสัมพันธ์ในเชิงสถิติ ส่วนพื้นที่ใบและองค์ประกอบพื้นที่ใบตั้งแต่ระยะตันกล้าจน

Table 8. Number of tillers plant⁻¹ at various growth stages for (a) pot experiment and (b) field experiment during the 1995-96 wet season.

Treatment	Beginning of		50% flowering	Harvest maturity
	Tillering	Stem elongation		
(a) Pot experiment:				
N0	--	2.3b	1.5c	1.5c
N1	--	2.4b	1.7bc	1.6c
N2	--	2.7a	1.9abc	1.8bc
N3	--	2.8a	2.0abc	2.1ab
N4	--	3.0a	2.2ab	2.1ab
N5	--	3.1a	2.4a	2.3a
F-test	--	***	*	***
CV (%)	--	5.86	12.76	7.94
(b) Field experiment:				
Wet sown rice	0.8a	0.3b	0.3b	--
Transplanted rice	0.9a	3.1a	2.0a	--
F-test	NS	**	***	--
CV (%)	40.96	42.94	23.89	--

*, **, *** Significant at the 0.05, 0.01 and 0.001 probability levels, respectively.

NS not significant.

Within columns, treatment means followed by the same letter are not significantly different at 0.05 probability level (Student-Newman-Keuls k-test)

ถึงระยะดอกนาน 50% ในสภาพแปลงนาเกษตรกรทั้ง 2 แบบการปลูก ความสัมพันธ์โดยรวมจะแสดงผลคล้าย ๆ กับการปลูกในกระถาง กล่าวคือ ส่วนใหญ่ของค่าสนใจมีผลเป็นบวกที่ระดับความเชื่อมั่น $P=0.001$ เช่นกัน ยกเว้นค่าสนใจระหว่างพื้นที่ใบ เมตร² กับจำนวนต้นทั้งหมด เมตร² และจำนวนใบ เมตร² กับขนาดใบเฉลี่ยของการปลูกแบบหัวน้ำดม และจำนวนต้น เมตร² กับจำนวนใบ ต้น⁻¹ ของการปลูกทั้ง 2 แบบไม่แสดงความสัมพันธ์ในเชิงสถิติ สำหรับค่าสนใจระหว่างจำนวนต้น เมตร⁻² กับขนาดใบเฉลี่ย จะมีความแตกต่างกันตามแบบการปลูก โดย

Table 9. Correlation matrix of leaf area components for (a) pot experiment and (b) field experiment during the 1995-96 wet season.

(a) Pot experiment: Stem elongation and 50% flowering.

Above and below diagonal for stem elongation stage (n=18) and 50% flowering stage (n=18), respectively.

	LA pot ⁻¹	NL pot ⁻¹	NC pot ⁻¹	NLC	Lsize
LA pot ⁻¹	—	0.916 ***	0.880 ***	0.690 **	0.900 ***
NL pot ⁻¹	0.815 ***	—	0.949 ***	0.782 ***	0.669 **
NC pot ⁻¹	0.845 ***	0.929 ***	—	0.556	0.655 **
NLC	0.575	0.856 ***	0.611 **	—	0.490
Lsize	0.888 ***	0.474	0.591 **	0.211 NS	—

(b) Field experiment: Beginning of tillering until 50% flowering.

Above and below diagonal for wet sown rice (n=148) and transplanted rice (n=135), respectively.

	LA m ⁻²	NL m ⁻²	NC m ⁻²	NLC	Lsize
LA m ⁻²	—	0.429 ***	0.155 NS	0.698 ***	0.779 ***
NL m ⁻²	0.690 ***	—	0.906 ***	0.347 ***	-0.155 NS
NC m ⁻²	0.523 ***	0.923 ***	—	-0.060 NS	-0.390 ***
NLC	0.580 ***	0.393 ***	0.045 NS	—	0.547 ***
Lsize	0.866 ***	0.305 ***	0.170	0.457 ***	—

*, **, *** Significant at the 0.05, 0.01 and 0.001 probability levels, respectively.

NS not significant.

LA=leaf area; NL=number of leaves; NC=number of culms; NLC=number of leaves culm⁻¹; and Lsize=leaf size.

การปลูกแบบหัวน้ำตามมีค่าสหสัมพันธ์เป็นลบที่ระดับความเชื่อมั่น P=0.001 แต่การปลูกแบบปัก คำมีค่าสหสัมพันธ์เป็นบวกที่ระดับความเชื่อมั่น P=0.05 ความสัมพันธ์ระหว่างตัวแปรต่าง ๆ ที่ได้ กล่าวมาก็ข้างต้นจะเกิดขึ้นจากผลของปริมาณในโครงเจนและแบบวิธีการปลูก ที่ทำให้เกิดความ แปรปรวนในแต่ละลักษณะดังนี้

1. พื้นที่ใน

การวิเคราะห์ทางสถิติของพื้นที่ในช่วงการเจริญเติบโตและพัฒนาการระยะต่าง ๆ (Table 10) จากสภาพการปลูกแบบกระถางแสดงผลความแตกต่างของพื้นที่ใน กระถาง¹ ระหว่างทวีตเม็ดที่ในโครงการดังนี้

- ระยะเริ่มยึดลำต้น: $N_0 \leq N_1; N_1 \leq N_2; N_2 \leq N_3$; และ $N_3 < N_4 \leq N_5$ ที่ $P=0.001$
- ระยะดอกบาน 50%: $N_0 \leq N_1; N_1 \leq N_2 \leq N_3 < N_4$; และ $N_2 \leq N_3 \leq N_4 \leq N_5$ ที่ $P=0.01$

ค่าสัมประสิทธิ์การแปรผันที่ระยะเริ่มยึดลำต้นและระยะดอกบาน 50% มีค่าเท่ากับ 8.55 และ 17.78% ตามลำดับ ส่วนความแตกต่างของพื้นที่ในระหว่างแบบการปลูกได้แสดงผลให้เห็นว่า การปลูกแบบหัวน้ำตามที่ระยะเริ่มสร้างหน่อและที่ระยะดอกบาน 50% จะมีพื้นที่ในมากกว่าการปลูกแบบปักดำอย่างมีนัยสำคัญทางสถิติที่ระดับความเชื่อมั่น $P=0.01$ และ 0.05 โดยมีค่าสัมประสิทธิ์การแปรผันที่ค่อนข้างสูงเท่ากับ 32.37 และ 42.47% ตามลำดับ อย่างไรก็ตามพื้นที่ใน เมตร² ที่ระยะดอกบาน 50% ไม่แสดงความแตกต่างในเชิงสถิติ และสัมประสิทธิ์การแปรผันลดลงมีค่าเท่ากับ 16.53% ลักษณะการเปลี่ยนแปลงค่าพื้นที่ในของสภาพการปลูกในกระถางจะมีความแตกต่างอย่างชัดเจนเมื่อเปรียบเทียบกับสภาพการปลูกในแปลงนาเกษตรกร โดยค่าพื้นที่ใน กระถาง¹ ของทวีตเม็ดทุกระดับในโครงการจะมีค่าสูงสุดที่ระยะยึดลำต้น ส่วนค่าพื้นที่ใน เมตร² ของการปลูกแบบหัวน้ำตามและแบบปักดำจะมีลักษณะการเพิ่มขึ้นอย่างต่อเนื่องจากระยะเริ่มสร้างหน่อจนมีค่าสูงสุดที่ระยะดอกบาน 50% การวิเคราะห์ความสัมพันธ์ระหว่างค่าพื้นที่ใน เมตร² ของการปลูกแบบหัวน้ำตาม ($LAM2_{WSR}$) และแบบปักดำ ($LAM2_{TPR}$) กับค่าช่วงเวลาความร้อนสะสม ($CDTT$) ภายหลังการหัวน้ำแล้วเมล็ดข้าวออกดอกจะระยะช่วงเวลาการสร้างพื้นที่ใน พบว่ามีลักษณะการเพิ่มขึ้นแบบพิงก์ซันลอดจีสติก (Fig.11) ดังสมการ

$$LAM2_{WSR} = \frac{26,762.58}{1 + 7.11 \exp(-3.42 \times 10^{-3} CDTT)}, \quad R^2 = 0.484*** \quad (23)$$

$$LAM2_{TPR} = \frac{31,380.87}{1 + 403.92 \exp(-5.87 \times 10^{-3} CDTT)}, \quad R^2 = 0.839*** \quad (24)$$

ค่าพารามิเตอร์ของสมการหัวน้ำของแสดงให้เห็นว่า พื้นที่ในสูงสุดและชั้ตวากาศร้อนพื้นที่ในของ การปลูกแบบหัวน้ำตาม มีค่าน้อยกว่าการปลูกแบบปักดำ โดยค่าสูงสุดของพื้นที่ใน เมตร² มีค่าเท่า

Table 10. Leaf area in $\text{cm}^2 \text{ pot}^{-1}$ for (a) pot experiment and leaf area in $\text{cm}^2 \text{ m}^{-2}$ for (b) field experiment at various growth stages during the 1995-96 wet season.

Treatment	Beginning of		50% flowering
	Tillering	Stem elongation	
(a) Pot experiment:			
N0	—	8,041.75(7.90)d	4,816.60(4.73)c
N1	—	8,965.11(8.81)cd	6,854.93(6.73)bc
N2	—	10,712.42(10.52)bc	8,614.84(8.46)ab
N3	—	11,780.61(11.57)b	9,111.86(8.95)ab
N4	—	13,870.63(13.63)a	10,153.38(9.98)ab
N5	—	14,391.47(14.13)a	12,125.41(11.91)a
F-test	—	***	**
CV (%)	—	8.55	17.78
(b) Field experiment:			
Wet sown rice	8,783.71(0.89)a	24,413.42(2.44)a	26,224.37(2.62)a
Transplanted rice	3,864.46(0.39)b	12,450.34(1.25)b	27,846.73(2.78)b
F-test	**	*	NS
CV (%)	32.37	42.47	16.53

*, **, *** Significant at the 0.05, 0.01 and 0.001 probability levels, respectively.

NS not significant.

Within columns, treatment means followed by the same letter are not significantly different at 0.05 probability level (Student-Newman-Keuls *k*-test)

Leaf area indexes are in parenthesis.

กับ 26,762.58 และ 31,38.87 เซนติเมตร² เมตร⁻² และอัตราการสร้างพื้นที่ใบ เมตร⁻². มีค่าเท่ากับ 3.42×10^{-3} และ 5.87×10^{-3} เซนติเมตร² เมตร⁻² °Cd⁻¹ ของการปลูกแบบหว่านน้ำตามและแบบปักดำ ตามลำดับ จุดเปลี่ยนความเร้าที่ 0.5 ของค่าพื้นที่ใบ เมตร⁻² สูงสุด จะเกิดขึ้นที่ 574.0 °Cd (29 วัน) ก่อนการยึดลำดับของการปลูกแบบหว่านน้ำตาม และที่ 1,022.2 °Cd (52 วัน) หลังการยึดลำดับของ การปลูกแบบปักดำ อัตราการสร้างพื้นที่ใบสูงสุดที่คำนวนได้ จะมีค่าเท่ากับ 22.88×10^{-3} และ 46.05×10^{-3} เซนติเมตร² เมตร⁻² °Cd⁻¹ ของการปลูกแบบหว่านน้ำตามและแบบปักดำ ตามลำดับ

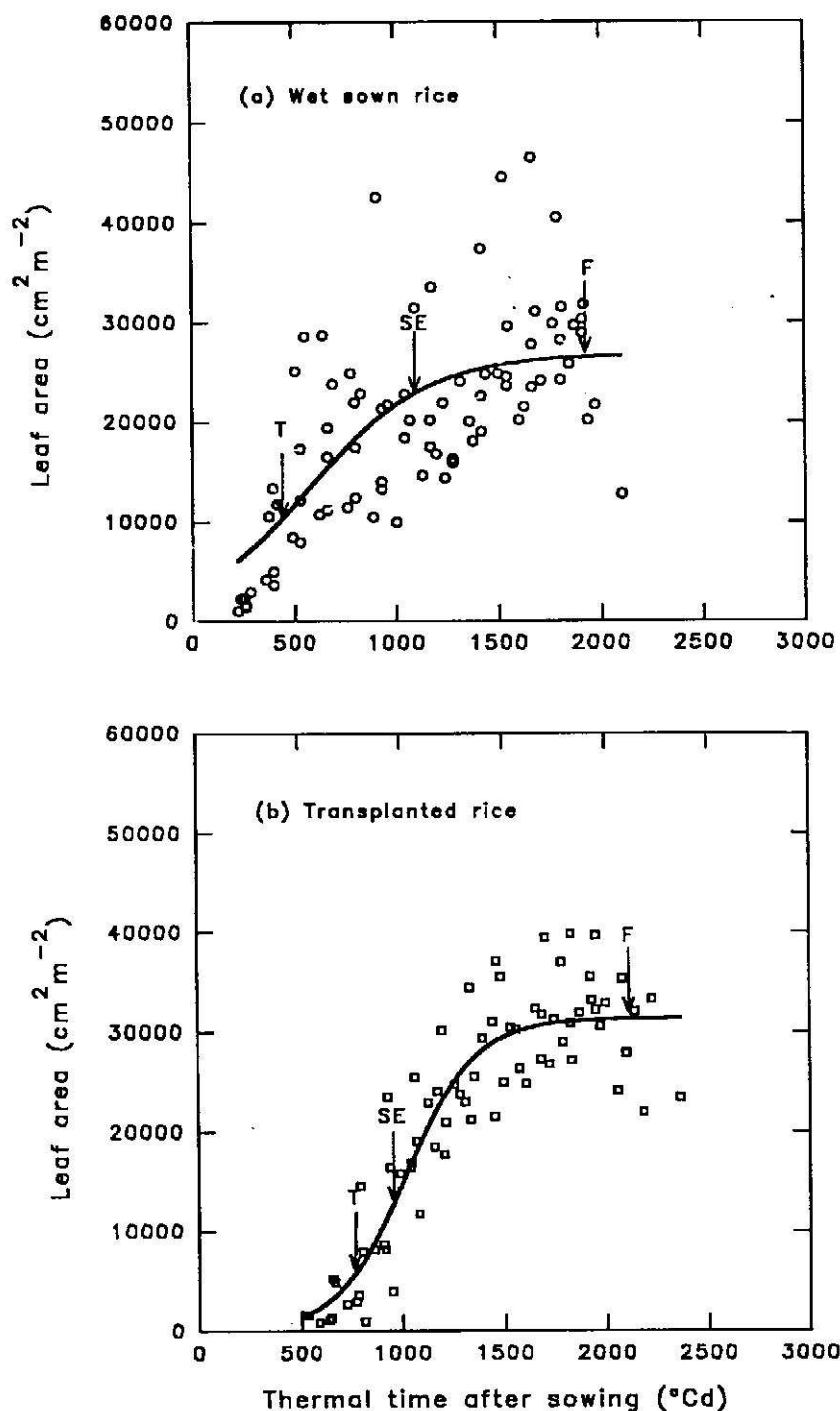


Fig. 11. Relationship between leaf area and thermal time after sowing for field experiment of (a) wet sown rice and (b) transplanted rice during the 1995-96 wet season. The fitted curves are present in equations (23) and (24), respectively. Arrows indicate the average timing for beginning of tillering (T), beginning of stem elongation (SE) and 50% flowering (F).

สำหรับระยะเวลาการสร้างพื้นที่ในหลังการหัวนเมล็ดข้าวอกจนกระทั่งถึงระยะเวลาที่ค่าพื้นที่ในมีค่าเท่ากับ 0.99 ของค่าพื้นที่ใบสูงสุด จะพบว่าการปลูกแบบบักดำที่มีระยะเวลาการสร้างใบเท่ากับ $1,918.4^{\circ}\text{Cd}$ (98 วัน) ซึ่งนานกว่าเมื่อเปรียบเทียบกับการปลูกแบบบักดำที่มีระยะเวลาการสร้างใบเท่ากับ $1,804.9^{\circ}\text{Cd}$ (93 วัน) การประมาณค่าพื้นที่ใบของการปลูกแบบหัวน้ำตามที่สมพนธ์กับค่าความร้อนสะสมแสดงค่า R^2 ค่อนข้างดี เนื่องจากข้อมูลมีความแปรปรวนสูงดังจะเห็นได้จากลักษณะการกระจายของจุดสังเกตที่เกิดขึ้นใน Fig. 11(a)

2. จำนวนใบ

ค่าเฉลี่ยจำนวนใบของสภาพการปลูกในกระถางและในแปลงนาเกษตรกร ที่ระยะต่าง ๆ ของการเจริญเติบโตและพัฒนาการ (Table 11) แสดงความแตกต่างระหว่างทวีตเม็ดในโตรเจน และระหว่างวิธีการปลูกแบบหัวน้ำตามกับแบบบักดำ ผลการวิเคราะห์ทางสถิติและลักษณะการเปลี่ยนแปลงของจำนวนใบที่เพิ่มขึ้นหรือลดลงที่ระยะเวลาต่าง ๆ จะคล้าย ๆ กันกับการวิเคราะห์ผลของจำนวนต้นทั้งหมด (Table 7) ที่ได้กล่าวรายละเอียดมาแล้วข้างต้น เมื่อพิจารณาถึงจำนวนใบ 'ต้นทั้งหมด' (Table 12) จะสังเกตเห็นว่า สภาพการปลูกในกระถางมีค่าเฉลี่ยจำนวนใบ 'ต้นทั้งหมด' ที่ระยะเริ่มยึดลำต้นและระยะดอกบาน 50% จะผันแปรอยู่ในช่วงแคบ ๆ ระหว่าง 3.2-3.5 และ 3.6-4.1 ใน 'ต้นทั้งหมด' และไม่แสดงผลความแตกต่างในทางสถิติ โดยมีสัมประสิทธิ์การแปรผันค่อนข้างต่ำเท่ากับ 4.79 และ 7.38% ตามลำดับ อย่างไรก็ตามจำนวนใบ 'ต้นทั้งหมด' มีแนวโน้มเพิ่มขึ้นตามลำดับสดคล้องกับระดับทวีตเม็ดในโตรเจน สำหรับสภาพการปลูกในแปลงนาเกษตรกรปรากฏว่า ค่าเฉลี่ยจำนวนใบ 'ต้นทั้งหมด' ในช่วงการเจริญเติบโตและพัฒนาการที่ระยะต่าง ๆ มีความผันแปรในช่วงแคบ ๆ เช่นเดียวกันประมาณ 3-4 ใบ 'ต้นทั้งหมด' ผลการวิเคราะห์ทางสถิติที่ระยะเริ่มสร้างหน่อของ การปลูกแบบหัวน้ำตามจะมีจำนวนใบ 'ต้นทั้งหมด' น้อยกว่าการปลูกแบบบักดำอย่างมีนัยสำคัญที่ระดับความเชื่อมั่น $P=0.05$ แต่ที่ระยะเริ่มยึดลำต้นและที่ระยะดอกบาน 50% มีจำนวนใบ 'ต้นทั้งหมด' ไม่มีความแตกต่างกันในทางสถิติ ระหว่างวิธีการปลูกทั้ง 2 แบบ สัมประสิทธิ์การแปรผันที่ระยะเริ่มสร้างหน่อจะมีค่าสูงกว่าที่ระยะเริ่มยึดลำต้นและระยะดอกบาน 50% ตามลำดับเท่ากับ 16.27, 15.52 และ 9.92%

ลักษณะการเปลี่ยนแปลงของจำนวนใบ 'ต้นทั้งหมด' จะค่อย ๆ เพิ่มจำนวนมากขึ้นตามลำดับตั้งแต่ช่วงแรก ๆ ก่อนระยะเริ่มสร้างหน่อจนกระทั่งถึงระยะดอกบาน 50% (Fig.12) ซึ่งจำนวนใบ 'ต้นทั้งหมด' ของการปลูกแบบหัวน้ำตาม ($\text{NLC}_{\text{WT}}\text{O}$) และแบบบักดำ (NLC_{TP}) กับค่าความร้อนสะสม (CDTT) ภายหลักการหัวนเมล็ดข้าวอก มีความสัมพันธ์เป็นแบบวีเกรสชันเส้นตรง ดังสมการ

Table 11. Number of leaves pot⁻¹ for (a) pot experiment and number of leaves m⁻² for (b) field experiment at various growth stages during the 1995-96 wet season.

Treatment	Beginning of		50% flowering
	Tillering	Stem elongation	
(a) Pot experiment:			
N0	—	433.0b	359.0c
N1	—	438.3b	393.7bc
N2	—	491.7a	478.0abc
N3	—	508.0a	495.7abc
N4	—	550.7a	516.7ab
N5	—	574.7a	556.3a
F-test	—	***	*
CV (%)	—	4.90	12.39
(b) Field experiment:			
Wet sown rice	2,244.0a	2,026.7a	1,483.0a
Transplanted rice	579.7b	1,131.7b	992.0b
F-test	**	*	*
CV (%)	41.64	36.50	20.67

*, **, *** Significant at the 0.05, 0.01 and 0.001 probability levels, respectively.

Within columns, treatment means followed by the same letter are not significantly different at 0.05 probability level (Student-Newman-Keuls *k*-test)

$$NLC_{WSR} = 2.88 + 5.55 \times 10^{-4} CDTT, \quad r^2 = 0.282^{***} \quad (25)$$

$$NLC_{TPR} = 3.36 + 3.59 \times 10^{-4} CDTT, \quad r^2 = 0.110^{**} \quad (26)$$

แม้ว่า r^2 ของสมการทั้งสองจะมีค่าค่อนข้างต่ำ แต่จำนวนใบ ต้นทั้งหมด¹ จะมีความสัมพันธ์กับค่าความร้อนสะสมที่ระดับความเชื่อมั่น $P=0.001$ และ $P=0.01$ ตามลำดับสำหรับการปลูกแบบหัว่าน น้ำตามและแบบปักต่ำ

Table 12. Number of leaves culm⁻¹ at various growth stages for (a) pot experiment and (b) field experiment during the 1995-96 wet season.

Treatment	Beginning of		50% flowering
	Tillering	Stem elongation	
(a) Pot experiment:			
N0	—	3.2a	3.6a
N1	--	3.2a	3.7a
N2	—	3.3a	4.0a
N3	—	3.4a	4.1a
N4	—	3.5a	4.1a
N5	--	3.5a	4.1a
F-test	--	NS	NS
CV (%)	—	4.79	7.38
(b) Field experiment:			
Wet sown rice	2.9b	3.4a	3.5a
Transplanted rice	3.8a	3.3a	3.6a
F-test	*	NS	NS
CV (%)	16.27	15.52	9.92

* Significant at the 0.05 probability level.

NS not significant.

Within columns, treatment means followed by the same letter are not significantly different at 0.05 probability level (Student-Newman-Keuls k-test)

3. ขนาดใบ

ส่วนของแผ่นใบเฉลี่ยจากสภาพการปลูกในกระถางและในแปลงนาเกษตรกรรม (Table 13) แสดงให้เห็นว่าทรีตเม้นต์ในตรรกะของการทดลองในกระถางจะมีขนาดใบเฉลี่ยแตกต่างกันในทางสถิติที่ระยะต่าง ๆ ดังนี้

- ระยะเริ่มปีดลำต้น: $N_0 \leq N_1 \leq N_2$; และ $N_1 \leq N_2 \leq N_3 \leq N_4 \leq N_5$ ที่ $P=0.01$
- ระยะดอกบาน 50%: $N_0 \leq N_1 \leq N_2 \leq N_3 \leq N_4$; และ $N_1 \leq N_2 \leq N_3 \leq N_4 \leq N_5$ ที่ $P=0.05$

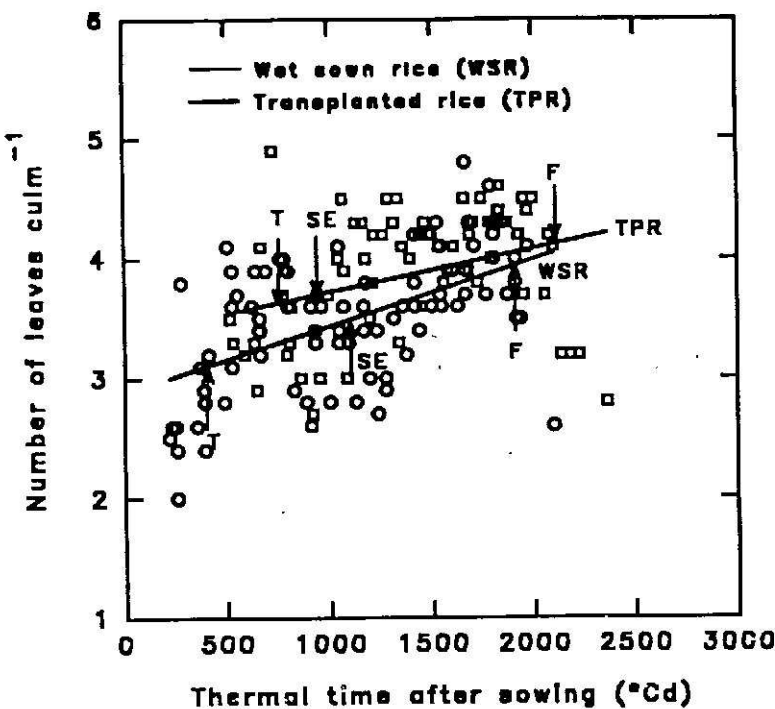


fig. 12. Relationship between number of leaves culm⁻¹ and thermal time after sowing for field experiment of wet sown rice and transplanted rice during the 1995-96 wet season. The fitted curves are present in equations (25) and (26) for wet sown rice and transplanted rice, respectively. Arrows indicate the average timing for beginning of tillering (T), beginning of stem elongation (SE) and 50% flowering (F).

สัมประสิทธิ์การแปรผันที่ระยะเริ่มยึดลำต้นและที่ระยะดอกบาน 50% มีค่าเท่ากับ 8.30 และ 13.54% ตามลำดับ ส่วนความแตกต่างของขนาดใบเฉลี่ยอันเนื่องจากแบบวิธีการปลูกปราภูผล ว่า การปลูกแบบหัวน้ำตามที่ระยะเริ่มสร้างหน่อและที่ระยะดอกบาน 50% จะมีขนาดใบเฉลี่ยเล็กกว่า แต่ที่ระยะเริ่มยึดลำต้นกลับมีขนาดใบเฉลี่ยใหญ่กว่าเมื่อเปรียบเทียบกับขนาดใบเฉลี่ยที่ระยะเดียวกันของการปลูกแบบปักดำ โดยมีความแตกต่างทางสถิติที่ระยะเริ่มสร้างหน่อ ระยะเริ่มยึดลำต้น และระยะดอกบาน 50% ที่ระดับความเชื่อมั่นเท่ากับ 0.05, 0.05 และ 0.001 สัมประสิทธิ์การแปรผันมีค่าเท่ากับ 22.83, 4.82 และ 10.39% ตามลำดับ ลักษณะการเปลี่ยนแปลงขนาดใบเฉลี่ยระหว่างช่วงระยะเริ่มยึดลำต้นจนถึงระยะดอกบาน 50% ของสภาพการปลูกในกระถุงกับในแปลงนาเกษตรกรจะมีความแตกต่างอย่างเด่นชัด กล่าวคือ ขนาดใบเฉลี่ยของทวีเตเมนต์ในโตรเจนที่ระดับต่าง ๆ มีแผ่นใบเล็กลง ในขณะที่ขนาดใบเฉลี่ยของการปลูกแบบหัวน้ำตามและแบบปักดำกลับมีแผ่นใบเพิ่มใหญ่ขึ้น โดยเฉพาะอย่างยิ่งในกรณีของการปลูกแบบปักดำจะมีขนาดใบเฉลี่ยใหญ่ที่สุด อย่างไรก็ตามสภาพการปลูกในกระถุงที่ระยะเริ่มยึดลำต้น จะมีขนาดใบเฉลี่ยใหญ่กว่า สภาพการปลูกในแปลงเกษตรกรทั้ง 2 แบบวิธีการปลูก แต่ที่ระยะดอกบาน 50% จะมีขนาดใบ

Table 13. Leaf size in $\text{cm}^2 \text{ leaf}^{-1}$ at various growth stages for (a) pot experiment and (b) field experiment during the 1995-96 wet season.

Treatment	Beginning of		50% flowering
	Tillering	Stem elongation	
(a) Pot experiment:			
N0	—	18.28b	13.27b
N1	—	20.57ab	17.13ab
N2	—	21.82ab	18.07ab
N3	—	23.22a	18.27ab
N4	—	24.72a	19.78ab
N5	—	25.09a	21.98a
F-test	—	**	*
CV (%)	—	8.30	13.54
(b) Field experiment:			
Wet sown rice	3.91b	11.96a	17.48b
Transplanted rice	6.74a	10.83b	28.13a
F-test	*	*	***
CV (%)	23.83	4.82	10.39

*, **, *** Significant at the 0.05, 0.01 and 0.001 probability levels, respectively.

Within columns, treatment means followed by the same letter are not significantly different at 0.05 probability level (Student-Newman-Keuls *k*-test)

ผลลัพธ์ที่ได้จากการทดลองแบบหัวน้ำตาม (ยกเว้นทรีเม็นต์ N0)

รูปแบบการเจริญเติบโตของขนาดใบเฉลี่ยในสภาพแปลงนาเกษตรกรที่มีการปลูกแบบหัวน้ำตาม ($LSIZE_{WSR}$) และแบบปักดำ ($LSIZE_{TPR}$) จะมีขนาดใบเพิ่มขึ้นตามช่วงเวลาความร้อนสะสม (CDTT) ภายหลังการหัวน้ำเมล็ดข้าวงอก โดยแสดงความสัมพันธ์ในลักษณะแบบปรีเกรสชัน เส้นตรง (Fig. 13) และขนาดใบเฉลี่ยของวิธีการปลูกทั้ง 2 แบบ ที่ช่วงเวลาค่าความร้อนสะสมได้ สามารถประมาณค่าได้จากสมการ

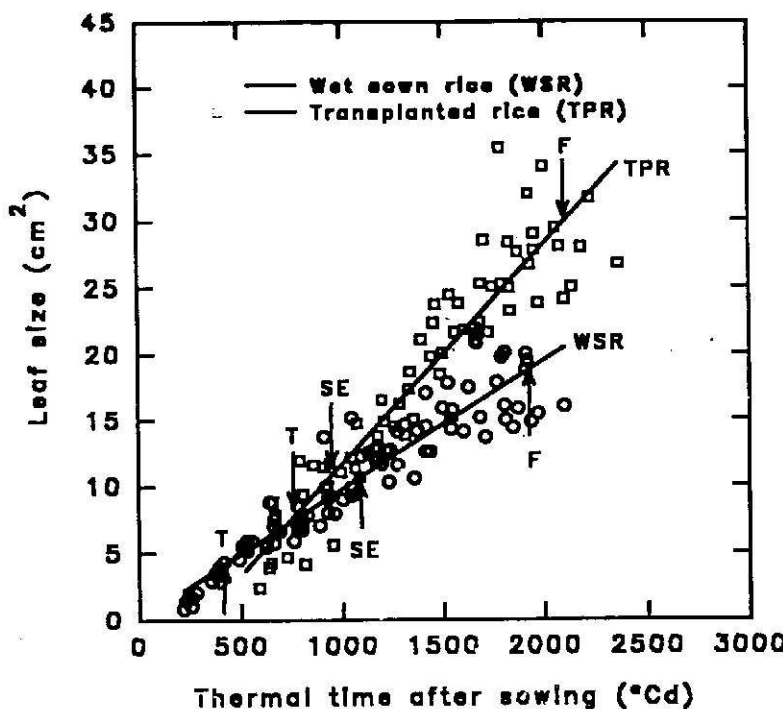


Fig. 13. Relationship between leaf size and thermal time after sowing for field experiment of wet sown rice and transplanted rice during the 1995-96 wet season. The fitted curves are present in equations (27) and (28) for wet sown rice and transplanted rice, respectively. Arrows indicate the average timing for beginning of tillering (T), beginning of stem elongation (SE) and 50% flowering (F).

$$LSIZE_{WSR} = 0.08 + 9.71 \times 10^{-3} CDTT, \quad r^2 = 0.877^{***} \quad (27)$$

$$LSIZE_{TPR} = 4.87 + 16.53 \times 10^{-3} CDTT, \quad r^2 = 0.885^{***} \quad (28)$$

ซึ่งจะเห็นได้ว่า r^2 ของสมการทั้งสองมีค่ามากกว่า 0.85 และสัมประสิทธิ์เกรศันท์แสดงถึงอัตราการเพิ่มขนาดไปต่อหน่วยเวลาความร้อนสะสมของการปลูกแบบหัวน้ำตามจะมีค่าน้อยกว่าการปลูกแบบปักดำ ความแตกต่างดังกล่าวเนี้ยทำให้ประมาณค่าได้ว่า ขนาดใบเฉลี่ยของการปลูกแบบหัวน้ำตามจะเริ่มมีค่าน้อยกว่าขนาดใบเฉลี่ยของการปลูกแบบปักดำที่ซึ่งเวลาความร้อนสะสมประมาณ 730°Cd (37 วัน) เป็นต้นไปภายหลังการหัวน้ำเมล็ดข้าวออก

น้ำหนักแห้งพืชส่วนเหนือดิน

ส่วนเหนือดินของพืชในช่วงการเจริญเติบโตและพัฒนาการระยะต่าง ๆ ซึ่งแสดงด้วยค่าน้ำหนักแห้งใน (Table 14) และน้ำหนักแห้งลำต้น (Table 15) ของสภาพการปลูกแบบกระถาง ปรากฏผลความแตกต่างทางสถิติระหว่างที่รีดเมนต์ในตอรเจน ดังนี้

Table 14. Leaf dry weight at various growth stages in g pot⁻¹ for (a) pot experiment and in g m⁻² for (b) field experiment during the 1995-96 wet season.

Treatment	Beginning of		50% flowering
	Tillering	Stem elongation	
(a) Pot experiment:			
N0	—	28.87c	20.04b
N1	—	29.84c	30.02ab
N2	—	37.52b	39.22ab
N3	—	39.60ab	43.45a
N4	—	46.04a	48.04a
N5	—	46.83a	54.81a
F-test	—	***	*
CV (%)	—	9.37	35.04
(b) Field experiment:			
Wet sown rice	20.89a	85.93a	122.08a
Transplanted rice	10.70b	32.82b	130.95a
F-test	*	*	NS
CV (%)	32.03	44.81	17.81

*,*** Significant at the 0.05 and 0.001 probability levels, respectively.

NS not significant.

Within columns, treatment means followed by the same letter are not significantly different at 0.05 probability level (Student-Newman-Keuls k-test)

น้ำหนักแห้งใบ

- ระยะเริ่มยึดลำต้น: $N_0 \leq N_1 < N_2; N_2 \leq N_3; \text{ และ } N_3 \leq N_4 \leq N_5$ ที่ $P=0.001$
- ระยะดอกบาน 50%: $N_0 \leq N_1 \leq N_2; \text{ และ } N_1 \leq N_2 \leq N_3 \leq N_4 \leq N_5$ ที่ $P=0.05$

สัมประสิทธิ์การแปรผันมีค่าเท่ากับ 9.37 และ 35.04% ตามลำดับ

น้ำหนักแห้งลำต้น

- ระยะเริ่มยึดลำต้น: $N_0 \leq N_1 < N_2; N_2 < N_3; N_3 \leq N_4; \text{ และ } N_4 \leq N_5$ ที่ $P=0.001$

Table 15. Stem dry weight at various growth stages in g pot⁻¹ for (a) pot experiment and in g m⁻² for (b) field experiment during the 1995-96 wet season.

Treatment	Beginning of		50% flowering
	Tillering	Stem elongation	
(a) Pot experiment:			
N0	-	83.20d	183.38c
N1	--	92.13d	231.72bc
N2	-	106.53c	287.88ab
N3	-	120.73b	291.54ab
N4	-	131.51ab	328.55a
N5	-	143.40a	361.89a
F-test	--	***	***
CV (%)	-	6.54	11.46
(b) Field experiment:			
Wet sown rice	23.80a	205.42a	738.53a
Transplanted rice	14.87b	43.72b	670.23a
F-test	*	**	NS
CV (%)	22.85	47.81	9.21

*,**,*** Significant at the 0.05, 0.01 and 0.001 probability levels, respectively.

NS not significant.

Within columns, treatment means followed by the same letter are not significantly different at 0.05 probability level (Student-Newman-Keuls k-test)

- ระยะดอกบาน 50%: N0≤N1; N1≤N2≤N3; และ N2≤N3≤N4≤N5 ที่ P=0.001

สัมประสิทธิ์การแปรผันมีค่าเท่ากับ 6.54 และ 11.46% ตามลำดับ สำหรับสภาพการปลูกในแปลงนาเกษตรกรจะพบว่า น้ำหนักแห้งใบและน้ำหนักแห้งลำต้นที่ระยะเริ่มสร้างหน่อ และที่ระยะเริ่มยึดลำต้นของการปลูกแบบหัวน้ำตาม มีค่ามากกว่าการปลูกแบบปักดำ โดยน้ำหนักแห้งใบมีความแตกต่างทางสถิติที่ระดับความเชื่อมั่น P= 0.05 ของระยะเริ่มสร้างหน่อและระยะเริ่มยึดลำต้น และ

สัมประสิทธิ์การแปรผันมีค่าเท่ากับ 32.03 และ 44.81% ตามลำดับ ส่วนน้ำหนักแห้งลำต้นมีความแตกต่างทางสถิติที่ระดับความเชื่อมั่น $P=0.05$ และ 0.01 และสัมประสิทธิ์การแปรผันมีค่าเท่ากับ 22.85 และ 47.81% ของระยะเริ่มสร้างหน่อและระยะเริ่มยึดลำต้น ตามลำดับ สำหรับน้ำหนักแห้งใบและน้ำหนักแห้งลำต้นที่ระยะดอกบาน 50% ของแบบการปลูกทั้งสองไม่แสดงความแตกต่างกันในทางสถิติ และสัมประสิทธิ์การแปรผันมีค่าต่ำลงเท่ากับ 17.81 และ 9.21% ของน้ำหนักแห้งใบและน้ำหนักแห้งลำต้น ตามลำดับ

รูปแบบการเพิ่มน้ำหนักแห้งใบและน้ำหนักแห้งลำต้น เริ่มตั้งแต่ช่วงแรกของการเจริญเติบโตจนถึงระยะดอกบาน 50% จากสภาพการปลูกในแปลงนาเกษตรกร ปรากฏผลว่าลักษณะการเพิ่มน้ำหนักแห้งใบ (Fig. 14) มีรูปแบบพังก์ชันโลจิสติก ซึ่งจะแตกต่างจากลักษณะการเพิ่มน้ำหนักแห้งลำต้น (Fig. 15) ที่มีรูปแบบพังก์ชันเอกซ์โพเนนเชียล R^2 ของฟังก์ชันทั้งสองสำหรับการปลูกแต่ละแบบมีค่าค่อนข้างสูง การประมาณค่าน้ำหนักแห้งใบของการปลูกแบบหัว่านน้ำตาม (LDW_{WSR}) และแบบปักดำ (LDW_{TPR}) ทำนองเดียวกันค่าน้ำหนักแห้งลำต้นของการปลูกแบบหัว่านน้ำตาม (SDW_{WSR}) กับแบบปักดำ (SDW_{TPR}) ที่สัมพันธ์กับช่วงเวลาค่าความร้อนสะสมหลังการหัว่านเมล็ดข้าวออก สามารถคำนวณได้จากการสมการ

$$LDW_{WSR} = \frac{155.53}{1 + 16.39 \exp(-2.56 \times 10^{-3} CDTT)} \quad R^2 = 0.728*** \quad (29)$$

$$LDW_{TPR} = \frac{151.59}{1 + 320.75 \exp(-4.65 \times 10^{-3} CDTT)} \quad R^2 = 0.867*** \quad (30)$$

$$SDW_{WSR} = 29.65 \exp(1.56 \times 10^{-3} CDTT), \quad R^2 = 0.871*** \quad (31)$$

$$SDW_{TPR} = 19.11 \exp(1.68 \times 10^{-3} CDTT), \quad R^2 = 0.873*** \quad (32)$$

การเพิ่มน้ำหนักแห้งใบของการปลูกแบบหัว่านน้ำตามและแบบปักดำ มีจุดเปลี่ยนความเร้าที่ $1,092.4^\circ\text{Cd}$ (56 วัน) และ $1,241.0^\circ\text{Cd}$ (64 วัน) ตามลำดับ อัตราการเพิ่มน้ำหนักแห้งใบและน้ำหนักแห้งลำต้นของการปลูกแบบหัว่านน้ำตามมีค่าต่ำกว่าการปลูกแบบปักดำ โดยอัตราสูงสุดการเพิ่มน้ำหนักแห้งใบที่จุดเปลี่ยนความเร้าจะเท่ากับ 9.95×10^{-2} และ 17.62×10^{-2} กรัม $^\circ\text{Cd}^{-1}$ ส่วนอัตราการเพิ่มน้ำหนักแห้งลำต้นจะเท่ากับ 1.56×10^{-3} และ 1.68×10^{-3} กรัม $^\circ\text{Cd}^{-1}$ ของสภาพวิธีการปลูกแบบหัว่านน้ำตามและแบบปักดำ ตามลำดับ

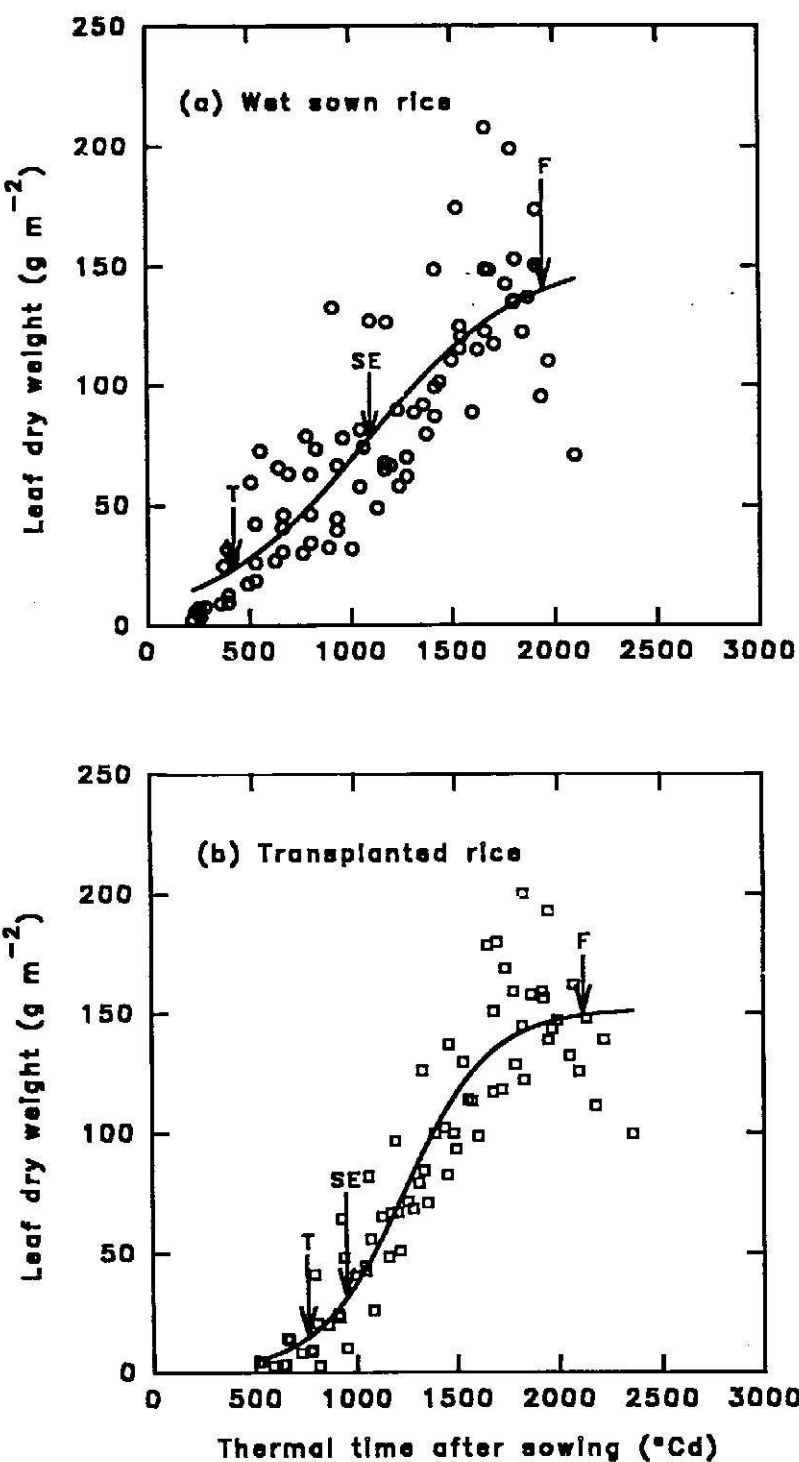


Fig. 14. Relationship between leaf dry weight and thermal time after sowing for field experiment of (a) wet sown rice and (b) transplanted rice during the 1995-96 wet season. The fitted curves are present in equations (29) and (30) for wet sown rice and transplanted rice, respectively. Arrows indicate the average timing for beginning of tillering (T), beginning of stem elongation (SE) and 50% flowering (F).

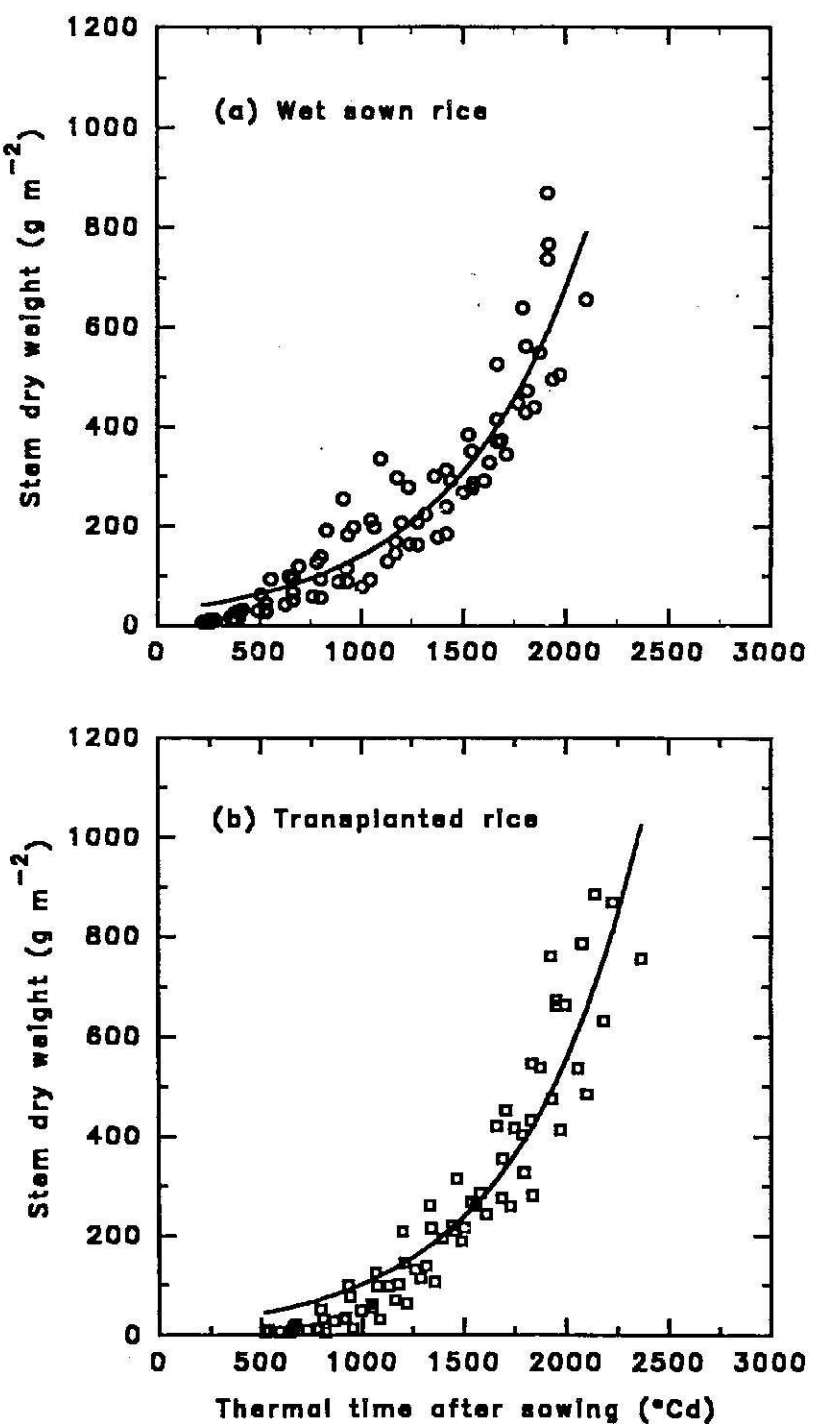


Fig. 15. Relationship between stem dry weight and thermal time after sowing for field experiment of (a) wet sown rice and (b) transplanted rice during the 1995-96 wet season. The fitted curves are present in equations (31) and (32) for wet sown rice and transplanted rice, respectively. Arrows indicate the average timing for beginning of tillering (T), beginning of stem elongation (SE) and 50% flowering (F).

ขณะเดียวกันเมื่อพิจารณาถึงน้ำหนักแห้งทั้งหมดของพืชส่วนเหนือดินที่ได้จากการรวมของน้ำหนักแห้งใบและน้ำหนักแห้งลำต้นในแต่ละระยะการเจริญเติบโตและพัฒนาการ (Table 16) จะแสดงผลการวิเคราะห์ทางสถิติค่า t ๆ กับกรณีของน้ำหนักแห้งใบและน้ำหนักแห้งลำต้น โดยน้ำหนักแห้งทั้งหมดของพืชส่วนเหนือดินจากสภาพการปลูกในภารถาน มีความแตกต่างระหว่างทวีดemenต์ในโตรเจน ดังนี้

- ระยะเริ่มยึดลำต้น: $N_0 \leq N_1 < N_2; N_2 \leq N_3; N_3 \leq N_4; \text{ และ } N_4 \leq N_5$ ที่ $P=0.001$
- ระยะดอกบาน 50%: $N_0 \leq N_1; N_1 \leq N_2 \leq N_3; \text{ และ } N_2 \leq N_3 \leq N_4 \leq N_5$ ที่ $P=0.001$
- ระยะเก็บเกี่ยวผลผลิต: $N_0 < N_1 < N_2 < N_3; \text{ และ } N_3 \leq N_4 \leq N_5$ ที่ $P=0.001$

สัมประสิทธิ์การแปรผันแต่ละระยะมีค่าเท่ากับ 6.80, 11.74 และ 7.23% ตามลำดับ ส่วนสภาพในแปลงนาเกษตรกรที่มีการปลูกแบบหว่านน้ำตาม จะมีน้ำหนักแห้งทั้งหมดของพืชส่วนเหนือดินมากกว่าการปลูกแบบปักดำอย่างมีความแตกต่างทางสถิติที่ระดับความเชื่อมั่น $P=0.05$ ในระยะเริ่มสร้างหน่อ และที่ระดับความเชื่อมั่น $P=0.01$ ในระยะเริ่มยึดลำต้น สำหรับระยะดอกบาน 50% และระยะเก็บเกี่ยวผลผลิตของแบบการปลูกทั้งสอง จะมีค่าน้ำหนักแห้งทั้งหมดของพืชส่วนเหนือดินใกล้เคียงกัน และสัมประสิทธิ์การแปรผันของระยะเริ่มสร้างหน่อ ระยะเริ่มยึดลำต้น ระยะดอกบาน 50% และระยะเก็บเกี่ยวผลผลิต มีค่าเท่ากับ 24.59, 46.36, 8.62 และ 9.97% ตามลำดับ น้ำหนักแห้งทั้งหมดของพืชส่วนเหนือดินในการปลูกแบบหว่านน้ำตาม (TDM_{WSR}) และแบบปักดำ (TDM_{TPR}) ที่แสดงความสัมพันธ์กับช่วงเวลาค่าความร้อนสะสม (CDTT) ภายหลังการหว่านเมล็ดข้าวออกตลดช่วงการเจริญเติบโตและพัฒนาการจนถึงระยะเก็บเกี่ยวผลผลิต มีลักษณะแบบฟังก์ชันลอจิสติก (Fig.16) และ R^2 มีค่ามากกว่า 0.90 ค่าน้ำหนักแห้งทั้งหมดของพืชส่วนเหนือดินที่ช่วงเวลาใดๆ สามารถคำนวณได้จากการสมการ

$$TDM_{WSR} = \frac{1,174.34}{1 + 44.89 \exp(-2.22 \times 10^{-3} CDTT)}, \quad R^2 = 0.908^{***} \quad (33)$$

$$TDM_{TPR} = \frac{1,041.86}{1 + 287.41 \exp(-3.33 \times 10^{-3} CDTT)}, \quad R^2 = 0.925^{***} \quad (34)$$

ค่าต่าง ๆ ที่คำนวณได้จากการจะแสดงให้เห็นว่า น้ำหนักแห้งทั้งหมดของพืชส่วนเหนือดินที่ปลูกแบบหว่านน้ำตามและแบบปักดำมีจุดเปลี่ยนความเว้าที่ $1,713.6^{\circ}\text{Cd}$ (88 วัน) และ $1,700.0^{\circ}\text{Cd}$ (87 วัน) และอัตราการเพิ่มสูงสุดที่จุดเปลี่ยนความเว้าของการปลูกแบบหว่านน้ำตาม จะมีค่าต่ำกว่า

Table 16. Above-ground dry matter at various growth stages in g pot⁻¹ for (a) pot experiment and in g m⁻² for (b) field experiment during the 1995-96 wet season.

Treatment	Beginning of		50% flowering	Harvest maturity
	Tillering	Stem elongation		
(a) Pot experiment:				
N0	—	112.06d	203.42c	178.78d
N1	—	121.99d	261.75bc	255.94c
N2	—	144.04c	327.10ab	295.88b
N3	—	160.34bc	336.07ab	345.34a
N4	—	177.55ab	376.58a	356.16a
N5	—	190.23a	416.70a	372.64a
F-test	--	***	***	***
CV (%)	—	6.80	11.74	7.23
(b) Field experiment:				
Wet sown rice	44.70a	291.06a	860.61a	923.00a
Transplanted rice	25.58b	76.54b	801.19a	925.68a
F-test	*	**	NS	NS
CV (%)	24.59	46.36	8.62	9.97

*,**,*** Significant at the 0.05, 0.01 and 0.001 probability levels, respectively.

NS not significant.

Within columns, treatment means followed by the same letter are not significantly different at 0.05 probability level (Student-Newman-Keuls *k*-test)

การปูกรากแบบปักดำ โดยมีค่าเท่ากับ 65.18×10^{-2} และ 86.73×10^{-2} กรัม °Cd⁻¹ ตามลำดับ

พื้นที่ใบจำเพาะและอัตราส่วนพื้นที่ใบ

อิทธิพลของระดับปริมาณในต่อเจนและแบบวิธีการปูกรากมีผลต่อพื้นที่ใบจำเพาะ (Table 17) และอัตราส่วนพื้นที่ใบ (Table 18) ในลักษณะที่คล้าย ๆ กัน ผลวิเคราะห์ทางสถิติของค่าทั้งสองที่ได้จากการปูกรากในกระถางแสดงให้เห็นว่า ค่าพื้นที่ใบจำเพาะและค่าอัตราส่วนพื้นที่ใบที่จะเริ่มยึดล้ำต้นและระยะดอกบาน 50% ไม่มีความแตกต่างระหว่างทวีตเมนต์ในต่อเจน พื้นที่ใบ

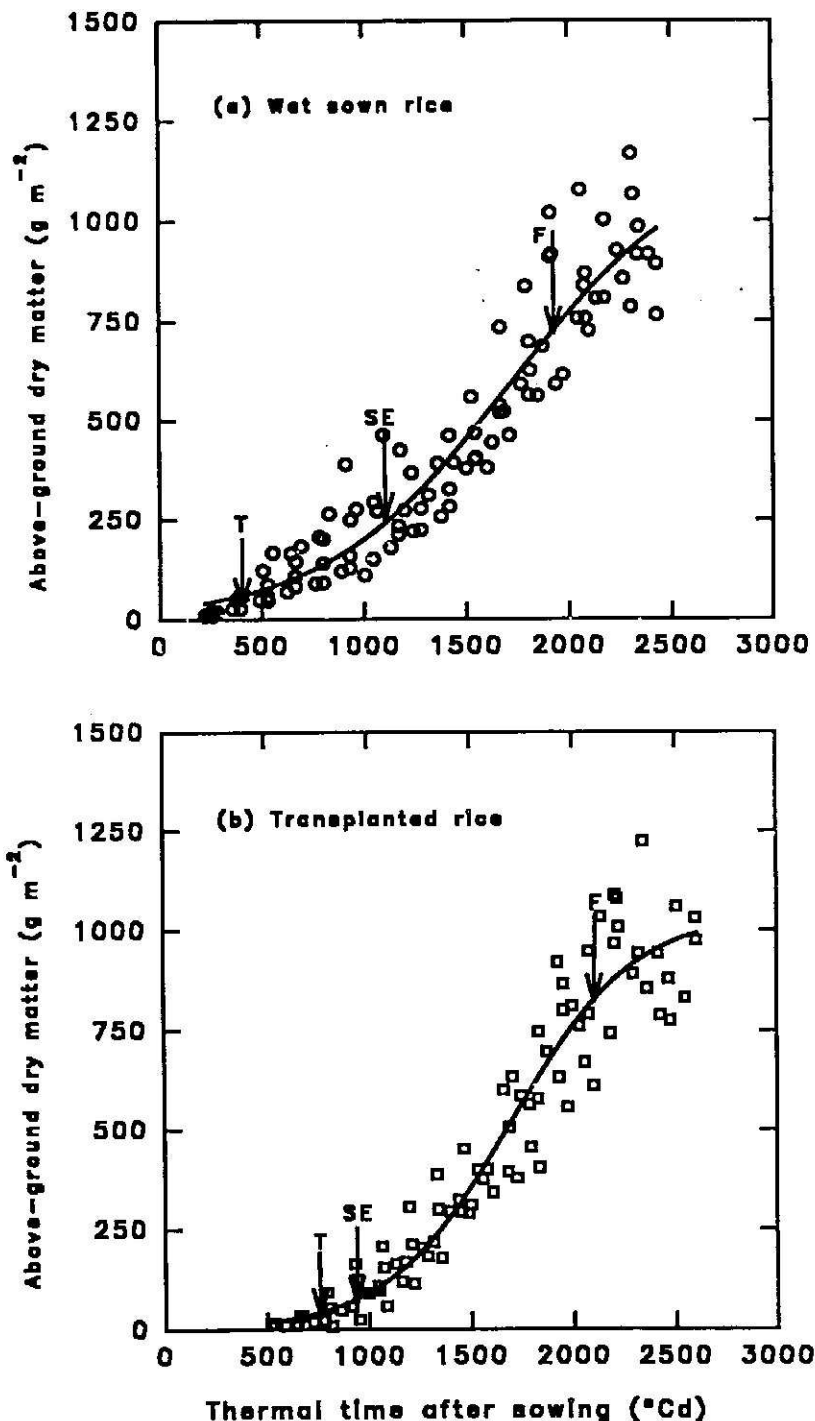


Fig. 16. Relationship between total above-ground dry matter and thermal time after sowing for field experiment of (a) wet sown rice and (b) transplanted rice during the 1995-96 wet season. The fitted curves are present in equations (33) and (34) for wet sown rice and transplanted rice, respectively. Arrows indicate the average timing for beginning of tillering (T), beginning of stem elongation (SE) and 50% flowering (F).

Table 17. Specific leaf area at various growth stages for (a) pot experiment and (b) field experiment during the 1995-96 wet season.

Treatment	Beginning of		50% flowering
	Tillering	Stem elongation	
(a) Pot experiment:			
N0	—	278.90a	243.85a
N1	—	285.35a	227.78a
N2	—	289.64a	219.48a
N3	—	297.39a	216.53a
N4	—	302.13a	211.61a
N5	—	309.62a	221.18a
F-test	—	NS	NS
CV (%)	—	6.70	5.81
(b) Field experiment:			
Wet sown rice	420.60a	284.36b	201.42a
Transplanted rice	360.92b	382.32a	204.03a
F-test	*	*	NS
CV (%)	6.67	12.56	4.03

* Significant at the 0.05 probability level.

NS not significant.

Within columns, treatment means followed by the same letter are not significantly different at 0.05 probability level (Student-Newman-Keuls k-test)

จำเพาะที่ระยะเริ่มยึดลำต้นและที่ระยะดอกบาน 50% มีค่าประมาณอยู่ในช่วงระหว่าง 275-310 และ 210-245 เซนติเมตร² กรัม⁻¹ และอัตราส่วนพื้นที่ใบมีค่าประมาณอยู่ในช่วงระหว่าง 65-80 และ 23-30 เซนติเมตร² กรัม⁻¹ ตามลำดับ สมประสิทธิ์การแปรผันมีค่าค่อนข้างต่ำ โดยพื้นที่จำเพาะที่ระยะเริ่มยึดลำต้นและดอกบาน 50% จะเท่ากับ 6.70 และ 5.81% ส่วนอัตราส่วนพื้นที่ใบจะเท่ากับ 5.81 และ 12.91% ตามลำดับ สำหรับสภาพการปลูกในแปลงนาเกษตรกรป่ากฤษณา ค่าพื้นที่ใบจำเพาะและอัตราส่วนพื้นที่ใบ ที่ระยะเริ่มสร้างหน่อและระยะเริ่มยึดลำต้น จะมีความแตกต่างกัน

Table 18. Leaf area ratio at various growth stages for (a) pot experiment and (b) field experiment during the 1995-96 wet season.

Treatment	Beginning of		50% flowering
	Tillering	Stem elongation	
(a) Pot experiment:			
N0	--	71.77a	23.57a
N1	--	69.40a	25.69a
N2	--	75.14a	26.56a
N3	--	77.02a	26.72a
N4	--	79.72a	26.81a
N5	--	76.26a	29.10a
F-test	--	NS	NS
CV (%)	--	5.80	12.91
(b) Field experiment:			
Wet sown rice	191.08a	82.92b	32.99a
Transplanted rice	151.04b	163.18a	34.66a
F-test	*	**	NS
CV (%)	10.84	18.46	132.92

*,** Significant at the 0.05 and 0.001 probability levels, respectively.

NS not significant.

Within columns, treatment means followed by the same letter are not significantly different at 0.05 probability level (Student-Newman-Keuls *k*-test)

ระหว่างแบบการปลูก ก้าวเดียวที่ใบจำเพาะของการปลูกแบบหัวน้ำตามที่ระบุเริ่มสร้างหน่อ จะมีค่ามากกว่า แต่ที่ระบุเริ่มเป็นยึดลำต้นกลับมีค่าน้อยกว่าการปลูกแบบปักดำอย่างมีเนื้อสำคัญทางสถิติที่ระดับความเชื่อมั่น $P=0.05$ ทั้งสองระยะการเจริญเติบโตและพัฒนาการ สัมประสิทธิ์การแปรผันมีค่าเท่ากับ 6.67 และ 12.56% ตามลำดับ สำหรับอัตราส่วนพื้นที่ใบของ การปลูกแบบหัวน้ำ น้ำตามและแบบปักดำที่ระบุเริ่มสร้างหน่อและระยะเริ่มเป็นยึดลำต้นแสดงความแตกต่างระหว่างแบบการปลูกเช่นเดียวกับค่าพื้นที่ใบจำเพาะอย่างมีนัยสำคัญทางสถิติที่ระดับความเชื่อมั่น $P=0.05$ และ

0.01 โดยมีสัมประสิทธิ์การแปรผันที่ระยะห้องเท่ากับ 10.84 และ 18.46% ตามลำดับ อย่างไรก็ตามค่าพื้นที่ในจำเพาะและอัตราส่วนพื้นที่ในที่ระยะดอกบาน 50% ของห้องสองแบบการปลูกไม่ค่าใกล้เคียงกัน สัมประสิทธิ์การแปรผันที่ระยะดอกบาน 50% ของพื้นที่ในจำเพาะและของอัตราส่วนพื้นที่ในเมื่อค่าเท่ากับ 4.03 และ 12.92% ตามลำดับ ลักษณะการเปลี่ยนแปลงโดยภาพรวมของพื้นที่ในจำเพาะและอัตราส่วนพื้นที่ในจากสภาพการปลูกในกระถางและในแปลงนาเกษตรกร จะมีค่าลดลงอย่างเป็นลำดับตามช่วงระยะเวลาเจริญเติบโตและพัฒนาการของพืช ยกเว้นกรณีพื้นที่ในจำเพาะของ การปลูกแบบปักดำที่มีค่าสูงขึ้นเล็กน้อยที่ระยะเริ่มเยิดลำต้น และเป็นที่น่าสังเกตว่า อัตราส่วนพื้นที่ในของสภาพการปลูกในกระถางห้องสองช่วงการเจริญเติบโตและพัฒนาการ จะมีค่าต่ำกว่าอย่างเด่นชัดเมื่อเปรียบเทียบกับสภาพการปลูกในแปลงนาเกษตรกร รูปแบบการเปลี่ยนแปลงของพื้นที่ในจำเพาะและอัตราส่วนพื้นที่ในตั้งแต่ช่วงแรก ๆ ของการเจริญเติบโตจนถึงระยะหลังดอกบาน 50% ของแบบการปลูกห้องสองจะมีลักษณะคล้ายกันดังแสดงใน Fig. 17 และ Fig. 18 ตามลำดับ ซึ่งค่าพื้นที่ในของ การปลูกแบบหัวน้ำตาม (SLA_{WSR}) แบบปักดำ (SLA_{TPR}) และค่าอัตราส่วนพื้นที่ในของ การปลูกแบบหัวน้ำตาม (LAR_{WSR}) และแบบปักดำ (LAR_{TPR}) ที่มีความสัมพันธ์กับช่วงเวลาค่าความร้อนสะสม (CDTT) ภายหลังการหัวน้ำแล้วข้าวออกแสดงได้ดังสมการ

การปลูกแบบหัวน้ำตาม:

ช่วงแรกที่ $CDTT \leq 480^{\circ}\text{Cd}$ (25 วัน)

$$SLA_{WSR} = 320.57 + 22.26 \times 10^{-2} CDTT, \quad r^2 = 0.161^{NS} \quad (35)$$

$$LAR_{WSR} = 46.47 + 35.63 \times 10^{-2} CDTT, \quad r^2 = 0.464^* \quad (36)$$

ช่วงหลังที่ $CDTT > 480^{\circ}\text{Cd}$ (25 วัน)

$$SLA_{WSR} = 191.73 + \frac{247.20}{1 + \left(\frac{CDTT}{946.97} \right)^{4.17}} \quad R^2 = 0.938*** \quad (37)$$

$$LAR_{WSR} = 45.17 + \frac{153.81}{1 + \left(\frac{CDTT}{798.14} \right)^{4.15}} \quad R^2 = 0.906*** \quad (38)$$

การปลูกแบบปักดำ:

ช่วงแรกที่ $CDTT \leq 800^{\circ}\text{Cd}$ (41 วัน)

$$SLA_{TPR} = 346.51 + 1.28 \times 10^{-2} CDTT, \quad r^2 = 0.001^{NS} \quad (39)$$

$$LAR_{TPR} = 27.04 + 15.44 \times 10^{-2} CDTT, \quad r^2 = 0.331^{NS} \quad (40)$$

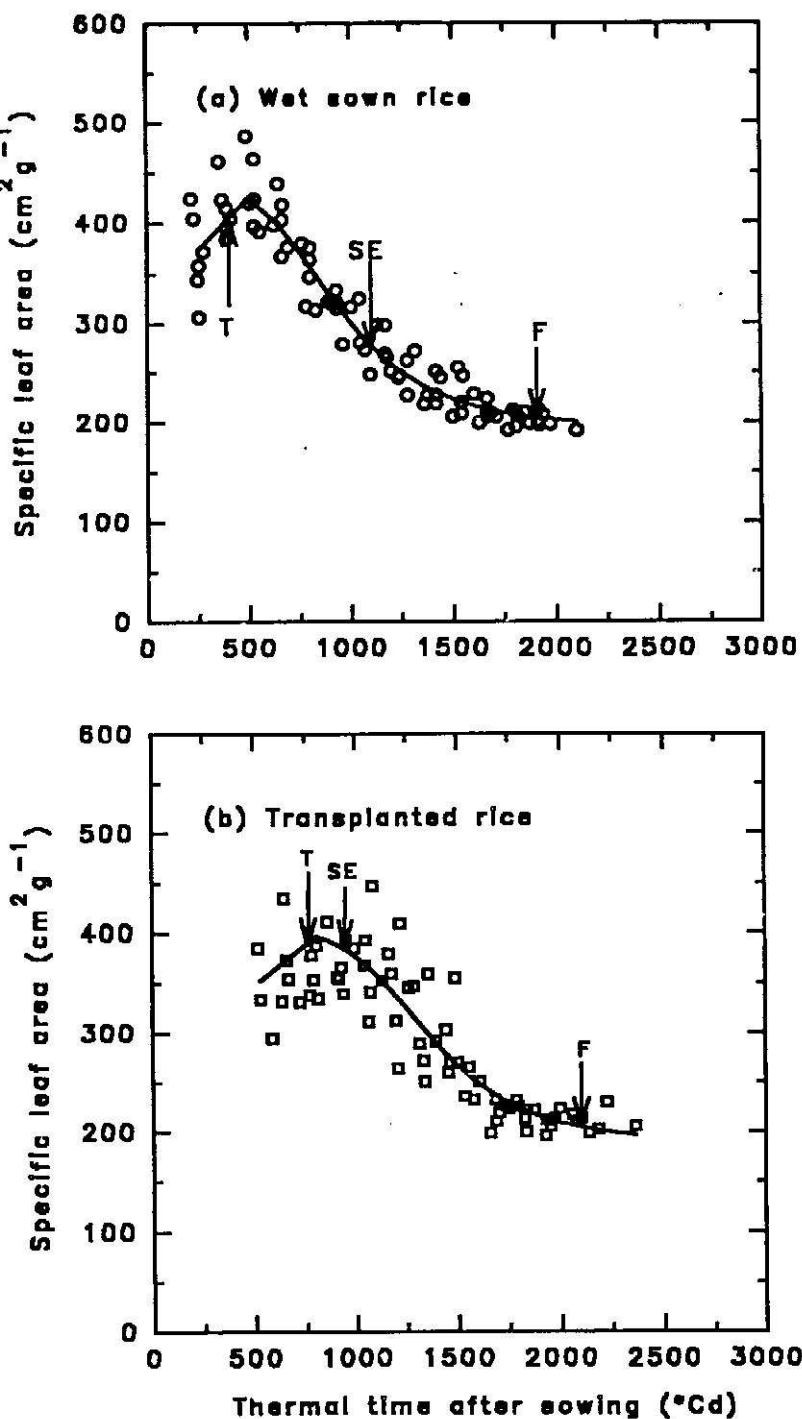


Fig. 17. Relationship between specific leaf area and thermal time after sowing for field experiment of (a) wet sown rice and (b) transplanted rice during the 1995-96 wet season. The fitted curves are present in equations (35), (37) and (39), (41) for wet sown rice and transplanted rice, respectively. Arrows indicate the average timing for beginning of tillering (T), beginning of stem elongation (SE) and 50% flowering (F).

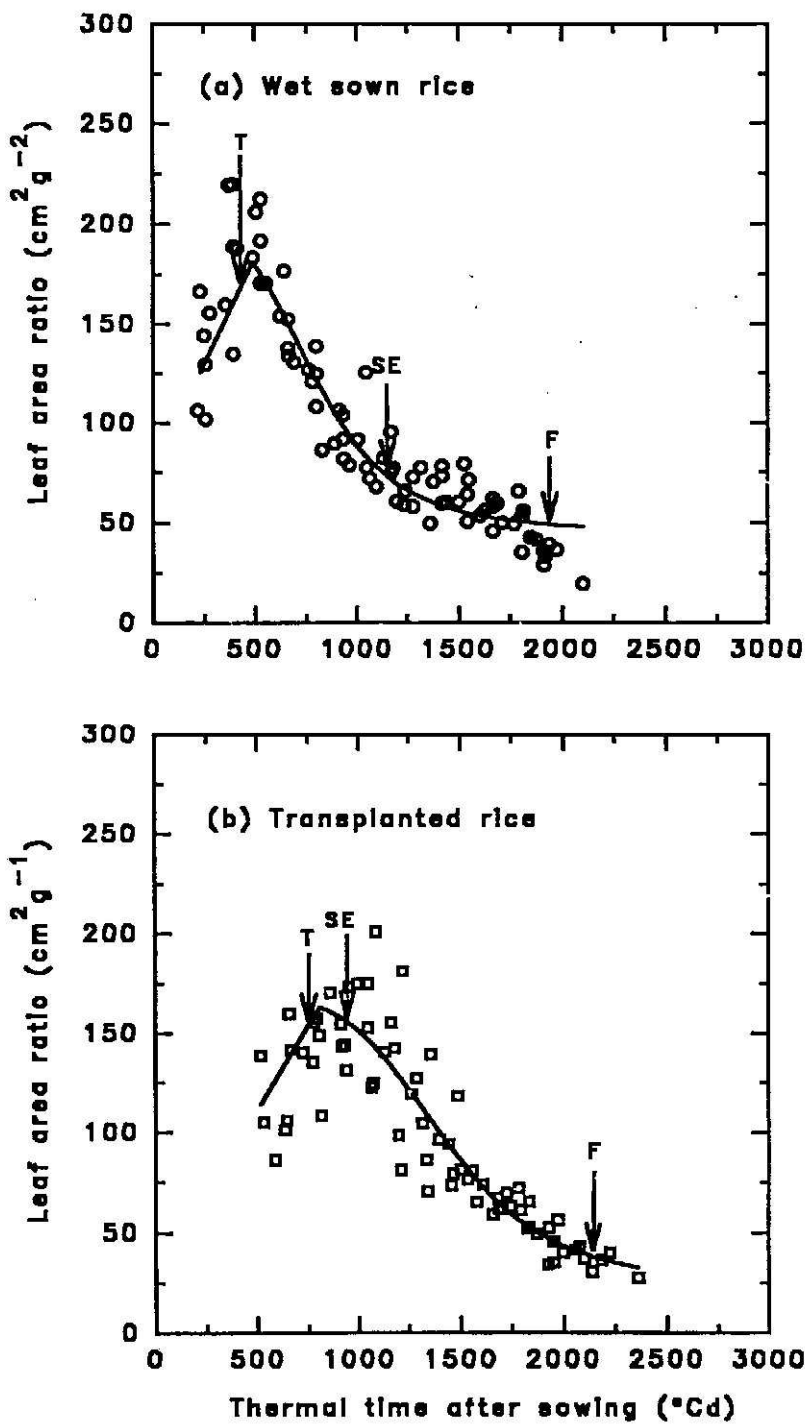


Fig. 18 Relationship between leaf area ratio and thermal time after sowing for field experiment of (a) wet sown rice and (b) transplanted rice during the 1995-96 wet season. The fitted curves are present in equations (36), (38) and (40), (42) for wet sown rice and transplanted rice, respectively. Arrows indicate the average timing for beginning of tillering (T), beginning of stem elongation (SE) and 50% flowering (F).

ช่วงหลังที่ $CDTT > 800^\circ\text{Cd}$ (41 วัน)

$$\text{SLA}_{\text{TPR}} = 188.76 + \frac{216.62}{1 + \left(\frac{\text{CDTT}}{1,366.03} \right)^{5.96}}, R^2 = 0.816^{***} \quad (41)$$

$$\text{LAR}_{\text{TPP}} = 24.84 + \frac{144.23}{1 + \left(\frac{\text{CDTT}}{1,421.07} \right)^{5.57}}, R^2 = 0.825^{***} \quad (42)$$

สมการต่าง ๆ ที่แสดงมานี้จะชี้ให้เห็นว่า พื้นที่ใบจำเพาะและอัตราส่วนพื้นที่ใบที่ช่วงเวลาค่าความร้อนสะสมมากกว่า 480 และ 800°Cd ของการปลูกแบบห่วงน้ำตามและแบบปักดำ ตามลำดับ จะประมาณค่าได้แม่นยำและมีความถูกต้องมากขึ้น โดย R^2 มีค่ามากกว่า 0.80 สมการของค่าพื้นที่ใบจำเพาะสามารถคำนวณได้ว่า พื้นที่ใบจำเพาะของการห่วงน้ำตามที่ 480°Cd และการปักดำที่ 800°Cd มีค่าสูงสุดเท่ากับ 425.20 และ 396.81 เซนติเมตร² กรัม⁻¹ อัตราการลดลงมากสุดของพื้นที่ใบจำเพาะที่จุดเปลี่ยนความเว้าของ การห่วงน้ำตามที่ 945.0°Cd และการปักดำที่ $1,366.0^\circ\text{Cd}$ มีค่าเท่ากับ 0.27 และ 0.24 เซนติเมตร² กรัม⁻¹ $^\circ\text{Cd}^{-1}$ และค่าพื้นที่ใบจำเพาะต่ำสุดที่ประมาณระยะหักบาน 50% ของการห่วงน้ำตามและการปักดำจะเท่ากับ 191.73 และ 188.76 เซนติเมตร² กรัม⁻¹ ตามลำดับ ในทำนองเดียวกันจะคำนวณได้ว่า อัตราส่วนพื้นที่ใบของ การห่วงน้ำตามที่ 480°Cd และการปักดำที่ 800°Cd มีค่าเท่ากับ 182.35 และ 163.42 เซนติเมตร² กรัม⁻¹ อัตราการลดลงมากสุดที่จุดเปลี่ยนเว้าของการห่วงน้ำตามที่ 798.1°Cd และการปักดำที่ $1,421.1^\circ\text{Cd}$ มีค่าเท่ากับ 0.20 และ 0.14 เซนติเมตร² กรัม⁻¹ $^\circ\text{Cd}^{-1}$ และค่าอัตราส่วนพื้นที่ใบต่ำสุดที่ประมาณระยะหักบาน 50% ของการห่วงน้ำตามและการปักดำจะเท่ากับ 45.17 และ 24.84 เซนติเมตร² กรัม⁻¹ ตามลำดับ

การประมาณค่าพื้นที่ใบ

ความสัมพันธ์ระหว่างพื้นที่ใบกับน้ำหนักแห้งใบ และน้ำหนักแห้งทั้งหมดของพืชส่วนเหนือดินจากสภาพการปลูกในกระถาง (Fig.19) มีลักษณะแบบวีเกรฟชันเส้นตรง และ R^2 มีค่าค่อนข้างสูงมากกว่า 0.80 การกระจายของข้อมูลพื้นที่ใบจะแบ่งออกเป็น 2 กลุ่มอย่างชัดเจนระหว่างพื้นที่ใบที่ระยะเริ่มยึดลำต้นกับที่ระยะหักบาน 50% การประมาณค่าพื้นที่ใบ กระถาง¹ ที่ระยะเริ่มยึดลำต้น ($\text{LA}_{\text{POT-SE}}$) กับที่ระยะหักบาน 50% ($\text{LA}_{\text{POT-FLO}}$) ที่แสดงความสัมพันธ์กับน้ำหนักแห้งใบ กระถาง¹ ที่ระยะการเจริญเติบโตและพัฒนาการนั้น ๆ ของน้ำหนักแห้งใบ ($\text{LDW}_{\text{POT-SE}}$, $\text{LDW}_{\text{POT-FLO}}$) และของน้ำหนักแห้งทั้งหมดของพืชส่วนเหนือดิน ($\text{TDM}_{\text{POT-SE}}$, $\text{TDM}_{\text{POT-FLO}}$) สามารถคำนวณได้ดังสมการ

$$\text{LA}_{\text{POT-SE}} = 931.79 + 271.83 \text{LDW}_{\text{POT-SE}}, R^2 = 0.840^{***} \quad (43)$$

$$\text{LA}_{\text{POT-SE}} = 448.80 + 71.80 \text{TDM}_{\text{POT-SE}}, R^2 = 0.881^{***} \quad (44)$$

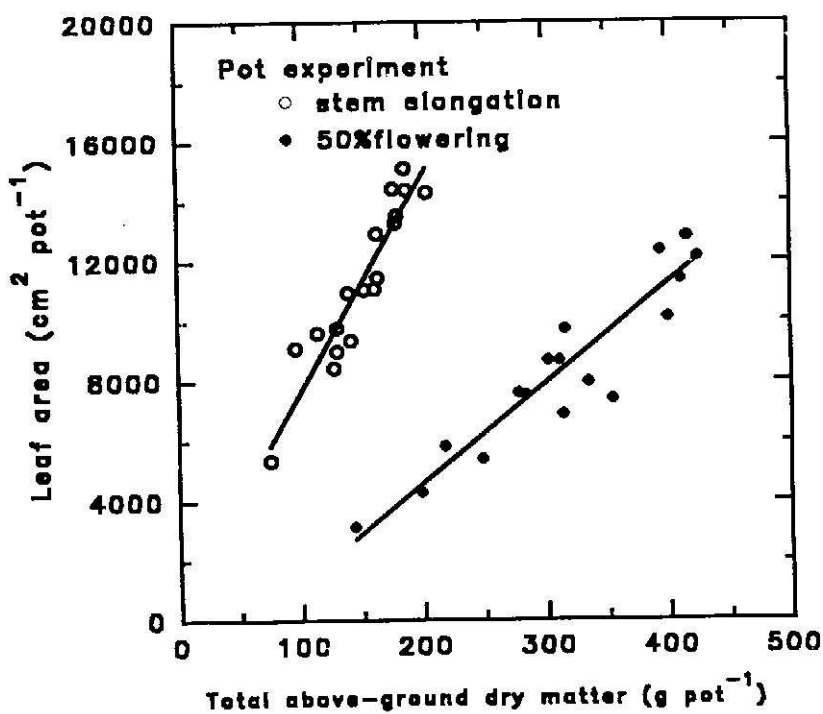
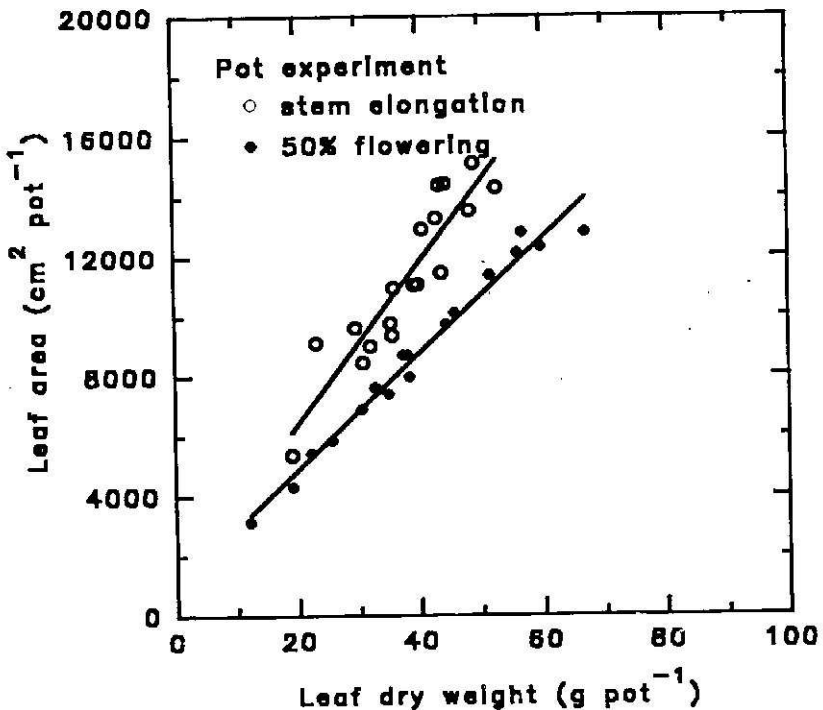


Fig. 19. Relationships between leaf area and leaf dry weight (above) and total above-ground dry matter (below) at stem elongation and 50% flowering stages for pot experiment during the 1995-96 wet season. The fitted curves are present in equations (43)-(46).

$$LA_{POT-FLO} = 991.28 + 194.20 LDW_{POT-FLO}, \quad r^2 = 0.997 \quad \dots \quad (45)$$

$$LA_{POT-FLO} = -2,061.35 + 33.33 TDM_{POT-FLO}, \quad r^2 = 0.878 \quad \dots \quad (46)$$

สำหรับความสัมพันธ์ระหว่างพื้นที่ใบกับน้ำหนักแห้งใบและน้ำหนักแห้งทั้งหมดของพืช ส่วนเหนือดินจากสภาพการปลูกในแปลงนาเกษตรกร (Fig.20 and 21) ที่มีการเก็บตัวอย่างพืชอย่างต่อเนื่องตั้งแต่ระยะแรก ๆ ของการเจริญเติบโตจนถึงระยะหลังดอกบาน 50% จะมีลักษณะเป็นเส้นตรง และ R^2 มีค่าค่อนข้างสูงเช่นกัน อย่างไรก็ตามลักษณะการกระจายของข้อมูลพื้นที่ใบจะมากขึ้นเมื่อน้ำหนักแห้งใบและน้ำหนักแห้งทั้งหมดของพืชส่วนเหนือดินมีค่ามากกว่า 50 และ 100 กรม เมตร² ตามลำดับ ในท่านองเดียวกันการประมาณค่าพื้นที่ใบ เมตร² ของการหัวน้ำตาม (LA_{WSR}) และการปักคำ (LA_{TPR}) ที่แสดงความสัมพันธ์กับน้ำหนักแห้ง เมตร² จากแบบการปลูกนั้น ๆ ของน้ำหนักแห้งใบ (LDW_{WSR} , LDW_{TPR}) และของน้ำหนักแห้งทั้งหมดของพืชส่วนเหนือดิน (TDM_{WSR} , TDM_{TPR}) สามารถคำนวณได้ดังสมการ

$$LA_{WSR} = 1,064.72 LDW^{0.691}, \quad R^2 = 0.880 \quad \dots \quad (47)$$

$$LA_{WSR} = 1,480.83 TDW^{0.481}, \quad R^2 = 0.728 \quad \dots \quad (48)$$

$$LA_{TPR} = 1,333.92 LDW^{0.649}, \quad R^2 = 0.938 \quad \dots \quad (49)$$

$$LA_{TPR} = 2,020.10 TDM^{0.440}, \quad R^2 = 0.831 \quad \dots \quad (50)$$

ปริมาณการดูดกลืนรังสีแสงสังเคราะห์

รังสีแสงสังเคราะห์ (photosynthetically active radiation, PAR) ที่พืชดูดกลืนไว้จะมีผลโดยตรงต่อการสร้างปริมาณน้ำหนักแห้งทั้งหมดของพืชทั้งส่วนเหนือดินและส่วนราก ความสัมพันธ์เช่นนี้เมื่อพิจารณาเฉพาะปริมาณการดูดกลืนรังสีแสงสังเคราะห์กับการสร้างน้ำหนักแห้งทั้งหมดของพืชส่วนเหนือดิน ตั้งแต่เริ่มหัวน้ำเมล็ดข้าวออกจนกระทั่งเก็บเกี่ยวผลผลิตจากสภาพการปลูกในแปลงนาเกษตรกรแบบหัวน้ำตามและแบบปักคำ (Fig.22) ปรากฏว่า ความสัมพันธ์มีลักษณะเป็นแบบรีเกรสชันเส้นตรง และ r^2 มีค่ามากกว่า 0.90 ปริมาณการสร้างน้ำหนักแห้งทั้งหมดของพืชส่วนเหนือดินของการปลูกแบบหัวน้ำตาม (TDM_{WSR}) และแบบปักคำ (TDM_{TPR}) ที่สัมพันธ์กับปริมาณการดูดกลืนรังสีแสงสังเคราะห์ (PAR_a) ของแต่ละแบบการปลูก แสดงได้ดังสมการ

$$TDM_{WSR} = -31.67 + 1.93 PAR_a, \quad r^2 = 0.912 \quad \dots \quad (51)$$

$$TDM_{TPR} = -36.72 + 2.56 PAR_a, \quad r^2 = 0.960 \quad \dots \quad (52)$$

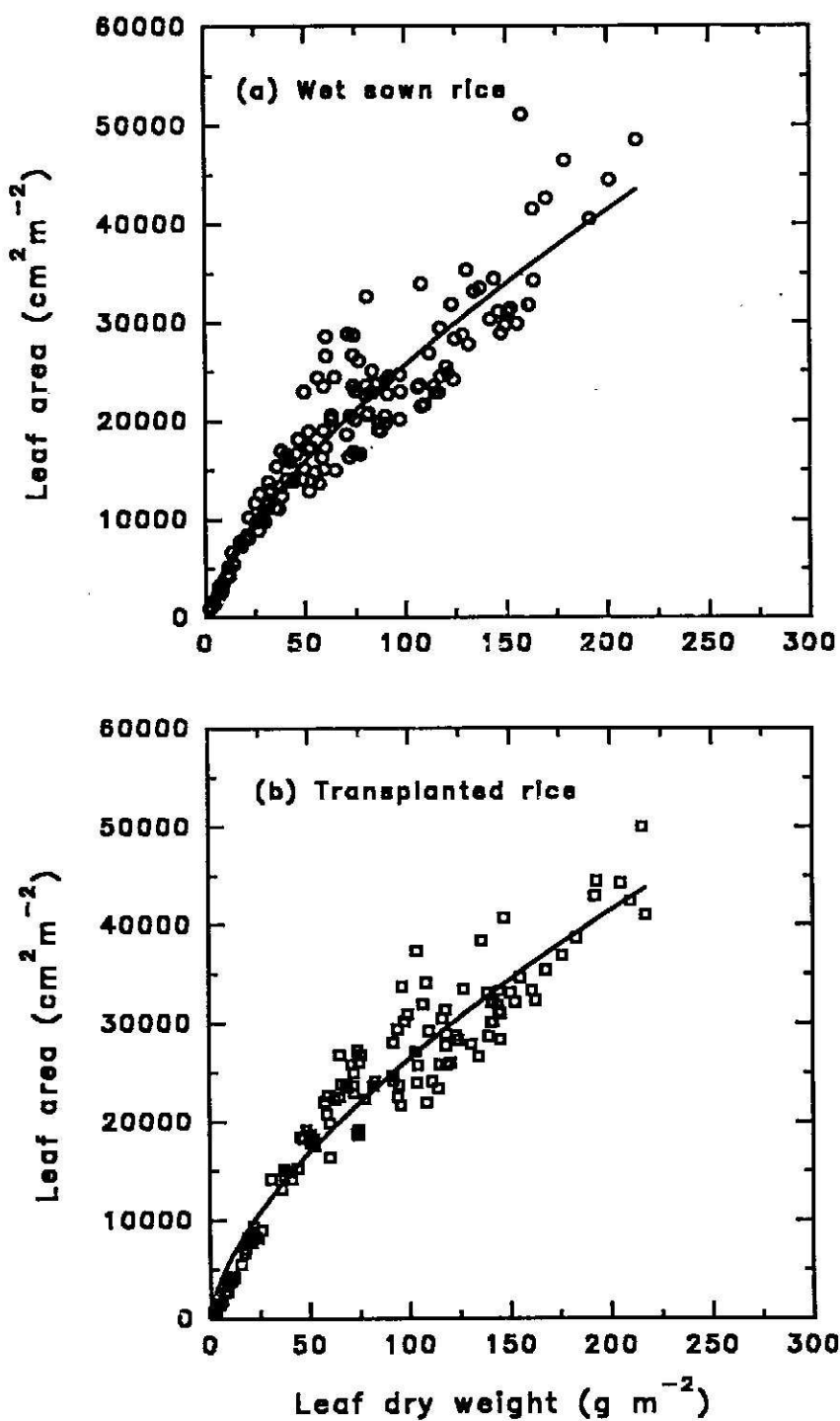


Fig. 20. Relationship between leaf area and leaf dry weight for field experiment of (a) wet sown rice and (b) transplanted rice during the 1995-96 wet season. The fitted curves are present in equations (47) and (49) for wet sown rice and transplanted rice, respectively.

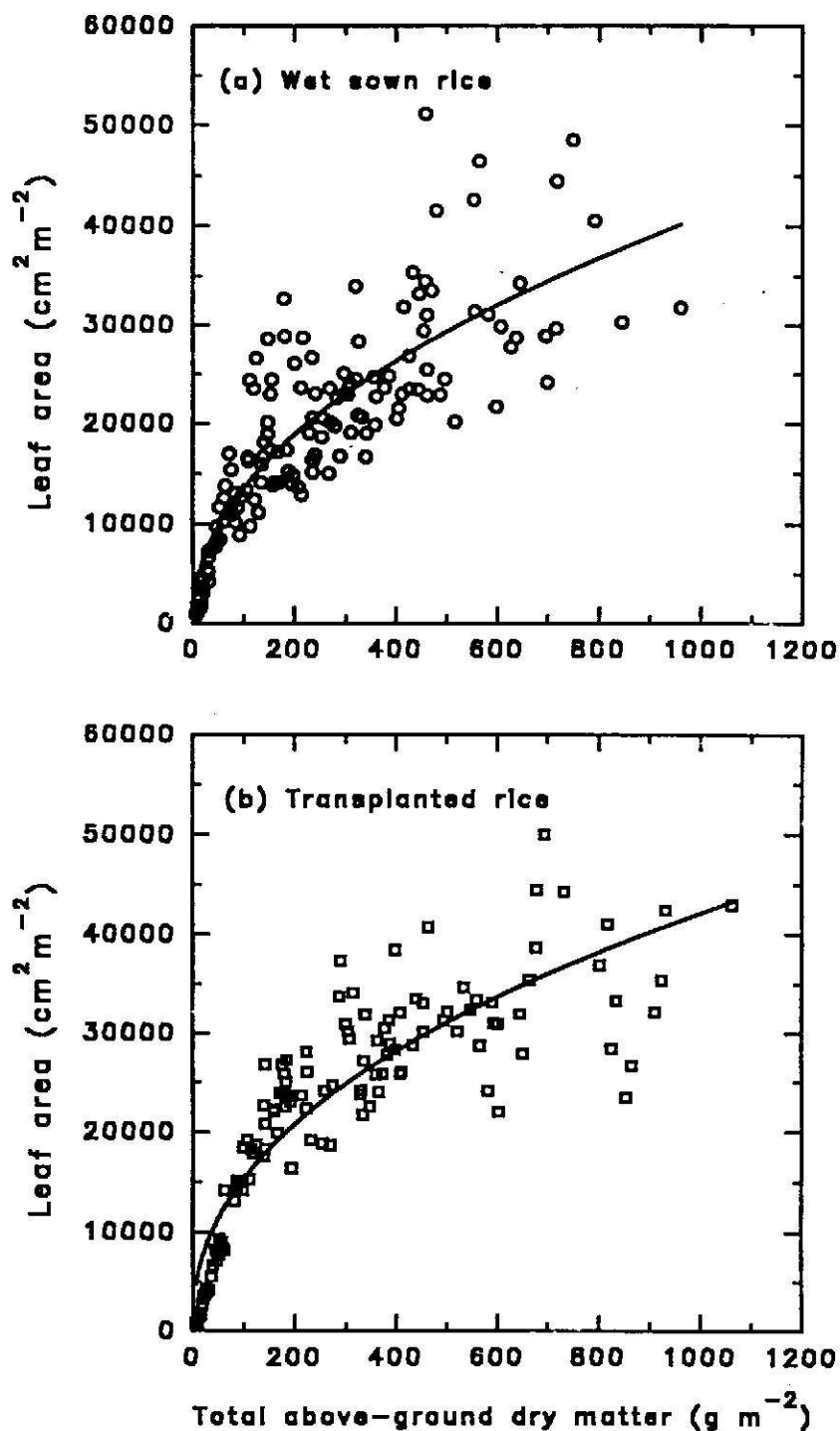


Fig. 21. Relationship between leaf area and total above-ground dry matter for field experiment of (a) wet sown rice and (b) transplanted rice during the 1995-96 wet season. The fitted curves are present in equations (48) and (50) for wet sown rice and transplanted rice, respectively.

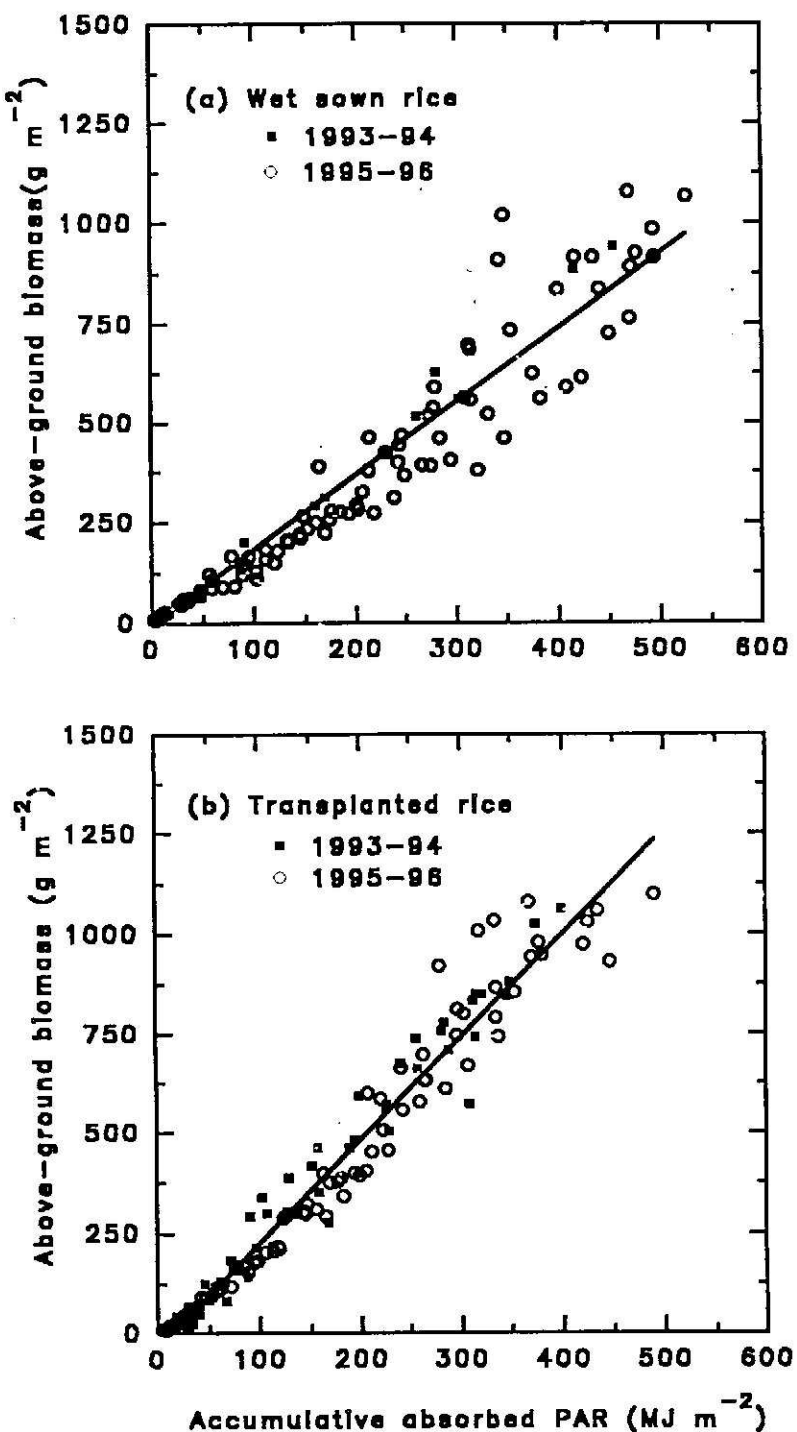


Fig. 22 Relationship between total above-ground dry matter and accumulative absorbed photosynthetically active radiation (PAR_g) for field experiment of (a) wet sown rice and (b) transplanted rice during the 1993-94 (■) and 1995-96 (○) wet season . The fitted curves for the 1995-96 wet season and for pooled data are present in equations (51), (53) and (52), (54),for wet sown rice and transplanted rice, respectively.

สัมประสิทธิ์เกรชันจะเป็นค่าปั่งบอกถึงประสิทธิภาพการใช้รังสีแสงสังเคราะห์ ในที่นี้สามารถกล่าวได้ว่า การปลูกข้าวพันธุ์เจี้ยงพัทลุงแบบหว่านน้ำตามมีประสิทธิภาพการใช้รังสีแสงสังเคราะห์ตลอดช่วงการเจริญเติบโตและพัฒนาการเท่ากับ 1.93 กรัม เมกะจูล¹ และมีค่าต่ำกว่าการปลูกแบบปักดำที่มีประสิทธิภาพการใช้รังสีแสงสังเคราะห์เท่ากับ 2.56 กรัม เมกะจูล¹ ขณะเดียวกันเมื่อนำข้อมูลการทดลองในข้าวพันธุ์เดียวกันและมีแบบการปลูกในแปลงนาเกษตรกรที่เหมือนกันจากผลงานวิจัยของวงศ์ อาภาคพงษ์กุล (2538b) มาแสดงไว้ด้วยกัน จะเห็นว่ามีการกระจายของข้อมูลอยู่ในกลุ่มเดียวกัน ผลการวิเคราะห์สัมประสิทธิ์เกรชันและจุดตัดแgn Y ไม่แสดงความแตกต่างระหว่างการทดลองของ การปลูกแต่ละแบบ ดังนั้นสมการวิเคราะห์ที่เกิดจากการรวมข้อมูลสำหรับการประมาณค่าน้ำหนักแห้งทั้งหมดของพืชส่วนหนึ่งอดินที่สัมพันธ์กับปริมาณการดูดกลืนรังสีแสงสังเคราะห์ของข้าวพันธุ์เจี้ยงพัทลุงในการปลูกแต่ละแบบ มีความสัมพันธ์ดังสมการ

$$TDM_{WSR} = -26.94 + 1.91 PAR_s \quad r^2 = 0.914 \cdots \quad (53)$$

$$TDM_{TPR} = -33.40 + 2.59 PAR_s \quad r^2 = 0.960^{***} \quad (54)$$

ผลการวิเคราะห์ความแตกต่างสัมประสิทธิ์เกรชันของสมการรวมข้อมูลในเชิงสถิติโดยวิธีทดสอบค่า t ระหว่างแบบการปลูกปากງว่า วิธีปลูกข้าวแบบน้ำตามมีค่าสัมประสิทธิ์เกรชันน้อยกว่าแบบปักดำอย่างมีนัยสำคัญทางสถิติที่ระดับความเชื่อมั่น P=0.001 ซึ่งหมายความว่า การใช้รังสีแสงสังเคราะห์ของข้าวเจี้ยงพัทลุงที่ปลูกแบบหว่านน้ำตาม จะมีประสิทธิภาพต่ำกว่าการปลูกแบบปักดำนั่นเอง

การเจริญเติบโตของเมล็ด

น้ำหนักแห้งเริ่มแรกของเมล็ดขณะไม่มีเนื้อเมล็ดที่ระยะเริ่มผสมเกสรของสภาพการปลูกในกระถางและในแปลงนาเกษตรมีค่าแปรผันระหว่าง 2.5-3.0 มิลลิกรัม ข้อมูลติดตามผลการเจริญเติบโตของเมล็ดที่ช่วงเวลาต่าง ๆ สามารถคาดคะเนได้ว่า ช่วงเวลาการสะสมน้ำหนักแห้งของเมล็ดจะเริ่มน้ำหนักที่ภายนหลังการผสมเกสรจนกระทั่งถึงช่วงเวลาค่าความร้อนสะสมประมาณ 300°Cd (17 วัน) หลังจากการผสมเกสร ครั้นเมื่อเมล็ดสร้างน้ำหนักแห้งจนมีค่าสูงสุดแล้ว เมล็ดคุณน้ำ จะไม่เกิดสภาพการสูญเสียน้ำหนักและมีค่าเก็บคงที่จนกระทั่งสิ้นสุดการเจริญเติบโตของเมล็ดที่ระยะเก็บเกี่ยวผลผลิต น้ำหนักแห้งสูงสุดเฉลี่ยของเมล็ดที่บันทึกได้ในระยะเก็บเกี่ยวผลผลิตมีค่าแปรผันประมาณ 20-21 มิลลิกรัม รูปแบบการสะสมน้ำหนักแห้งของเมล็ดตั้งแต่ระยะเริ่มผสมเกสรจนถึงระยะเก็บเกี่ยวผลผลิตของทรัพเมนต์ในโตรเจนที่ระดับต่าง ๆ จากสภาพการปลูกในกระถางและวิธีการปลูกทั้งสองแบบในแปลงนาเกษตรกร (Fig.23) มีลักษณะการเจริญเติบโตแบบฟังก์ชันลอจิสติก

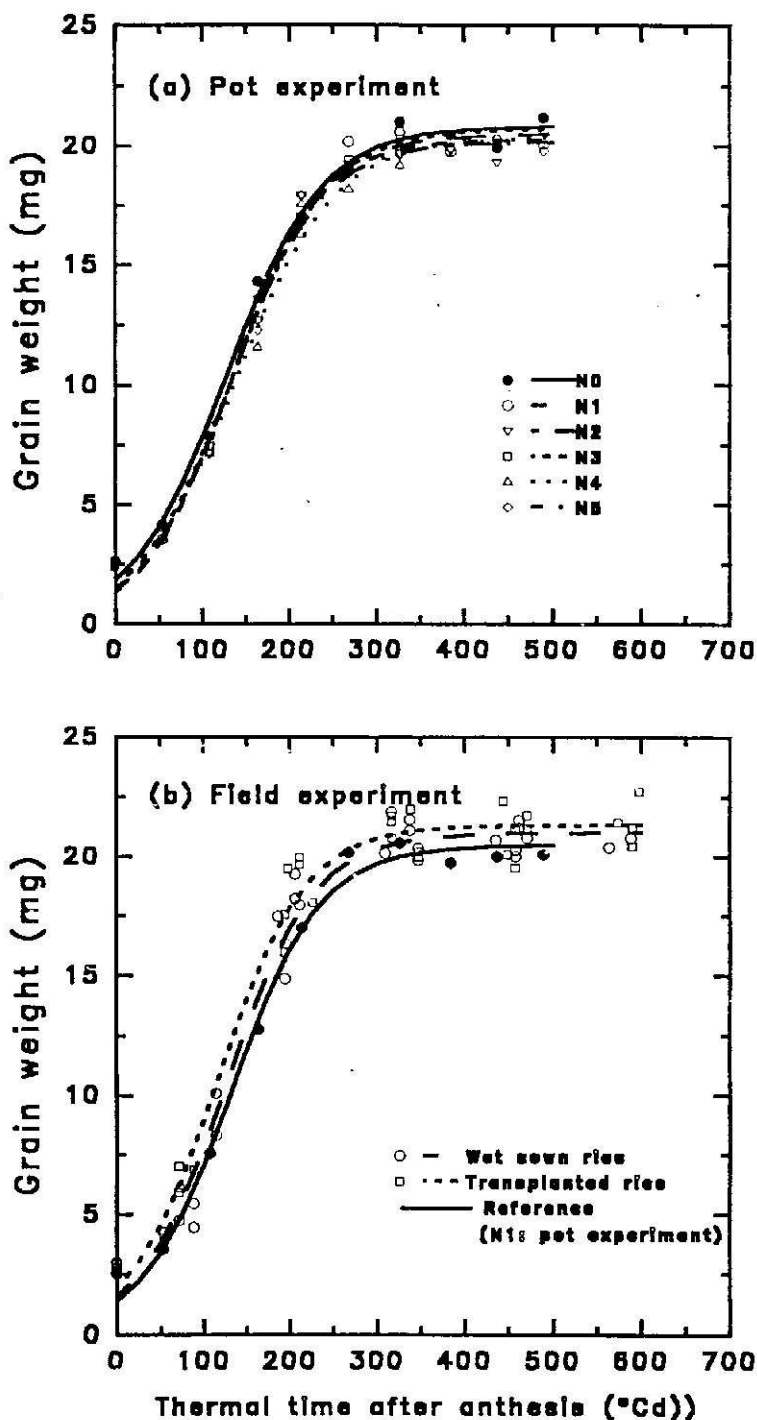


Fig. 23 Relationship between mean grain weight and thermal time after anthesis for (a) pot experiment and (b) field experiment during the 1995-96 wet season. The fitted curves are present in equations (55), (56) and (57) for pot experiment (pooled data of all treatment nitrogens), wet sown rice and transplanted rice, respectively.

กราฟเส้นโค้งที่แสดงการเจริญเติบโตของเมล็ดสำหรับทรีเมนต์ในต่อเจนทั้ง 6 ระดับ มีลักษณะเกือบเหมือนกันทุกประการ ส่วนกรณีของแบบการปลูกในแปลงนาเกษตรกรจะสังเกตเห็นว่า การเจริญเติบโตของเมล็ดในการปลูกแบบหัวน้ำตามทุกช่วงเวลาค่าความร้อนสะสมภายหลังระยะพัฒนาเมล็ดค่าต่ำกว่าการปลูกแบบปักดำ แต่มีค่าสูงกว่าทรีเมนต์ N1 ของการทดลองในกระถางซึ่งมีปริมาณในต่อเจนที่อัตราระดับเดียวกัน หากไม่คำนึงถึงความแตกต่างการเจริญเติบโตของเมล็ดระหว่าง ทรีเมนต์ในต่อเจน ค่าน้ำหนักแห้งของเมล็ดจากสภาพการปลูกในกระถาง (GW_{pc1}) และในแปลงนาเกษตรกรของ การปลูกแบบหัวน้ำตาม (GW_{WSR}) และแบบปักดำ (GW_{TPR}) แสดงความสัมพันธ์กับช่วงเวลาค่าความร้อนสะสมภายหลังการพัฒนาเมล็ด ($CDTT_{ant}$) โดยมี R^2 มากกว่า 0.95 และสามารถประมาณค่าน้ำหนักแห้งของเมล็ดที่ช่วงเวลาต่าง ๆ ได้จากสมการ

$$GW_{pc1} = \frac{20.47}{1 + 12.10 \text{EXP}(-18.74 \times 10^{-3} CDTT_{ant})}, \quad R^2 = 0.991^{***} \quad (55)$$

$$GW_{WSR} = \frac{21.00}{1 + 12.18 \text{EXP}(-19.73 \times 10^{-3} CDTT_{ant})}, \quad R^2 = 0.983^{***} \quad (56)$$

$$GW_{TPR} = \frac{21.32}{1 + 9.96 \text{EXP}(-19.72 \times 10^{-3} CDTT_{ant})}, \quad R^2 = 0.986^{***} \quad (57)$$

สมการลอจิสติกที่แสดงถึงลักษณะการเจริญเติบโตของเมล็ดจากการวิเคราะห์ข้อมูลที่บันทึกได้จากทรีเมนต์ในต่อเจนทั้ง 6 ระดับของการทดลองในกระถาง และทั้งสองแบบการปลูกในแปลงนาเกษตรกร จะแสดงค่าน้ำหนักแห้งสูงสุดของเมล็ดในช่วงสิ้นสุดการเจริญเติบโต (final grain weight) พิรอມทั้งสามารถคำนวณหาค่าอัตราสูงสุดของการสะสมน้ำหนักแห้งและระยะเวลาการสร้างสมน้ำหนักแห้งของเมล็ดสำหรับทรีเมนต์ในต่อเจนและแบบการปลูกนั้น ๆ ได้ คุณสมบัติของเมล็ดทั้ง 3 ลักษณะที่นำเสนอใน Table 19 ได้แสดงให้เห็นว่า การแปรผันของน้ำหนักแห้งสูงสุดของเมล็ดในช่วงสิ้นสุดการเจริญเติบโต อัตราสูงสุดของการสะสมน้ำหนักแห้ง และระยะเวลาการสร้างสมน้ำหนักแห้งของเมล็ด มีค่าระหว่าง 20.18-21.32 มิลลิกรัม 0.0892-0.1051 มิลลิกรัม $^{\circ}\text{Cd}$ (1.61-1.89 มิลลิกรัม วัน⁻¹) และ 265.9-306.1 $^{\circ}\text{Cd}$ (15-17 วัน) ตามลำดับ ในการศึกษาครั้งนี้พบว่า ทรีเมนต์ในต่อเจนที่ระดับต่าง ๆ มีค่าน้ำหนักแห้งสูงสุดของเมล็ดและอัตราสูงสุดของการสะสมน้ำหนักแห้งเมล็ดต่ำกว่า แต่มีระยะเวลาการสร้างสมน้ำหนักแห้งของเมล็ดที่ยาวนานกว่า เมื่อเปรียบเทียบกับคุณสมบัติของเมล็ดทั้งสองวิธีการปลูกในสภาพแปลงนาเกษตรกร

ความสัมพันธ์ที่เกิดขึ้นระหว่างอัตราสูงสุดของการสะสมน้ำหนักแห้ง R กับระยะเวลาการสร้างสมน้ำหนักแห้งเมล็ด (D) จากข้อมูลของทรีเมนต์ในต่อเจนที่ระดับต่าง ๆ ของการทดลองใน

Table 19. Estimation of final grain weight, maximum rate of grain filling and duration in accumulated thermal time from anthesis to 0.95 of final grain weight for (a) pot experiment and (b) field experiment (1995-96 wet season).

Treatment	Final grain weight (mg)	Maximum rate of grain filling (mg °Cd⁻¹)	Duration (°Cd)
(a) Pot experiment:			
N0	20.83	0.0944(1.70)	290.6(16.1)
N1	20.48	0.0996(1.79)	284.5(15.8)
N2	20.28	0.1008(1.81)	280.4(15.6)
N3	20.73	0.0951(1.71)	295.1(16.4)
N4	20.36	0.0892(1.61)	306.1(17.0)
N5	20.18	0.0972(1.75)	285.4(15.9)
(b) Field experiment:			
Wet sown rice	21.00	0.1036(1.86)	265.9(14.8)
Transplanted rice	21.32	0.1051(1.89)	275.9(15.3)

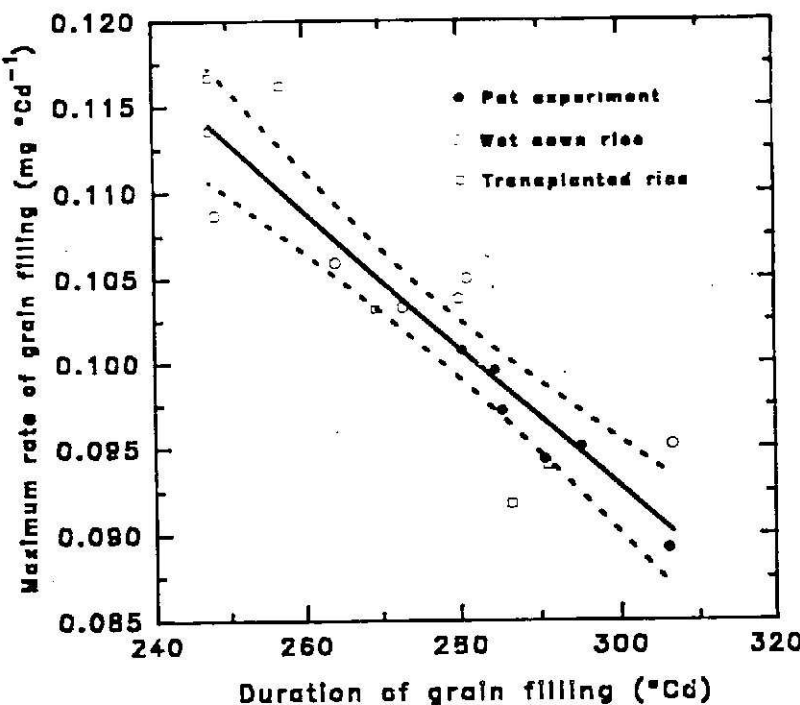
Rate in mg day⁻¹ and duration in days are in parenthesis.

กระดาษและแบบการปูกลั้งสองในแปลงนาเกษตรกร (Fig.24) แสดงลักษณะความสัมพันธ์เป็นแบบรีเกรสชันเส้นตรง โดยมีค่า r^2 ค่อนข้างสูงเท่ากับ 0.84 ดังสมการ

$$R = 0.2135 - 4.0253 \times 10^{-4} D \quad r^2 = 0.837^{***} \quad (58)$$

สัมประสิทธิ์รีเกรสชันที่แสดงค่าเป็นลบสามารถอธิบายได้ว่า ทรีตเมนต์ในโตรเจนหรือแบบการปูกลั้ง ที่มีระยะเวลาการสร้างสมน้ำหนักแห้งเมล็ดยาวนานกว่า หรือเมล็ดสุกแก่มากกว่า ทรีตเมนต์ในโตรเจนหรือแบบการปูกลันน์ จะมีอัตราสูงสุดของการสะสมน้ำหนักแห้งเมล็ดที่มีค่าน้อยลง หรือมีการเจริญเติบโตของเมล็ดช้าลงนั่นเอง

สำหรับผลติดตามลักษณะการเปลี่ยนแปลงความชื้นของเมล็ดตั้งแต่ระยะเริ่มผสมเกสรจนกระทั่งเก็บเกี่ยวผลผลิต (Fig.25) ของทรีตเมนต์ในโตรเจนที่ระดับต่าง ๆ จากการทดลองในกระดาษ จะมีรูปแบบเช่นเดียวกับที่ปรากฏในสภาพแปลงนาเกษตรกร กล่าวคือ เมล็ดในช่วงแรกจะมีความ



g. 24 Relationship between maximum rate of grain filling and duration of grain filling with 95% confidence intervals for pot experiment and field experiment. The fitted curve is present in equation (58).

ชั้นเพิ่มขึ้นอย่างรวดเร็วจากความชื้นเริ่มแรกประมาณ 45% ที่ระยับเมื่อสมการนั้นก็มีความชื้นสูงสุดประมาณ 60% ที่ช่วงเวลาความร้อนสะสม 80-100 °Cd (5-6 วัน) ภายหลังการผสมเกสร หลังจากนั้นแล้วความชื้นแม็ลล์จะลดลงอย่างเป็นลำดับจนมีค่าความชื้นลงต่ำสุดประมาณ 15-20 % ที่ระยับเก็บเกี่ยวผลผลิต โดยอัตราความชื้นที่ลดลงมากที่สุดจะเกิดขึ้นเมื่อค่าความร้อนสะสมอยู่ในช่วงระหว่าง 100-200 °Cd (6-11 วัน) ภายหลังการผสมเกสร

ผลผลิตและองค์ประกอบผลผลิต

ปริมาณไนโตรเจนและแบบวิธีการปลูกที่มีผลต่อระดับผลผลิตและองค์ประกอบผลผลิตดังแสดงใน Table 20 ได้ปรากฏให้เห็นว่า สภาพการปลูกในกระถางทดลองจะมีระดับผลผลิต จำนวน รวม จำนวนดอก จำนวนดอก รวม¹ และจำนวนแม็ลล์เพิ่มขึ้นตามลำดับ แต่เปอร์เซนต์เมล็ดเดียว และน้ำหนัก 1,000 เมล็ด มีแนวโน้มลดลงตามระดับที่ตั้งเมนต์ที่มีปริมาณไนโตรเจนมากขึ้น ผลการวิเคราะห์ความแตกต่างทางสถิติของระดับผลผลิต และองค์ประกอบผลผลิตระหว่างที่ตั้งเมนต์ในไนโตรเจนปรากฏผลดังนี้

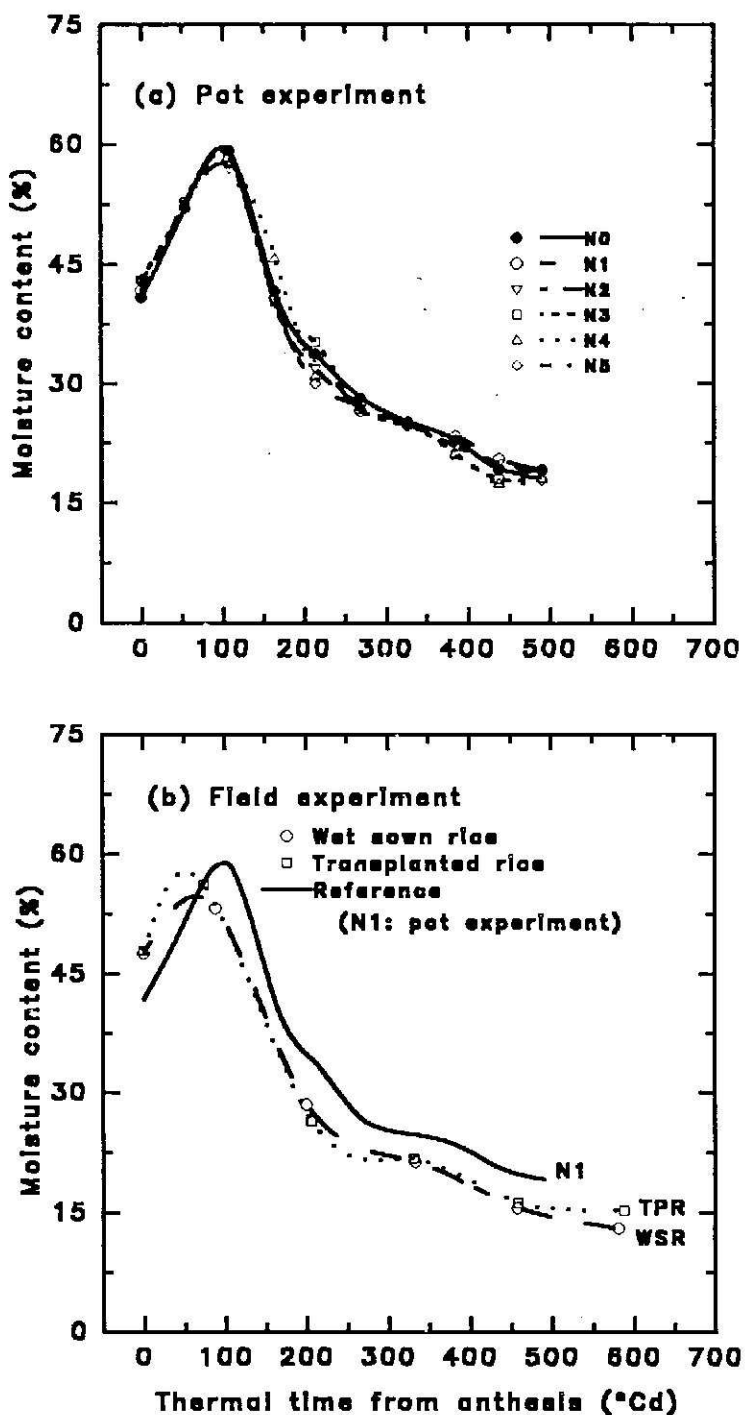


Fig. 25 Relationship between grains moisture content and thermal time after anthesis for (a) pot experiment and (b) field experiment during the 1995-96 wet season. Spline curves were fitted to the observation data. Each observation point is the mean of 27 grains from the pot experiment and the 540 grains from the field experiment.

Table 20. Yield and yield components for (a) pot experiment and (b) field experiment for the 1995-96 wet season.

(a) Pot experiment:

Treatment	GY (g pot ⁻¹)	NPA pot ⁻¹	NSPI pot ⁻¹	NSPI PA ⁻¹	NG pot ⁻¹	%FG	W1,000G
N0	53.09b	89.0b	3,538.3c	39.9c	2,680.7c	76.21a	19.79a
N1	73.62a	101.3ab	5,397.7b	53.2b	3,878.3b	71.95a	18.97b
N2	82.42a	110.0a	6,123.0b	55.7b	4,408.0ab	72.94a	18.70b
N3	99.82a	116.7a	7,269.3a	62.5a	5,369.3a	73.57a	18.60b
N4	99.24a	119.7a	7,880.0a	66.0a	5,516.0a	69.68a	18.00c
N5	97.57a	120.7a	8,919.3a	67.8a	5,379.7a	65.99a	18.12c
F-test	**	**	***	***	***	NS	***
CV (%)	12.74	7.93	9.03	6.21	12.43	6.94	1.23

(b) Field experiment:

Treatment	GY (g m ⁻²)	NPA m ⁻²	NSPI m ⁻²	NSPI PA ⁻¹	NG m ⁻²	%FG	W1,000G
WSR	301.98b	357.6a	19,815.3b	56.6b	15,372.2b	78.82a	19.84a
TPR	360.27a	240.1b	24,307.5	101.3a	18,230.0a	76.16a	19.77a
F-test	**	*	*	***	*	NS	NS
CV (%)	7.21	20.03	11.43	4.66	7.85	3.46	1.57

*,**,*** Significant at the 0.05, 0.01 and 0.001 probability levels, respectively.

NS not significant.

Within columns, treatment means followed by the same letter are not significantly different at 0.05 probability level (Student-Newman-Keuls *k*-test)

GY=grain yield; NPA=number of panicles; NSPI=number of spikelets; NG=number of grains;

FG=filled grain; W1,000G=weight of 1,000 grains; WSR=wet sown rice and TPR=transplanted rice.

- ผลผลิต กระถาง¹: $N_0 < N_1 \leq N_2 \leq N_3 \geq N_4 \geq N_5$ ที่ $P=0.01$
- จำนวนรวง กระถาง¹: $N_0 \leq N_1$; และ $N_1 \leq N_2 \leq N_3 \leq N_4 \leq N_5$ ที่ $P=0.01$
- จำนวนดอก กระถาง¹: $N_0 < N_1$; $N_1 \leq N_2 < N_3$ และ $N_3 \leq N_4 \leq N_5$ ที่ $P=0.001$
- จำนวนดอก รวง¹: $N_0 < N_1$; $N_1 \leq N_2 < N_3$; และ $N_3 \leq N_4 \leq N_5$ ที่ $P=0.001$
- จำนวนเมล็ด กระถาง: $N_0 < N_1$; $N_1 \leq N_2$; และ $N_2 \leq N_3 \leq N_4 \geq N_5$ ที่ $P=0.001$
- เปอร์เซนต์เมล็ดเต็ม: $N_0 \geq N_1 \leq N_2 \leq N_3 \geq N_4 \geq N_5$ ที่ $P>0.05$
- น้ำหนัก 1,000 เมล็ด: $N_0 > N_1$; และ $N_1 \geq N_2 \geq N_3 \geq N_4 \leq N_5$ ที่ $P=0.001$

สัมประสิทธิ์การแปรผันของลักษณะต่าง ๆ มีค่าต่ำกว่า 15% โดยระดับผลผลิต จำนวนรวง จำนวนดอก จำนวนดอก รวง¹ จำนวนเมล็ด เปอร์เซนต์เมล็ดเต็ม และน้ำหนัก 1,000 เมล็ด มีค่า สัมประสิทธิ์การแปรผันเท่ากับ 12.74, 7.93, 9.03, 6.21, 12.43, 6.94 และ 1.23% ตามลำดับ สำหรับ สภาพการปลูกในแปลงนาเกษตรกรพบว่า การปลูกแบบหัวน้ำตามมีระดับผลผลิตต่ำกว่า การปลูกแบบปักดำอย่างมีนัยสำคัญทางสถิติที่ระดับความเชื่อมั่น $P=0.01$ โดยมีสัมประสิทธิ์การ แปรผันค่อนข้างต่ำเท่ากับ 7.21% และผลการวิเคราะห์ทางสถิติขององค์ประกอบผลผลิตที่เกิดขึ้น จากแบบการปลูกหัวส่องวิธีได้แสดงให้เห็นว่า การปลูกแบบหัวน้ำตามจะมีจำนวนรวง เมตร² มากกว่า แต่จะมีจำนวนดอก เมตร² จำนวนดอก รวง¹ และจำนวนเมล็ด เมตร² น้อยกว่าการปลูก แบบปักดำอย่างมีนัยสำคัญทางสถิติที่ระดับความเชื่อมั่น $P=0.05$, 0.05, 0.001 และ 0.05 โดยมี สัมประสิทธิ์การแปรผันของแต่ละลักษณะเท่ากับ 20.03, 11.43, 4.66 และ 7.85% ตามลำดับ ส่วน เปอร์เซนต์เมล็ดเต็มและน้ำหนัก 1,000 เมล็ดของแบบการปลูกหัวส่องไม่แสดงความแตกต่างใน ทางสถิติ ($P>0.05$) และสัมประสิทธิ์การแปรผันมีค่าค่อนข้างต่ำเท่ากับ 3.46 และ 1.57% ตาม ลำดับ

ค่าสหสัมพันธ์เมทริกซ์ระหว่างผลผลิตและองค์ประกอบผลผลิตของสภาพการปลูกใน กระถางทดลองและในแปลงนาเกษตรกร (Table 21) จะมีทั้งค่าสหสัมพันธ์ที่แสดงค่าเป็นบวกและ เป็นลบตามความผันแปรของข้อมูลที่บันทึกได้ในระยะเก้ามื้อเย็นผลผลิตที่ได้รับอิทธิพลจากระดับ ปริมาณในโตรเจนและแบบวิธีการปลูกในแต่ละสภาวะ ความสัมพันธ์ระหว่างลักษณะต่าง ๆ ของ ผลผลิต จำนวนรวง จำนวนดอก และจำนวนเมล็ด ภาพรวมโดยทั่วไปจะมีค่าสหสัมพันธ์เป็นบวก ($P=0.001$) ยกเว้นวิธีการปลูกแบบหัวน้ำตามในส่วนของลักษณะระหว่างผลผลิตกับจำนวนรวง และระหว่างจำนวนรวงกับจำนวนดอกและจำนวนเมล็ด จะมีค่าสหสัมพันธ์เป็นลบ และไม่แสดง ความสัมพันธ์ในทางสถิติ สำหรับในส่วนของเปอร์เซนต์เมล็ดเต็มและน้ำหนัก 1,000 เมล็ด ที่มี ความสัมพันธ์กับลักษณะต่าง ๆ จะพบว่า ค่าสหสัมพันธ์ส่วนใหญ่แสดงค่าเป็นลบและไม่มีความ

Table 21. Correlation matrix of yield and yield components for (a) pot experiment and (b) field experiment (1995-96 growing season).

(a) Pot experiment: For all treatments nitrogen application rates (n=18).

	GY pot ⁻¹	NPA pot ⁻¹	NSPI pot ⁻¹	NG pot ⁻¹	%FG	W1,000G
GY pot ⁻¹	—					
NPA pot ⁻¹	0.784***	—				
NSPI pot ⁻¹	0.885***	0.878***	—			
NG pot ⁻¹	0.996***	0.787***	0.910***	—		
%FG	-0.091 ^{NS}	-0.527*	-0.527*	-0.134 ^{NS}	—	
W1,000G	-0.755***	-0.667**	-0.904***	-0.804***	0.462 ^{NS}	—

(b) Field experiment:

Above and below diagonal for wet sown rice (n=20) and transplanted rice (n=24), respectively.

	GY m ⁻²	NPA m ⁻²	NSPI m ⁻²	NG m ⁻²	%FG	W1,000G
GY m ⁻²	—	-0.083 ^{NS}	0.854***	0.981***	-0.037 ^{NS}	0.313 ^{NS}
NPA m ⁻²	0.722***	—	-0.090 ^{NS}	-0.136 ^{NS}	-0.130 ^{NS}	0.217 ^{NS}
NSPI m ⁻²	0.890***	0.731***	—	0.897***	-0.245 ^{NS}	-0.021 ^{NS}
NG m ⁻²	0.986***	0.732***	0.913***	—	0.001 ^{NS}	0.126 ^{NS}
%FG	-0.251 ^{NS}	-0.400 ^{NS}	-0.629***	-0.269 ^{NS}	—	-0.196 ^{NS}
W1,000G	0.030 ^{NS}	0.167 ^{NS}	-0.157 ^{NS}	-0.133 ^{NS}	0.060 ^{NS}	—

*, **, *** Significant at the 0.05, 0.01 and 0.001 probability levels, respectively.

NS not significant.

Abbreviation of variables as in Table 20.

สัมพันธ์ในเชิงสถิติ ($P>0.05$) ยกเว้นความสัมพันธ์ระหว่างเบอร์เซนต์เมล็ดเต็มกับจำนวนรวงและจำนวนดอก และความสัมพันธ์ระหว่างน้ำหนัก 1,000 เมล็ดกับผลผลิต จำนวนรวง จำนวนดอก และจำนวนเมล็ด ของสภาพการปลูกในกระถางทดลอง และความสัมพันธ์ระหว่างเบอร์เซนต์เมล็ด

เดิมกับจำนวนตัวกรองสภาพการปลูกแบบปักดำ มีค่าสัมพันธ์เป็นลบและมีความสัมพันธ์ในเชิงสถิติ (P มีค่าอยู่ในช่วงระหว่าง 0.05-0.001) เมื่อพิจารณาเฉพาะความสัมพันธ์ระหว่างผลผลิตกับองค์ประกอบหนลักษณะของผลผลิตที่สำคัญ ๆ คือจำนวนเมล็ดกับน้ำหนักเฉลี่ยเมล็ด (ในตารางแสดงด้วยค่า W 1,000G) จะปรากฏว่า ผลผลิตของสภาพการปลูกในกระถางทดลองมีความสัมพันธ์ในทางบวกกับจำนวนเมล็ด แต่มีความสัมพันธ์ในทางลบกับน้ำหนัก 1,000 เมล็ด ที่ระดับความเชื่อมั่น $P=0.001$ ส่วนผลผลิตของสภาพแปลงนาเกษตรจาก การปลูกแบบหัว่นน้ำตามและแบบปักดำ จะมีความสัมพันธ์ในทางบวก เช่น กับจำนวนเมล็ด ($P=0.001$) เพียงลักษณะเดียวเท่านั้น ความสัมพันธ์ระหว่างลักษณะหัว่นสามที่ประกอบด้วย ผลผลิตกับจำนวนเมล็ด ผลผลิตกับน้ำหนัก 1,000 เมล็ด และน้ำหนัก 1,000 เมล็ด กับจำนวนเมล็ดของสภาพการปลูกในกระถางทดลองและในแปลงนาเกษตรกรได้แสดงไว้ตามลำดับใน Fig.26-28 โดยมีรายละเอียดสำคัญดังนี้

(1) ผลผลิตกับจำนวนเมล็ด การกระจายของข้อมูลในทรีดเมนต์ในโตรเจน การปลูกแบบหัว่นน้ำตามและแบบปักดำ จะมีผลผลิตอยู่ในช่วงประมาณระหว่าง 40-115 กรัม กระถาง¹ 260-380 และ 260-490 กรัม เมตร² และมีจำนวนเมล็ดอยู่ในช่วงประมาณระหว่าง 2,100-6,400 เมล็ด กระถาง¹ 12,700-19,400 และ 12,700-24,000 เมล็ด เมตร² ตามลำดับ ความสัมพันธ์ระหว่างผลผลิตกับจำนวนเมล็ดของสภาพการปลูกในการทดลองหัว่นสอง (Fig.26) มีลักษณะแบบบีเกรฟชันเส้นตรง และ r^2 มีค่าค่อนข้างสูงมากกว่า 0.95 ผลผลิตของทรีดเมนต์ในโตรเจนที่ระดับต่าง ๆ จากสภาพการปลูกในกระถาง (GY_{pot}) และสภาพการปลูกในแปลงนาเกษตรกรแบบหัว่นน้ำตาม (GY_{WSK}) และแบบปักดำ (GY_{TPR}) สามารถประมาณค่าได้จากจำนวนเมล็ด (NG) ของสภาพนั้น ๆ ดังสมการ

$$GY_{pot} = 7.38 + 1.70 \times 10^{-2} NG, \quad r^2 = 0.993^{***} \quad (59)$$

$$GY_{WSK} = -9.74 + 2.05 \times 10^{-2} NG, \quad r^2 = 0.963^{***} \quad (60)$$

$$GY_{TPR} = 6.44 + 1.94 \times 10^{-2} NG, \quad r^2 = 0.973^{***} \quad (61)$$

(2) ผลผลิตกับน้ำหนัก 1,000 เมล็ด ค่าเฉลี่ยของน้ำหนัก 1,000 เมล็ด มีการกระจายอยู่ในช่วงแคบ ๆ ซึ่งข้อมูลของน้ำหนัก 1,000 เมล็ดที่บันทึกได้ในทรีดเมนต์ในโตรเจน การปลูกแบบหัว่นน้ำตามและแบบปักดำ จะแปรผันอยู่ในช่วงโดยประมาณระหว่าง 17.5-20.0, 18.5-20.5 และ 19.0-20.5 กรัม ตามลำดับ ผลการวิเคราะห์หาความสัมพันธ์ระหว่างผลผลิตกับน้ำหนัก 1,000 เมล็ดของแต่ละสภาพการปลูก (Fig.27) ได้แสดงให้เห็นว่า ผลผลิตของทรีดเมนต์ในโตรเจนจากสภาพการปลูกในกระถาง มีความสัมพันธ์กับน้ำหนัก 1,000 เมล็ด ($W1,000 G$) แบบบีเกรฟชันเส้นตรง โดยสัมประสิทธิ์เกรฟชันมีค่าเป็นลบ และ r^2 มีค่าเท่ากับ 0.57 ดังสมการ

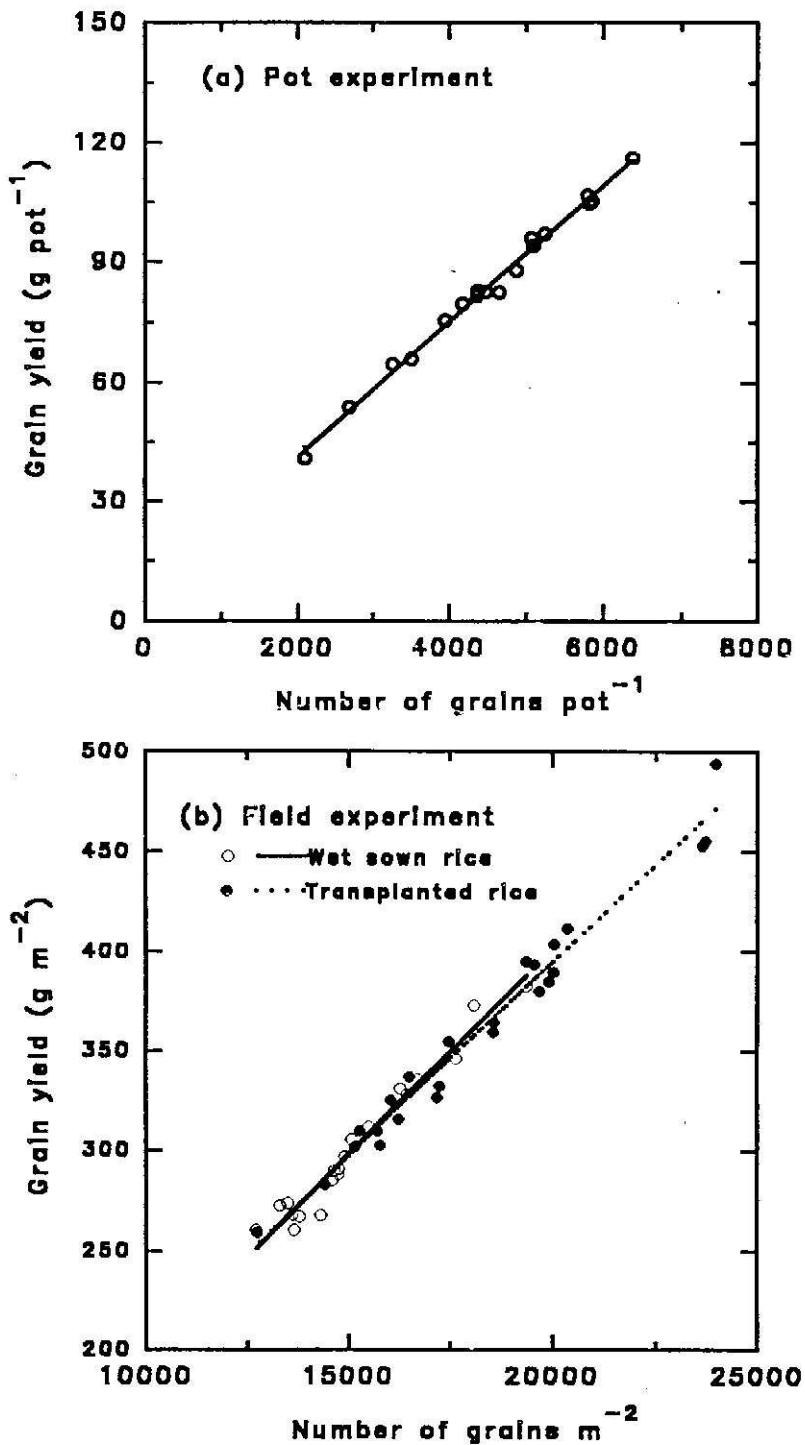


Fig. 26. Relationship between grain yield and number of grains area⁻¹ for (a) pot experiment and (b) field experiment during the 1995-96 wet season. The fitted curves are present in equations (59), (60) and (61) for pot experiment (pooled data of all treatment nitrogen), and field experiment of wet sown rice and transplanted rice, respectively.

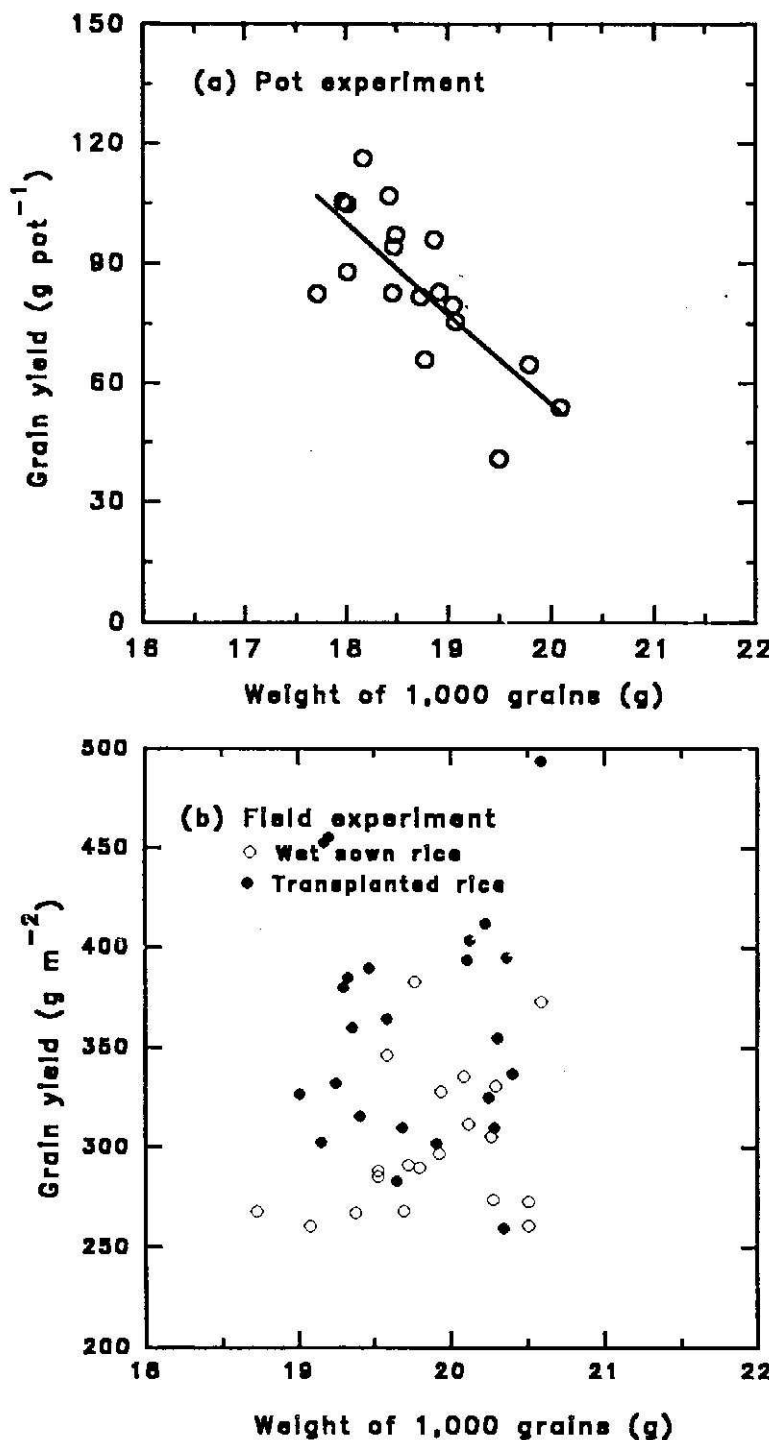


Fig. 27. Relationship between grain yield and weight of 1,000 grains for (a) pot experiment and (b) field experiment during the 1995-96 wet season. Only the fitted curve of pot experiment (pooled data of all treatment nitrogens) is present in equation (62).

$$GY_{pot} = 509.14 - 22.72W1,000G, \quad r^2 = 0.570*** \quad (62)$$

ส่วนผลผลิตในสภาพแเปลงนากำชtruหั้วิธีการปลูกแบบหว่าน้ำตามและแบบปักดำไม่แสดงความสัมพันธ์กับน้ำหนัก 1,000 เมล็ด

(3).น้ำหนัก 1,000 เมล็ด กับจำนวนเมล็ด ลักษณะความสัมพันธ์ระหว่างน้ำหนัก 1,000 เมล็ดกับจำนวนเมล็ดของสภาพการปลูกในกระถางและในแปลงเกษตรกร (Fig.28) มีรูปแบบเป็นเชิงเดียวกับความสัมพันธ์ระหว่างผลผลิตกับน้ำหนัก 1,000 เมล็ด กล่าวคือ ทวีตเมเนต์ในตรีเจนของสภาพการปลูกในกระถางจะมีน้ำหนัก 1,000 เมล็ดลดลงเมื่อมีจำนวนเมล็ดเพิ่มขึ้น โดยแสดงความสัมพันธ์แบบรีเกรสชันเส้นตรงที่มีค่าสัมประสิทธิ์เกรสชันเป็นลบ โดย r^2 มีค่าเท่ากับ 0.65 ซึ่งน้ำหนัก 1,000 เมล็ดของสภาพการปลูกในกระถาง ($W1,000G_{pot}$) จะประมาณค่าได้จากสมการ

$$W1,000G_{pot} = 20.76 - 4.54 \times 10^4 NG, \quad r^2 = 0.646 \quad (63)$$

ส่วนการปลูกแบบหว่าน้ำตามและแบบปักดำในแปลงนาเกษตรกรจะมีน้ำหนัก 1,000 เมล็ดค่อนข้างคงที่ตลอดช่วงค่าสัมเกตของจำนวนเมล็ดที่บันทึกได้ระหว่าง 12,700-24,000 เมล็ด เมตร²

ดัชนีการเก็บเกี่ยว

วิวัฒนาการก่อเกิดดัชนีเก็บเกี่ยวข้าวที่คำนวณได้จากการอัตราส่วนระหว่างผลผลิตกับน้ำหนักแห้งทั้งหมดของพืชส่วนเหนือดินและที่เมล็ดกำลังเจริญเติบโตของสภาพการปลูกในแปลงนาเกษตรกรแบบหว่าน้ำตามและแบบปักดำ (Fig.29) ปรากฏให้เห็นว่า วิธีการปลูกทั้งสองแบบมีค่าดัชนีการเก็บเกี่ยวเพิ่มขึ้นอย่างเป็นลำดับ ตั้งแต่ระยะเริ่มผสมเกสรจนกระทั่งสิ้นสุดที่ระยะเก็บเกี่ยวผลผลิต ค่าดัชนีการเก็บเกี่ยวของการปลูกแบบหว่าน้ำตาม (HI_{WSR}) และแบบปักดำ (HI_{TPR}) ที่แสดงความสัมพันธ์กับช่วงเวลาค่าความร้อนสะสม (CDTT) ภายหลังการหว่านเมล็ดข้าวออก จะมีลักษณะเป็นแบบรีเกรสชันเส้นตรง และ r^2 มีค่าค่อนข้างสูงมากกว่า 0.90 ดังสมการ

$$HI_{WSR} = -1.171 + 6.315 \times 10^{-4} CDTT, \quad r^2 = 0.910*** \quad (64)$$

$$HI_{TPR} = -1.199 + 6.228 \times 10^{-4} CDTT, \quad r^2 = 0.920*** \quad (65)$$

สัมประสิทธิ์เกรสชันของสมการได้แสดงให้เห็นว่า วิธีการปลูกแบบหว่าน้ำตามมีอัตราการเพิ่มของค่าดัชนีการเก็บเกี่ยมากกว่าการปลูกแบบปักดำ และเมื่อคำนวนหาค่าร้อยละเวลาการก่อเกิดดัชนี

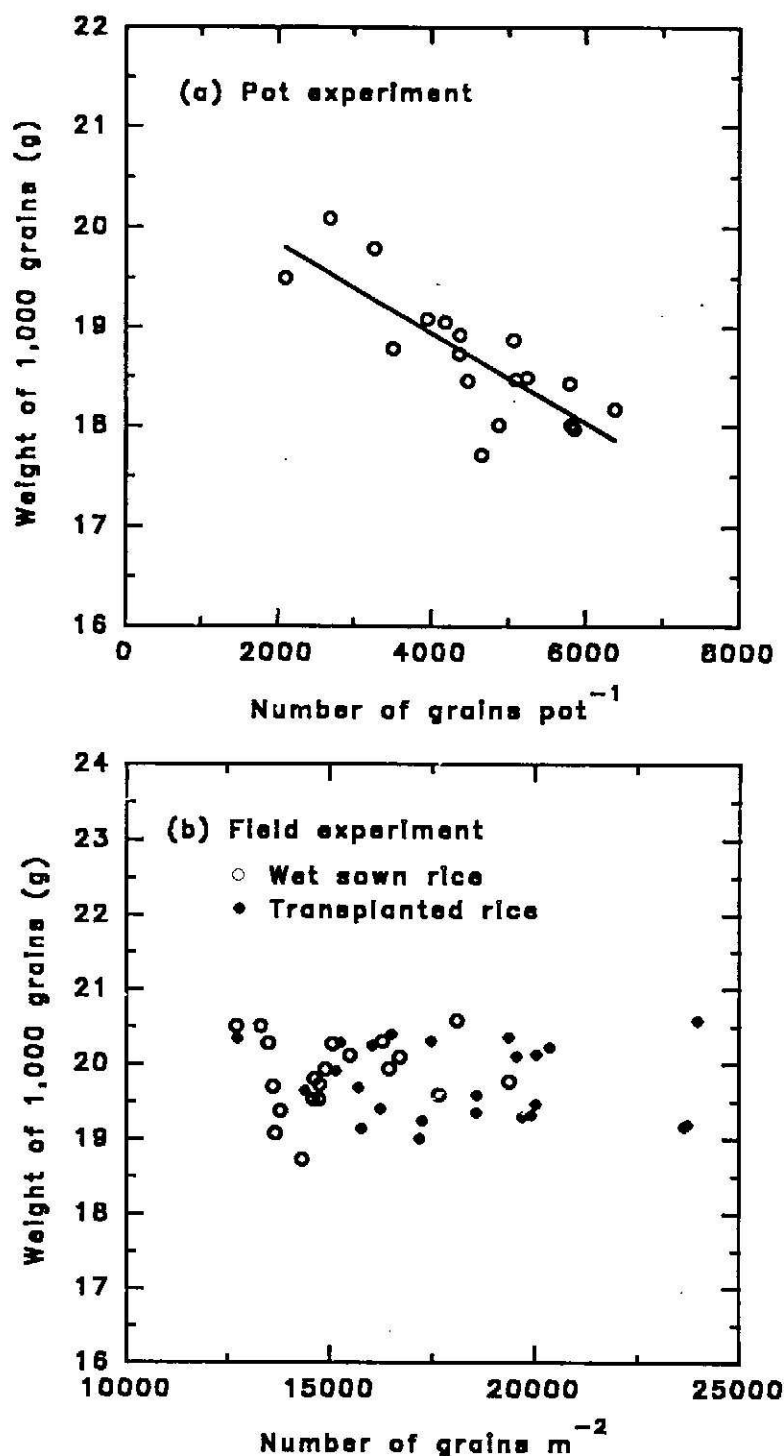


Fig. 28. Relationship between weight of 1,000 grains and number of grains area^{-1} for (a) pot experiment and (b) field experiment during the 1995-96 wet season. Only the fitted curve of pot experiment (pooled data of all treatment nitrogens) is present in equation (63).

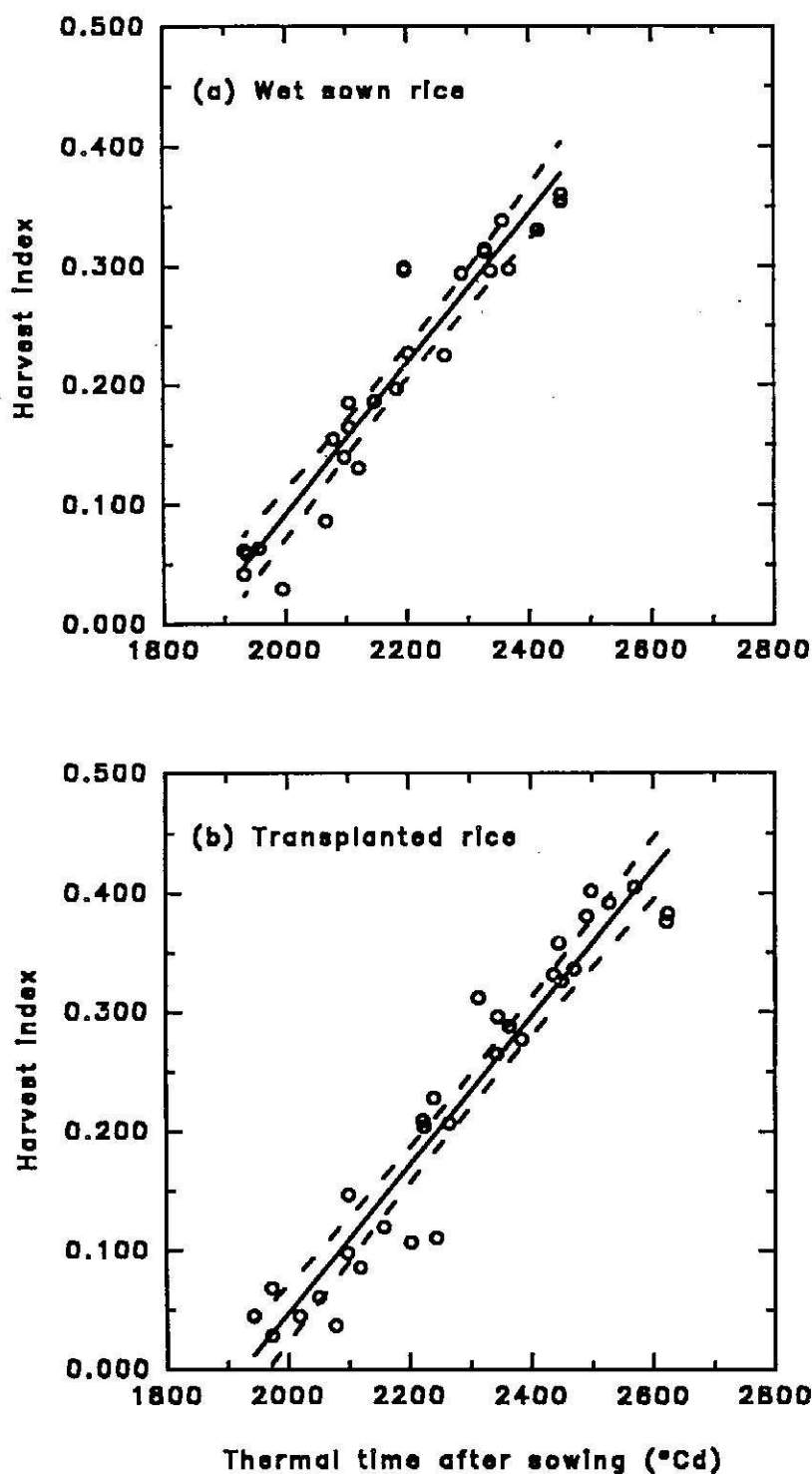


Fig. 29. Relationship between harvest index during the grain filling period and thermal time after sowing for field experiment of (a) wet sown rice and (b) transplanted rice during the 1995-96 wet season. The fitted curves are present in equations (64), (65) and (66) for wet sown rice, transplanted rice and pooled data, respectively.

เก็บเกี่ยวตั้งแต่ระยะเริ่มแรกจนกระทั้งมีค่าสูงสุดที่ 0.329 และ 0.390 ตามลำดับของการปลูกแบบหัวน้ำน้ำด้มและแบบปักดำ จะพบว่าระยะเวลาการก่อเกิดดัชนีเก็บเกี่ยวของ การปลูกแบบหัวน้ำน้ำด้ม มีช่วงเวลาสั้นกว่าการปลูกแบบปักดำ กล่าวคือ ช่วงเวลาสัมความร้อนภายนหลังการหัวน้ำ เมล็ดข้าวจากขณะเริ่มสร้างต้นนี้การเก็บเกี่ยว ($HI=0$) จนกระทั้งดัชนีการเก็บเกี่ยวมีค่าสูงสุดในแต่ละแบบวิธีการปลูกตามลำดับนั้น การปลูกแบบหัวน้ำน้ำด้มจะมีค่าประมาณ $1,855^{\circ}\text{Cd}$ (103 วัน) และ $2,375^{\circ}\text{Cd}$ (132 วัน) ส่วนการปลูกแบบปักดำจะมีค่าประมาณ $1,925^{\circ}\text{Cd}$ (107 วัน) และ $2,550^{\circ}\text{Cd}$ (142 วัน) ซึ่งจะเห็นได้ว่าช่วงเวลาการก่อเกิดดัชนีเก็บเกี่ยวของ การปลูกแบบหัวน้ำน้ำด้มและแบบปักดำจะมีค่าโดยประมาณเท่ากับ 520°Cd (29 วัน) และ 625°Cd (35 วัน) ตามลำดับ อย่างไร ก็ตามผลการวิเคราะห์ความเป็นเอกพันธุ์ด้วยวิธีการทดสอบค่า t ของส่วนตัดแกน Y (Y-intercept) และสัมประสิทธิ์เกรสรชันของสมการประมาณค่าดัชนีการเก็บเกี่ยวปรากฏผลว่า ลักษณะหัวสองไม่แสดงความแตกต่างในทางสถิติระหว่างแบบวิธีการปลูกที่ระดับความเชื่อมั่น $P=0.05$ ดังนั้นสมการสำหรับประมาณค่าดัชนีการเก็บเกี่ยวที่เกิดจากกระบวนการข้อมูลของการปลูกหัวสองแบบในการทดลองครั้นนี้คือ

$$HI = -1.111 + 5.932 \times 10^{-4} \text{ CDTT}, \quad r^2 = 0.879^{***} \quad (66)$$

ค่าดัชนีการเก็บเกี่ยวที่ระยะสุดแก่ทางศรีรัฐฯขณะเก็บเกี่ยวผลผลิตจากสภาพการปลูกในกระถางทดลองของทรีตเมนต์ในตรีเจนระดับต่าง ๆ และในแปลงนาเกษตรกรของ การปลูกแบบหัวน้ำน้ำด้มและแบบปักดำ มีค่าแปรผันระหว่าง $0.225-0.332$, $0.270-0.376$ และ $0.317-0.484$ ตามลำดับ การวิเคราะห์ค่าเฉลี่ยดัชนีการเก็บเกี่ยวระหว่างทรีตเมนต์ในตรีเจนไม่แสดงผลความแตกต่างในทางสถิติ กล่าวคือ:

$$\text{ดัชนีการเก็บเกี่ยวของทรีตเมนต์ } NO \geq N1 \geq N2 \leq N3 \geq N4 \geq N5 \quad \text{ที่ } P > 0.05$$

สัมประสิทธิ์การแปรผันมีค่าเท่ากับ 7.14% โดยมีค่าเฉลี่ยดัชนีการเก็บเกี่ยวของทรีตเมนต์ในตรีเจน $N0$, $N1$, $N2$, $N3$, $N4$ และ $N5$ ที่บันทึกได้เท่ากับ 0.302, 0.290, 0.283, 0.289, 0.280 และ 0.262 ตามลำดับ ส่วนสภาพการปลูกในแปลงนาเกษตรกรปรากฏผลว่า การปลูกแบบหัวน้ำน้ำด้มจะมีค่าเฉลี่ยดัชนีการเก็บเกี่ยวเท่ากับ 0.329 ซึ่งต่ำกว่าการปลูกแบบปักดำที่มีค่าเฉลี่ยดัชนีการเก็บเกี่ยวเท่ากับ 0.390 อย่างมีนัยสำคัญทางสถิติที่ระดับความเชื่อมั่น $P=0.01$ และสัมประสิทธิ์การแปรผันมีค่าค่อนข้างต่ำเท่านั้นเท่ากับ 4.10%

ความสัมพันธ์ระหว่างต้นน้ำในการเก็บเกี่ยวกับผลผลิตและน้ำหนักแห้งทั้งหมดของพืชส่วนเหนือดินจากสภาพการปลูกในกระถางทดลองและในแปลงนาเกษตรกร (Fig.30 and 31) แสดงให้เห็นว่า ต้นน้ำในการเก็บเกี่ยวของทรีเมนต์ในโตรเจนและของการปลูกแบบหว่านน้ำตามไม่มีความสัมพันธ์กับผลผลิต ($P>0.05$) สัมประสิทธิ์สหสัมพันธ์ (r) มีค่าเท่ากับ -0.075 และ 0.150 แต่มีความสัมพันธ์เป็นลบอย่างมีนัยสำคัญทางสถิติที่ระดับความเชื่อมั่น $P=0.05$ กับน้ำหนักแห้งทั้งหมดของพืชส่วนเหนือดิน โดยมีค่า r เท่ากับ -0.522 และ -0.502 ตามลำดับ ในทางตรงกันข้ามต้นน้ำในการเก็บเกี่ยวของ การปลูกแบบบักดำจะมีความสัมพันธ์เป็นบวกกับผลผลิตอย่างมีนัยสำคัญทางสถิติที่ระดับความเชื่อมั่น $P=0.05$ แต่ไม่มีความสัมพันธ์กับน้ำหนักแห้งทั้งหมดของพืชส่วนเหนือดิน ($P>0.05$) ความสัมพันธ์ทั้งสองลักษณะมีค่า r เท่ากับ 0.472 และ -0.077 ตามลำดับ

เมื่อพิจารณาถึงความสัมพันธ์ระหว่างผลผลิตกับน้ำหนักแห้งทั้งหมดของพืชส่วนเหนือดิน (Fig.32) จะพบว่าผลผลิตของทรีเมนต์ในโตรเจนจากสภาพการปลูกในกระถางทดลอง (GY_{pot}) และผลผลิตในแปลงนาเกษตรกรของการปลูกแบบหว่านน้ำตาม (GY_{WSR}) และแบบบักดำ (GY_{TPR}) และความสัมพันธ์เป็นบวกกับน้ำหนักแห้งทั้งหมดของพืชส่วนเหนือดิน (TDM) ของแต่ละสภาพปลูกนั้น ๆ อย่างมีนัยสำคัญทางสถิติที่ระดับความเชื่อมั่น $P=0.001$ โดย r^2 มีค่าเท่ากับ 0.781, 0.597, และ 0.722 ตามลำดับ ดังสมการ

$$GY_{pot} = 14.910 + 0.231 TDM, \quad r^2 = 0.781^{***} \quad (67)$$

$$GY_{WSR} = 92.045 + 0.226 TDM, \quad r^2 = 0.597^{***} \quad (68)$$

$$GY_{TPR} = 13.648 + 0.374 TDM, \quad r^2 = 0.722^{***} \quad (69)$$

ผลการวิเคราะห์ความแตกต่างของสัมประสิทธิ์เกรสรชันด้วยวิธีการทดสอบค่า t ได้แสดงให้เห็นว่า สัมประสิทธิ์เกรสรชันของสภาพการปลูกในกระถางทดลองมีค่าใกล้เคียงกับสภาพการปลูกในแปลงนาเกษตรกรแบบหว่านน้ำตาม ($P>0.05$) แต่สัมประสิทธิ์เกรสรชันทั้งสองนี้จะมีค่าน้อยกว่าการปลูกแบบบักดำอย่างมีนัยสำคัญทางสถิติที่ระดับความเชื่อมั่น $P=0.001$ ท่านองเดียวกันผลการทดสอบค่า t ของส่วนตัดแกน Y ปรากฏว่าสภาพการปลูกในกระถางทดลองและในแปลงนาเกษตรกรของการปลูกแบบหว่านน้ำตามมีค่าแตกต่างจากศูนย์ (a มีค่าไม่เท่ากับ 0) อย่างมีนัยสำคัญทางสถิติที่ระดับความเชื่อมั่น $P=0.001$ ตรงกันข้ามกับส่วนตัดแกน Y ของการปลูกแบบหว่านน้ำตามจะมีค่า a ไม่แตกต่างจากศูนย์ ($P>0.05$) สัมประสิทธิ์เกรสรชันของสมการทั้งสามจะบ่งบอกถึงค่าต้นน้ำในการเก็บเกี่ยวในแต่ละสภาพการทดลองและวิธีแบบการปลูก ค่าต้นน้ำในการเก็บเกี่ยวข้าวที่ได้จากการหาความสัมพันธ์ด้วยวิธีเกรสรชันนี้ จะมีค่าต่ำกว่าวิธีการหาค่าเฉลี่ยของอัตราส่วนระหว่างผลผลิตกับน้ำหนักแห้งทั้งหมดของพืชส่วนเหนือดินทุกสภาพและวิธีการปลูกดังค่าต่อไปนี้ ที่ได้เสนอไว้แล้ว

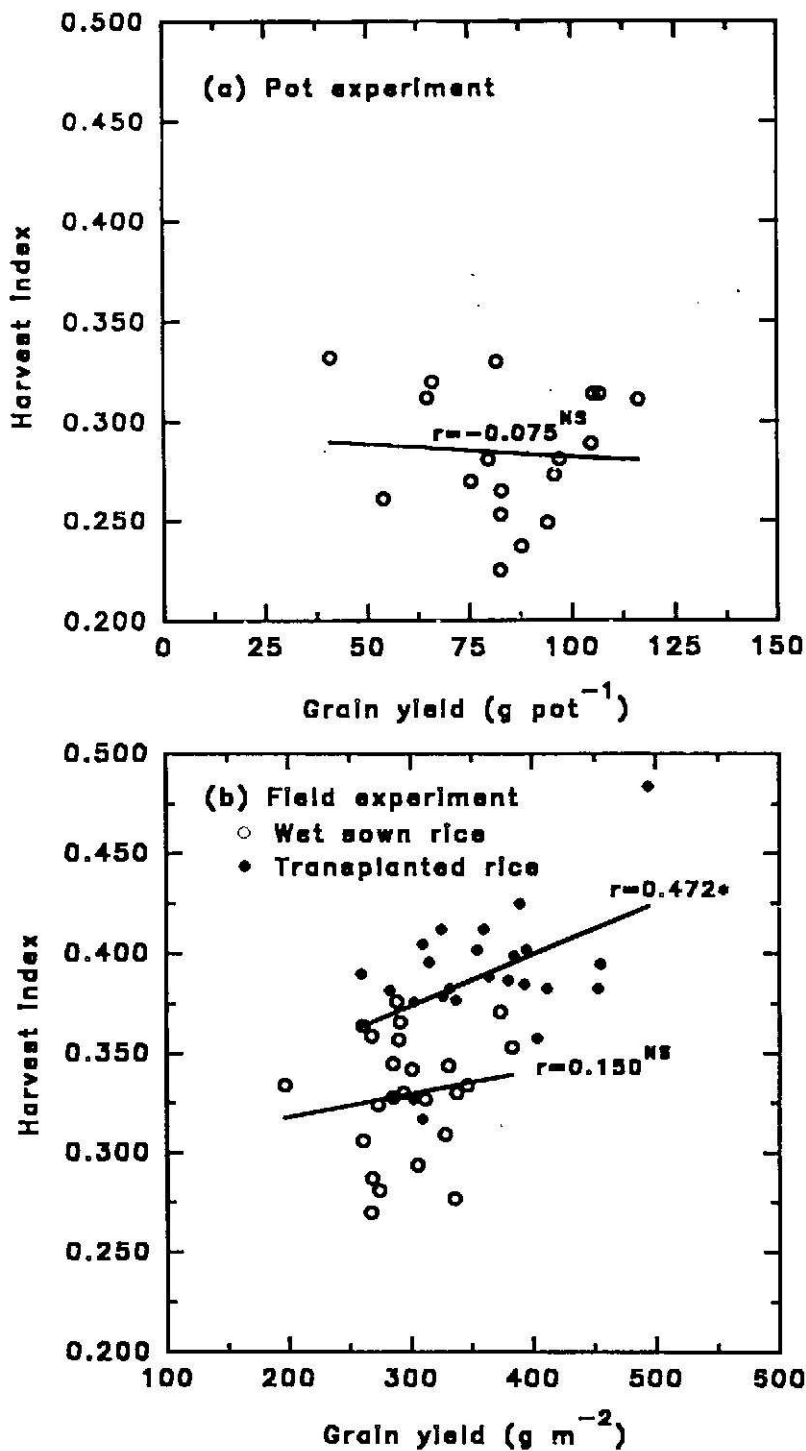


Fig. 30. Relationship between harvest index and grain yield for (a) pot experiment and (b) field experiment during the 1995-96 wet season.

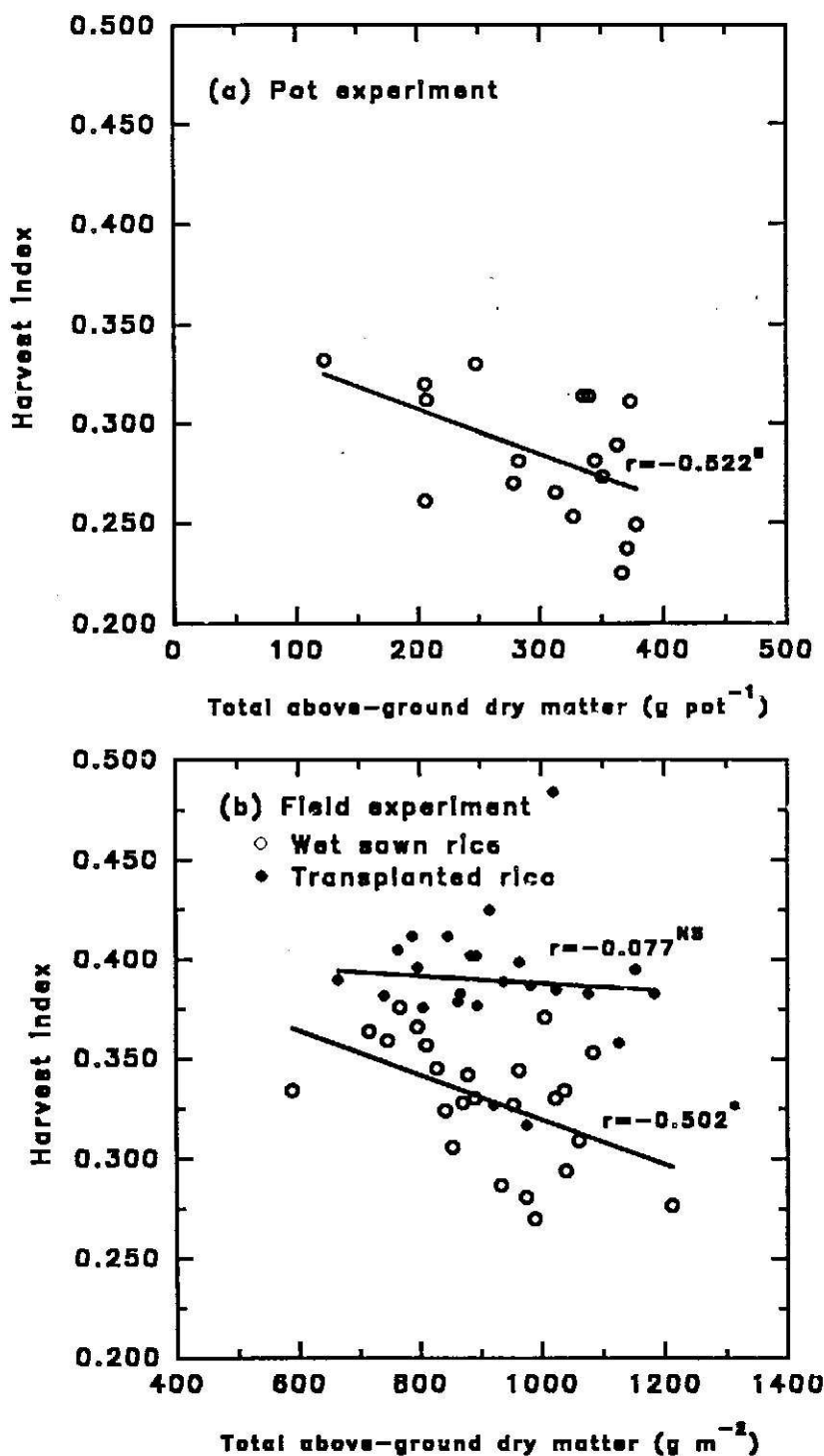


Fig. 31. Relationship between harvest index and total above-ground dry matter for (a) pot experiment and (b) field experiment during the 1995-96 wet season.

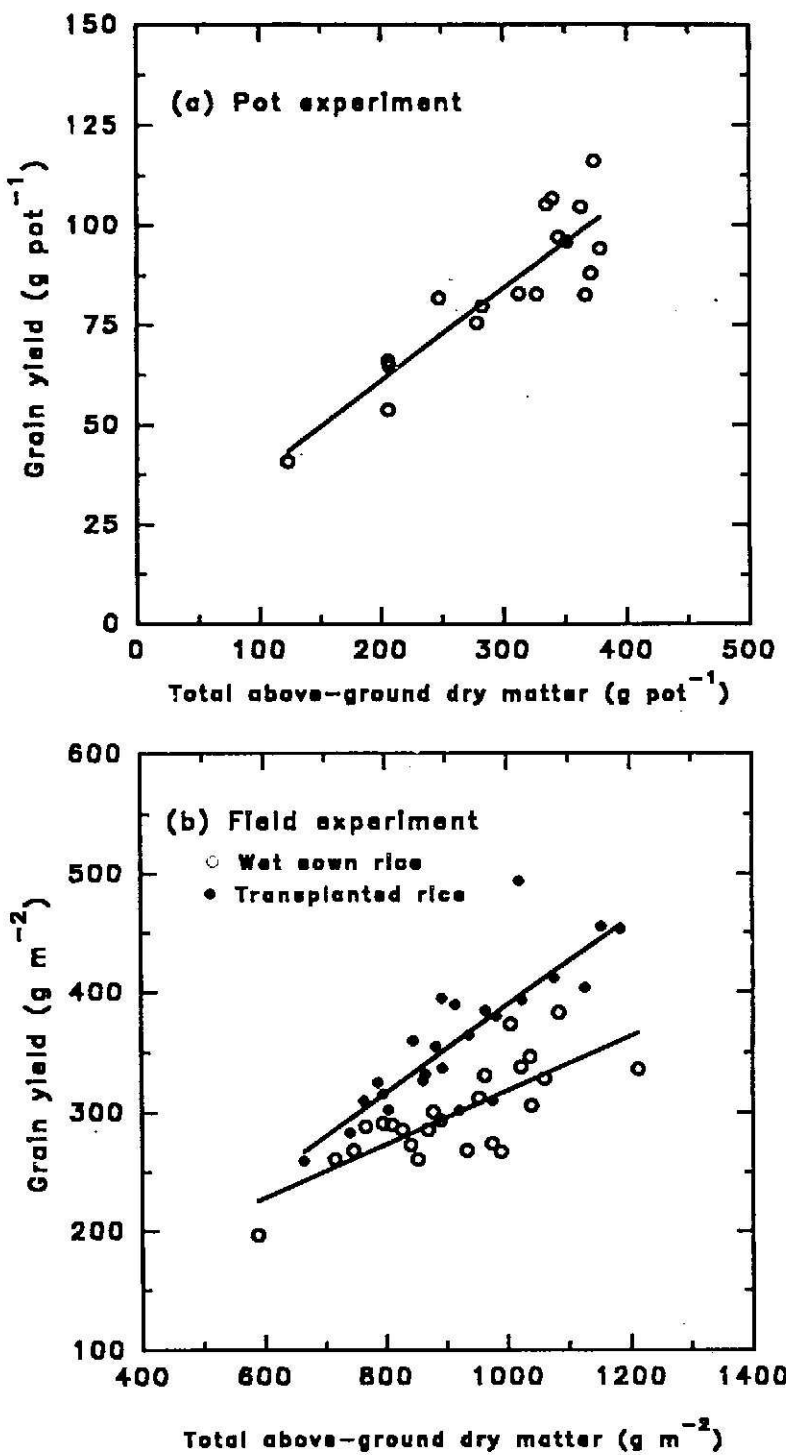


Fig. 32. Relationship between grain yield and total above-ground dry matter for (a) pot experiment and (b) field experiment during the 1995-96 wet season. The fitted curves for pot experiment (pooled data of all treatment nitrogen), and field experiment of wet sown rice and transplanted rice are present in equations (67), (68) and (69), respectively.

อย่างละเอียดข้างต้น

ค่าทำนายผลผลิตของทรีตเมนต์ในโครงการที่ระดับต่าง ๆ รวมทั้งวิธีการปลูกแบบหัวน้ำตามและแบบปักดำ สามารถคำนวณได้จากผลคุณระหว่างค่าเฉลี่ยดัชนีการเก็บเกี่ยว กับค่าตัวอย่างพืชที่บันทึกน้ำหนักแห้งทั้งหมดส่วนหนึ่งอดินของทรีตเมนต์ในโครงการและแบบวิธีการปลูกนั้น ๆ ยกตัวอย่างเช่น ทรีตเมนต์ N0, N1 และการปลูกแบบหัวน้ำตามของการทดลองครั้งนี้ มีค่าเฉลี่ยดัชนีการเก็บเกี่ยวเท่ากับ 0.302, 0.290, 0.329 และมีค่าน้ำหนักแห้งทั้งหมดของพืชส่วนหนึ่งอดินที่ได้จากการสูมเก็บตัวอย่างพืชเท่ากับ 123.32, 205.75 กรัม กระถาง¹ และ 767.53 กรัม เมตร² ดังนั้นผลผลิตที่คำนวณได้จะมีค่าเท่ากับ 37.24, 59.67 กรัม กระถาง¹ และ 252.52 กรัม เมตร² ตามลำดับ ค่าทำนายผลผลิตที่คำนวณได้ด้วยวิธีการนี้กับค่าทำนายผลผลิตที่ได้จากการประมาณค่าด้วยสมการรีเกรสรชันข้างต้นเมื่อนำไปหาความสัมพันธ์กับค่าสังเกตผลผลิตที่บันทึกได้จริงจาก การสูมเก็บตัวอย่างพืชของแต่ละสภาพและวิธีแบบการปลูกนั้น ๆ (Fig.33) จะปรากฏให้เห็นว่า ลักษณะการกระจายของข้อมูลที่ได้จากการปลูกของค่าเฉลี่ยดัชนีการเก็บเกี่ยว กับค่าน้ำหนักแห้งทั้งหมดของพืชส่วนหนึ่งอดินโดยส่วนมากจะอยู่ห่างจากเส้นกราฟ 1:1 มากกว่าข้อมูลที่คำนวณได้จาก สมการรีเกรสรชันเส้นตรง โดยมีค่าจากกำลังสองเฉลี่ยของการเบี่ยงเบน (root mean square deviation; RMSD) ที่คำนวณได้จากการแยกสำหรับทรีตเมนต์ในโครงการ การปลูกแบบหัวน้ำตาม และการปลูกแบบปักดำมีค่าเท่ากับ 9.05, 28.90 และ 30.90 ซึ่งจะมีมากกว่าวิธีการรีเกรสรชันเส้นตรงที่มีค่าเท่ากับ 8.86, 25.26 และ 30.02 ตามลำดับ ผลดังกล่าวนี้จะชี้ให้เห็นว่า การประมาณค่าผลผลิตและการประมาณค่าดัชนีการเก็บเกี่ยวด้วยวิธีรีเกรสรชันที่ได้จากการสูมพันธ์ระหว่างผลผลิตกับน้ำหนักแห้งทั้งหมดของพืชส่วนหนึ่งอดินจะมีความถูกต้องแม่นยำมากกว่าก่อนหน่อง ดังเช่น กรณีของการปลูกในแปลงนาเกษตรกรแบบหัวน้ำตาม

ในโครงการในพืชส่วนหนึ่งอดิน

เปอร์เซนต์ในโครงการโดยน้ำหนักแห้งและปริมาณในโครงการส่วนหนึ่งอดินที่ช่วงการเจริญเติบโตและพัฒนาการระยะต่าง ๆ จากสภาพการปลูกในกระถางของทรีตเมนต์ในโครงการและสภาพการปลูกในแปลงนาเกษตรกร (Table 22) ได้แสดงให้เห็นว่า เปอร์เซนต์โดยน้ำหนักแห้งและปริมาณของในโครงการที่วิเคราะห์จากพืชส่วนหนึ่งอดินมีค่าแปรผันอยู่ในช่วงระหว่าง 0.63-1.11% และ 0.93-3.92 กรัมในโครงการ กระถาง¹ และในส่วนของเมล็ดที่ระยะเก็บเกี่ยวผลผลิตจะมีค่าแปรผันเท่ากับ 1.03-1.24% และ 0.55-1.21 กรัมในโครงการ กระถาง¹ ตามลำดับ การแปรผันของ เปอร์เซนต์และปริมาณในโครงการในพืชส่วนหนึ่งอดินที่ระยะเริ่มปิดลำต้น ระยะดอกบาน 50% และ ระยะเก็บเกี่ยวผลผลิต รวมทั้งในโครงการที่อยู่ในส่วนของเมล็ดที่ระยะเก็บเกี่ยวผลผลิต จะแสดงความสัมพันธ์ค่อนข้างชัดเจนกับอัตราในโครงการที่ข้าวได้รับเพิ่มขึ้น ผลโดยทั่วไปค่าเปอร์เซนต์และ

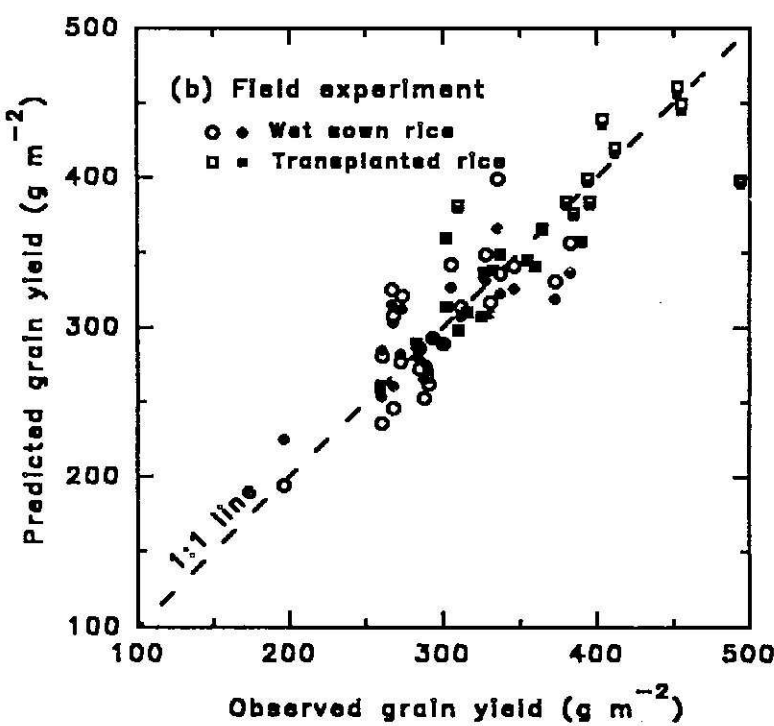
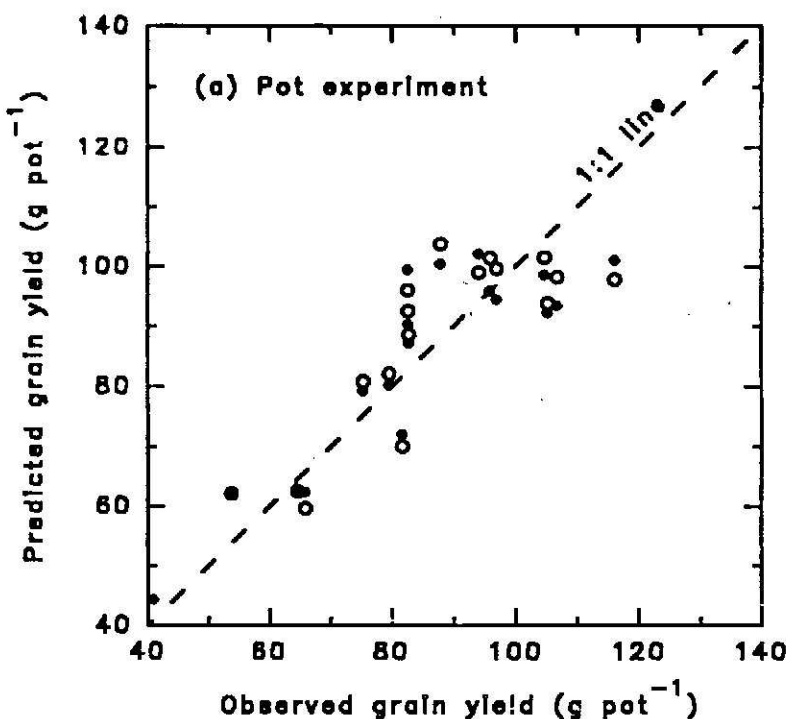


Fig. 33. Comparison of predicted and observed grain yield for (a) pot experiment and (b) field experiment of the 1995-96 wet season. Predicted grain yield with open and solid symbols were respectively obtained from TDMxHI at harvest and the linear regression equations (67)-(69).

Table 22. Percentage of nitrogen in dry matter (%N) and nitrogen uptake (N_{up} ; g N pot⁻¹ or g N m⁻²) at various growth stages for (a) pot experiment and (b) field experiment during the growing season 1995-96.

Treatment	Stem elongation		50% flowering		Harvesting	
	%N	N_{up}	%N	N_{up}	%N	N_{up}
(a) Pot experiment:						
N0	0.83	0.93	0.63	1.28	0.71 (1.03)	1.26 (0.55)
N1	0.81	0.99	0.71	1.86	0.69 (1.05)	1.76 (0.77)
N2	0.92	1.33	0.79	2.58	0.68 (1.06)	2.03 (0.87)
N3	0.92	1.48	0.86	2.89	0.72 (1.16)	2.48 (1.16)
N4	0.99	1.76	0.89	3.35	0.73 (1.16)	2.62 (1.15)
N5	1.11	2.11	0.94	3.92	0.77 (1.24)	2.89 (1.21)
(b) Field experiment:						
Wet sown rice	1.38b	4.01a	0.96b	8.19b	0.79b (1.14b)	7.28a (3.42b)
Transplanted rice	2.95a	2.27b	1.32a	10.46a	0.90a (1.34a)	8.40a (4.85a)
F-test	***	*	*	*	*	(*)
CV (%)	11.06	34.71	14.04	11.04	8.33 (9.68)	13.52 (14.01)

*, **, *** Significant at the 0.05, 0.01 and 0.001 probability levels, respectively.

NS not significant.

Within columns, treatment means followed by the same letter are not significantly different at 0.05 probability level (Student-Newman-Keuls *k*-test)

Nitrogen in grains represented in parenthesis.

ปริมาณไนโตรเจนในพืชส่วนเหนือดินและในส่วนเมล็ดของทรีตเมนต์ N0<N1<N2<N3<N4<N5 ตามลำดับ ส่วนสภาพการปลูกในแปลงเกษตรกร เปอร์เซนต์ในไตรเจนในพืชส่วนเหนือดินและในส่วนของเมล็ดมีค่าแปรผันอยู่ในช่วงระหว่าง 0.79-2.95% และ 1.14-1.34% ตามลำดับ วิธีการปลูกแบบหัวน้ำตามที่ระบุเริ่มยึดลำต้น ระยะดอกบาน 50% และระยะเก็บเกี่ยวผลผลิต จะมีค่าเปอร์เซนต์ในไตรเจนในพืชส่วนเหนือดินต่างกันจากการปลูกแบบปักดำโดยแสดงผลความแตกต่างทางสถิติที่ระดับความเชื่อมั่น $P=0.01$ ในช่วงระยะเริ่มยึดลำต้น และ $P=0.05$ ในช่วงระยะดอกบาน 50% และในช่วงระยะเก็บเกี่ยวผลผลิต สัมประสิทธิ์การแปรผันที่ระยะการเจริญเติบโตและพัฒนาการทั้งสามระยะมีค่าเท่ากับ 11.06, 14.04 และ 8.33% ตามลำดับ ทำนองเดียวกัน

เปอร์เซนต์ในตรรженในส่วนเมล็ดของวิธีการปลูกแบบหัว่น้ำตาม จะมีค่าต่ำกว่าการปลูกแบบปัก คำอย่างมีความแตกต่างทางสถิติที่ระดับความเชื่อมั่น $P=0.05$ และสัมประสิทธิ์การแปรผันมีค่าเท่ากับ 9.68% สำหรับปริมาณในตรรженในส่วนหนึ่งเดือนและในส่วนของเมล็ดจากสภาพการปลูกในแปลงนาเกษตรกร จะมีค่าแปรผันอยู่ในช่วงระหว่าง 2.27-10.46 และ 3.42-4.85 กรัมในตรรжен เมตร² ตามลำดับ ผลการวิเคราะห์ทางสถิติปรากฏว่า ปริมาณในตรรженในพืชส่วนหนึ่งเดือนของวิธีการปลูกแบบหัว่น้ำตามที่ระยะเริ่มยึดลำต้นมีค่ามากกว่า แต่ที่ระยะดอกบาน 50% กลับมีปริมาณในตรรженที่น้อยกว่าอย่างมีความแตกต่างทางสถิติที่ระดับความเชื่อมั่น $P=0.05$ ทั้งสองช่วงการเจริญเติบโตและพัฒนาการ ส่วนที่ระยะเก็บเกี่ยวผลผลิตแม้ว่าปริมาณในตรรженจะแสดงผลที่ไม่แตกต่างทางสถิติระหว่างแบบการปลูก($P>0.05$) แต่สภาพการปลูกแบบหัว่น้ำตามจะมีปริมาณในตรรженต่ำกว่าการปลูกแบบปักด้า สัมประสิทธิ์การแปรผันที่ระยะเริ่มยึดลำต้นมีค่าค่อนข้างสูงเท่ากับ 34.71% และที่ระยะดอกบาน 50% และที่ระยะเก็บเกี่ยวผลผลิตจะมีค่าลดลงเท่ากับ 11.04 และ 13.52% ตามลำดับ ส่วนปริมาณในตรรженในเมล็ดของวิธีการปลูกแบบหัว่น้ำตามจะมีค่าต่ำกว่าการปลูกแบบปักด้าโดยแสดงค่าความแตกต่างทางสถิติที่ระดับความเชื่อมั่น $P=0.01$ และสัมประสิทธิ์การแปรผันมีค่าเท่ากับ 14.01%

ลักษณะการเปลี่ยนแปลงของค่าเปอร์เซนต์ในตรรженในพืชส่วนหนึ่งเดือนจากสภาพการปลูกในกระถางของทรีตเมนต์ในตรรженระดับต่าง ๆ และในสภาพแปลงนาเกษตรกรทั้งวิธีการปลูกแบบหัว่น้ำตามและการปลูกแบบปักด้า จะแสดงค่าลดลงตามลำดับดังต่อไปนี้ทั้งการเจริญเติบโตและพัฒนาการจากระยะเริ่มยึดลำต้นจนกระทั่งถึงระยะเก็บเกี่ยวผลผลิต ยกเว้นในกรณีทรีตเมนต์ NO ที่มีค่าเปอร์เซนต์ในตรรженในพืชส่วนหนึ่งเดือนที่ระยะเก็บเกี่ยวผลผลิตสูงกว่าเล็กน้อยเมื่อเปรียบเทียบกับระยะดอกบาน 50% ค่าเปอร์เซนต์ในตรรженในพืชส่วนหนึ่งเดือนของสภาพการปลูกในแปลงนาเกษตรกรทั้งวิธีการปลูกแบบหัว่น้ำตาม ($\%N_{WSR}$) และการปลูกแบบปักด้า ($\%N_{TPR}$) ที่ผันแปรตามน้ำหนักแห้งทั้งหมดของพืชส่วนหนึ่งเดือน (TDM) ที่ช่วงการเจริญเติบโตและพัฒนาการระยะนี้ ๆ ของแต่ละแบบวิธีการปลูก (Fig. 34) จะมีลักษณะความสัมพันธ์แบบเส้นโค้งในรูปของสมการยกกำลัง โดย R^2 ของการปลูกแบบหัว่น้ำตามและแบบปักด้ามีค่าค่อนข้างสูงเท่ากับ 0.703 และ 0.857 ตามลำดับ ดังสมการ

$$\%N_{WSR} = 8.40TDM^{0.33}, \quad R^2 = 0.703*** \quad (70)$$

$$\%N_{TPR} = 13.96TDM^{0.38}, \quad R^2 = 0.857*** \quad (71)$$

เปอร์เซนต์ในตรรженในพืชส่วนหนึ่งเดือนที่ประมาณค่าจากน้ำหนักแห้งทั้งหมดของพืชส่วนหนึ่งเดือน

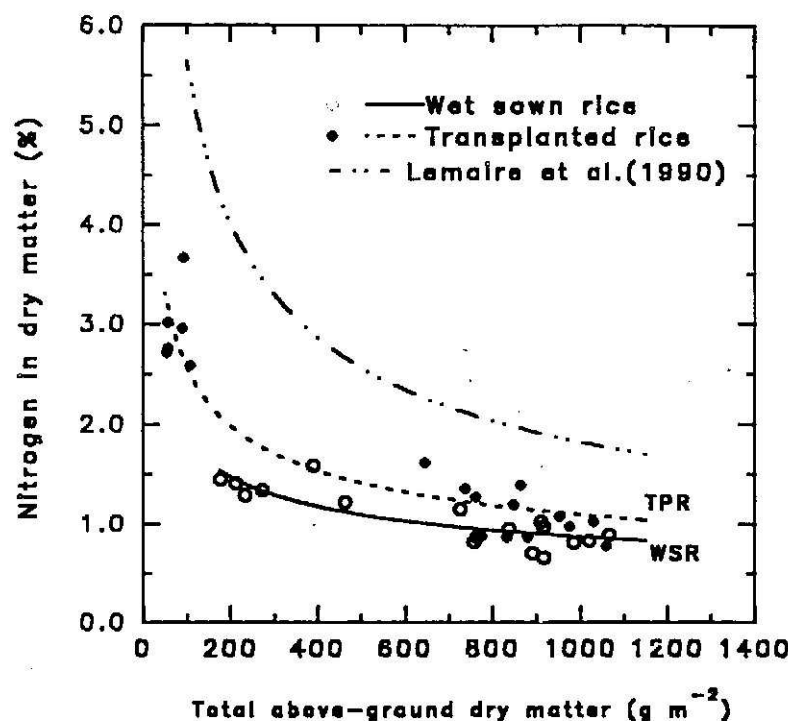


Fig. 34. Relationship between percentage of nitrogen in dry matter and total above-ground dry matter for field experiment during the 1995-1996 wet season. The fitted curves for wet sown rice and transplanted rice are present in equations (70) and (71), respectively. The reference equation proposed by Lemaire *et al.* (1990): $\%N=5.64TDM^{-0.49}$ for C3 species, where TDM is total above-ground dry matter in $t\text{ ha}^{-1}$, was used for comparison.

ในรากพันธุ์เนื้ยงพักลงทั้งการปลูกแบบหัวน้ำตามและการปลูกแบบปักดำ จะมีค่าต่ำกว่าเส้นกราฟอ้างอิงของพีซกลุ่มชีว ที่เสนอโดย Lemaire *et al.* (1990) อย่างเด่นชัด

สำหรับการประมาณค่าในโครงการที่พิชุดจากดินและเก็บสะสมไว้ในส่วนเหนือดินที่ช่วงการเจริญเติบโตและพัฒนาการจากระยะเริ่มขึ้นต้นจนกระทั่งถึงระยะเก็บเกี่ยวผลผลิตของสภาพการปลูกในกระถางและในแปลงนาเกษตรกร (Fig. 35) ได้แสดงให้เห็นว่า ปริมาณในโครงการในพืชส่วนเหนือดินของทัศเม็นต์ในโครงการระดับต่าง ๆ จะมีปริมาณในโครงการเพิ่มขึ้นจากระยะเริ่มขึ้นต้นจนมีค่าสูงสุดที่ระยะดอกบาน 50% หลังจากนั้นปริมาณในโครงการในพืชส่วนเหนือดินจะมีค่าลดลงเมื่อเข้าสู่ระยะเก็บเกี่ยวผลผลิต การลดลงของปริมาณในโครงการในช่วงระหว่างดอกบาน 50% จนกระทั่งถึงระยะเก็บเกี่ยวผลผลิตจากสภาพการปลูกในกระถาง จะปรากฏอย่างเด่นชัดตามลำดับอัตราในโครงการที่เพิ่มขึ้น ลักษณะเช่นนี้จะเกิดขึ้นอย่างเดียวกันกับสภาพการปลูกจริงในแปลงนาของเกษตรกรที่มีวิธีการปลูกแบบหัวน้ำตามและการปลูกแบบปักดำด้วย อย่างไรก็ตามปริมาณในโครงการในพืชส่วนเหนือดินของวิธีการปลูกแบบหัวน้ำตาม (N_{UP-WSR}) และของวิธีการปลูกแบบปักดำ (N_{UP-TPR}) ที่แสดงความสัมพันธ์กับช่วงเวลาค่าความร้อนสะสม (CDTT) ภายหลังการหัวน้ำ

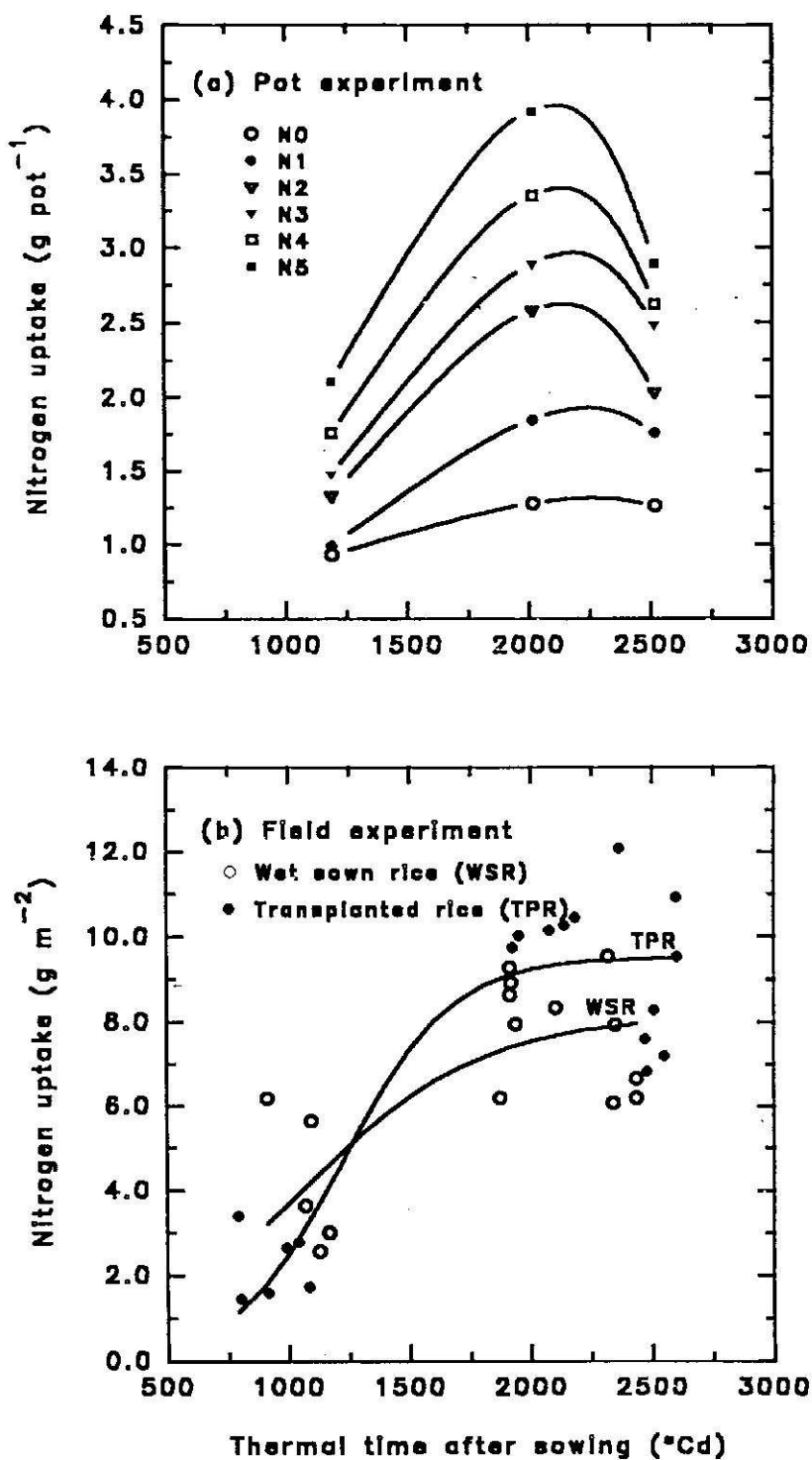


Fig. 35. Relationship between nitrogen uptake and total above-ground dry matter at various growth stages for (a) pot experiment and (b) field experiment during the 1995-1996 wet season. The fitted curves for field experiment of wet sown rice and transplanted rice are present in equations (72) and (73), respectively.

เมล็ดข้าวของสามารถประมาณค่าได้จากพิมพ์ชั้นลอจิสติก โดยค่า R^2 ของการปลูกแบบหว่านน้ำตามและของแบบปักดำ มีค่าเท่ากับ 0.528 และ 0.841 ตามลำดับ ดังสมการ

$$N_{UP-WSR} = \frac{8.15}{1 + 18.35 \text{EXP}(-27.26 \times 10^{-4} \text{CDTT})}, \quad R^2 = 0.528^{**} \quad (72)$$

$$N_{UP-TPR} = \frac{9.52}{1 + 264.07 \text{EXP}(-45.30 \times 10^{-4} \text{CDTT})}, \quad R^2 = 0.841^{***} \quad (73)$$

เส้นกราฟจากสมการทั้งสองที่แสดงใน Fig. 35 ได้ชี้ให้เห็นว่า ปริมาณในโครงสร้างในพืชส่วนหนึ่งของวิธีการปลูกแบบหว่านน้ำตามเริ่มมีค่าต่ำกว่าการปลูกแบบปักดำเมื่อค่าความร้อนสะสมมากกว่า $1,250^{\circ}\text{Cd}$ ภายหลังการหว่านเมล็ดข้าวของ ซึ่งคาดว่าเป็นช่วงที่เข้าสู่ระยะพัฒนาการของวงจรจะสร้างระบะและดอกของข้าวพันธุ์เจี้ยงพัทลุง

วิจารณ์ผล

สภาพภูมิอากาศที่มีอิทธิพลต่อการเจริญเติบโตและพัฒนาการของข้าว

ข้าวเจี้ยงพัทลุงเป็นข้าวแนะนำสำหรับเสริฟและเกษตรกรนิยมปลูกกันมากทั่วภาคใต้ในช่วงฤดูนาปี ซึ่งมีช่วงเวลาของฤดูกาลและความ拔านานช่วงแสงที่เหมาะสมตามลักษณะสำคัญประจำพันธุ์ สภาพโดยทั่วไปของปัจจัยภูมิอากาศที่มีอิทธิพลโดยตรงกับระดับผลผลิตข้าวในช่วงฤดูกาลทำนาปี จะถูกกำหนดโดยปริมาณและการกระจายของฝน อุณหภูมิอากาศ และรังสีดวงอาทิตย์ ความต้องการของข้าวที่มีต่อปัจจัยดังกล่าวจะนั่นจะผันแปรตามช่วงเวลาที่แตกต่างกัน กล่าวคือ ในระยะแรกของการเจริญเติบโตและพัฒนาการทางลำต้นและใบจนถึงระยะสร้างรากจะเป็นช่วงที่ข้าวมีความต้องการน้ำมากที่สุด ปริมาณและการกระจายของฝนในช่วงนี้จะเป็นต้องมีอย่างเพียงพอและสม่ำเสมอ ความต้องการน้ำของข้าวจะเริ่มลดลงเป็นลำดับเมื่อเข้าสู่ระยะออกดอกออกผล ถึงระยะสุดท้ายแล้วทั้งสิ่งที่ข้าวออกดอกและสะสมน้ำหนักแห้งของเมล็ดนั้น จะถูกควบคุมโดยอุณหภูมิอากาศและปริมาณรังสีดวงอาทิตย์ที่มีผลต่อการสังเคราะห์แสงและอัตราการเคลื่อนย้ายสารสังเคราะห์ไปสู่ส่วนของเมล็ด เมื่อพิจารณาลักษณะการผันแปรสภาพภูมิอากาศของการทดลองครั้งนี้ตั้งแต่เริ่มน้ำว่าเมล็ดข้าวออกเดือนกันยายน 2538 จนถึงระยะออกรากประมาณเดือนธันวาคม 2538 จะพบว่าในช่วงดังกล่าวมีปริมาณและการกระจายของฝนในพื้นที่สูงคล้าและพัทลุงอย่างเพียงพอ แม้ว่าสภาพฝนของพัทลุงในเดือนพฤษภาคมจะมีฝนตกมากจนทำให้เปล่งนาทัดลงบางแปลงมีระดับน้ำท่วมขังสูงกว่า 30 เซนติเมตร แต่สภาพการท่วมน้ำเช่นนี้จะเกิดขึ้นเพียงช่วงระยะสั้น ๆ ประมาณ 2 วันเท่านั้น ส่วนสภาพภูมิอากาศในช่วงออกดอกออกจนกระทั่งถึงระยะเก็บเกี่ยวผลผลิตระหว่างเดือนมกราคมถึงกุมภาพันธ์ 2539 จะมีปริมาณและการกระจายของฝนลดลงอย่างต่อเนื่อง ขณะเดียวกันปริมาณช่วงเวลาที่มีแสงแดดจะเพิ่มมากขึ้นประมาณ 1-2 เท่าของช่วงแรก สำหรับอุณหภูมิอากาศตลอดช่วงการทดลองจะมีค่าคงที่้างคงที่ ดังจะเห็นได้ว่าลักษณะภูมิอากาศที่ได้กล่าวมานี้มีสภาพที่เหมาะสมต่อการเจริญเติบโตและพัฒนาการของข้าวตลอดช่วงฤดูกาลทำนาปี 2538-39 ซึ่งสอดคล้องกับการรายงานของ Hardjawinata (1980), De Datta (1981) และ Yoshida (1981) ที่ได้สรุปผลว่า ข้าวนี้สามารถเจริญเติบโตและมีพัฒนาการที่ดีจะต้องได้รับปริมาณฝนมากกว่า 1,000 มิลลิเมตร ที่กระจายอย่างสม่ำเสมอตลอดฤดูปลูก มีอุณหภูมิอากาศอยู่ในช่วงระหว่าง 20-30°C และต้องการปริมาณรังสีดวงอาทิตย์มากขึ้นในระยะออกรากสำหรับการสร้างจำนวนดอกและมีผลทำให้เบอร์เซนต์เมล็ดเติบโตสูงขึ้นด้วย

อายุการเจริญเติบโตและพัฒนาการของข้าวระยะต่าง ๆ ที่แสดงด้วยค่าความร้อนสะสมภายในลังการหัวเมล็ดข้าวออกมีความแตกต่างกันตามลักษณะแบบวิธีการปลูก ค่าความร้อนที่

บันทึกได้ในระยะต่าง ๆ ของสภาพการปลูกในกระถางและในแปลงนาเกษตรกรที่มีวิธีการปลูกแบบหวานน้ำตาม จะเริ่มสร้างหนองเข้าสู่ระยะดอกบาน 50% ได้เร็วกว่า พัฒนาทั้งมีอายุการเก็บเกี่ยวที่สั้นกว่าสภาพการปลูกในแปลงนาเกษตรกรที่มีวิธีการปลูกแบบปักดำ เนื่องที่เป็นเช่นนี้ เพราะว่าวิธีการปลูกแบบหวานน้ำตามได้ลดขั้นตอนการถอนกล้า การเจริญเติบโตและพัฒนาการทางลำต้น ไป และรากของต้นกล้าในระยะแรก ๆ ไม่ถูกกระทบกระเทือนหรือหงั้น (Schnier et al., 1990a; Dingkuhn et al., 1990a; 1991; 1992a, b) อย่างไรก็ตามสภาพการปลูกในกระถางจะเริ่มระยะการสร้างหนองได้เร็วกว่าสภาพการปลูกในแปลงนาเกษตรกรแบบหวานน้ำตาม อาจมีสาเหตุสำคัญที่คาดคะเนว่ามาจากความแตกต่างของความตื้นในการบันทึกข้อมูลที่กระทำทุก ๆ 3 วันของสภาพการปลูกในกระถาง และทุก ๆ 7 วันของสภาพการปลูกในแปลงนาเกษตรกร หรืออาจเป็นไปได้ว่าสภาพการปลูกในกระถางที่ได้เตรียมดินอย่างประณีตและมีความสามารถควบคุมระดับน้ำและธาตุอาหารพืชที่ดีกว่า น่าจะส่งผลทำให้ต้นหลักของสภาพการปลูกในกระถางมีความสมบูรณ์แข็งแรงและเก็บสะสมอาหารได้มากกว่าเมื่อเปรียบเทียบกับสภาพปลูกที่เป็นจริงในแปลงนาเกษตรกร ซึ่งธาตุอาหารที่เก็บสะสมไว้ในต้นหลักจะมีความสำคัญต่อการเจริญเติบโตของหนองในช่วงแรก ๆ ขณะที่มีใบ嫩อยกว่า 3 ใบ และราก嫩อยกว่า 4 راك (Ishizuka and Tanaka, 1963, cited in Murata and Matsushima, 1975) สำหรับความแตกต่างของระยะเริ่มยึดลำต้นที่มีผลจากการตรวจวัดว่า แบบวิธีหวานน้ำตามมีระยะการยึดลำต้นเกิดขึ้นช้ากว่าแบบวิธีปักดำนั้น เนื่องผลสนับสนุนที่จะเป็นไปได้มี 2 ประการ ประการแรก ระยะห่างระหว่างต้นหลักของวิธีการปลูกแบบหวานน้ำตามมีการกระจายตัวน้อยกว่าวิธีการปลูกแบบปักดำ ซึ่งการปฏิบัติปกติตามความเดียวชนิดเกษตรกรจะใช้จำนวนต้นกล้าปักดำโดยเฉลี่ยประมาณกอละ 3-5 ต้น ประการที่สอง จุดเจริญต้ายอดของต้นหลักในการปลูกแบบหวานน้ำตามจะอยู่ใกล้กับระดับผิวดิน ในขณะที่การปลูกแบบปักดำจะทำให้จุดเจริญต้ายอดของต้นหลักตามลักษณะปีจากผิวดิน เนื่องผลทั้งสองประการนี้ทำให้ตั้งข้อสมมติฐานได้ว่า ความเข้มแสงที่ต่ายอดได้รับน้ำจะมีความสัมพันธ์แบบผกผันกับการยึดลำต้นกล้าคือ ตายยอดต้นหลักของสภาพการปลูกแบบหวานน้ำตามจะได้รับความเข้มแสงในปริมาณที่มากกว่า แต่ได้รับสิ่งเร้าจากสภาพแวดล้อมภายนอกที่มีอิทธิพลต่อการสังเคริมการยึดลำต้น嫩อยกว่า มีผลทำให้การเจริญเติบโตทางด้านการเพิ่มความสูงลำต้นเกิดขึ้นได้ช้ากว่าวิธีการปลูกแบบปักดำ เมื่อพิจารณาถึงกรณีความแตกต่างของช่วงเวลาสำหรับระยะดอกบาน 50% ระหว่างสภาพการปลูกในกระถางที่มีระยะการนานของดอกเกิดล่าช้ากว่าสภาพการปลูกในแปลงนาเกษตรกรแบบวิธีหวานน้ำตาม จะมีสาเหตุเบื้องต้นที่เกี่ยวข้องโดยตรงกับความสมบูรณ์แข็งแรงของต้นหลัก ซึ่งสภาพการปลูกในกระถางที่สามารถสร้างจำนวนหนอง ต้น¹ ได้มากกว่านั้น มีเหตุผลอิบายสนับสนุนได้จากผลการศึกษาขั้นตอนระยะพัฒนาการของวงในข้าวพันธุ์ต่าง ๆ โดย Matsushima (1975) ที่แสดงให้เห็นว่า ต้นหลักจะมีระยะพัฒนาการของวงไก่ก่อนหน่อ และเร็วกว่าหน่อลำต้นต่าง ๆ

ประมาณ 1-2 ช่วงระยะเวลาพัฒนาการ และผลจากการติดตามสังเกตลักษณะการผลิตของรังข้าวที่เกิดจากต้นหลักและหน่อชุดต่าง ๆ ของ Counce et al. (1996) ได้ผลสรุปว่า รังต้นหลักจะปรากฏออกมากให้เห็นก่อนรวงของหน่อชุดแรก และติดตามด้วยรวงของหน่อชุดที่สอง และรวงของหน่อชุดที่สาม ตามลำดับ Yoshida (1981) ได้กล่าวไว้ค่อนข้างละเอียดว่า การบานของดอกจะเกิดขึ้นทันทีเมื่อรวงผลพันธุ์ออกจากใบใน และการบานของดอกในแต่ละวงจากปลายรวงถึงโคนรวงจะใช้เวลาโดยเฉลี่ยประมาณ 7-10 วัน เนื่องจากตัวอ้างมานี้จะเป็นข้อสรุปที่ซึ่งให้เห็นว่า สภาพการปลูกในกระถางที่มีต้นหลักสมบูรณ์แข็งแรงและสามารถสร้างจำนวนหน่อต้น¹ ได้มากกว่า จำเป็นต้องใช้ระยะเวลาสำหรับการบานของดอกถึงจะระดับอกบาน 50% ของวงทั้งหมดมากกว่าเมื่อเปรียบเทียบกับสภาพเป็นจริงในแปลงนาเกษตรกรที่ใช้วิธีการปลูกอย่างเดียวกันแบบหว่านน้ำตามเนื่องจากมีจำนวนหน่อต้น¹ ที่น้อยกว่า ความแตกต่างของช่วงเวลาจะระดับอกบาน 50% นี้จะส่งผลสืบเนื่องถึงการแปรผันของระยะสุกแก่ทางศรีวิทยาในช่วงการเก็บเกี่ยวผลผลิตด้วย

การเจริญเติบโตและพัฒนาการของต้นหลัก

รูปแบบการปรากฏใบของต้นหลักที่มีอัตราปลูกอย่างหนาแน่นในการทดลองครั้งนี้ จะมีลักษณะการเปลี่ยนแปลงโดยทั่วไปคล้าย ๆ กับสภาพการปลูกที่มีอัตราความหนาแน่นน้อยกว่าในข้าวพันธุ์เดียวกันกับผลงานทดลองของช่วงฤทธิ์การทำนาปัจจุบันว่าเดือนมิถุนายนถึงตุลาคม 2536 (รังสรรค์ อาภาดีพงษ์กุล, 2537) ความยาวนานขั้วแสงของสภาพการปลูกทั้งสองมีค่าไม่แตกต่างกันมากนัก โดยความยาวนานขั้วแสงระหว่างเดือนมิถุนายนถึงตุลาคม และระหว่างเดือนกันยายนถึงกุมภาพันธ์ที่คำนวณได้จะมีค่าโดยเฉลี่ยเท่ากัน 12.3 และ 11.9 ชั่วโมง ตามลำดับ (Chang, 1971) อย่างไรก็ตามลักษณะการปรากฏใบที่เกี่ยวข้องกับระยะเปลี่ยนแปลงอัตราการปรากฏใบ ระยะกำเนิดตัวดอก และจำนวนใบทั้งหมดของต้นหลัก ที่บันทึกได้จากการทดลองทั้งสองพบว่ามีความแตกต่างกัน ผลงานวิจัยในสภาพแปลงนาทดลองของ Apakupakul (1991) ที่กระทำในช่วงฤดูนาปี 2531-2532 และ 2532-2533 ติดต่อกัน ที่ศูนย์วิจัยข้าวพัทลุง ได้รายงานว่า การปรากฏใบต้นหลักในสภาพการปลูกแบบหว่านน้ำตามของข้าวพันธุ์แก่นเจันทร์และพันธุ์ กษ 7 ที่มีอัตราความหนาแน่นของการปลูก 50 ต้น เมตร² จะเริ่มระยะเปลี่ยนแปลงการปรากฏใบช้ากว่าแต่จะมีจำนวนใบทั้งหมดมากกว่าเมื่อเปรียบเทียบกับสภาพอัตราการปลูกที่มีความหนาแน่น 300 ต้น เมตร² สำหรับระยะเริ่มกำเนิดตัวดอกนั้นไม่พบความแตกต่างกันระหว่างอัตราการปลูก ผลตั้งกล่าวนี้ทำให้ได้ข้อสรุปว่า สภาพอัตราการปลูกอย่างหนาแน่นที่ก่อให้เกิดการบังแสงซึ่งกันและกันจะมีผลโดยตรงต่อลักษณะการปรากฏใบและจำนวนใบ ส่วนกรณีความแตกต่างของระยะเริ่มกำเนิดตัวดอกนั้นยังไม่สามารถยืนยันผลได้ชัดเจนว่าอัตราการปลูกจะมีผลหรือไม่อย่างไร เมื่อพิจารณาถึงอิทธิพลของไนโตรเจน Dale and Wilson (1978), Apakupakul (1991), Longnecker et al.

(1993), รังสรรค์ อากาศพากุล (2537) ได้รายงานผลที่เมื่อกันว่า ในโตรเจนมีผลทำให้อัตราการปراภูในสูงขึ้นและมีจำนวนใบเพิ่มขึ้นด้วย แต่ผลดังกล่าวนี้ยังเป็นที่ต้องยังกันดังการรวมผลงานทดลองต่าง ๆ ของ Wilhelm and McMaster, 1995 และมีความขัดแย้งกันกับผลงานวิจัยของ Masle-Meynard (1980), Frank and Bauer (1982), Bauer et al. (1984), and Durr (1984)

ความสูงของต้นหลักจากข้อแรกถึงปลายยอดที่สัมพันธ์กับช่วงเวลาค่าความร้อนสะสมภายหลังการหัวน้ำเม็ดดีข้างอก จะมีลักษณะการเพิ่มแบบเอกซ์โพเนนเชียล (Durr, 1984; Apakupakul, 1991) ผลการศึกษาในข้าวพันธุ์แก่นจันทร์และพันธุ์ กษ 7 ของ Apakupakul (1991) ได้ข้อสรุปเช่นเดียวกับการทดลองครั้งนี้ว่า ระยะการยืดลำต้นของข้าวจะเริ่มนี้อต้นหลักมีความสูงเท่ากับ 25 มิลลิเมตร และในโตรเจนจะเป็นปัจจัยสำคัญต่อลักษณะการเพิ่มความสูงต้นหลักที่มีผลทำให้การยืดตัวของปล้องเพิ่มจำนวนมากขึ้น (Chandler, 1969; Kahn and Vergara, 1982) ข้อสรุปของ De Datta (1981) and Yoshida (1981) ได้กล่าวอย่างกว้าง ๆ ว่า ระยะเริ่มยืดลำต้นของข้าวจะผันแปรตามอายุพันธุ์ โดยข้าวพันธุ์อายุสั้น (105-120 วัน) และพันธุ์อายุปานกลางจะเริ่มยืดลำต้นในช่วงปลายของการแตกออกก่อนระยะสร้างตัดอก การศึกษาให้ทราบถึงระยะเริ่มยืดลำต้นและความสูงต้นหลักนับว่ามีความสำคัญมากต่อการกำหนดช่วงเวลาที่เหมาะสมสำหรับการใส่ในโตรเจนเป็นปุ๋ยแต่งหน้าในครั้งที่สอง ที่มีผลต่อการเพิ่มจำนวนดอกและการสร้างน้ำหนักแห้งของพืชส่วนหนึ่อดินในรูปพืชหลายชนิดรวมทั้งข้าว ดังกรณีตัวอย่าง เช่น Masle-Meynard (1980) ได้รายงานว่า ขณะที่ต้นหลักของข้าวสาลีมีความสูง 10 มิลลิเมตร จะเป็นระยะเริ่มการยืดลำต้นและเป็นช่วงเวลาเดียว กันกับที่วงของต้นหลักเข้าสู่ระยะการสร้างจำนวนดอก (ภายหลังระยะที่วงปراภูเป็นสันนูนคู่ หรือที่เรียกว่า Double ridges) และน้ำหนักแห้งในช่วงเวลาดังกล่าวจะเป็นตัวแปรที่มีความสำคัญสำหรับการประมาณค่าจำนวนรากของข้าวสาลี (Meynard, 1985) และข้าวบาร์เลีย (Gbongue, 1985)

ระยะพัฒนาการของวงต้นหลักจากสภาพการปลูกในกระถางขณะที่ต้าเปล่าสามารถสังเกตเห็นลักษณะการเปลี่ยนแปลงซึ่งตรงกับระยะที่ IX ตามการจำแนกของ Matsushima (1975) รวมทั้งระยะการพัฒนาตัดอกในลำดับต่อ ๆ มาสำหรับข้าวพันธุ์เจี้ยงพทลุงที่ไม่แสดงความแตกต่างระหว่างทวิตเมนต์ในโตรเจน ผลเช่นนี้พบตรงกันข้ามกับงานวิจัยที่ศึกษาจากสภาพแปลงนาในข้าวหลายพันธุ์ Durr (1984) ได้รายงานว่าในโตรเจนมีผลทางอ้อมต่อการพัฒนาตายอด และช่วงเวลาการพัฒนาตายอดจะแปรผันตามพันธุ์ปุลูกและอัตราในโตรเจน ทำนองคล้ายกัน Apakupakul (1991) ได้ศึกษาพบว่า ในโตรเจนมีผลทำให้ตายอดภายหลังระยะเริ่มกำเนิดตัดอก (ระยะ II) ของข้าวพันธุ์แก่นจันทร์และพันธุ์ กษ 7 มีพัฒนาการที่ระยะต่าง ๆ ได้เริ่มขึ้น ข้อขัดแย้งของผลการศึกษาดังกล่าวเนื่องจากว่ามีสาเหตุสำคัญจากความแตกต่างระหว่างพันธุ์ สภาพการปลูกแบบกระถาง

กับสภาพที่เป็นจริงในแปลงนา ตลอดจนสภาพแวดล้อมต่าง ๆ ที่เกิดขึ้นในช่วงการเจริญเติบโตของข้าว โดยทั่วไปช่วงพัฒนาการของวงตั้งแต่เริ่มกำเนิดติดอกจนถึงระยะสิ้นสุดการสร้างระแห้งทุติยภูมิ (ระยะ VIII) จะแตกต่างในข้าวแต่ละพันธุ์ และพันธุ์เบาะจะพัฒนาได้เร็วกว่าพันธุ์หนัก ซึ่งประมาณว่าข้าวอายุสั้นพันธุ์ไฮอาร์ 50 (Senanayake et al., 1991) ข้าวอายุปานกลางพันธุ์อิน 25 (Matsushima, 1975) และพันธุ์ไฮอาร์ 42 (Senanayake et al., 1991) และข้าวอายุยาวพันธุ์แก่นจันทร์ (Apakupakul, 1991) ใช้เวลา 4-7, 10-12, 11-15, และ 15-18 วัน ตามลำดับ ในการทดลองครั้งนี้เป็นที่น่าเสียดายว่า ระยะเริ่มกำเนิดติดอกได้เกิดขึ้นก่อนการเก็บตัวอย่างพืชครั้งแรก อย่างไรก็ตาม ข้าวเฉียงพัทลุงจะมีอายุค่อนข้างยาวเช่นเดียวกับข้าวพันธุ์แก่นจันทร์ ถ้าหากสมมติว่าช่วงเวลาระหว่างระยะเริ่มกำเนิดติดอกจนถึงระยะที่ตาเปล่าสังเกตเห็นลักษณะพัฒนาการของวงมีค่าใกล้เคียงกัน และในตรรженมีผลน้อยมากต่อการเปลี่ยนแปลงระยะพัฒนาการช่วงต่าง ๆ ของวงนี้ คาดคะเนได้ว่าข้าวพันธุ์เฉียงพัทลุงจะเริ่มกำเนิดติดอกเมื่อมีอายุเฉลี่ยประมาณ $1,170-1,230^{\circ}\text{Cd}$ (59-62 วัน) ภายหลังการห่านเมล็ดข้าวออก ประกอบกับระยะดอกบาน 50% "ไม่แสดงความแตกต่างระหว่างทวีตเมนต์ในตรรжен ดังนั้นระยะเริ่มกำเนิดติดอกสามารถกำหนดค่าได้ค่อนข้างชัดเจนว่าจะเกิดขึ้นก่อนการออกวงประมาณ 39-42 วัน และมีค่ามากกว่าที่ Matsushima (1975) and Yoshida (1981) ได้รายงานว่า ระยะเริ่มกำเนิดติดอกของข้าวโดยเฉลี่ยทั่วไปจะเกิดก่อนระยะออกวงประมาณ 30 วัน ช่วงระยะเวลาที่แตกต่างกันดังกล่าวเนื่องจากมีการแปรผันกับฤดูกาลและภาระการณ์ต่าง ๆ ของสภาพภูมิภาค (Matsushima, 1975) ซึ่งมีความสอดคล้องกับ Senanayake et al., (1991) ที่ศึกษาพบว่าระยะเริ่มกำเนิดติดอกของข้าวพันธุ์ไฮอาร์ 50 และพันธุ์ไฮอาร์ 42 จะเกิดก่อนระยะออกวงประมาณ 29 และ 38 วัน ตามลำดับ สำหรับพัฒนาการในส่วนของดอกบนระแห้งชุดต่าง ๆ นั้น Matsushima (1975) ก็ได้รายงานเช่นเดียวกันว่า ดอกต่าง ๆ ภายในวงจะพัฒนาจนสมบูรณ์เต็มที่ประมาณช่วงปลายระยะ XIX หรือประมาณ 5-7 วันก่อนระยะออกวง ข้อมูลดังกล่าวนี้ทำให้สามารถกำหนดได้ว่า ข้าวพันธุ์เฉียงพัทลุงจะเสร็จสิ้นพัฒนาการของดอกที่อายุโดยเฉลี่ยประมาณ $1,920-1,955^{\circ}\text{Cd}$ (101-103 วัน) ภายหลังการห่านเมล็ดข้าวออก และช่วงเวลาสำหรับพัฒนาการในส่วนของดอกจะมีค่าอยู่ระหว่าง 16-18 วัน ซึ่งเป็นช่วงเวลานานกว่าเมื่อเปรียบเทียบกับข้าวพันธุ์ไฮอาร์ 42 และพันธุ์ไฮอาร์ 50 ที่มีค่าเท่ากับ 11 และ 13 วัน ตามลำดับ (Senanayake, 1991) แม้ว่าระยะพัฒนาการต่าง ๆ ของวงสามารถประมาณค่าได้โดยทางอ้อมจากจำนวนวันก่อนการออกวงนั้น ค่าที่ประมาณได้จะมีความถูกต้องน้อยกว่าวิธีการวัดผลโดยตรงจากลักษณะและช่วงเวลาพัฒนาการของดอกที่แตกต่างกันตามระยะต่าง ๆ (Matsushima, 1975)

การเพิ่มขึ้นด้วยความยาวระหว่างทวีตเมนต์ในตรรженที่ช่วงการเจริญเติบโตด้วยอดีต จะค่อย ๆ มีความแตกต่างกันเป็นลำดับตามระยะติดอกที่มีพัฒนาการมากขึ้น ลักษณะที่พบในทำนองนี้ได้มีผลรายงานไว้แล้วในข้าวจากินิกา (Matsushima, 1975) ความยาววงของทวีตเมนต์

ต่าง ๆ ของการทดลองครั้งนี้จะมีค่าใกล้เคียงกันในช่วงพัฒนาการตายอดตั้งแต่ระยะที่ II จนถึง ระยะที่ VIII ครั้นเมื่ออายุอดพัฒนาเข้าสู่ระยะที่ IX ขณะที่ร่างกำลงสร้างจำนวนดอกและสามารถ สังเกตเห็นได้ด้วยตาเปล่านั้น ขนาดร่างของทริดเมนต์ต่าง ๆ จะมีความยาวมากกว่า 1.0 มิลลิเมตร และการประมาณค่าความยาวร่างจากสมการเอกซ์โพเนนเชียลที่มีระยะพัฒนาการตายอดมากกว่า ระยะที่ IX ไปแล้วจะเริ่มแสดงให้เห็นอย่างชัดเจนว่า ในตรรженมีผลต่อการเพิ่มขนาดความยาวร่าง ผลอย่างเดียวกันนี้ได้มีผู้จัดรายงานไว้ก่อนหน้านี้แล้วทั้งในข้าวอินเดีย (Senanayake et al., 1991) และข้าวจากใบนิกา (Matsushima, 1975) ขนาดความยาวร่างที่เพิ่มขึ้นภายหลังระยะที่ IX จนถึง ระยะออกรวงในผลการทดลองครั้งนี้จะสัมพันธ์กับอัตราปริมาณในตรรженซึ่งสามารถอธิบายได้ จากจำนวนระแห้งและจำนวนดอกที่เพิ่มขึ้นตามระดับปริมาณการใส่ในตรรженที่มากขึ้น (Matsushima, 1975; Durr, 1984; Apakupakul, 1991) และค่าความยาวร่างสูงสุดของทริดเมนต์ ในตรรженระดับต่าง ๆ คาดว่าจะเกิดขึ้นก่อนหน้าระยะออกรวง เช่นเดียวกับผลงานวิจัยในข้าวของ Matsushima (1975) และในข้าวสาลีของ Brooking and Kirby, (1981) and Kirby (1988) ผลการ ทดลองครั้งนี้คุณลักษณะที่สำคัญกว่าในตรรженมีผลน้อยมากต่อช่วงระยะเวลาสำหรับพัฒนาการของร่าง เช่น เดียวกับที่พบในข้าวสาลี (Longnecker et al., 1991) และสามารถคาดคะเนได้ว่า ความยาวสูงสุด ของร่างจะเกิดขึ้นในช่วงสุดท้ายของการพัฒนาดอก หรือประมาณ 7 วันก่อนระยะออกรวง (Matsushima, 1975) ลักษณะของต้นหลักในส่วนที่เกี่ยวข้องกับความสูงลำต้น ขนาดความยาวร่าง และจำนวนระแห้งป้อมภูมิ ที่บันทึกได้ในช่วงเก็บเกี่ยวผลผลิต จะเป็นข้อมูลสนับสนุนและบ่งชี้ให้เห็น ถึงอิทธิพลของในตรรженที่มีผลโดยตรงต่อการเปลี่ยนแปลงในแต่ละช่วงเวลาพัฒนาการตายอดที่ ระยะต่าง ๆ ได้เป็นอย่างดี

เมื่อพิจารณาถึงข้อมูลการปรากฏใบต้นหลักในข้าวพันธุ์เดียวกันที่ได้จากการศึกษาของ รังสรรค อาจารพงษ์กุล (ไม่ได้ตีพิมพ์เผยแพร่) ที่มีวันปลูกต่าง ๆ กันทุกช่วง 15 วัน ตั้งแต่วันปลูก ครั้งแรกเมื่อ 15 มกราคม จนถึงวันปลูกสุดท้ายเมื่อ 15 ธันวาคม 2537 ได้พบว่าข้าวพันธุ์นี้ยังพัฒนา เป็นข้าวที่ไม่ตอบสนองต่อช่วงแสง ประกอบกับการปรากฏใบของต้นหลักมีความสัมพันธ์กับช่วง เวลาความร้อนสะสมภายหลังการห่านเมล็ดข้าวของแบบเบร์เกรสชันเส้นตรง ผลเช่นนี้ทำให้ ประมาณค่าได้ว่า ระยะเริ่มกำเนิดตายอดของข้าวพันธุ์นี้จะตรงกับระยะการปรากฏใบของต้นหลัก เมื่อวันประมาณ 11-12 ใน หรือประมาณว่าเป็นตำแหน่งใบที่ 3-4 ก่อนใบช่อ ซึ่งตรงกับการราย งานผลของ Yoshida (1981), Miller, et al., (1993) and Nemoto et al., (1995)

ในตรรженและแบบวิธีการปลูกที่มีผลต่อการเจริญเติบโตและการสร้างสมน้ำหนักแห้ง

ข้าวจัดได้ว่าเป็นอัญพืชชนิดหนึ่งที่มีความสามารถสร้างหน่อได้ดี อัตราเมล็ดที่หัวหน่อ จำนวนต้นหลักที่ปักดำจะมีผลขาดเชยกับความหนาแน่นของหน่อ ขณะเดียวกันพื้นที่ใบของต้นหลัก

และหน่อจะทำหน้าที่สังเคราะห์แสงเพื่อสร้างน้ำหนักแห้งที่มีความสำคัญต่อการเจริญเติบโตขององค์ประกอบผลผลิตตลอดจนการเพิ่มผลผลิตให้สูงขึ้น ดังมีรายละเอียดต่อไปนี้

จำนวนต้นและหน่อ

สภาพการปลูกในกระถางและในแปลงนาเกษตรกรที่แสดงให้เห็นว่า จำนวนต้นที่บันทึกได้ในแต่ละครั้งที่มีการเก็บตัวอย่างพืชมีค่าใกล้เคียงกันตลอดช่วงการทดลองนั้น อธิบายได้ว่าปัจจัยของระดับความสูงน้ำมีความเหมาะสมต่อการเจริญเติบโตของข้าวในพันธุ์ศึกษา โดยระดับน้ำต่ำสุดช่วงฤดูปลูกโดยเฉลี่ยจะมีค่าประมาณ 10-20 เซนติเมตร แม้ว่าในพื้นที่พัทลุงจะมีฝนตกชุกและหนักมากช่วงกลางเดือนพฤษภาคมจนทำให้แปลงทดลองบางแปลงมีระดับน้ำสูงกว่า 30 เซนติเมตร แต่สภาพน้ำที่ท่วมขังได้เกิดขึ้นเป็นช่วงสั้นเพียง 2 วัน ซึ่งตรงข้ามกับงานวิจัยของ Apakupakul (1991) ที่กำหนดให้เกิดสภาพการทำท่วมขังอย่างต่อเนื่องด้วยการเพิ่มระดับความสูงน้ำจาก 10 เซนติเมตรเมื่อข้าวเริ่มยึดลำต้นจนมีระดับน้ำสูงสุดที่ 50 เซนติเมตรในระยะสร้างเมล็ด ได้พบว่า อัตราการปลูกอย่างหนาแน่นที่ 300 ต้น เมตร² จะมีจำนวนต้นในระยะดอกบาน 50% ลดลงอย่างชัดเจนเมื่อเปรียบเทียบกับจำนวนต้นในช่วงแรกก่อนมีการเพิ่มระดับน้ำ จากเหตุผลที่กล่าวมาทำให้พิจารณาและอธิบายได้ว่า ความแตกต่างของจำนวนต้นทั้งหมดในแต่ละช่วงการเจริญเติบโตและพัฒนาการของการทำครั้งนี้ มีสาเหตุโดยตรงจากการเปลี่ยนของจำนวนหน่อที่เกิดขึ้นในระยะนี้ ๆ กรณีของสภาพการปลูกในกระถางได้พบว่าจำนวนต้นทั้งหมดจะเพิ่มขึ้นเป็นลำดับสอดคล้องกับปริมาณไนโตรเจนที่ได้รับ หรือกล่าวอีกนัยหนึ่งก็คือมีจำนวนหน่อมากขึ้นนั่นเอง ผลเช่นนี้แสดงให้เห็นว่า ข้าวพันธุ์เลี้ยงพัทลุงมีการตอบสนองต่อบุญไม่ต่อเจนที่ดี (นิรนาม, 2539) เช่นเดียวกับพันธุ์ไออาร์ 64 (Schnier et al., 1990b) และพันธุ์ไออาร์ 72 (Dingkuhn et al., 1992a, b) ส่วนจำนวนต้นทั้งหมดของวิธีการปลูกแบบหน่าน้ำตามที่มีมากกว่าการปักดำ จะมีสาเหตุจากอัตราการปลูกที่มีความหนาแน่นกว่า จำนวนต้นหลักของการปลูกแบบหน่าน้ำตามแบบปักดำโดยเฉลี่ยตลอดช่วงการเจริญเติบโตและพัฒนาการของข้าวจะมีค่าเท่ากับ 400 และ 90 ต้น เมตร² ตามลำดับ และมีการสร้างหน่อได้หนาแน่นมากกว่าด้วย (Schnier et al., 1990a, b; Dingkuhn et al., 1990a; 1991; 1992a, b) ลักษณะการเปลี่ยนแปลงของจำนวนต้นทั้งหมด เมตร² จำนวนหน่อ เมตร² และจำนวนหน่อ ต้น¹ ที่สัมพันธ์กับช่วงเวลาความร้อนสะสมภายหลังการหว่านเมล็ดข้าวของจะมีรูปแบบอย่างเดียวกัน อย่างไรก็ตามจำนวนต้นทั้งหมดและจำนวนหน่อ เมตร² ภายในหลังที่มีจำนวนสูงสุดของวิธีการปลูกแบบหน่าน้ำตามจะลดจำนวนลงในอัตราที่สูงกว่าการปักดำซึ่งมีความสอดคล้องกับผลงานวิจัยของ Schnier et al. (1990b), Dingkuhn et al. (1991, 1992a) ที่ได้อธิบายว่า เกิดจากสภาพการบังแสงและเกิดการขาดในต่อเจนอย่างรุนแรง โดยจำนวนหน่อของการปลูกแบบหน่าน้ำตามและแบบปักดำจะลดลงเท่ากับ 35 และ 25% ตามลำดับ ในทางตรงกันข้ามการทดลอง

ครั้นนี้ได้พบว่า อัตราการลดลงของจำนวนหน่อ ต้น¹ ที่ช่วงเวลาดังกล่าวของการปลูกแบบหัว่นน้ำ ตามจะมีค่าต่ำกว่าเนื่องจากมีจำนวนหน่อ ต้น¹ น้อยกว่าการปลูกแบบปักดำที่มีจำนวนหน่อในช่วงเริ่มยึดลำต้นสูงถึง 3 หน่อ ต้น¹ ขณะที่การปลูกแบบหัว่นน้ำตามมีจำนวนหน่อสูงสุดที่ระยะสร้างหน่อจะมีเพียง 0.8 หน่อ ต้น¹ จำนวนหน่อของข้าวพันธุ์เชียงพักลุงที่แปรผันกับค่าความร้อนสะสมภายหลังการหัว่นเมล็ดข้าวของที่เกิดจากสภาพการปลูกในกระถางของทีวีตเมนต์ในตรรженระดับต่าง ๆ และจากสภาพการปลูกในแปลงนาเกษตรกรแบบวิธีการหัว่นน้ำดูมและแบบวิธีการปักดำ จะมีรูปแบบของการเปลี่ยนแปลงความหนาแน่นจำนวนหน่อในลักษณะอย่างเดียวกันกับการรายงานผลของ Graf et al. (1990a, b), Deyun et al. (1991) and Graf et al. (1991)

พื้นที่ใบและองค์ประกอบพื้นที่ใบ

ความสัมพันธ์ระหว่างพื้นที่ใบกับลักษณะต่าง ๆ ขององค์ประกอบพื้นที่ใบที่เกิดจากอิทธิพลของในโครงสร้างและแบบวิธีการปลูกแสดงผลในลักษณะอย่างเดียวแก้ ซึ่งจะเห็นได้ว่า โดยภาพรวมพื้นที่ใบจะเพิ่มขึ้นเมื่อมีจำนวนใบมากและใบมีขนาดใหญ่ จำนวนใบที่เพิ่มมากขึ้นนั้น จะมีความสัมพันธ์กับระดับความหนาแน่นของจำนวนต้นทั้งหมดและแปรผันกับจำนวนใบของแต่ละต้นด้วย ในการทดลองครั้นนี้จะสังเกตเห็นว่า พื้นที่ใบของการปลูกแบบหัว่นน้ำตามไม่แสดงความสัมพันธ์กับจำนวนต้นทั้งหมดนั้น มีสาเหตุจากวิธีการปลูกแบบนี้จำเป็นต้องใช้อัตราการหัว่นเมล็ดปลูกที่ค่อนข้างสูง จำนวนต้นที่ขึ้นอย่างหนาแน่นจะเจริญเติบโตและสร้างน้ำหนักแห้งได้น้อยลง (Willey and Heath, 1969) จนส่งผลกระทบทำให้จำนวนใบของแต่ละต้นลดลงและใบมีขนาดเล็ก ขณะเดียวกันจำนวนใบที่เพิ่มขึ้นตามความหนาแน่นของจำนวนต้นจะแสดงผลการชดเชยกับขนาดใบที่เล็กลงด้วย

พื้นที่ใบมีความแตกต่างกันระหว่างทีวีตเมนต์ในตรรженและแบบวิธีการปลูกนั้น ส่วนหนึ่ง เป็นผลจากจำนวนต้นทั้งหมดที่เพิ่มขึ้นที่ได้รับอิทธิพลโดยตรงจากผลของในตรรженและอัตราการใช้เมล็ดพันธุ์ดังมีรายละเอียดต่าง ๆ ที่กล่าวไว้แล้วข้างต้นที่เกี่ยวข้องกับการเจริญเติบโตและพัฒนาการของจำนวนต้นและหน่อ และอีกส่วนหนึ่งจะเกิดขึ้นจากการแตกต่างขององค์ประกอบพื้นที่ใบซึ่งจะอธิบายแยกให้เห็นความแตกต่างในแต่ละลักษณะ สำหรับรูปแบบการเจริญเติบโตของพื้นที่ใบที่สัมพันธ์กับช่วงเวลาค่าความร้อนสะสมภายหลังการหัว่นเมล็ดข้าวของวิธีการปลูกทั้งสองจะมีลักษณะแบบซิกมอยด์ (S-shape) เช่นเดียวกับพืชชนิดอื่นที่มีการรายงานผลวิจัยได้แล้วมากmany (e.g., Goyne et al., 1993; Benbi, 1994; Gimenez et al., 1994; Maddoni and Otegui, 1996; Singh and Virmani, 1996, etc.) พังก์ชันลอจิสติกที่ใช้อธิบายผลของการเปลี่ยนแปลงพื้นที่ใบ ในช่วงการเจริญเติบโตก่อนระยะตอบสนองของแบบการปลูกข้าวทั้งสองวิธีที่ได้จากการทดลองครั้นนี้จะพบได้ในทำนองคล้าย ๆ กันกับอัญพืชชนิดอื่น (Dale et al., 1980; Hammer and Muchow,

1994; Milroy and Goyne, 1995) ค่าพารามิเตอร์ต่าง ๆ ที่ได้จากการจะเป็นข้อมูลสนับสนุนเหตุผลที่กล่าวถึงปัจจัยต่าง ๆ ที่มีอิทธิพลต่อการสร้างพื้นที่ใบของแบบการปลูกหักสองได้เป็นอย่างดี

จำนวนใบที่เพิ่มขึ้นตามอัตราการใส่ในตอรเจนและวิธีการปลูกแบบหัวน้ำตามจะมีจำนวนไม่มากกว่าการปลูกแบบปักดำทุกช่วงการเจริญเติบโตและพัฒนาการจะมีผลลัพธ์เนื่องที่สอดคล้องกับจำนวนต้นหักหมด (คุณภาพในจำนวนต้นและหน่อ) เมื่อพิจารณาเฉพาะกรณีของจำนวนใบต้นหักหมด¹ ระหว่างที่รีตเมนต์ในตอรเจนที่แสดงแนวโน้มการเพิ่มขึ้นตามอัตราการใส่ในตอรเจนนั้น จะสามารถอธิบายได้ว่า ในตอรเจนนอกจากจะมีผลโดยตรงต่อการสร้างหน่อแล้วยังมีความสำคัญต่อการเพิ่มจำนวนใบของแต่ละต้นด้วยถึงแม้ว่าการวิเคราะห์ผลทางสถิติจะไม่แสดงความแตกต่างระหว่างที่รีตเมนต์ก็ตาม Schnier et al. (1990b) รายงานว่า อัตราการใส่ในตอรเจนมีผลทำให้ในตอรเจนในใบเพิ่มขึ้น และความเข้มข้นของใบตอรเจนในส่วนของใบจะเป็นดัชนีที่แสดงผลโดยตรงต่อการเจริญเติบโตของใบ (Dingkuhn et al., 1990a, b) ส่วนกรณีของการปลูกแบบหัวน้ำตามที่ระยะเริ่มสร้างหน่อจะมีจำนวนใบ ต้นหักหมด¹ น้อยกว่าการปลูกแบบปักดำเนื่องจากความแตกต่างของอายุการเจริญเติบโต ซึ่งปรากฏชัดว่าระยะเริ่มสร้างหน่อของการปลูกแบบหัวน้ำตามได้เกิดขึ้นก่อนการปักดำก้าวต่อไป ค่าความร้อนสะสมภายหลังการหัวน้ำแล้วลดลงอย่างมากที่ระยะเริ่มสร้างหน่อของการปลูกแบบหัวน้ำตามและแบบปักดำมีค่าเท่ากัน 408.9 และ 759.3 °Cd ตามลำดับ ดูข้อมูลอย่างพื้นฐานใน Table 2) อย่างไรก็ตาม กราฟเส้นตรงของความสัมพันธ์ระหว่างจำนวนใบ ต้นหักหมด¹ กับค่าความร้อนสะสมภายหลังการหัวน้ำแล้วของการปลูกแบบหัวน้ำตาม จะมีจำนวนใบ ต้นหักหมด¹ น้อยกว่าการปลูกแบบปักดำทุกช่วงการเจริญเติบโต ผลตั้งกล่าวนี้อธิบายได้เช่นเดียวกับขั้นตอนว่า น้ำจะเกิดจากปริมาณในตอรเจนในส่วนใบจะมีความแตกต่างกันระหว่างแบบวิธีการปลูก (Dingkuhn et al., 1990a, b; Schnier et al., 1990b; Dingkuhn et al., 1991; 1992a, b) ข้าวพันธุ์เจียงพหุสุนในกราฟแสดงคุณค่าจำนวนใบ ต้นหักหมด¹ ผันแปรอยู่ในช่วงระหว่าง 2.9-4.1 ใบ ซึ่งมีค่าต่ำกว่าการรายงานของ De Datta (1981) and Yoshida (1981) ที่กล่าวว่า จำนวนใบของข้าวในช่วงอายุระหว่างระยะเริ่มกำเนิดติดต่อจนถึงระยะดอกบานจะมีใบโดยเฉลี่ยประมาณ 5-6 ใบ

ขนาดของใบที่แสดงความแตกต่างกันระหว่างที่รีตเมนต์ในตอรเจนและวิธีการปลูกในแต่ละช่วงการเจริญเติบโตและพัฒนาการสามารถอธิบายผลได้ในลักษณะเดียวกันกับที่ปรากฏดังกรณีของความหนาแน่นจำนวนใบและจำนวนใบของแต่ละต้น ปัจจัยเด่นชัดที่ทำให้เกิดความแตกต่างจะเกี่ยวข้องกับ ความหนาแน่นของต้นหักหมด ระยะเวลาที่เก็บตัวอย่างในแต่ละระยะการเจริญเติบโต ปริมาณในตอรเจนในส่วนใบ รวมถึงผลการสร้างน้ำหนักแห้งของต้น ลักษณะการเปลี่ยนแปลงของขนาดใบในช่วงระหว่างระยะเริ่มปีดลำต้นจนถึงระยะดอกบาน 50% ของที่รีตเมนต์ในตอรเจนจะมีขนาดลดลงซึ่งแสดงผลในทางตรงกันข้ามกับแบบวิธีการปลูกในสภาพแปลงนา

เกษตรกรที่มีขนาดของไร่เพิ่มขึ้น ขนาดใบของทรีตเมนต์ในตรรженที่มีค่าลดลงในระยะดอกบาน 50% เป็นผลจากใบประมาณที่ 2 หรือ 3 นับจากปลายยอดในตำแหน่งก่อนใบช่องจนถึงใบล่างสุดในช่วงเวลาขณะนั้น มีส่วนของใบแห้งเกิดขึ้นทางบริเวณส่วนปลายของใบ ดังนั้นค่าเฉลี่ยของขนาดใบซึ่งบันทึกเฉพาะส่วนพื้นที่สีเขียวจะมีค่าลดลงตามปริมาณของส่วนใบแห้ง สาเหตุที่เป็นเช่นนี้อาจเกิดจากสภาพของรากที่ถูกจำกัดและเกิดการอัดแน่นภายในกระถางที่มีผลต่อการดูดน้ำและธาตุอาหารไปยังส่วนใบได้ช้าลง หรืออาจจะเป็นสาเหตุของการบังแสงกันอย่างรุนแรงขณะเริ่มยึดลำต้นที่มีพื้นที่ใบในช่วงเวลาหน้ามากเกินไป (ดูข้อมูลพื้นที่ใน Table 10) สำหรับการเจริญเติบโตของขนาดใบในสภาพปกติ ความยาวใบจะเพิ่มขึ้นตามลำดับตำแหน่งใบ (ยกเว้นใบช่อง) จากส่วนโคนสู่ปลาย ๆ กันในข้าวโพด (Dwyer and Stewart, 1986; Keating and Wafula, 1992) เพิร์ล米ลเลท (Persaud et al., 1993) และข้าวสาลี (Perarajasingham and Hunt, 1995) ซึ่ง Persaud et al. (1993) ได้แสดงให้เห็นว่า ความยาวและความกว้างใบรวมทั้งพื้นที่ใบของแต่ละใบจะเพิ่มขึ้นตามระยะการเจริญเติบโตและพัฒนาการของพืช ผลงานวิจัยข้างต้นที่อ้างถึงสามารถนำมาอธิบายให้เห็นว่าขนาดใบของข้าวพันธุ์เขียงพัทลุงที่ปลูกในสภาพเป็นจริงของแปลงนาเกษตรหั้งการปลูกแบบหัวน้ำตามและแบบบักดำ จะมีความยาวใบและความกว้างใบเพิ่มขึ้นตามช่วงระยะเวลาการเจริญเติบโตและพัฒนาการ และจากการสังเกตขณะวัดพื้นที่ใบที่ระยะดอกบาน 50% จะพบความแตกต่างอย่างเด่นชัดว่า ขนาดใบของการปลูกแบบหัวน้ำตามมีแนวโน้มให้ใบที่ยาวกว่า แต่มีความกว้างใบแคบกว่าเกือบ 2 เท่าเมื่อเปรียบเทียบกับขนาดใบของการปลูกแบบบักดำ (ข้อมูลไม่ได้บันทึก) เหตุที่เป็นเช่นนี้คาดคะเนว่า ความแตกต่างของความหนาแน่นที่เกี่ยวกับจำนวนต้นและจำนวนใบระหว่างแบบการปลูกหั้งสองจะเป็นปัจจัยสำคัญในการควบคุมขนาดของใบข้าว

การสร้างน้ำหนักแห้งของพืชส่วนเหนือดิน

ในตรรженและแบบวิธีการปลูกที่มีผลต่อพื้นที่ใบและลักษณะต่าง ๆ ขององค์ประกอบพื้นที่ใบจะเกี่ยวเนื่องกับการสร้างน้ำหนักแห้งใบและน้ำหนักแห้งลำต้นด้วย ทั้งนี้ เพราะว่าการเจริญเติบโตและพัฒนาการที่ระยะใด ๆ น้ำหนักแห้งใบจะแปรผันโดยตรงกับพื้นที่ใบและจำนวนใบ ส่วนน้ำหนักแห้งลำต้นจะแปรผันกับจำนวนต้นพื้นที่หัวน้ำ ผลงานวิจัยเกี่ยวกับอัตราในตรรженและแบบวิธีการปลูกในข้าวพันธุ์อาร์ 72 ของ Dingkuhn et al., (1992b) ได้รายงานว่า น้ำหนักใบ เมตร² ของใบช่อง และใบตำแหน่งที่ 1-3 ตัดจากใบช่อง จะมีน้ำหนักใบเพิ่มขึ้นตามอัตราในตรรженที่ใส่และน้ำหนักใบในตำแหน่งดังกล่าวของ การปลูกแบบหัวน้ำตามจะมีมากกว่าการปลูกแบบบักดำ ขณะเดียวกันน้ำหนักแห้งหัวน้ำตามของพืชส่วนเหนือดินจะเพิ่มขึ้นตามอัตราในตรรженที่ใส่ และการปลูกแบบหัวน้ำตามมีการสร้างน้ำหนักแห้งของพืชหัวน้ำตามส่วนเหนือดินได้มากกว่าการปลูก

แบบบีกคำ (Dingkuhn et al., 1992a, b) ตั้งนั้นความสัมพันธ์ระหว่างค่าของน้ำหนักแห้งในและน้ำหนักแห้งทั้งหมดของพืชส่วนเหนือดินทำให้พิจารณาได้ว่า น้ำหนักแห้งส่วนลำต้น (ผลต่างระหว่างน้ำหนักแห้งทั้งหมดของพืชส่วนเหนือดินกับน้ำหนักแห้งใบ) ของข้าวพันธุ์อาร์ 72 จะแสดงผลความแตกต่างอย่างชัดเจนระหว่างที่รีดเมนท์ในโตรเจนและแบบวิธีการปลูกด้วย Mishra (1991) ได้พบในท่านองคล้าย ๆ กันว่า น้ำหนักใบและน้ำหนักแห้งลำต้นของข้าวพันธุ์พีดี 4 ที่ได้รับในโตรเจนจะมีค่ามากกว่าที่ไม่ได้ในโตรเจน ผลงานวิจัยดังกล่าวที่อ้างถึงได้ให้ข้อสรุปสำคัญดัง ๆ สำหรับการอธิบายลักษณะการสร้างน้ำหนักแห้งใบและน้ำหนักแห้งลำต้นของข้าวเฉียงพัทลุงที่ศึกษาเกี่ยวกับอัตราการใส่ในโตรเจนและวิธีการปลูกได้เป็นอย่างดี อย่างไรก็ตามน้ำหนักแห้งทั้งหมดของพืชส่วนเหนือดินที่ระยะดอกบาน 50% จากสภาพการปลูกในกระถางของที่รีดเมนท์ในโตรเจนระดับต่าง ๆ (ยกเว้นที่รีดเมนท์ N3) จะมีค่ามากกว่าที่บันทึกได้ในระยะเก็บเกี่ยวผลผลิตนั้น มีสาเหตุจากความแปรปรวนของตัวอย่างพืชที่มีผลทำให้เกิดข้อผิดพลาดในการเปรียบค่าน้ำหนักแห้งทั้งหมดของพืชส่วนเหนือดินระหว่างช่วงการเจริญเติบโตและพัฒนาการในระยะตั้งกล้าว

น้ำหนักแห้งใบและน้ำหนักแห้งลำต้นที่เพิ่มน้ำหนักแห้งในเพิ่มขึ้นตั้งแต่ระยะเริ่มแรกของการเจริญเติบโตจนถึงระยะดอกบาน 50% ของสภาพการปลูกจริงในแปลงนาเกษตรกรห้อง 2 วิธี ที่มีลักษณะการเพิ่มแบบฟังก์ชันลดจีสติกสำหรับการสร้างน้ำหนักแห้งใบ และแบบฟังก์ชันเอกซ์โพเนนเชียลสำหรับการสร้างน้ำหนักแห้งลำต้น ได้พบเช่นเดียวกันในข้าวพันธุ์ Makalioka 34 (Graf et al., 1990a) และในข้าวสาลี (Brooking and Kirby, 1989) สมการที่วิเคราะห์ได้จากการปรับเส้นโค้งของน้ำหนักแห้งใบ และน้ำหนักแห้งลำต้นสำหรับข้าวพันธุ์เฉียงพัทลุงได้แสดงให้เห็นว่า การปลูกแบบหว่านน้ำตามมีอัตราการเพิ่มน้ำหนักแห้งใบและน้ำหนักแห้งลำต้นต่ำกว่าการปลูกแบบบีกคำ โดยมีสาเหตุจาก การที่วิธีการปลูกแบบหว่านน้ำตามเกิดสภาพการบังแสงอย่างรุนแรงและบริมาณในโตรเจนในส่วนใบมีน้อยกว่าเมื่อเปรียบเทียบกับการปลูกแบบบีกคำดังรายละเอียดที่กล่าวไว้แล้วข้างต้น เมื่อพิจารณาถึงการสร้างน้ำหนักแห้งทั้งหมดของพืชส่วนเหนือดินจากผลกระทบของน้ำหนักแห้งใบและลำต้นจะสามารถอธิบายได้ในลักษณะเดียวกันว่า ในโตรเจนมีผลทำให้น้ำหนักแห้งทั้งหมดของพืชส่วนเหนือดินเพิ่มขึ้น ดังเช่นงานวิจัยในข้าว (Dingkuhn et al., 1990a, b; Schnier et al., 1990b; Dingkuhn et al., 1992; 1998) ข้าวสาลี (Gajri et al., 1993) ข้าวโพด (Muchow and Sinclair, 1995; Sinclair and Muchow, 1995; Uhart and Andrade, 1995) ข้าวฟ่าง (Muchow, 1988) และทานตะวัน (Flenet and Kiniry, 1995) เป็นต้น ลักษณะความแตกต่างของการสร้างน้ำหนักแห้งทั้งหมดของพืชส่วนเหนือดินของข้าวระหว่างวิธีการปลูกจากผลงานวิจัยของ Dingkuhn et al., (1991;1992a) ได้รายงานว่า การปลูกข้าวแบบหว่านน้ำตามและแบบโดยรวมจะเริ่มสร้างน้ำหนักแห้งส่วนเหนือดินได้เร็ว กว่าการปลูกแบบบีกคำโดยประมาณ 5 วัน และการเพิ่มน้ำหนักแห้งของวิธีการปลูกแบบหว่านน้ำ

ตมและแบบโดยแตามในการเจริญช่วงแรก ๆ จะมีอัตราที่สูงกว่า แต่ในช่วงระหว่างการสุกแก่ทางสรีริวิทยากลับมีอัตราที่ต่ำกว่าการปลูกแบบปักชำ ผลงานทดลองนี้สามารถนำอิบยาสนับสนุนให้เห็นความแตกต่างระหว่างแบบบริการปลูกที่มีผลต่อการสร้างน้ำหนักแห้งทั้งหมดของพืชส่วนหนึ่งดิน ซึ่งรวมถึงน้ำหนักแห้งใบและน้ำหนักแห้งลำต้นของข้าวพันธุ์เขียวพัทลุงที่ใช้เป็นพันธุ์ศึกษาในการทดลองครั้งนี้ได้เด่นชัดขึ้น

พื้นที่ใบจำเพาะและอัตราส่วนพื้นที่ใบ

การวิเคราะห์ลักษณะการเจริญเติบโตของพืชที่แสดงด้วยค่าพื้นที่ใบจำเพาะและอัตราส่วนพื้นที่ใบที่ระยะเริ่มยึดลำต้นและระยะดอกบาน 50% ไม่พบความแตกต่างระหว่างที่รีดเมนต์ในตรรжен ผลงานวิจัยที่ได้ศึกษาคล้าย ๆ กันนี้มีรายงานเพียงเฉพาะกรณีของพื้นที่ใบจำเพาะเท่านั้นที่ปรากฏผลเช่นเดียวกันว่า พื้นที่ใบจำเพาะของข้าวภายในลังจากระบะกล้าไปแล้วจะไม่ผันเปลี่ยนอัตราในตรรжен (Dingkuhn et al., 1998) สำหรับอัตราส่วนพื้นที่ใบแม้ว่าจะไม่มีผลงานวิจัยอื่นมาสนับสนุน แต่ก็จะพิจารณาได้ว่า สัดส่วนการสร้างพื้นที่ใบกับการสร้างสมน้ำหนักแห้งทั้งหมดของพืชส่วนหนึ่งดินในแต่ละที่รีดเมนต์ในตรรженจะมีค่าที่ใกล้เคียงกัน สรุปความแตกต่างระหว่างวิธีการปลูกที่มีผลต่อพื้นที่ใบจำเพาะและอัตราส่วนพื้นที่ใบที่ระยะเริ่มสร้างหน่อและระยะเริ่มยึดลำต้นจะสามารถอธิบายได้ว่า ในส่วนใหญ่ของวิธีการปลูกแบบหว่านน้ำตามขณะเริ่มสร้างหน่อจะเป็นใบที่เกิดจากหน่อที่ยังอ่อนและมีแผ่นใบที่บาง ซึ่งตรงข้ามกับลักษณะใบของการปลูกแบบปักชำที่ใบส่วนใหญ่จะเป็นใบของต้นหลักที่มีอายุมากกว่าและแผ่นใบมีความหนากว่าด้วยเมื่อเปรียบเทียบกับใบของหน่อที่มีอายุน้อยกว่า ครัวนี้เมื่อเข้าสู่ระยะเริ่มยึดลำต้นซึ่งเป็นระยะที่การสร้างหน่อของ การปลูกแบบหว่านน้ำตามได้เสร็จสิ้นนานแล้วในขณะที่การสร้างหน่อของการปลูกแบบปักชำเพิ่งจะสิ้นสุด ประกอบกับช่วงระหว่างระยะเริ่มสร้างหน่อกับระยะเริ่มยึดลำต้นของการปลูกแบบหว่านน้ำตามมีเวลาอย่างนานกว่า ใบที่เกิดขึ้นในช่วงนี้จะมีอายุการเจริญเติบโตและมีพัฒนาการมากกว่าการปลูกแบบปักชำ (ดูลักษณะการเปลี่ยนแปลงจำนวนหน่อ Fig. 9-10) ดังนั้นค่าพื้นที่ใบจำเพาะและอัตราส่วนพื้นที่ใบระหว่างการปลูกทั้งสองที่ระยะเริ่มยึดลำต้นจะแสดงผลในทางตรงกันข้าม กับที่ระยะเริ่มสร้างหน่อ

ลักษณะการเปลี่ยนแปลงของพื้นที่ใบจำเพาะและอัตราส่วนพื้นที่ใบของการทดลองครั้งนี้จะสังเกตได้ว่า ค่าทั้งสองจะเพิ่มขึ้นในช่วงแรกภายหลังการหว่านเม็ดซึ่งออกหรือภายหลังการปักชำจนถึงระยะที่มีการสร้างจำนวนหน่อสูงสุด หลังจากนั้นแล้วค่าทั้งสองจะลดลงเป็นลำดับจนกระทั่งมีค่าเกือบคงที่ขณะเข้าสู่ระยะดอกบาน 50% รูปแบบการเปลี่ยนแปลงของพื้นที่ใบจำเพาะในลักษณะนี้ได้มีรายงานไว้ เช่นเดียวกับงานวิจัยอื่น ๆ (Reddy et al., 1989; Ma et al., 1992; van Oosterom and Acevedo, 1993; Dingkuhn et al., 1998) และค่าพื้นที่ใบจำเพาะของข้าวเขียวพัทลุงที่

บันทึกได้จะมีค่าสูงสุดและต่ำสุดอยู่ในช่วงระหว่าง 191.32-487.00 และ 195.90-446.80 เซนติเมตร กว้ม¹ ของวิธีการปลูกแบบหัวน้ำตามและแบบปักดำ ตามลำดับ และมีค่าใกล้เคียงกับที่ Yoshida (1981) ได้รายงานว่า ค่าพื้นที่ใบจำเพาะโดยเฉลี่ยของข้าวจะแปรผันระหว่าง 200-450 เซนติเมตร กว้ม¹ สำหรับรูปแบบการเปลี่ยนแปลงอัตราส่วนพื้นที่ใบที่มีลักษณะอย่างเดียวกับพื้นที่ใบจำเพาะ ก็มีรายงานไว้ เช่นกัน (O'Leary et al., 1985; Charles-Edwards et al., 1986; Simane et al., 1993) ค่าพื้นที่ใบจำเพาะที่เริ่มลดลงเป็นลำดับตั้งแต่ระยะสร้างจำนวนหน่อสูงสุดเป็นต้นไปนั้นได้แสดงว่า ใบจะมีความหนาเพิ่มขึ้น หรืออาจหมายถึงมีสารอาหารสะสมไว้ในส่วนของใบมากขึ้น (Yoshida, 1981; Charles-Edwards et al., 1986; Reddy et al., 1989) อัตราการลดลงของพื้นที่ใบจำเพาะและของอัตราส่วนพื้นที่ใบที่ปลูกแบบหัวน้ำตามแม้ว่าจะมีค่าสูงกว่าวิธีการปลูกแบบปักดำ แต่อย่างไร ก็ตามค่าพื้นที่ใบจำเพาะและอัตราส่วนพื้นที่ใบที่ระยะดอกบาน 50% ไม่มีความแตกต่างกันระหว่าง แบบวิธีการปลูก ซึ่งเป็นข้อสรุปและยืนยันผลการสร้างน้ำหนักแห้งในครั้งนี้ได้ว่า ความหนาของใบ และการสร้างน้ำหนักแห้งทั้งหมดของข้าวเจียงส่วนหนึ่งอ่อนตื้นที่เกิดขึ้นภายหลังระยะดอกบาน 50% จนถึงระยะเก็บเกี่ยวผลผลิตไม่มีความแตกต่างกันระหว่างการปลูกแบบหัวน้ำตามกับแบบปักดำ

ความสัมพันธ์ระหว่างพื้นที่ใบกับน้ำหนักแห้ง

พื้นที่ใบของสภาพการปลูกในกระบวนการเริ่มยึดลำต้นและดอกบาน 50% ที่แสดงความสัมพันธ์แบบบivariate correlation เส้นตรงกับน้ำหนักแห้งใบและน้ำหนักแห้งของพื้ชทั้งหมดส่วนหนึ่งอ่อนตื้น จะมีความชันเส้นกราฟที่แตกต่างกัน โดยความชันเส้นกราฟขณะเริ่มยึดลำต้นมีค่ามากกว่าขณะดอกบาน 50% ซึ่งหมายความว่า น้ำหนักแห้งใบและน้ำหนักแห้งของพืชทั้งหมดส่วนหนึ่งอ่อนตื้นจะเริ่มยึดลำต้นที่สัมพันธ์กับค่าพื้นที่ใบได้ จะมีน้ำหนักแห้งน้อยกว่าขณะดอกบาน 50% ลักษณะความสัมพันธ์ที่ปรากฏนี้จะเป็นข้อมูลสำคัญที่ใช้แนวว่า ในการประมาณค่าพื้นที่ใบเป็นต้องใช้ค่าน้ำหนักแห้งใบและน้ำหนักแห้งของพื้ชส่วนหนึ่งอ่อนตื้นที่ระยะนั้น ๆ เป็นเกณฑ์ ทั้งนี้เป็น เพราะว่าค่าพื้นที่ใบจำเพาะและอัตราพื้นที่ใบจะลดลงตามช่วงระยะการเจริญเติบโตและพัฒนาการของพืชนั่นเอง ผลที่พบในการทดลองครั้งนี้มีความแตกต่างจากข้าวสาลี (Aase, 1978) ข้าวบาเล่ย์ (Ramos, et al., 1983) ข้าวโอดี ถั่วเหลือง และบัฟฟัลโล่ล็อกฟลฟ่า (Retta and Armbrust, 1995) ที่ได้พบว่า ความชันของกราฟที่วิเคราะห์ความสัมพันธ์ระหว่างพื้นที่ใบกับน้ำหนักแห้งใบและน้ำหนักแห้งของพื้ชทั้งหมดส่วนหนึ่งอ่อนตื้นมีค่าไม่เปลี่ยนแปลงตลอดช่วงการเจริญเติบโตตั้งแต่ระยะแรกก่อนการสร้างหน่อจนถึงระยะเก็บเกี่ยวผลผลิต ส่วนการศึกษาอื่น ๆ ในอัลฟานลายสายพันธุ์ (Sharratt and Baker, 1986) เพิร์ล米ลเลท (Payne et al., 1991) ถั่วลิสง (Ma et al., 1992) และข้าวฟ่าง (Retta and Armbrust, 1995) ได้พบในลักษณะรูปแบบที่แตกต่างกันว่า พื้นที่ใบของพืชเหล่านี้จะมีความสัมพันธ์ในลักษณะของกราฟเส้นตรงกับน้ำหนักแห้งใบและน้ำหนักแห้งทั้งหมดของพืชส่วนหนึ่ง

ดินในรูปสมการพังก์ชันยกกำลัง ($y = ax^b$) เช่นเดียวกับการประมาณค่าพื้นที่ใบของข้าวพันธุ์เจี้ยงพัท ลุงจากสภาพการปลูกในแปลงนาเกษตรกรทั้งสองแบบวิธีการปลูก ที่มีการติดตามลักษณะเปลี่ยนแปลงพื้นที่ใบอย่างใกล้ชิดทุกชั้นตอนตั้งแต่ระยะกล้าjunถึงระยะออกบาน 50% ความแตกต่างของลักษณะความสัมพันธ์ระหว่างพื้นที่ใบกับน้ำหนักแห้งที่กล่าวมาข้างต้นนี้ได้รับให้เห็นว่า พื้นที่ใบของพืชต่างพันธุ์หรือต่างชนิดกันจะมีความสัมพันธ์กับน้ำหนักแห้งไปและน้ำหนักแห้งทั้งหมดของพืช ส่วนเหนือดินที่แตกต่างกัน ในกรณีที่พืชพันธุ์ใดหรือชนิดใดแสดงความสัมพันธ์ในลักษณะของรูป สมการเส้นตรง การเปลี่ยนแปลงพื้นที่ใบของพืชนั้น ๆ จะเกี่ยวข้องกับการแปรผันของค่าพื้นที่ใบ จำเพาะ (Lieth et al., 1986; Payne et al., 1991; Ma et al., 1992) การประมาณค่าพื้นที่ใบที่ช่วง เวลาใด ๆ นอกจากจะสามารถหาค่าได้โดยตรงจากความสัมพันธ์ของน้ำหนักแห้งไปและน้ำหนัก แห้งทั้งหมดของพืชส่วนเหนือดินแล้ว ค่าพื้นที่ใบจำเพาะและค่าอัตราส่วนพื้นที่ใบจะเป็นตัวแปร หนึ่งที่มีความสำคัญด้วยเช่นกันและนิยมใช้สำหรับการประมาณค่าพื้นที่ใบในแบบจำลองการ เจริญเติบโตของพืช โดยพื้นที่ใบจะมีค่าเท่ากับผลคูณระหว่างค่าพื้นที่ใบจำเพาะกับน้ำหนักแห้งใบ (LA=SLAxLDW) หรือมีค่าเท่ากับผลคูณระหว่างอัตราส่วนพื้นที่ใบกับน้ำหนักแห้งของพืชทั้งหมด ส่วนเหนือดิน (LA=LARxTDM) นั่นเอง

ประสิทธิภาพการใช้รังสีแสงสังเคราะห์

ความสัมพันธ์ระหว่างปริมาณรังสีแสงสังเคราะห์ที่พืชดูดกลืนกับน้ำหนักแห้งทั้งหมดของพืชส่วนเหนือดิน ตั้งแต่ระยะกล้าjunถึงระยะเก็บเกี่ยวผลผลิตของข้าวพันธุ์เจี้ยงพัทลุงจากสภาพ แปลงนาเกษตรกร ที่แสดงในรูปสมการรีเกรสชันเส้นตรงได้พบในลักษณะเดียวกับข้อมูลพืชอื่น ๆ (Gallagher and Biscoe, 1978; Muchow et al., 1990; Begue et al., 1991; Andrade et al., 1993; Goyne et al., 1993; Rosenthal et al., 1993; Watiki et al., 1993; Kiniry, 1994; Jamieson et al., 1995; etc.) สมประสิทธิ์รีเกรสชันของการปลูกแบบห่ว่าน้ำตามมีค่าต่ำกว่าการปลูกแบบปักดำ และ แบบการปลูกทั้งสองมีค่าสมประสิทธิ์รีเกรสชันต่ำกว่าเล็กน้อยเมื่อเปรียบเทียบกับฤดูปลูกช่วงนาปี 2536-2537 จากผลงานวิจัยที่ได้รายงานไว้โดย รังสรรค อากาศพภาคฤดูหนาว(2538) อย่างไรก็ตามวิธีการ ปลูกแต่ละแบบไม่แสดงความแตกต่างกันระหว่างปีการทดลองทั้งสอง ผลการรวมข้อมูลทั้งสองฤดู ปลูกปรากฏว่า สมประสิทธิ์รีเกรสชันของการปลูกแบบห่วาน้ำตามมีค่าลดลงเล็กน้อยเนื่องจากการ ทดลองปี 2536-2537 มีข้อมูลลังเกตเพียง 12 ค่า เมื่อเปรียบเทียบกับค่าลังเกตของการทดลองปี 2538-2539 ที่มีข้อมูลจำนวนมากถึง 91 ค่า ความแตกต่างของค่าสมประสิทธิ์รีเกรสชันระหว่างแบบ วิธีปลูกที่เกิดจากการรวมข้อมูลแสดงผลยืนยันการทดลองว่า ข้าวเจี้ยงพัทลุงที่ปลูกแบบห่วาน้ำ ตามจะมีประสิทธิภาพการใช้รังสีแสงสังเคราะห์ได้ต่ำกว่าการปลูกแบบปักดำ โดยปริมาณรังสีแสง สังเคราะห์ที่พืชดูดกลืนไว้ทุก ๆ หนึ่งหน่วยเมกะจูล จะถูกใช้เพื่อการสร้างน้ำหนักแห้งทั้งหมดได้

เท่ากับ 1.91 และ 2.59 กรัม ตามลำดับสำหรับการปลูกแบบหัวน้ำต้มและแบบปักดำ ประสิทธิภาพการใช้รังสีแสงสังเคราะห์ของข้าวพันธุ์ที่ศึกษานี้จะมีค่าไกล์เดียงกับงานวิจัยในข้าวพันธุ์อื่น ๆ (Charles-Edwards, 1982; Kiniry et al., 1989; Apakupakul, 1991)

วิธีการปลูกแบบหัวน้ำต้มที่มีค่าประสิทธิภาพการใช้รังสีแสงสังเคราะห์ต่ำกว่าการปลูกแบบปักดำจากผลของการทดลองในครั้งนี้ จะเกี่ยวข้องกับประสิทธิภาพการดูดกลืนรังสี (E) ที่เกิดความแตกต่างกันระหว่างแบบวิธีการปลูกตามช่วงระยะเวลาการเจริญเติบโตและพัฒนาการของพืช ผลตั้งกล่าวนี้จะสัมพันธ์กับอัตราการเจริญเติบโตสำหรับการสร้างน้ำหนักแห้งของพืชที่ระยะเวลานั้น ๆ ด้วย ค่า E ที่คำนวณได้จากสมการ (A19) โดยใช้ข้อมูลพื้นที่ในจาก Table 10 จะแสดงให้เห็นว่า การปลูกแบบหัวน้ำต้มจะมีค่า E ที่ระยะเริ่มสร้างหน่อ ระยะเริ่มยึดลำต้น และระยะดอกบาน 50% เท่ากับ 0.484, 0.815 และ 0.833 ส่วนการปลูกแบบปักดำจะมีค่า E ที่ระยะต่าง ๆ เท่ากับ 0.255, 0.601 และ 0.847 ตามลำดับ ความแตกต่างของค่า E ระหว่างแบบวิธีการปลูกจะเกิดขึ้นในช่วงระหว่างระยะกล้าจันถึงระยะดอกบาน 50% โดยการปลูกแบบหัวน้ำต้มจะมีค่า E สูงกว่าอย่างเด่นชัดเมื่อเปรียบเทียบกับการปลูกแบบปักดำ ลักษณะเช่นนี้วิธีการปลูกแบบหัวน้ำต้มซึ่งตามปกติมีจำนวนต้นและมีจำนวนใบที่หนาแน่นกว่า จะสามารถดูดกลืนปริมาณรังสีแสงสังเคราะห์ไว้ในส่วนพุ่มใบพืชได้ดีกว่าการปลูกแบบปักดำ ขณะเดียวกันเมื่อพิจารณาถึงอัตราการเจริญเติบโตเฉลี่ยของการสร้างน้ำหนักแห้งทั้งหมดของพืชส่วนหนึ่งอดินในช่วงระหว่างระยะกล้าจันถึงระยะดอกบาน 50% (คำนวณค่าโดยใช้ข้อมูลน้ำหนักแห้งพืชจาก Table 16 ที่สัมพันธ์กับอายุพืชระยะต่าง ๆ จากTable 2) จะมีค่าไกล์เดียงกันระหว่างแบบวิธีการปลูก โดยอัตราการเจริญเติบโตของการปลูกแบบหัวน้ำต้มและแบบปักดำจะมีค่าเท่ากับ 0.385 และ 0.312 กรัม เมตร⁻² °Cd⁻¹ ตามลำดับ ในทำนองตรงกันข้ามเมื่อค่า E ภายนหลังระยะดอกบาน 50% จะมีค่าไกล์เดียงกันระหว่างแบบการปลูก แต้อัตราการเจริญเติบโตของการปลูกแบบหัวน้ำต้มจะมีค่าน้อยกว่าเกือบถึงสองเท่าตัวเมื่อเปรียบเทียบกับการปลูกแบบปักดำ ซึ่งมีค่าโดยประมาณเท่ากับ 0.137 และ 0.291 กรัม เมตร⁻² °Cd⁻¹ ตามลำดับ อัตราการเจริญเติบโตภายนหลังระยะดอกบาน 50% ของการปลูกแบบหัวน้ำต้มที่มีค่าน้อยกว่าอาจจะมีสาเหตุจากสภาพความหนาแน่นของจำนวนต้นและจำนวนใบมีผลต่อการส่องผ่านปริมาณรังสีส่องสู่พืชไปได้น้อยลง ในส่วนล่าง ๆ ที่เกิดภาวะการบังแสงจะมีอัตราการสังเคราะห์แสงเพื่อการสร้างสมน้ำหนักแห้งได้น้อยลงตามไปด้วย หรืออาจจะมีการดึงการสังเคราะห์จากใบส่วนบนลงสู่ใบส่วนล่างเพิ่มขึ้นด้วย ในทางตรงกันข้ามสภาพการปลูกแบบปักดำจะมีการส่องผ่านรังสีได้ดีกว่า โดยปริมาณรังสีสามารถส่องลงสู่ใบส่วนล่างได้ตามที่อย่างระหว่างก็ เนคตอนที่เป็นไปได้อีกประการนึงอาจเกิดขึ้นจากลักษณะการปลูกแบบหัวน้ำต้มที่มีความหนาแน่นของจำนวนต้นมากกว่า จะมีผลทำให้ในโตรเจนในส่วนของใบมีปริมาณน้อยกว่า การปลูกแบบปักดำ (Schnier et al., 1990; Dingkuhn et al., 1991; 1992a, b) ในโตรเจนจำเพาะของ

ใบที่มีค่าน้อยจะมีผลโดยตรงทำให้การสังเคราะห์แสงของใบลดลงและส่งผลให้ประสิทธิภาพการใช้รังสีแสงสังเคราะห์ต่ำกว่าด้วย (Sinclair and Horie, 1989; Connor et al., 1993; Sinclair and Shiraiwa, 1993; Gimenez et al., 1994; Hammer and Wright, 1994; Bange et al., 1997) นอกจากนี้แล้วการขาดกรุํวและดูดรากษาแปลงกล้าของเกษตรกรหั้งหมัดในพื้นที่ทดลอง จะมีการหัวน้ำปูยเพื่อเร่งการเจริญเติบโตของต้นกล้าที่จะใช้ปักดำในช่วงประมาณ 10 วันก่อนการถอนกล้า โดยใช้ปูยสูตร 16-20-0 อัตราประมาณไว้ละ 10 กิโลกรัม ดังนั้นวิธีการปลูกแบบหัวน้ำตามในสภาพที่เป็นจริงแล้วจะได้รับปูยในต่อเนื่องน้อยกว่าการปลูกแบบปักดำ ความแตกต่างของปริมาณในต่อเนื่องระหว่างแบบวิธีการปลูกจะมีผลต่ออัตราการเจริญเติบโตของพืช (Burns, 1992; Gajri et al., 1993; Cruz and Sinoquet, 1994; Gimenez et al., 1994; Osaki et al., 1994) และจะกระทบถึงประสิทธิภาพการใช้รังสีแสงสังเคราะห์ของพืชด้วย (Abbate et al., 1995; Hall et al., 1995)

รูปแบบและลักษณะการเจริญเติบโตของเมล็ด

พืชปลูกที่ให้เมล็ดจะพบว่าน้ำหนักเมล็ดที่เพิ่มขึ้นภายหลังการผสมเกสรเป็นผลของการเคลื่อนย้ายสารอาหารจากส่วนต่าง ๆ ของลำต้นและใบรวมทั้งสารอาหารที่พืชสังเคราะห์ได้ขณะดอกบานไปเก็บสะสมไว้ภายในเมล็ด สภาพโดยทั่วไปการสะสมน้ำหนักแห้งของเมล็ดที่เกิดขึ้นในช่วงระหว่างการผสมเกสรจนกระทั่งถึงระยะสุดแก่ทางสรีรวิทยาในพืชชนิดต่าง ๆ จะมีลักษณะรูปร่างเป็นกราฟเส้นโค้งเชิงมอยด์ (Sofield et al., 1974; Matsushima, 1975; Chowdhury and Wardlaw, 1978; Simmons and Crookston, 1979; Tashiro and Wardlaw, 1989; etc.) อย่างไรก็ตามงานวิจัยต่าง ๆ ที่ได้ศึกษาการเจริญเติบโตของเมล็ดในช่วงระยะการสะสมน้ำหนักแห้งปรากฏว่า กราฟเส้นโค้งที่ใช้สำหรับอธิบายผลจะมีรูปแบบที่แตกต่างกันทั้งนี้ขึ้นอยู่กับการแปรผันของน้ำหนักแห้งเมล็ด ลักษณะการเจริญเติบโตของเมล็ดที่มีการปรับเส้นโค้งจากผลงานวิจัยของ Nass and Reiser (1975) and Bruckner and Frohberg (1987) ได้แสดงด้วยสมการพหุนามกำลังสอง (quadratic polynomial) แต่ Jones et al. (1979), Gebeyehou et al. (1982) and Bauer et al. (1985) จะแสดงด้วยสมการพหุนามกำลังสาม (cubic polynomial) ส่วน Loss et al. (1989), Darroch and Baker (1990), Apakupakul (1991), Habekotte (1993), Duguid and Brule-Babel (1994), Darroch and Baker (1995) and Dracup and Kirby (1996) พบว่า สมการลอจิสติกมีความเหมาะสมมากที่สุด และ Koesmarno and Sedcole (1994) ได้ใช้ทั้งสมการลอจิสติกและสมการกอร์เดิร์ฟอธิบายลักษณะการเจริญเติบโตของเมล็ดข้าวบาร์เลย์ ประกอบกับผลงานวิจัยของ Yoshida and Hara (1977) and Fujita et al. (1984) ได้พบว่ารูปแบบการเจริญเติบโตของเมล็ดข้าวมีการแปรผันกับชนิดของพันธุ์ปูปลูกโดยเฉพาะอย่างยิ่งในช่วงเวลาภายหลังที่น้ำหนักเมล็ดมีค่าสูงสุดนั้นจะมีการเปลี่ยนแปลงที่แตกต่างกัน กล่าวคือ น้ำหนักแห้งเมล็ดที่ระยะใกล้การสูญแก่ทางสรีรวิทยาของข้าวพันธุ์ Fujisaka 5, Khao Lo และพันธุ์ Ku 70-1

จะมีค่า้น้ำหนักแห้งเมล็ดลดลง ส่วนน้ำหนักพันธุ์อิօาร์ 20, Bergresis และพันธุ์ Bomdia เมล็ดจะไม่เกิดสภาพการสูญเสียน้ำหนักและมีค่าน้ำหนักแห้งเมล็ดค่อนข้างคงที่ ลักษณะการสะสมน้ำหนักแห้งของเมล็ดที่กล่าวมานี้มีผลจากความแตกต่างทางพันธุกรรมของข้าวในแต่ละพันธุ์ สำหรับการเจริญเติบโตของเมล็ดข้าวพันธุ์เจียงพัทลุงจากสภาพการปลูกในภารถการของทรีเมนต์ในตรรженที่ระดับต่าง ๆ และจากสภาพการปลูกในแปลงนาเกษตรกรแบบบริหัว่น้ำตามและแบบบริหัวปักดำ ปรากฏผลว่า น้ำหนักแห้งเมล็ดจะมีค่าคงที่ภายหลังระยะสุกแก่ทางศรีวิทยา ซึ่งเวลาขณะนั้น เมล็ดจะมีค่าน้ำหนักแห้งเท่ากับ 0.95 ของน้ำหนักแห้งเมล็ดสูงสุด ลักษณะแบบอย่างเดียวกันนี้ได้พบเข่นกันในข้าวพันธุ์แก่นจันทร์และพันธุ์ กษ 7 (Apakupakul, 1991) ดังนั้นเส้นโค้งลดอัศติกจึงมีความถูกต้องและเหมาะสมทั้งในเชิงชีวภาพและการวิเคราะห์ผลในเชิงสถิติที่ใช้แสดงรูปแบบการเจริญเติบโตของเมล็ดในการ wrathดลองครั้งนี้ด้วย ความคล้ายคลึงกันในรูปแบบการเจริญเติบโตของเมล็ดได้ชี้ให้เห็นว่า อัตราในตรรженและแบบบริห์การปลูกไม่มีผลต่อการสะสมน้ำหนักแห้งของเมล็ดยิ่งไปกว่านั้นรูปแบบการเจริญเติบโตของเมล็ดจากสภาพการปลูกในภารถการและในแปลงนาเกษตรกรจะซ้ำกันเป็นเส้นโค้งที่ขานกันตลอดช่วงเวลาการสะสมน้ำหนักแห้งเมล็ดนั้น มีสาเหตุเนื่องจากอุณหภูมิอากาศของพื้นที่ทั้งสองแห่งไม่มีความแตกต่างกัน ผลดังกล่าวมีงานวิจัยมากมายที่ได้รายงานสนับสนุน ยกตัวอย่าง เช่น การศึกษาในข้าว (Yoshida and Hara, 1977; Fujita et al., 1984) ข้าวสาลี (Sofield et al., 1977; Wiegand and Cuellar, 1981; Stone and Nicolas, 1995a; Stone et al., 1995) และข้าวโพด (Muchow, 1990a) เป็นต้น

พารามิเตอร์ต่าง ๆ ที่เกี่ยวข้องกับคุณสมบัติการเจริญเติบโตของเมล็ดจากการประมาณค่าโดยใช้สมการลดอัศติกซึ่งประกอบด้วย น้ำหนักแห้งเมล็ดช่วงสุดท้าย อัตราสูงสุดของการสะสมน้ำหนักแห้ง และระยะเวลาการเจริญเติบโตของเมล็ด จะมีค่าใกล้เคียงกันระหว่างทรีเมนต์ในตรรжен และวิธีการปลูกแบบหว่าน้ำตามไม่แสดงความแตกต่างกับการปลูกแบบปักดำ (ดูรายละเอียดใน Apakupakul, 1997) อย่างไรก็ตามน้ำหนักแห้งเมล็ดที่ระยะต่าง ๆ ภายหลังการผสมเกสรของทรีเมนต์ NO จะมีค่ามากกว่าเมื่อเปรียบเทียบกับทรีเมนต์อื่น ๆ ที่ได้รับในตรรжен ทั้งนี้อาจเป็นเพราะว่า สภาพการบังแสงในช่วงประมาณ 15 วันก่อนระยะออกวงที่เพิ่มมากขึ้นตามลำดับความหนาแน่นพื้นที่ใบของทรีเมนต์ในตรรженมีผลทำให้เปลือกหุ้มเมล็ดเจริญเติบโตและพัฒนาการได้น้อยลงและมีขนาดที่เล็กลงด้วย (Matsushima, 1975; Yoshida, 1981) คุณสมบัติการเจริญเติบโตของเมล็ดทั้ง 3 ลักษณะที่คำนวนค่าได้นั้น จะสัมพันธ์กับการแปรผันทางด้านพัฒนาการของขนาดเปลือกหุ้มเมล็ดและกิจกรรมการสังเคราะห์แสงที่เกิดขึ้นในช่วงระหว่างการสะสมน้ำหนักแห้ง Matsushima (1975) ได้พิสูจน์ให้เห็นว่า เนื้อเมล็ดของข้าวจะถูกจำกัดโดยคุณสมบัติทางกายภาพของขนาดเปลือกหุ้มเมล็ดทั้งสองส่วนที่มีการประบูรณ์ติดกันอย่างแข็งแรงมาก และปริมาณในตรรженที่ใส่เป็นปุ๋ยแต่งหน้าในช่วงที่มีการแบ่งเซลล์ขณะสร้างเปลือกหุ้มเมล็ดหรือ

ประมาณ 17 วันก่อนระยะอกรวงจะเป็นช่วงที่มีผลสูงสุดต่อการเพิ่มขนาดเปลือกหุ้มเมล็ดและขนาดเนื้อเมล็ดด้วย นอกจากนี้ยังได้รายงานว่ากิจกรรมการเปลี่ยนคาร์บอนให้เป็นสารอาหารในกระบวนการสังเคราะห์แสงขณะที่เมล็ดกำลังเจริญเติบโตจะเพิ่มขึ้นตามปริมาณในตอรเจนที่ใส่ในช่วงระยะข้าวอกรวง ผลการทดลองที่คล้าย ๆ กันนี้ได้มีผู้วิจัยอื่น ๆ รายงานไว้ เช่นเดียวกันในพืชหลายชนิด (e.g., Yoshida, 1981; Lencoff and Loomis, 1986; Muchow and Davis, 1988; Sinclair and Horie, 1989; Connor et al., 1993; Uhart and Andrade, 1995; etc.) สำหรับลักษณะการแปรผันของความหนาแน่นจำนวนรวมและจำนวนดอก รวม¹ ก็เป็นปัจจัยสำคัญที่จำเป็นต้องคำนึงถึงเพื่อการอธิบายผลที่เกี่ยวข้องกับการเจริญเติบโตของเมล็ดด้วยเช่นกัน ผลการทดลองครั้งนี้จะมีจำนวนรวม กระถาง¹ และจำนวนดอก รวม¹ เพิ่มขึ้นตามปริมาณในตอรเจน และวิธีการปลูกแบบหัวน้ำตามจะมีจำนวนรวม เมตร² มากกว่า แต่มีจำนวนดอก รวม¹ น้อยกว่าเมื่อเปรียบเทียบกับการปลูกแบบปักดำ (ดูข้อมูลองค์ประกอบผลผลิต Table 20) ความแตกต่างของสภาพการปลูกในกระถางสามารถอธิบายได้ว่า ปริมาณในตอรเจนที่ข้าวได้รับจะถูกนำไปใช้เพื่อการเพิ่มจำนวนรวมและเพิ่มจำนวนระหว่างทั้งจำนวนเมล็ดภายในร่วงมากกว่าการเพิ่มขนาดเปลือกหุ้มเมล็ด และอัตราการเปลี่ยนคาร์บอนให้เป็นสารอาหารที่เพิ่มขึ้นในทรีเมนต์ในตอรเจนจะมีส่วนสัมพันธ์กับจำนวนรวม และจำนวนดอกที่เกิดขึ้นด้วย ส่วนสภาพการปลูกในแปลงนาเกษตรกรที่ได้รับปริมาณในตอรเจนที่เท่ากัน จะปรากฏผลขดเชือยอย่างชัดเจนระหว่างจำนวนรวม เมตร² กับจำนวนดอก รวม¹ ดังนั้นค่าพารามิเตอร์ทั้ง 3 ลักษณะที่มีส่วนเกี่ยวข้องกับการเจริญเติบโตและการสะสมน้ำหนักแห้งของเมล็ดที่แสดงค่าไม่แตกต่างกันมากนักระหว่างทรีเมนต์ในตอรเจนและแบบวิธีการปลูกจะสัมพันธ์กับขนาดเปลือกหุ้มเมล็ด ความหนาแน่นจำนวนรวม จำนวนดอกภายในร่วง และปริมาณสารอาหารจากกระบวนการสังเคราะห์แสงที่เกิดขึ้นในทรีเมนต์ในตอรเจนและแบบวิธีการปลูกนั้น ๆ นั่นเอง

ความสัมพันธ์ระหว่างอัตราสูงสุดของการสะสมน้ำหนักแห้งกับระยะเวลาการเจริญเติบโตของเมล็ดที่แสดงค่าเป็นลบได้พบเช่นเดียวกันในข้าวพันธุ์แก่นจันทร์และพันธุ์ กช 7 (Apakupakul, 1991) รวมทั้งอัญพืชอื่น ๆ จำพวกข้าวสาลี (Gebeyehou et al., 1982; Sayed and Ghadorah, 1984; van Sanford, 1985; Bruckner and Frohberg, 1987; Triboi, 1990; Mou et al., 1994) ข้าวโพด (Mostafavi and Cross, 1990) เพิร์ล米ลเลท (Bieler et al., 1993) และพืชนามัน oilseed rape (Nanda et al., 1994) น้ำหนักแห้งเมล็ดโดยสภาพทั่ว ๆ ไปจะแปรผันกับอัตราการสะสมน้ำหนักแห้งและระยะเวลาการเจริญเติบโตของเมล็ด ความสัมพันธ์ทั้งสองลักษณะที่เกิดจากน้ำหนักแห้งเมล็ดกับอัตราการสะสมน้ำหนักแห้ง และน้ำหนักแห้งเมล็ดกับระยะเวลาการเจริญเติบโตของเมล็ด จะมีบทบาทสำคัญสำหรับการพิจารณาระดับผลผลิตของพืชปลูกที่เก็บเกี่ยวเมล็ด การศึกษาลักษณะความแปรปรวนต่าง ๆ ทางด้าน Jinai ในไทยที่เกี่ยวข้องกับพารามิเตอร์การเจริญเติบโตของเมล็ดในงานวิจัยของ Wiegand and Cuellar (1981), Metzger et al. (1984), Wong and Baker (1986) and

Nanda et al. (1994) ได้รายงานว่า น้ำหนักเมล็ดแห้งมีความสัมพันธ์ในเชิงบวกกับระยะเวลาการเจริญเติบโตของเมล็ด ในทางตรงกันข้าม Jones et al. (1979), Loss et al. (1989), Mostafavi and Cross (1990), Hunt et al. (1991), Duguid and Brule-Babel (1994), Mou et al. (1994) and Darroch and Baker (1995) ได้พบว่า น้ำหนักแห้งเมล็ดมีความสัมพันธ์กับอัตราการสะสมน้ำหนักแห้งมาก กว่าความสัมพันธ์กับระยะเวลาการเจริญเติบโตของเมล็ด ส่วน Gebeyehou et al. (1982), Fujita et al. (1984) and Bieler et al. (1993) ได้พบว่า น้ำหนักแห้งเมล็ดจะมีความสัมพันธ์กันทั้งสองลักษณะ กับอัตราการสะสมน้ำหนักแห้งและระยะเวลาการเจริญเติบโตของเมล็ด ผลความแตกต่างของงานวิจัยเหล่านี้สามารถนำมาประยุกต์ใช้ให้มีความเหมาะสมสำหรับการผลิตข้าวในสภาพพื้นที่ที่มักจะประสบภัยกับปัญหาความแห้งแล้งภายในช่วงระยะเวลาอกรวงและผสมเกสร ซึ่งกลยุทธ์ในการยกระดับผลผลิตข้าวสามารถกระทำได้โดยการเพิ่มอัตราการสะสมน้ำหนักแห้งของเมล็ดกับการเพิ่มจำนวนเมล็ดให้มากขึ้นด้วยวิธีการสร้างหอดเลือกพันธุ์ หรือการปรับปรุงพันธุ์ให้มีการเจริญเติบโตที่ดีและมีประสิทธิภาพการสังเคราะห์แสงที่สูงขึ้นในช่วงระหว่างการสะสมน้ำหนักแห้งของเมล็ด จุดสำคัญของประเด็นปัญหานี้คือการศึกษารายละเอียดเพิ่มเติมสำหรับงานวิจัยที่จะกระทำการทดลองในข้าวพันธุ์ต่าง ๆ ด้วย

ผลการศึกษาความชื้นเมล็ดข้าวขณะที่มีการสะสมน้ำหนักแห้งในช่วงประมาณ 100°Cd (5-6 วัน) ภายหลังระยะเวลาการผสมเกสรที่เกิดขึ้นในการทดลองครั้งนี้มีความแตกต่างจากงานวิจัยของ Rahman and Yoshida (1985) ซึ่งได้พบว่า ความชื้นเมล็ดมีค่าลดลงในช่วง 3 วันแรกและความชื้นเมล็ดจะเพิ่มขึ้นสูงสุดเมื่อประมาณ 6 วันภายหลังการผสมเกสร ส่วนงานวิจัยอีกการทดลองนึงของ Yoshida and Hara (1977) ได้แสดงให้เห็นว่า ความชื้นเมล็ดมีค่าคงที่และไม่ได้ลดลงในช่วง 2-3 วันภายหลังการผสมเกสร ผลขัดแย้งในงานวิจัยที่ยกตัวอย่างมาเนื่องจากความแตกต่างของคุณสมบัติลักษณะประจำพันธุ์ข้าวแต่ละพันธุ์และอาจรวมถึงสภาพแวดล้อมทางภูมิอากาศขณะนั้น สำหรับลักษณะการเปลี่ยนแปลงความชื้นเมล็ดที่เกิดขึ้นในข้าวพันธุ์เชียงพัทลุงทั้งสภาพการปลูกในกระบวนการและในแปลงนาเกษตรสามารถจำแนกออกเป็น 3 ช่วงระยะที่แตกต่างกันโดยระยะแรกความชื้นเมล็ดจะเพิ่มขึ้นภายหลังระยะเวลาการผสมเกสร ต่อมาในระยะที่สองความชื้นเมล็ดจะลดลงอย่างรวดเร็ว และระยะที่สามความชื้นเมล็ดยังคงลดลงอย่างต่อเนื่องแต่มีอัตราการลดลงที่ช้ากว่าระยะที่สอง ลักษณะการเปลี่ยนแปลงความชื้นเมล็ดทั้ง 3 ระยะที่กล่าวมาได้แสดงถึงพัฒนาการของเมล็ด กล่าวคือ ระยะแรกจะเป็นระยะสร้างน้ำนม ระยะที่สองจะเป็นระยะสร้างแป้งอ่อน และระยะที่สามจะเป็นระยะสร้างแป้งแข็ง ตามลำดับ และขณะที่เมล็ดมีค่าความชื้นเท่ากับ 18-20% ที่ช่วงประมาณค่าความร้อนสะสม 400°Cd (22 วัน) ภายหลังการผสมเกสรนั้น ระยะเวลาดังกล่าวจะเป็นช่วงที่เหมาะสมที่สุดสำหรับการเก็บเกี่ยวผลผลิตทั้งในแพริมาณและคุณภาพของข้าว (Nangju and De Datta, 1970)

การวิเคราะห์ผลผลิตและองค์ประกอบผลผลิต

ข้าวที่ปลูกในสภาพไม่ใส่ในต่อเจนโดยทั่วไปจะมีระดับผลผลิตต่ำกว่าเมื่อใส่ในต่อเจนไม่ว่าข้าวพันธุ์นั้น ๆ จะปลูกด้วยเมล็ดแบบปอยแตง แบบยอดหลุม แบบหัวน้ำตาม หรือจะเป็นวิธีการปลูกแบบปักดำ (Sasahara and Itoh, 1989; Schiner et al., 1990a, b; Dingkuhn et al., 1991; Johnson et al., 1991; Dingkuhn et al., 1992a; Kropff et al., 1993) สำหรับความแตกต่างของผลผลิตระหว่างแบบวิธีการปลูกที่ได้รับในต่อเจนอัตราเดียวกันจะผันแปรตามอายุพันธุ์ข้าว ผลงานวิจัยของ Dingkuhn et al. (1992) ได้รายงานว่า ข้าวพันธุ์อายุสั้น (95-105 วัน) ที่ปลูกแบบหัวน้ำตามจะให้ผลผลิตสูงกว่าการปลูกแบบปักดำ เนื่องจากสภาพการปลูกแบบหัวน้ำตามไม่มีขั้นตอนการถอนกล้า ระบบหากไม่ถูกกระทบกระเทือนในช่วงแรกของการเจริญเติบโต ทำให้มีระยะเวลาเจริญเติบโตและพัฒนาการทางลำต้นและใบที่ยาวนานกว่า และสามารถสร้างน้ำหนักแห้งและผลผลิตได้มากกว่าด้วย ส่วนข้าวพันธุ์อายุปานกลาง (110-120 วัน) และข้าวพันธุ์อายุยาว (130-140 วัน) จะแสดงผลในทางตรงกันข้ามโดยการปลูกแบบหัวน้ำตามจะมีผลผลิตต่ำกว่าการปลูกแบบปักดำ สภาพการเจริญเติบโตของต้นกล้าในช่วงแรก ๆ ที่แตกต่างกันระหว่างแบบวิธีการปลูกนั้นมีผลกระทบกระเทือนน้อยมากต่อระดับผลผลิต ขณะเดียวกันการเจริญเติบโตและพัฒนาการทางต้นลำต้นและใบที่มากเกินไปตามช่วงเวลาที่ยาวนานขึ้นจะก่อให้เกิดผลเสียที่เกี่ยวข้องกับสภาพการบังแสง ปริมาณในต่อเจนในส่วนใบมีน้อย พืชแสดงอาการขาดในต่อเจนอย่างรุนแรง อัตราการเจริญเติบโตและการสร้างน้ำหนักแห้งในช่วงหลังขึ้นที่ข้าวเข้าสู่ระยะสีบพันธุ์จะลดลงอย่างเด่นชัดตั้งแต่วิจารณ์ที่กล่าวไว้แล้วในตอนต้น ลักษณะเช่นนี้จะสอดคล้องกับผลการตอบสนองของแบบวิธีการปลูกข้าวพันธุ์เชิงพัฒลุ่มซึ่งมีอายุเก็บเกี่ยวประมาณ 125 และ 135 วัน ภายหลังการหัวนเมล็ดข้าวออก ตามลำดับสำหรับสภาพการปลูกแบบหัวน้ำตามและแบบปักดำ นอกจากนี้สภาพการหักล้มช่วงก่อนระยะออกรวงในแปลงนาบางแปลงของเกษตรกรที่มีการปลูกแบบหัวน้ำตามจะมีผลโดยตรงต่อระดับผลผลิตที่ลดลง ซึ่งสภาพที่เกิดการหักล้มได้ข้อความการลำเลียงน้ำและธาตุอาหารรวมทั้งการสร้างสารสัมเคราะห์ตลอดจนการเคลื่อนย้ายน้ำหนักแห้งจากส่วนต่าง ๆ ของพืชไปสะสมในส่วนเมล็ดจะถูกจำกัดอย่างรุนแรง

ผลผลิตของข้าวที่สัมพันธ์กับลักษณะต่าง ๆ ขององค์ประกอบผลผลิตสามารถคำนวณหาค่าได้โดยตรงจากองค์ประกอบผลผลิตพื้นฐานที่เกิดจากผลคูณของจำนวนเมล็ด พื้นที่¹ กับน้ำหนักเฉลี่ยหนึ่งเมล็ด โดยจำนวนเมล็ด พื้นที่¹ จะมีค่าเท่ากับผลคูณระหว่างจำนวนรวง พื้นที่¹ กับจำนวนดอก รวง⁻¹ และเปอร์เซนต์เมล็ดเต็ม $\times 10^2$ หรือเท่ากับผลคูณของจำนวนดอก พื้นที่¹ กับเปอร์เซนต์เมล็ดเต็ม $\times 10^2$ ส่วนน้ำหนักเฉลี่ยหนึ่งเมล็ดสามารถคำนวณได้จากน้ำหนักแห้ง 1,000 เมล็ด $\times 10^3$ ดังนั้นระดับผลผลิตที่แปรผันตามอัตราการใส่ในต่อเจนและแบบวิธีการปลูกสามารถ

พิจารณาและอธิบายผลได้จากความแตกต่างของจำนวนรวม จำนวนดอก จำนวนเมล็ด และน้ำหนักเฉลี่ยของเมล็ด ก่อนว่าคือ ผลผลิตที่เพิ่มขึ้นตามปริมาณในโตรเจนที่ข้าวได้รับ จะเป็นผลสืบต่อเนื่องจากสาเหตุสำคัญที่ในโตรเจนมีผลโดยตรงต่อการเพิ่มจำนวนหน่อที่ให้กำเนิดวงได้มากกว่า (รังสรรค์ อาทิตย์พงษ์กุล, 2538, Matsushima, 1975) และมีจำนวนดอกเพิ่มปริมาณมากขึ้น (Matsushima, 1975; Yoshida, 1981; Sasahara and Itoh, 1989; Apakupakul, 1991; Senanayake et al., 1996) อย่างไรก็ตามจำนวนรวมและจำนวนต่อหูก็เพิ่มขึ้นจะส่งผลทำให้เปอร์เซนต์เมล็ดเต็มมีแนวโน้มลดลงและเมล็ดมีน้ำหนักเฉลี่ยน้อยลงด้วย ความแตกต่างของผลผลิตระหว่างทรีตเมนต์ในโตรเจนจากการศึกษาครั้งนี้ได้แสดงให้เห็นว่า ปริมาณในโตรเจน 75 กิโลกรัม เอกตร¹ หรือเท่ากับ 12 กิโลกรัม ไร่¹ (อัตราในโตรเจนของทรีตเมนต์ N1) จะเป็นอัตราที่เหมาะสมที่สุดของдинชุดบางนราสำหรับการผลิตข้าวพืชเขียงพัทลุงในสภาพภูมิอากาศของภาคใต้ ส่วนกรณีของการปลูกแบบบริหินว่าน้ำดมที่มีผลผลิตต่ำกว่าการปลูกแบบปักดำน้ำ แม้ว่าบริหินจะการปลูกแบบหัวน้ำดมจะสามารถสร้างจำนวนรวมได้มากกว่าจากสาเหตุที่มีจำนวนต้นและหน่อน้ำแน่นกว่า แต่จำนวนดอก เมตร² จำนวนดอก รวม¹ และจำนวนเมล็ด เมตร² มีค่าน้อยกว่าอย่างเด่นชัด ความแตกต่างขององค์ประกอบผลผลิตระหว่างแบบบริหินและค่าสัมประสิทธิ์สัมพันธ์ระหว่างผลผลิตกับองค์ประกอบผลผลิตต่างกันล้วนที่ปรากฏในวิธีการปลูกแต่ละแบบ ได้พ็บเข่นเดียวกันกับผลงานวิจัยของ Schnier et al. (1990a, b), Dingkuhn et al. (1991, 1992a) การศึกษาผลผลิตของการทดลองครั้งนี้สามารถสรุปผลสำคัญ ๆ ได้ว่า จำนวนดอก เมตร² และจำนวนดอก รวม¹ จะเป็นปัจจัยจำกัดผลผลิตของการปลูกข้าวแบบหัวน้ำดม ส่วนจำนวนรวม เมตร² จะเป็นปัจจัยจำกัดผลผลิตของการปลูกข้าวแบบปักดำ การยกระดับผลผลิตของข้าวหัวน้ำดมด้วยการเพิ่มจำนวนดอก เมตร² หรือจำนวนดอก รวม¹ ให้สูงขึ้นสามารถกระทำได้โดยการศึกษาสัดส่วนการแบ่งใส่ในโตรเจนให้เหมาะสมเพื่อป้องกันไม่ให้ข้าวมีการเจริญเติบโตที่มากจนเกินไปในช่วงแรก ๆ ก่อนการสร้างคาดอกพร้อมกับเพิ่มในโตรเจนให้เพียงพอในช่วงพัฒนาการของวงขณะสร้างดอกบนระแหงชุดต่าง ๆ ระหว่างระยะพัฒนาการตามอัตรากำลังที่ IX-XII ตามการจัดแบ่งของ Matsushima ส่วนผลผลิตของการปลูกแบบปักดำที่สัมพันธ์กับการเพิ่มจำนวนรวมนั้น การเพิ่มความหนาแน่นของจำนวนกอรือการปักดำถ้าที่มีระยะระหว่างกอแคบจะมีผลต่อการเพิ่มจำนวนหน่อที่ให้กำเนิดวงได้มากขึ้นนั่นเอง อย่างไรก็ตามจำนวนดอกที่เพิ่มขึ้นตามอัตราการใส่ในโตรเจนและแบบบริหินจะมีเปอร์เซนต์เมล็ดเต็มลดลงซึ่งสามารถพบได้ในข้าวจากปีนิกาพันธุ์ต่าง ๆ ด้วย (Sasahara and Itoh, 1989) และเปอร์เซนต์เมล็ดเต็มที่ลดลงในการทดลองครั้งนี้น่าจะมีส่วนเกี่ยวข้องที่สัมพันธ์กับการเพิ่มขึ้นของพื้นที่ใบคล้าย ๆ กับที่เกิดขึ้นในข้าวพันธุ์ไฮอาร์ 8 (Fagade and de Datta, 1971)

เมื่อพิจารณาถึงความสัมพันธ์ระหว่างผลผลิตกับองค์ประกอบผลผลิตพื้นฐาน (จำนวนเมล็ดและน้ำหนักเฉลี่ยหนึ่งเมล็ด) ลักษณะความสัมพันธ์เชิงบวกแบบบีเกรฟชันเส้นตรงระหว่างผล

ผลิตกับจำนวนเมล็ดที่เกิดขึ้นในทรีตเมนต์ในต่อเรجنและวิธีการปลูกแต่ละแบบอธิบายได้ว่า จำนวนเมล็ด พื้นที่¹ จะเป็นปัจจัยจำกัดผลผลิตของข้าว ลักษณะเช่นนี้ปรากฏผลอย่างเดียวกันใน ข้าวพันธุ์อื่น ๆ (Durr, 1984; Apakupakul, 1991) และในชัยพีชจำพวกข้าวบาร์เลย์ (Gbongue, 1985) ข้าวสาลี (Apakupakul, 1987) และเพร์ล米ลเลท (Diouf, 1990) การเพิ่มจำนวนเมล็ดเพื่อยกระดับผลผลิตจะเกี่ยวข้องกับจำนวนราก จำนวนดอก และเปอร์เซนต์เมล็ดเต็มดังรายละเอียดข้างต้น สำนักความสัมพันธ์ระหว่างผลผลิตกับน้ำหนัก 1,000 เมล็ดของทรีตเมนต์ในต่อเรجنจะมีความแตกต่าง เมื่อเปรียบเทียบกับวิธีการปลูก โดยผลผลิตของทรีตเมนต์ในต่อเรจนจะมีค่าลดลงเมื่อน้ำหนัก 1,000 เมล็ดมีค่าเพิ่มขึ้น หรืออีกนัยหนึ่งคือมีความสัมพันธ์เชิงลบแบบบีเกรสชันเส้นตรงนั้นเอง ในขณะที่ผลผลิตของวิธีการปลูกแต่ละแบบไม่แปรผันกับน้ำหนัก 1,000 เมล็ด ยิ่งกว่านั้นความสัมพันธ์ระหว่างน้ำหนัก 1,000 เมล็ดกับจำนวนเมล็ดของทรีตเมนต์ในต่อเรجنและแบบบีเกรสชันเส้นตรงนั้นเอง จะพบในรูปแบบอย่างเดียวกันกับความสัมพันธ์ระหว่างผลผลิตกับน้ำหนัก 1,000 เมล็ดด้วย ความสัมพันธ์ทั้งสองลักษณะที่เกิดขึ้นในทรีตเมนต์ในต่อเรจนได้แสดงผลสนับสนุนให้เห็นว่า น้ำหนักเฉลี่ยของเมล็ดจะเป็นปัจจัยจำกัดอีกปัจจัยหนึ่งที่สำคัญต่อการเพิ่มผลผลิตของข้าวให้สูงขึ้น และจำนวนเมล็ดที่เพิ่มขึ้นแต้มน้ำหนักเฉลี่ยเมล็ดลดลงได้มีการรายงานผลไว้ เช่นเดียวกันในข้าวพันธุ์แก่นเจนทร์และพันธุ์ กษ 7 (Apakupakul, 1991) โดยน้ำหนักเฉลี่ยของเมล็ดข้าวพันธุ์แก่นเจนทร์และพันธุ์ กษ 7 จะเริ่มมีน้ำหนักเมล็ดลดค่าลงเมื่อจำนวนเมล็ด เมตร² มีค่าเท่ากับ 16,000 และ 20,000 เมล็ด เมตร² ตามลำดับ ผลการทดลองจากสภาพการปลูกข้าวในกระถางครั้งนี้สนับสนุnlักษณะการเจริญเติบโตและการสะสมน้ำหนักแห้งของเมล็ดว่า สภาพการบังแสงที่เพิ่มขึ้นตามลำดับความหนาแน่นพื้นที่ใบที่สัมพันธ์กับปริมาณในต่อเรจนจะมีผลทำให้ขนาดเปลือกหุ้มเมล็ดและน้ำหนักเฉลี่ยเมล็ดลดลงอย่างชัดเจน อย่างไรก็ตามน้ำหนัก 1,000 เมล็ดของข้าวพันธุ์เฉลี่ยพัทลุงที่บันทึกได้จากสภาพการปลูกในกระถางและในแปลงนาเกษตรกรรมมีความแตกต่างน้ำหนักเมล็ดเพียง 1.79 กรัม หรือมีค่าเท่ากับ 1.79 มิลลิกรัม เมล็ด⁻¹ เท่านั้น ซึ่งมีความสอดคล้องกับข้อคิดเห็นของ Yoshida (1981) ที่ได้ให้ข้อสรุปว่า น้ำหนักเมล็ดข้าวในแต่ละพันธุ์จะมีค่าค่อนข้างคงที่ตามลักษณะประจำพันธุ์เนื่องจากขนาดเมล็ดจะถูกควบคุมโดยขนาดของเปลือกหุ้ม แต่ในสภาพการปลูกที่มีการบังแสงอย่างรุนแรงจะมีผลทำให้เปลือกหุ้มเมล็ดมีขนาดลดลงและน้ำหนักเมล็ดจะมีค่าลดลงตามไปด้วย

การก่อเกิดและการแพร่พันของดัชนีการเก็บเกี่ยว

ดัชนีการเก็บเกี่ยวข้าวขณะเริ่มสะสมน้ำหนักแห้งเมล็ดภายหลังการผสมเกสรจะมีค่าเพิ่มขึ้นแบบเส้นตรงจะกระตุ้นให้รับสัมผัสถึงความสุกแทบทันที ลักษณะการก่อเกิดดัชนีการเก็บเกี่ยวที่มีรูปแบบอย่างเดียวกันนี้สามารถพบได้ในข้าวสาลี (Amir and Sinclair, 1991a; Gent, 1994; Moot et

et al., 1996) ข้าวโพด (Muchow, 1990a) ข้าวฟ่าง (Muchow, 1990b) ถั่วเหลือง (Salado-Navarro et al., 1985; Spaeth and Sinclair, 1985) ถั่วแขก (Lynch and White, 1992) และทานตะวัน (Chapman et al., 1993) อัตราการเพิ่มขึ้นของค่าดัชนีการเก็บเกี่ยวข้าวพันธุ์เขียงพัทลุงจากสภาพการปลูกในแปลงนาเกษตรกรรมแบบหัวน้ำตามไม่แสดงความแตกต่างจากการปลูกแบบปักดำ เมื่อจากอัตราการสะสมน้ำหนักแห้งของเมล็ดมีค่าใกล้เคียงกันระหว่างแบบวิธีการปลูกทั้งสองดังผลวิจารณ์ที่กล่าวมาแล้วข้างต้นในหัวข้อของรูปแบบการเจริญเติบโตของเมล็ด ซึ่งในการศึกษาครั้งนี้ค่าดัชนีการเก็บเกี่ยวของข้าวพันธุ์เขียงพัทลุงที่เกิดจากการรวมข้อมูลทั้งสองแบบวิธีการปลูกจะมีค่าประมาณเท่ากับ $6.0 \times 10^{-4} \text{ Cd}^{-1}$ หรือเท่ากับ 0.011 วัน⁻¹ โดยมีค่าใกล้เคียงกับพืชกลุ่มมี 3 หัว ๆ ไปจำพวกถั่วเหลือง (Sinclair, 1986) ข้าวสาลี (Amir and Sinclair, 1991) และทานตะวัน (Chapman et al., 1993) แต่จะมีค่าต่ำกว่าพืชกลุ่มมี 4 หัวของข้าวโพดและข้าวฟ่างซึ่งมีค่าเท่ากับ 0.015 และ 0.019 วัน⁻¹ ตามลำดับ (Muchow, 1990a, b)

ความแตกต่างกันระหว่างวิธีการปลูกแบบหัวน้ำตามกับการปลูกแบบปักดำซึ่งได้กล่าวไว้ในรายละเอียดสำคัญต่าง ๆ ไว้แล้วในตอนต้นที่ประกอบด้วย ความหนาแน่นจำนวนต้นหลักที่เกิดจากการหัวน้ำเมล็ดข้างอกและจำนวนต้นกล้าของการปักดำ การเจริญเติบโตที่ช่วงกั้นและผลกระทบต่อระบบจากจากการถอนกล้า ความสามารถในการสร้างหน่อ สภาพการบังแสง ปริมาณไนโตรเจนในส่วนใบ อัตราการเจริญเติบโตทางลำต้นและใบในช่วงก่อนและหลังระยะออกงาม และอัตราการเปลี่ยนควรบอนให้เป็นสารอาหารที่เกิดจากการสังเคราะห์แสงขณะมีการสะสมน้ำหนักแห้งเมล็ดนั้น ความแตกต่างเหล่านี้จะมีผลโดยตรงที่สืบเนื่องต่อ กันอย่างเป็นขั้นตอนทำให้ระยะพัฒนาการต่าง ๆ (ยกเว้นระยะเริ่มยึดลำต้น) ของการปลูกแบบหัวน้ำตามปรากฏขึ้นก่อนการปลูกแบบปักดำรวมทั้งลักษณะการก่อเกิดดัชนีการเก็บเกี่ยวด้วย แม้ว่าวิธีการปลูกแบบหัวน้ำตามจะเริ่มต้นและเสร็จสิ้นการก่อเกิดดัชนีการเก็บเกี่ยวได้เร็วกว่า แต่ช่วงพัฒนาการของดัชนีการเก็บเกี่ยวกับมีระยะเวลาที่สั้นกว่าการปลูกแบบปักดำอย่างเด่นชัด สมมติฐานสำคัญสำหรับการอธิบายผลในส่วนนี้จะสัมพันธ์กับความแตกต่างของชุดลำดับของหน่อที่เกิดขึ้นระหว่างแบบวิธีการปลูกทั้งสอง เมื่อพิจารณาตามรูปแบบจำลองการเกิดหน่อของข้าวที่เสนอโดย Katayama (รังสรรค์ อาภาดีพงษ์กุล, 2536) นั้น หน่อชุดแรกที่ปรากฏจากต้นหลักจะเกิดขึ้นก่อนหน่อนชุดที่สอง และหน่อนชุดที่สาม ตามลำดับ ประกอบกับสภาพทั่ว ๆ ไปของการปลูกแบบหัวน้ำตามที่มีจำนวนต้นหลักและจำนวนหน่อนหนาแน่นกว่าจะเกิดผลกระทบโดยตรงทำให้การสร้างหน่อมีระยะเวลาสั้นลงและจำนวนหน่อต้น⁻¹ น้อยกว่าการปลูกแบบปักดำ ชุดของหน่อนส่วนใหญ่ที่เกิดขึ้นในสภาพการปลูกแบบหัวน้ำตามจะเป็นหน่อนชุดแรกเกือบทั้งหมด ขณะที่ชุดของหน่อนในสภาพการปลูกแบบปักดำจะมีมากถึงหน่อนชุดที่สองหรืออาจสามารถพัฒนาได้ถึงหน่อนชุดที่สามด้วย ดังนั้นช่วงระยะการ

อุกรวงและการลดลงน้ำหนักแห้งเมล็ดของการปลูกแบบหัวน้ำตามที่เกิดขึ้นได้เร็วกว่าและมีระยะเวลาที่สั้นกว่าจะสัมพันธ์กับจำนวนหน่อต้น⁷ และคุณภาพหน่อที่มีน้อยกว่านั้นเอง

ค่าดัชนีการเก็บเกี่ยวข้าวขณะสุกแก่ทางศรีวิทยาจากสภาพการปลูกในกระถาง แม้ว่าไม่มีความแตกต่างในทางสถิติระหว่างที่รีตเมนต์ในตอรเจน แต่ค่าเฉลี่ยที่บันทึกได้จะแสดงแนวโน้มลดลงตามระดับการเพิ่มปริมาณในตอรเจนทั้ง ๆ ที่ระดับผลผลิตระหว่างที่รีตเมนต์ที่ไม่ใส่กับที่ใส่ในตอรเจนจะมีความแตกต่างกันอย่างชัดเจนนั้น เกิดจากสาเหตุที่เปอร์เซนต์เมล็ดเต็มมีค่าลดลงเมื่อข้าวได้รับปริมาณในตอรเจนเพิ่มขึ้น โดยความสัมพันธ์ระหว่างดัชนีการเก็บเกี่ยวกับเปอร์เซนต์เมล็ดเต็มแสดงค่าสัมประสิทธิ์สหสัมพันธ์ (r) ค่อนข้างสูงที่ระดับความเชื่อมั่น P น้อยกว่า 0.001 ($r=0.825^{***}$) ผลงานวิจัยในข้าวทั้งสภาพที่ไม่ใส่และที่ใส่ในตอรเจนของ Tanaka *et al.* (1996, cited in Yoshida, 1981) ได้แสดงให้เห็นว่า ค่าดัชนีการเก็บเกี่ยวข้าวจะมีความสัมพันธ์แบบผกผันกับความสูงและอายุพันธุ์ข้าวที่เพิ่มขึ้น ในกรณีลดลงครั้งนี้ข้าวพันธุ์เฉียงพัทลุงซึ่งเป็นข้าวพันธุ์อายุยาวและมีความสูงเพิ่มขึ้นตามระดับปริมาณในตอรเจนที่ได้รับ ดังนั้นค่าดัชนีการเก็บเกี่ยวของข้าวพันธุ์นี้จะมีค่าลดลงตามลำดับเมื่อได้รับในตอรเจนเพิ่มขึ้นซึ่งมีความสอดคล้องกับผลงานดังกล่าวด้วย สำหรับการปลูกแบบหัวน้ำตามที่มีค่าดัชนีการเก็บเกี่ยวน้อยกว่าการปลูกแบบปักดำจะเป็นสภาพที่เกิดขึ้นได้ทั่ว ๆ ไปในข้าวเกือบทุกพันธุ์ โดยข้าวพันธุ์นี้ เมื่อปลูกด้วยวิธีการหัวน้ำตามจะให้ผลผลิตในระดับที่ต่ำกว่า แต่การสร้างน้ำหนักแห้งทั้งหมดของพืชส่วนหนึ่งอดินจะมีค่ามากกว่าหรือเท่ากับวิธีการปลูกแบบปักดำ ดังรายงานวิจัยของ Dingkuhn *et al.* (1990a, 1991)

ค่าดัชนีการเก็บเกี่ยวที่สัมพันธ์กับผลผลิตและน้ำหนักแห้งทั้งหมดของพืชส่วนหนึ่งอดินซึ่งแปรผันกับปริมาณในตอรเจนของสภาพการปลูกในกระถางนั้น ความสัมพันธ์ทั้งสองลักษณะที่เกิดขึ้นจะแสดงผลอย่างเดียวกันกับสภาพการปลูกในแปลงนาเกษตรกรรมแบบวิธีการหัวน้ำตามแต่แสดงผลในทางตรงกันข้ามกับวิธีการปลูกแบบบักดำ ค่าสัมประสิทธิ์สหสัมพันธ์ได้บ่งชี้ให้เห็นว่า ดัชนีการเก็บเกี่ยวของสภาพการปลูกแบบหัวน้ำตามและแบบบักดำ จะขึ้นอยู่กับปริมาณน้ำหนักแห้งทั้งหมดของพืชส่วนหนึ่งอดินและระดับผลผลิต ตามลำดับ การศึกษาอัตราเมล็ดพันธุ์ที่ใช้หัวน้ำ และความหนาแน่นจำนวนกอที่พ่อเมماء รวมทั้งการศึกษาสัดส่วนและจำนวนครั้งของการใส่ในตอรเจนที่ช่วงการเจริญเติบโตและพัฒนาการระยะต่าง ๆ อย่างเหมาะสมสำหรับข้าวพันธุ์เฉียงพัทลุง เพื่อป้องกันการเจริญเติบโตทางลำต้นและใบที่มีมากเกินไปจนทำให้เกิดสภาพการบังแสงและการขาดในตอรเจนอย่างรุนแรงในระยะสร้างรวงและระยะการลดลงน้ำหนักแห้งของเมล็ดรวมถึงผลที่มีต่อการหักล้ม นับว่ามีความสำคัญมากที่จะทำให้ดัชนีการเก็บเกี่ยวมีค่าสูงขึ้นพร้อมกับยกระดับผลผลิตให้เพิ่มขึ้นด้วย

ลักษณะความสัมพันธ์ระหว่างผลผลิตกับน้ำหนักแห้งทั้งหมดของพืชส่วนหนึ่งอดินที่แสดงในรูปสมการรีเกรรสชันเส้นตรงของภาระลดลงครั้งนี้จะเป็นอย่างเดียวกันกับที่เกิดขึ้นในพืช

ชนิดอื่น ๆ (e.g., Baker and Gebeyehou, 1982; Prihar and Stewart, 1990; Sinclair et al., 1990; Pilbeam, 1996) ข้อคิดเห็นของ Sinclair et al. (1990), Prihar and Stewart, (1990) and Pilbeam (1996) ได้วิจารณ์ว่า ค่าจุดตัดแกน Y ของสมการที่เกิดขึ้นจากความสัมพันธ์ดังกล่าวเมื่อวิเคราะห์ผลในทางสถิติควรจะมีค่าไม่แตกต่างจากศูนย์ อย่างไรก็ตามค่าจุดตัดแกน Y อาจจะมีค่าเป็นบวกหรือมีค่าเป็นลบก็ได้ในบางสภาพการปลูกที่มีปัจจัยภายนอกไม่เหมาะสมต่อการเจริญเติบโตของพืช ยกตัวอย่างเช่น สภาพการขาดน้ำในข้าวโพด (Sinclair et al., 1990; Pilbeam, 1996) และในข้าวฟ่าง (Prihar and Stewart, 1991) สำหรับสภาพการปลูกข้าวในกระถางของทรีเมนต์ในโครงเจนและในแปลงนาเกษตรกรโดยวิธีการว่าน้ำตามที่มีจุดตัดแกน Y เป็นบวกและแตกต่างจากศูนย์จะเกิดจากสาเหตุที่ประสิทธิภาพการสังเคราะห์แสงมีค่าลดลงในช่วงที่มีการสะสมน้ำหนักแห้งของเมล็ดโดยประสิทธิภาพการสังเคราะห์แสงจะลดลงตามลำดับเมื่อน้ำหนักแห้งทั้งหมดของพืชส่วนหนึ่งอดินมีปริมาณเพิ่มขึ้น ซึ่งความสัมพันธ์ระหว่างค่าตัวคงที่การเก็บเกี่ยวผลผลิตกับปริมาณการสร้างน้ำหนักแห้งทั้งหมดของพืชส่วนหนึ่งอดินได้แสดงให้เห็นว่า ตัวคงที่การเก็บเกี่ยวของทรีเมนต์ในโครงเจนและในแปลงนาห่ว่าน้ำตามที่มีค่าลดลงอย่างชัดเจนเมื่อน้ำหนักแห้งทั้งหมดของพืชส่วนหนึ่งอดินมีค่ามากกว่า 250 กรัม กระถาง¹ และมากกว่า 800 กรัม เมตร² ตามลำดับ นอกจากปัญหานี้แล้วสภาพการหักล้มในแปลงนาห่ว่าน้ำตามเนื่องจากมีการสร้างน้ำหนักแห้งทั้งหมดของพืชส่วนหนึ่งอดินที่มากเกินไป จะเป็นปัจจัยสำคัญอีกประการหนึ่งที่ทำให้จุดตัดแกน Y มีค่าเป็นบวกและแสดงผลการวิเคราะห์ทางสถิติที่แตกต่างจากศูนย์ด้วย ดังนั้นการเพิ่มระดับผลผลิตในแปลงนาห่ว่าน้ำตามจะมีข้อจำกัดโดยเฉพาะอย่างยิ่งเมื่อน้ำหนักแห้งทั้งหมดของพืชส่วนหนึ่งอดินมีค่าเพิ่มขึ้น และผลการวิเคราะห์เกรสรชันที่มีปัจจัยจำกัดภายนอกเข้ามาเกี่ยวข้องในสภาพการปลูกแบบห่ว่าน้ำตามที่กล่าวมาข้างต้นนี้ จะให้ค่าจุดตัดแกน Y ที่มีค่าเป็นบวกและสัมประสิทธิ์เกรสรชันจะมีค่าลดลง ในทางตรงกันข้ามความสัมพันธ์ระหว่างผลผลิตกับน้ำหนักแห้งทั้งหมดของพืชส่วนหนึ่งอดินจากสภาพแปลงนาเกษตรกรที่มีวิธีการปลูกแบบปักดำจะมีจุดตัดแกน Y ที่มีค่าไม่แตกต่างจากศูนย์นั้นได้ซึ่งให้เห็นว่า ผลผลิตเป็นสัดส่วนกับน้ำหนักแห้งทั้งหมดของพืชส่วนหนึ่งอดินและตัวคงที่การเก็บเกี่ยวจะมีค่าคงที่ที่ไม่เปลี่ยนแปลงกับปริมาณการสร้างน้ำหนักแห้งทั้งหมดของพืชส่วนหนึ่งอดิน ($r=0.077^{NS}$, Fig. 31) ความแตกต่างของค่าจุดตัดแกน Y ในสมการรีเกรสรชันเส้นตรงที่กล่าวมาทั้งหมดนี้จะมีความสำคัญต่อการพิจารณาถึงความแม่นยำสำหรับการประมาณค่าผลผลิต ผลการเปรียบเทียบค่าผลผลิตที่มีผลกระทบจากสภาพการปลูกที่ไม่เหมาะสมต่อการเจริญเติบโตของพืช โดยเฉพาะอย่างยิ่งกรณีของการปลูกในแปลงนาเกษตรกรแบบวิธีห่ว่าน้ำตามนั้น การคำนวณค่าผลผลิตจากวิธีการรีเกรสรชันเส้นตรงที่สมพันธ์กับน้ำหนักแห้งทั้งหมดของพืชส่วนหนึ่งอดิน จะเป็นวิธีการที่ให้ค่าถูกต้องและน่าเชื่อถือกว่าวิธีการคำนวณค่าผลผลิตจากผลคูณระหว่างน้ำหนักแห้งทั้งหมดของพืชส่วนหนึ่งอดินกับค่าเฉลี่ยเลขคณิตของตัวคงที่การเก็บเกี่ยว ทำนอง

เดียวกับสมประสิทธิ์เกรสรชันที่แสดงถึงค่าดัชนีการเก็บเกี่ยวข้าวของการปลูกในกระถางและในแปลงนาเกษตรกรแบบวิธีหัวน้ำตาม จะเป็นค่าที่มีความถูกต้องกว่าวิธีคำนวนดัชนีการเก็บเกี่ยวข้าวโดยใช้ตัวเลขคณิตด้วย ส่วนการปลูกในแปลงนาเกษตรกรแบบวิธีการปักดำของการทำลดลงครั้งนี้ที่การเจริญเติบโตของการสร้างผลผลิตข้าวไม่ถูกกระทบจากปัจจัยภายนอกนั้น วิธีการคำนวนผลผลิตจากสมการหั้งสองจะให้ค่าที่ใกล้เคียงกัน ผลความแย่ร้ายของวิธีการหั้งสองที่กล่าวถึงนี้สามารถพิจารณาได้จากค่าจากกำลังสองเฉลี่ยของการเบี่ยงเบน (RMSD) โดยวิธีการที่ดีและมีการประมาณค่าได้ถูกต้องแม่นยำนั้น จะต้องมีค่าหากกำลังสองเฉลี่ยของการเบี่ยงเบนต่ำกว่าเมื่อเปรียบเทียบกับวิธีการอื่น ๆ ที่พิจารณา

ลักษณะการเปลี่ยนแปลงของในตอรเจนในพืชส่วนเหนือดิน

การแปรผันของในตอรเจนในพืชส่วนเหนือดินแต่ละช่วงการเจริญเติบโตและพัฒนาการที่ระยะต่าง ๆ จากสภาพการปลูกข้าวพันธุ์เขียงพัทลุงในกระถาง จะแสดงความสัมพันธ์กับอัตราในตอรเจนที่เพิ่มขึ้นเช่นเดียวกับข้าวพันธุ์อื่น ๆ ที่ปลูกในสภาพแปลงนา (Matsushima, 1975) และเปอร์เซนต์ในตอรเจนในส่วนของเมล็ดที่ระยะเก็บเกี่ยวผลผลิตจะเพิ่มขึ้นตามลำดับระดับอัตราการใส่ในตอรเจนด้วย (Mishra, 1991) ผลงานวิจัยของ Schnier et al. (1990a, b) and Dingkuhn et al. (1992a, b) ได้ทดลองปลูกข้าวด้วยวิธีการต่าง ๆ กันพร้อมกับรายงานผลว่า เปอร์เซนต์ในตอรเจนในส่วนใบลดลงช่วงการเจริญเติบโตและพัฒนาการตั้งแต่ช่วงแรกจนกระทั่งระยะเก็บเกี่ยวผลผลิตของวิธีการปลูกข้าวแบบต่าง ๆ ที่ไม่ใส่ในตอรเจนจะมีค่าต่ำกว่าที่ใส่ในตอรเจนอย่างเด่นชัด ประกอบกับผลงานวิจัยของ Osaki et al. (1991) ได้แสดงให้เห็นว่า ในระยะที่ข้าวมีการเจริญเติบโตทางลำต้นและใบสูงสุดและที่ระยะเก็บเกี่ยวผลผลิต เปอร์เซนต์ในตอรเจนในส่วนใบของข้าวที่ระยะการเจริญเติบโตทั้งสองจะมีค่าสูงกว่าเมื่อเปรียบเทียบกับในตอรเจนในส่วนลำต้น ผลงานวิจัยที่กล่าวถึงนี้ให้แนวความคิดและมีเหตุผลที่สามารถนำมาเป็นข้ออ้างสนับสนุนได้ว่า เปอร์เซนต์ในตอรเจนในส่วนใบที่เพิ่มขึ้นตามอัตราการใส่ในตอรเจนย่อมมีผลทำให้เปอร์เซนต์ในตอรเจนในพืชส่วนเหนือดินเพิ่มขึ้นตามไปด้วย สำหรับกรณีเปอร์เซนต์ในตอรเจนในพืชส่วนเหนือดินของวิธีการปลูกแบบหัวน้ำตามที่มีค่าต่ำกว่าการปลูกแบบปักดำทุกช่วงการเจริญเติบโตและพัฒนาการระยะต่าง ๆ นั้น มีผลสอดคล้องกับผลงานวิจัยของ Dingkuhn et al. (1991) เมื่อจากสาเหตุของเปอร์เซนต์ในตอรเจนในส่วนใบของการปลูกแบบหัวน้ำตามมีค่าน้อยกว่าการปลูกแบบปักดำนั้นเอง และเมื่อพิจารณาถึงความแตกต่างความแตกต่างของการปลูกแบบหัวน้ำตามที่มีจำนวนต้นและหนอนนานาชนิดกว่า การเจริญเติบโตทางลำต้นและใบที่ตีกว่าในช่วงก่อนระยะการออกวง รวมทั้งมีการสร้างพื้นที่ใบที่มากกว่า จะมีผลทำให้เปอร์เซนต์ในตอรเจนในพืชส่วนเหนือดินมีค่าลดลงมากกว่าการปลูกแบบปักดำทั้ง ๆ ที่สภาพวิธีการปลูกหั้งสองจะได้รับในตอรเจนในปริมาณที่

เท่ากัน อย่างไรก็ตามเบอร์เซนต์ในโตรเจนในพืชส่วนหนึ่งอดินที่ระยะเก็บเกี่ยวผลผลิตของข้าวพันธุ์ เจี้ยงพัทลุงทั้งสภาพการปลูกในกระบวนการที่แปรผันกับปริมาณในโตรเจนและในสภาพแเปล่งนา เกษตรกรของวิธีการปลูกแบบหัวน้ำตามและปักดำจากผลที่เกิดขึ้นในการทดลองครั้งนี้ จะมีค่า เบอร์เซนต์ในโตรเจนในส่วนต่อซึ่งข้าวและในส่วนเมล็ดผันแปรอยู่ในช่วงระหว่าง 0.50-0.77% และ 0.98-1.61% ตามลำดับ ซึ่งมีค่าใกล้เคียงกับการรายงานผลของ Peng et al. (1996) and van Duivenbooden et al. (1996)

สภาพโดยทั่วไปเบอร์เซนต์ในโตรเจนในพืชส่วนหนึ่งอดินจะมีค่าลดลงตามลำดับระดับการ เจริญเติบโตและพัฒนาการของข้าวที่เพิ่มขึ้น เนื่องจากสภาพการสร้างจำนวนหน่อและใบที่มีผลทำ ให้การสะสมน้ำหนักแห้งในพืชเพิ่มขึ้น ดังเช่นผลการศึกษาในข้าวของ Apakupakul (1991), Graft et al. (1991) and Ying et al. (1998) และในพืชอาหารสัตว์ของ Lemaire and Salette (1984a, b) and Cruz and Sinoquet (1994) เบอร์เซนต์ในโตรเจนในพืชส่วนหนึ่งอดินลดลงซึ่งการเจริญ เติบโตตั้งแต่ช่วงแรกจนกระทั่งถึงระยะเก็บเกี่ยวผลผลิตของข้าวพันธุ์เจี้ยงพัทลุงจะแสดงความ สมพันธ์กับปริมาณน้ำหนักแห้งทั้งหมดของพืชส่วนหนึ่งอดินในรูปสมการยกกำลังเช่นเดียวกับที่ เสนอโดย Lemaire and Saleite (1984a, b) and Lemaire et al. (1990) ซึ่งผลที่ได้จากการทดลองครั้ง นี้เมื่อเปรียบเทียบกับเส้นโค้งอ้างอิงของ Lemaire et al. (1990) ที่ศึกษาในสภาพไม่มีปัจจัยจำกัด การเจริญเติบโตของพืชกลุ่มธัญ จะพบว่า ทุก ๆ ค่าของน้ำหนักแห้งทั้งหมดของพืชส่วนหนึ่งอดินใน สภาพการปลูกแบบหัวน้ำตามและแบบปักดำของข้าวพันธุ์เจี้ยงพัทลุง จะมีค่าในโตรเจนในพืช ส่วนหนึ่งอดินน้อยกว่าเมื่อเปรียบเทียบกับเส้นโค้งอ้างอิง และสภาพการปลูกแบบหัวน้ำตามจะมี ค่าน้อยกว่าการปลูกแบบปักดำด้วย ลักษณะความแตกต่างของเบอร์เซนต์ในโตรเจนในส่วนหนึ่ง อดินของพืชที่ปรากฏให้เห็นนี้ อาจเป็นไปได้ว่าการดูดกลืนในโตรเจนจากดินของข้าวเขตร้อนมีประสิทธิภาพต่ำกว่าพืชอาหารสัตว์ในเขตอุ่น ขณะเดียวกันความอุดมสมบูรณ์ของดินเขตร้อนจะมี ในโตรเจนที่เป็นประโยชน์ต่อพืชที่ต่ำกว่าและเกิดการสูญเสียได้เร็วกว่าเขตอุ่นด้วย การที่จะทำ ให้ข้าวมีปริมาณเบอร์เซนต์ในโตรเจนในพืชส่วนหนึ่งอดินเพิ่มขึ้นด้วยการใช้อัตราในโตรเจนที่สูงขึ้น จะมีผลเสียโดยตรงกับข้าวที่จะเกิดการเสียต่อโรคใหม่ได้ง่ายและเพิ่มภาระดูดของโรคอย่างรุน แรง ดังนั้นการศึกษาอัตราและจำนวนครั้งของการใส่ในโตรเจนอย่างเหมาะสมและให้ผลตอบแทน ที่คุ้มค่ากับการลงทุนยังมีความสำคัญและจำเป็นอย่างยิ่งสำหรับการทดลองเพื่อเพิ่มผลผลิตข้าวใน แต่ละพันธุ์ปลูกของสภาพภูมิอากาศเขตร้อน

ปริมาณในโตรเจนที่พืชดูดจากดินแล้วนำไปเก็บสะสมไว้ในพืชส่วนหนึ่งอดินที่เกิดขึ้นจาก ผลกระทบระหว่างเบอร์เซนต์ในโตรเจนที่วิเคราะห์ได้ในพืชส่วนหนึ่งอดินกับน้ำหนักแห้งทั้งหมดของพืช ส่วนหนึ่งอดินที่ช่วงเวลาหนึ่ง ๆ ผลกระทบของสภาพการปลูกในกระบวนการที่แต่ละช่วงการเจริญ เติบโตและพัฒนาการที่ระยะเริ่มยึดลำต้น ระยะดอกบาน 50% และระยะเก็บเกี่ยวผลผลิต ที่มีค่า

เปอร์เซนต์ในโตรเจนในพืชส่วนเหนือดินและมีปริมาณน้ำหนักแห้งทั้งหมดของพืชส่วนเหนือดินเพิ่มขึ้นตามลำดับอัตราการใส่ในโตรเจน จะมีผลทำให้ปริมาณในโตรเจนในพืชส่วนเหนือดินมีค่าสูงขึ้นด้วย ลักษณะเช่นนี้เป็นสภาพโดยทั่ว ๆ ไปที่เกิดขึ้นกับพืชแบบทุกชนิดที่แสดงให้เห็นว่า ปริมาณในโตรเจนในพืชส่วนเหนือดินที่เพิ่มขึ้นเป็นผลโดยตรงจากอัตราการใส่ในโตรเจนที่สูงขึ้นนั้นเอง ดัง เช่นกรณีการทดลองในข้าว (IRRI, 1989; Schnier et al., 1990a, b; Dingkuhn et al., 1991, 1992b; Jun et al., 1991; Makarim et al., 1991; Shinano et al., 1991; Peng et al., 1996; van Keulen, 1991) ข้าวสาลี (Cassman et al., 1992) ข้าวโพด (Muchow and Sinclair, 1995; Sinclair and Muchow, 1995; Uhart and Andrade, 1995) เป็นต้น ทำนองเดียวกันสภาพการปลูกทั้งสองแบบในแปลงนา เกษตรกรที่มีอัตราการใส่ในโตรเจนที่เท่ากันนั้น ปริมาณในโตรเจนในส่วนเหนือดินของพืชจากวิธี การปลูกแบบหัวน้ำตามที่ระยะเริ่มยืดลำต้นจะมีค่ามากกว่า แต่ที่ระยะดอกบาน 50% กลับมีค่าที่ ต่ำกว่า ส่วนที่ระยะเก็บเกี่ยวผลผลิตจะมีค่าใกล้เคียงกันกับการปลูกแบบปักดำ ความแตกต่าง ระหว่างแบบวิธีการปลูกที่แปรผันตามช่วงการเจริญเติบโตและพัฒนาการในแต่ละระยะ มีสาเหตุ จากการปลูกแบบหัวน้ำตามมีการสร้างน้ำหนักแห้งทั้งหมดของพืชส่วนเหนือดินที่ระยะเริ่มยืดลำต้นได้มากกว่า แต่มีค่าเปอร์เซนต์ในโตรเจนในพืชส่วนเหนือดินต่ำกว่าที่ระยะดอกบาน 50% และ ระยะเก็บเกี่ยวผลผลิต ขณะเดียวกันน้ำหนักแห้งทั้งหมดของพืชส่วนเหนือดินที่ระยะดอกบาน 50% จนถึงระยะเก็บเกี่ยวผลผลิตไม่มีความแตกต่างกันระหว่างแบบวิธีการปลูกทั้งสอง ดังผลของการ วิเคราะห์ทางสถิติที่แสดงไว้ใน Table 16 และ 22 ลักษณะความแตกต่างระหว่างแบบวิธีการปลูกที่ เกิดขึ้นในการทดลองครั้งนี้มีความสอดคล้องกับผลงานวิจัยของ Dingkuhn et al. (1992b) ที่ได้พบว่า ปริมาณในโตรเจนในพืชส่วนเหนือดินภายหลังการหัวน้ำเมล็ดข้าวออกจนกระทั่งถึงระยะออกровง ของวิธีการปลูกแบบหัวน้ำตามจะมีค่าสูงกว่าการปลูกแบบปักดำ

Takahashi et al. (1959, cited by Baba and Iwata, 1967) ได้ศึกษาถึงอัตราการดูดกลืน ในโตรเจนจากดินในข้าวจำเป็นก้านธัญชาติ พร้อมกับรายงานว่า อัตราการดูดกลืนในโตรเจนของ ข้าวจะเพิ่มขึ้นอย่างรวดเร็วจนมีค่าสูงสุดภายในหลังการปักดำประมาณ 10 วัน หลังจากนั้นการดูด กลืนในโตรเจนจะลดลงตามลำดับด้วยอัตราที่ช้ากว่าในช่วงแรก และอัตราการดูดกลืนในโตรเจนจะ เริ่มคงที่หรือมีการเปลี่ยนแปลงน้อยมากภายหลังระยะออกrovung จนถึงระยะเก็บเกี่ยวผลผลิต สภาพ เช่นนี้สามารถพิจารณาได้ว่า ปริมาณในโตรเจนที่เก็บสะสมไว้ในส่วนเหนือดินของข้าวที่สัมพันธ์กับ ระยะการเจริญเติบโตและพัฒนาการตั้งแต่ระยะเริ่มแรกจนกระทั่งถึงระยะเก็บเกี่ยวผลผลิตน่าจะมี ลักษณะแบบฟังก์ชันลอจิสติกดังเส้นกราฟที่ปรากฏในงานวิจัยของ Graf et al. (1991), Makarim et al. (1991), Muchow and Sinclair (1995) and Rickman et al. (1996) อย่างไรก็ตามปริมาณในโตรเจน ในพืชส่วนเหนือดินของทวีตเมนต์ในโตรเจนที่ระดับต่าง ๆ จากสภาพการปลูกในกระถางรวมทั้งวิธี การปลูกแบบหัวน้ำตามและแบบปักดำจากสภาพแปลงนาเกษตรกร จะมีค่าลดลงอย่างเด่นชัด

จากระยะดอกบาน 50% จนถึงระยะเก็บเกี่ยวผลผลิต โดยเฉพาะอย่างยิ่งกรณีที่รีตเมนต์ N2-N5 จะมีปริมาณในตอรเจนในพืชส่วนเหนือดินลดลงมากกว่าที่รีตเมนต์ N0 และ N1 ซึ่งโดยสภาพทั่ว ๆ ไปแล้วปริมาณในตอรเจนในพืชส่วนเหนือดินในระหว่างช่วงเวลาดังกล่าวควรจะมีค่าคงที่หรืออาจจะเพิ่มปริมาณขึ้นได้อีกเพียงเล็กน้อยเท่านั้น ลักษณะที่เกิดขึ้นในการทดลองครั้งนี้มีสาเหตุสำคัญ 2 ประการ คือ ประการแรกมีข้อผิดพลาดจากผลความแปรปรวนจากน้ำหนักแห้งของพืชส่วนเหนือดิน โดยที่รีตเมนต์ในตอรเจนที่ระดับต่าง ๆ (ยกเว้นเฉพาะที่รีตเมนต์ N3) มีค่าน้ำหนักแห้งทั้งหมดของพืชส่วนเหนือดินที่ระยะดอกบาน 50% มากกว่าที่ระยะเก็บเกี่ยวผลผลิต และประการที่สองในช่วงระยะก่อนและหลังดอกบาน 50% มีข้อมูลการวิเคราะห์ผลน้อย ทำให้ขาดการติดตามลักษณะการเปลี่ยนแปลงปริมาณในตอรเจนในพืชส่วนเหนือดินที่เกิดขึ้นในช่วงระหว่างระยะดอกบาน 50% จนถึงระยะเก็บเกี่ยวผลผลิต สภาพภารณฑ์คล้าย ๆ กันนี้จะพบได้ เช่นเดียวกันในการศึกษาผลผลิตของข้าวลูกผสมไฮอาร์พันธ์ต่าง ๆ (IRRI, 1989) และงานวิจัยเกี่ยวกับการจำลองแบบการเจริญเติบโตของข้าวสาลี (Rickman et al., 1996) ข้อสนับสนุนเพื่ออธิบายให้เห็นว่า ทำไมที่ระยะดอกบาน 50% ของข้าวพันธ์เจี้ยงพัทลุงมีปริมาณในตอรเจนในพืชส่วนเหนือดินมากกว่าที่ระยะเก็บเกี่ยวผลผลิต โดยเฉพาะอย่างยิ่งในกรณีที่มีอัตราในตอรเจนที่ระดับสูง ๆ ค่าความแตกต่างของปริมาณในตอรเจนในพืชส่วนเหนือดินระหว่างช่วงเวลาทั้งสองจึงมีค่าเพิ่มขึ้นนั้น Stutte and de Silva (1981), Foster and Stutte (1986) and Mikkelsen (1987) ได้แสดงให้เห็นว่า ในตอรเจนในพืชส่วนเหนือดินสามารถเกิดการสูญเสียผ่านทางส่วนของใบออกสูบระหว่างกาตได้ในขณะที่พืชเกิดกระบวนการไฟโตเรสพิเรชัน โดยในตอรเจนที่สูญเสียออกไปจะอยู่ในรูปของแอมโมเนียและแอมมีน และอัตราการสูญเสียในตอรเจนจะเพิ่มขึ้นตามระดับอุณหภูมิ ซึ่งระดับอุณหภูมิที่เหมาะสมจะมีค่าอยู่ในช่วงระหว่าง 28-35°C สำหรับปริมาณในตอรเจนในพืชส่วนเหนือดินขณะเก็บเกี่ยวผลผลิตของข้าวพันธ์เจี้ยงพัทลุงจากการปลูกในแปลงนาเกษตรกรที่ประมาณค่าจากสมการลอจิสติกของการปลูกแบบหัวน้ำตามและแบบปักดำจะมีค่าโดยประมาณ 7.90 และ 9.50 กรัมในตอรเจน เมตร² ตามลำดับ ซึ่งมีค่าใกล้เคียงกับการรายงานผลของ Tirol-Padre et al. (1996) ส่วนค่าในตอรเจนในส่วนของเมล็ดที่เพิ่มขึ้นตามอัตราการใส่ในตอรเจนก็มีรายงานผลไว้ เช่นเดียวกันจากการทดลองในข้าว (Shinano et al., 1991) และในข้าวสาลี (Cassman et al., 1992) เมื่อพิจารณาถึงเปอร์เซนต์ในตอรเจนในส่วนของเมล็ดกับน้ำหนักเฉลี่ยหนึ่งเมล็ด (Table 20) จากสภาพการปลูกในกระถางและในแปลงนาเกษตรกร จะมีค่าทั้งสองแปรผันอยู่ในช่วงระหว่าง 1.03-1.34 %N และ 18.00-19.84 มิลลิกรัม ตามลำดับ ความสัมพันธ์ระหว่างค่าทั้งสองได้แสดงให้เห็นว่า ปริมาณในตอรเจนในหนึ่งเมล็ดของข้าวพันธ์เจี้ยงพัทลุงจะมีค่าแปรผันโดยเฉลี่ยอยู่ในช่วงระหว่าง 0.20-0.26 มิลลิกรัม เมล็ด⁻¹ ซึ่งจะใกล้เคียงกับข้าวจากปืนก้าพันธ์ชาชนิชิกิในผลงานวิจัยของ Iwasaki et al. (1992) และปริมาณในตอรเจนในหนึ่งเมล็ดนี้จะเป็นตัวแปรที่มีความสำคัญต่อการกำหนดอัตราในตอรเจนสำหรับการ

ผลิตข้าวให้ได้จำนวนตามเป้าหมายที่ต้องการ ดังเช่นในกรณีของข้าวสาลีที่ต้องการผลผลิต 100 กิโลกรัม จะเป็นต้องใส่ไนโตรเจนประมาณ 3 กิโลกรัม (Boiffin et al., 1981; Meynard and Limaux, 1987) โดยปริมาณไนโตรเจนในส่วนของเมล็ดและน้ำหนักเฉลี่ยหนึ่งเมล็ดของข้าวสาลีจากสภาพทั่ว ๆ ไป จะมีค่าแปรผันอยู่ในช่วงระหว่าง 0.90-1.30 มิลลิกรัมไนโตรเจน เมล็ด⁻¹ และ 35.5-38.0 มิลลิกรัม (Meynard, 1987) ทำนองเดียวกันการผลิตข้าวพันธุ์เชียงพัทลุง 100 กิโลกรัม ในช่วงฤดูนาปีของสภาพภูมิอากาศภาคใต้ จะต้องใส่ไนโตรเจนประมาณ 1.2 กิโลกรัม โดยไม่คำนึงถึงปริมาณไนโตรเจนที่ตอกด้างในดินและที่เกิดการสูญเสียสูบบรรยากาศในช่วงก่อนปลูกข้าว รวมทั้งปริมาณไนโตรเจนที่ปลดปล่อยจากการย่อยสลายเศษซากพืชและส่วนที่อยู่ในส่วนตอซัง ตลอดจนในส่วนของระแห้งและในส่วนของเมล็ดลีบในช่วงเก็บเกี่ยวผลผลิต

สรุปผลและข้อเสนอแนะ

ลักษณะภูมิอากาศตลอดช่วงการทดลองในส่วนที่เกี่ยวข้องกับปริมาณและการกระจายของฝุ่น ระดับอุณหภูมิอากาศ และระยะเวลานานาช่วงของแสงแดด จะมีปริมาณอย่างเพียงพอตามความต้องการและมีสภาพที่เหมาะสมในแต่ละช่วงระยะเวลาสำหรับการเจริญเติบโตและพัฒนาการของข้าวพันธุ์เชียงพหลุง การปลูกข้าวในกระถางและในแปลงนาเกษตรกรแบบบริการหัวน้ำตามที่ไม่มีขั้นตอนการถอนกล้าและการเจริญเติบโตของระบบรากไม่ถูกผลกระทบจากเทือนจะมีผลสั่งเหลวให้ระยะสร้างหน่อ ระยะดอกบาน 50% และระยะสุกแก่ทางศรีวิทยาในช่วงเก็บเกี่ยวผลผลิตเกิดขึ้นก่อน และสามารถเก็บเกี่ยวผลผลิตได้เร็กว่าหรือข้าวมีอายุสั้นกว่าการปลูกแบบบริการปักดำ การศึกษาคุณสมบัติต่าง ๆ ทางด้านการเจริญเติบโตและพัฒนาการของต้นหลักจากสภาพการปลูกในกระถางได้แสดงผลอย่างชัดเจนว่า อัตราการปรากรูปใบที่ระยะต่าง ๆ จำนวนในห้องหมด ความสูงลำต้น ความยาวราก และจำนวนรากแข็งป้อมภูมิ จะมีค่าเพิ่มขึ้นตามลำดับที่สัมพันธ์กับปริมาณในโตรเจนที่มากขึ้น การปรากรูปใบในแต่ละทรีตเมนต์ในโตรเจนสามารถแบ่งออกได้เป็น 3 ช่วงระยะที่แตกต่างกัน คือ ช่วงแรกจากระยะใบที่ 3 ถึงระยะที่การปรากรูปใบเริ่มมีขัตราชีฟื้นตัวลงที่จุดวงกลับ (turning point) ขณะที่ต้นหลักมีใบประมาณ 8-9 ใบ ช่วงที่สองจากระยะจุดวงกลับจนถึงระยะเริ่มกำเนิดติดอกที่ระยะการปรากรูปใบประมาณ 12-13 ใบ และช่วงสุดท้ายภายหลังระยะเริ่มกำเนิดติดอกจนถึงระยะการปรากรูปใบสุดท้ายที่ 15-16 ใบของระยะใบองนั้น อัตราการปรากรูปใบทั้ง 3 ช่วงระยะจะมีค่าที่แตกต่างกัน โดยการปรากรูปใบในช่วงแรกจะเพิ่มขึ้นอย่างรวดเร็วแล้วค่อย ๆ มีค่าลดลงในช่วงที่สอง หลังจากนั้นการปรากรูปใบจะเพิ่มขึ้นอีกครั้งหนึ่งในช่วงสุดท้ายประมาณใบที่ 3 ก่อนการออกใบธง เวลาที่ใช้เพื่อการปรากรูปใบแต่ละใบที่เรียกว่า พล็อกโครอนนั้น ช่วงระยะแรก ระยะที่สอง และระยะสุดท้าย จะมีค่าเปลี่ยนระหว่าง 67.3-71.4, 200.8-225.2 และ 183.5-199.2 °Cd ใน หรือมีค่าเท่ากับ 3.5-3.8, 10.6-11.9 และ 9.7-10.5 วัน ใน ตามลำดับ ระยะเริ่มกำเนิดติดอกที่ช่วงต้องกับระยะการปรากรูปใบต้นหลักที่ 12-13 ใบหรือประมาณใบที่ 3-4 ก่อนใบองนั้น ไม่สามารถจะสรุปผลได้ว่า ในโตรเจนมีผลต่อการกำเนิดติดอกของข้าวพันธุ์เชียงพหลุงหรือไม่ สำหรับระยะพัฒนาการของรากในช่วงการสร้างจำนวนติดอกจะถูกจำกัดโดยรากบาน 50% จะมีค่าใกล้เคียงกันระหว่างทรีตเมนต์ในโตรเจน คาดคะเนว่าการกำเนิดติดอกและการสร้างติดอกบนส่วนของรากจะเริ่มเมื่อช่วงค่าความร้อนสะสมโดยประมาณ 1,170-1,230 °Cd (59-62 วัน) และ 1,920-1,955 °Cd (101-103 วัน) ภายหลังการหัวน้ำเมล็ดข้าวออก ตามลำดับ ส่วนระยะการยึดลำต้นจากสภาพการปลูกในแปลงเกษตรกรทั้งสองแบบบริการปลูก จะเกิดขึ้นเมื่อความสูงต้นหลักที่วัดจากข้อแรกจนถึงปลายยอดมีค่าเท่ากับ 25 มิลลิเมตร ซึ่งตรงกับค่าความร้อนสะสม

ประมาณ $1,000^{\circ}\text{Cd}$ (51 วัน) ภายหลังการห่วนเมล็ดข้าวอก การเจริญเติบโตของต้นหลักในระยะปีดลำต้นมีลักษณะการเพิ่มความสูงแบบฟังก์ชันเอกซ์โพเนนเชียล

อิทธิพลของไนโตรเจนจากการทดลองในกระถางได้แสดงผลที่ชัดเจนว่า ในไตรเจนมีผลโดยตรงต่อการเพิ่มจำนวนหน่อ พื้นที่ใบ จำนวนใบ ขนาดใบ น้ำหนักแห้งทั้งหมดของพืชส่วนหนึ่งติดตั้งในส่วนของน้ำหนักแห้งใบและน้ำหนักแห้งลำต้น จำนวนราก จำนวนดอก จำนวนเมล็ด ระดับผลผลิต ตลอดจนเปอร์เซนต์และปริมาณไนโตรเจนในพืชส่วนหนึ่งติดและในเมล็ด แต่จำนวนใบ ต้น¹ พื้นที่ใบจำเพาะ อัตราส่วนพื้นที่ใบ เปอร์เซนต์เมล็ดเต็ม และตัวนี้การเก็บเกี่ยวไม่แสดงผลความแตกต่างระหว่างที่รีดเมนต์ในไตรเจน ในทางตรงกันข้ามน้ำหนัก 1,000 เมล็ด มีค่าลดลงเป็นลำดับตามปริมาณไนโตรเจนที่เพิ่มขึ้น ส่วนสภาพการปลูกในแปลงนาเกษตรกรแบบวิธีการห่วนน้ำตามที่ใช้เมล็ดพันธุ์มากกว่าการปลูกแบบบักดำ จะทำให้จำนวนต้นและจำนวนหน่อนมีความหนาแน่นกว่า การเจริญเติบโตทางลำต้นและใบในช่วงก่อนระยะดอกบาน 50% ของการปลูกแบบห่วนน้ำตามในส่วนที่เกี่ยวข้องกับการสร้างพื้นที่ใบ จำนวนใบ น้ำหนักแห้งทั้งหมดของพืชส่วนหนึ่งติดตั้งในส่วนของน้ำหนักแห้งใบและน้ำหนักแห้งลำต้น ทุกลักษณะจะมีค่ามากกว่าการปลูกแบบบักดำ ส่วนขนาดใบของการปลูกแบบห่วนน้ำตามที่ระยะดอกบาน 50% จะมีขนาดเล็กกว่าสำหรับจำนวนใบ ต้น¹ น้ำหนักแห้งทั้งหมดของพืชส่วนหนึ่งติดตั้งในส่วนของน้ำหนักแห้งใบและน้ำหนักแห้งลำต้น พื้นที่ใบจำเพาะ และอัตราส่วนพื้นที่ใบ มีรูปแบบเป็นเส้นโค้งที่สามารถประมาณค่าในช่วงเวลาต่าง ๆ ได้โดยสมการไม่เชิงเส้น (non-linear equation) ค่าพารามิเตอร์ของสมการจะแสดงคุณสมบัติการเพิ่มหรือลดลงของต่อลักษณะได้เป็นอย่างดี ส่วนลักษณะการเพิ่มจำนวนใบ ต้น¹ และขนาดใบ จะแสดงความสัมพันธ์แบบวิเคราะห์เส้นตรงกับค่าความร้อนสะสมภายหลังการห่วนเมล็ดข้าวอก พื้นที่ใบของแบบวิธีการปลูกทั้งสองตั้งแต่ช่วงแรกของการเจริญเติบโตจนถึงระยะดอกบาน 50% มีการเปลี่ยนแปลงแบบฟังก์ชันยกกำลังที่สัมพันธ์กับค่าน้ำหนักแห้งใบและน้ำหนักแห้งทั้งหมดของพืชส่วนหนึ่งติด และการสร้างน้ำหนักแห้งทั้งหมดของพืชส่วนหนึ่งติดตั้งส่วนของการปลูกแบบห่วนน้ำตามและแบบบักดำ จะเพิ่มขึ้นตามปริมาณการดูดกลืนรังสีแสงสีแดงสีแดงเทาที่มีลักษณะแบบวิเคราะห์เส้นตรงโดยวิธีการปลูกแบบห่วนน้ำตามจะมีประสิทธิภาพการใช้รังสีแสงสีแดงสีแดงเทาที่มากกว่าการปลูกแบบบักดำที่มีค่าเท่ากับ 1.91 และ 2.59 กรัม เมกะจูล¹ ตามลำดับ ส่วนกรณีการเจริญเติบโตของเมล็ดภายในหลังระยะการผสมเกสรจากสภาพการปลูกในกระถางและในแปลงนาเกษตรกร จะมีรูปแบบการสะสมน้ำหนักแห้งของเมล็ดแบบฟังก์ชันลอจิสติก และอัตราสูงสุดกับระยะเวลาของการสะสม

น้ำหนักแห้งเมล็ดที่คำนวนได้จากการสมการ จะมีความสัมพันธ์แบบผกผันในรูปสมการวีเกรสรชันเส้นตรง ในการทดลองครั้งนี้การปลูกข้าวแบบหว่านน้ำตามจะมีจำนวนรวม เมตร² มากกว่า เมตร² จำนวนดอก เมตร² จำนวนดอก รวม¹ และจำนวนเมล็ด เมตร² น้อยกว่าการปลูกแบบปักดำ ส่วน เปอร์เซนต์เมล็ดเต็ม และน้ำหนัก 1,000 เมล็ด ไม่แสดงความแตกต่างระหว่างวิธีการปลูก ผลผลิต ของการปลูกแบบหว่านน้ำตามที่มีค่าต่ำกว่าการปลูกแบบปักดำเนื่องจากจำนวนเมล็ดมีน้อยกว่านั้น เอง โดยจำนวนดอก เมตร² หรือจำนวนดอก รวม¹ และจำนวนรวม เมตร² จะเป็นปัจจัยจำกัดผล ผลิตที่สำคัญของการปลูกข้าวแบบวิธีหว่านน้ำตาม และแบบการปักดำ ตามลำดับ ความสัมพันธ์ ระหว่างผลผลิตกับจำนวนเมล็ดและน้ำหนัก 1,000 เมล็ด ได้แสดงผลสนับสนุนว่า ผลผลิตของ สภาพการปลูกในกระถางและในแปลงนาเกษตรกรจะมีค่าเพิ่มขึ้นแบบวีเกรสรชันเส้นตรงที่สัมพันธ์ กับจำนวนเมล็ด และผลผลิตจากสภาพการปลูกในกระถางจะแสดงความสัมพันธ์แบบวีเกรสรชัน เส้นตรงที่มีค่าความลาดชันเป็นลบกับน้ำหนัก 1,000 เมล็ด ทั้งนี้เพราะว่าเมื่อจำนวนเมล็ดเพิ่มมาก ขึ้นจะมีผลทำให้น้ำหนักเมล็ดลดลง ส่วนการก่อเกิดดัชนีการเก็บเกี่ยวที่สัมพันธ์กับค่าความร้อน สะสมภายหลังการหว่านเมล็ดข้าวออก ตั้งแต่เริ่มมีการสะสมน้ำหนักแห้งเมล็ดภายหลังระยะผสม เกสรรจนถึงระยะสุกแก่ทางสรีรวิทยาในช่วงเก็บเกี่ยวผลผลิตจะมีลักษณะแบบวีเกรสรชันเส้นตรง โดยวิธีการปลูกแบบหว่านน้ำตามจะมีช่วงเวลาที่สั้นกว่าและมีค่าดัชนีการเก็บเกี่ยวต่ำกว่าการปลูก แบบปักดำ ค่าดัชนีการเก็บเกี่ยวของสภาพการปลูกในกระถางและในแปลงนาเกษตรกรของ การ ปลูกแบบหว่านน้ำตามจะแสดงความสัมพันธ์ในเชิงลบกับค่าน้ำหนักแห้งทั้งหมดของพืชส่วนหนึ่ง ดิน ส่วนการปลูกแบบปักดำจะแสดงความสัมพันธ์ในเชิงบวกกับระดับผลผลิต การประมาณค่าผล ผลิตจากสมการวีเกรสรชันเส้นตรงที่สัมพันธ์กับค่าน้ำหนักแห้งทั้งหมดของพืชส่วนหนึ่งใน ค่าที่ถูกต้องและเป็นวิธีที่ดีที่สุดในทุกสภาพการทดลอง โดยเฉพาะอย่างยิ่งในการทดลองที่มีปัจจัย ต่าง ๆ จำกัดการเจริญเติบโตที่ส่งผลกระทบต่อกระบวนการสร้างผลผลิตของพืช เปอร์เซนต์ ในต่อเจนในพืชส่วนหนึ่งอดินของแต่ละช่วงการเจริญเติบโตและพัฒนาการจะมีค่าเพิ่มขึ้นเป็น ลำดับสัมพันธ์กับอัตราการใส่ในต่อเจนที่สูงขึ้น และวิธีการปลูกแบบหว่านน้ำตามจะมีค่าต่ำกว่าการ ปลูกแบบปักดำ ทำนองเดียวกันเปอร์เซนต์ในต่อเจนในส่วนเมล็ดที่ระยะเก็บเกี่ยวผลผลิตจะ สัมพันธ์กับระดับในต่อเจนที่ได้รับและแบบวิธีการปลูกด้วย การเปลี่ยนแปลงเปอร์เซนต์ในต่อเจน ในพืชส่วนหนึ่งอดินจากสภาพการปลูกในกระถางและในแปลงนาเกษตรกร จะมีค่าลดลงเมื่อพืชมี การเจริญเติบโตและพัฒนาการมากขึ้น โดยเปอร์เซนต์ในต่อเจนในพืชส่วนหนึ่งอดินที่ระยะเริ่มยืด ลำต้นจะมีค่าสูงกว่าที่ระยะดอกบาน 50% และจะมีค่าต่ำสุดในระยะเก็บเกี่ยวผลผลิต ความ สัมพันธ์ระหว่างเปอร์เซนต์ในต่อเจนในพืชส่วนหนึ่งอดินกับปริมาณน้ำหนักแห้งทั้งหมดของพืชส่วน หนึ่งอดินตลอดช่วงการทดลองในสภาพแปลงนาเกษตรกร จะมีลักษณะแบบเส้นโค้งในรูปสมการ ยกกำลัง สำหรับปริมาณในต่อเจนที่อยู่ในพืชส่วนหนึ่งอดินของแต่ละช่วงการเจริญเติบโตและ

พัฒนาการรวมทั้งในส่วนของเมล็ดที่ระยะเก็บเกี่ยวผลผลิต จะมีค่าเพิ่มขึ้นตามอัตราในโตรเจนที่มากขึ้น และวิธีการปลูกแบบหัวน้ำตามในช่วงระยะเริ่มเยิดลำต้นจะมีค่ามากกว่า แต่ในช่วงระยะดอกบาน 50% จะมีค่าต่ำกว่า ส่วนในช่วงเก็บเกี่ยวผลผลิตจะมีค่าใกล้เคียงกับการปลูกแบบปักดำอย่างไรก็ตามปริมาณในโตรเจนในส่วนเมล็ดของการปลูกแบบหัวน้ำตามจะมีค่าต่ำกว่าการปลูกแบบปักดำ สภาพการปลูกในกระถางและในแปลงนาเกษตรกรขอการทดลองครั้งนี้ ปริมาณในโตรเจนในพืชส่วนหนึ่งอ่อนติดที่ระยะเริ่มเยิดลำต้นจะมีค่าเพิ่มขึ้นอย่างรวดเร็วจนกระทั่งมีค่าสูงสุดที่ระยะดอกบาน 50% หลังจากนั้นจะมีค่าลดลงจนถึงระยะเก็บเกี่ยวผลผลิต ซึ่งปริมาณในโตรเจนในพืชส่วนหนึ่งอ่อนติดที่ลดลงในช่วงระหว่างระยะดอกบาน 50% จนถึงระยะเก็บเกี่ยวผลผลิต จะมีอัตราการลดลงอย่างรุนแรงตามลำดับในโตรเจนที่เพิ่มขึ้น

ในการวิจัยครั้งนี้การปลูกข้าวพันธุ์เชียงพัทลุงให้มีผลผลิตสูงสุดในสภาพภูมิอากาศของภาคใต้ได้ข้อสรุปว่า ปริมาณในโตรเจน 12 กิโลกรัม ไร¹ หรือเท่ากับ 75 กิโลกรัม เอกตร¹ จะเป็นอัตราที่เหมาะสมต่อการสร้างผลผลิต การเจริญเติบโตในช่วงแรกทางลำต้นและใบก่อนระยะกำเนิดตัวออกของ การปลูกแบบหัวน้ำตามที่มีมากเกิน จนทำให้เกิดสภาพการบังแสงและข้าวเกิดการขาดในโตรเจนอย่างรุนแรงนั้น การศึกษาสัดส่วนและจำนวนครั้งของการใส่ปุ๋ยในโตรเจนที่ระยะต่าง ๆ ยังมีความสำคัญและจำเป็นอย่างยิ่งสำหรับการยึดความยาวร่างพั้งอ้อมกับการเพิ่มจำนวนดอก เมตร² หรือจำนวนดอก ราก¹ เพื่อยกระดับผลผลิตของวิธีการปลูกข้าวแบบหัวน้ำตาม ขณะเดียวกันการเพิ่มผลผลิตของวิธีการปลูกข้าวแบบบิวิธีการปักดำที่แปรผันกับความหนาแน่นจำนวนราก สามารถกระทำได้โดยการเพิ่มความหนาแน่นจำนวนกอก เมตร² ให้มากขึ้นด้วยการปักดำที่นิ่งกล้าที่ให้ปักดำต้องมีความสมบูรณ์แข็งแรงและมีอายุที่พอเหมาะสมสำหรับการปักดำ

เอกสารอ้างอิง

- ชัยวิทย์ ศิลาวัชนาไนย. 2527. การวัดรังสีแสงแดดที่หาดใหญ่. ว. สงขลานครินทร์ วทท. 6: 135-146.
- นิรนาม. 2539. ข้าวพันธุ์ที่เหมาะสมในภาคใต้. เอกสารประกอบการสัมมนาการเกษตรภาคใต้ปี 2539 ระหว่างวันที่ 17-18 สิงหาคม 2539 ณ คณะทรัพยากรธรรมชาติ มหาวิทยาลัยสงขลา นครินทร์ วิทยาเขตหาดใหญ่ สงขลา.
- รังสรรค์ อาภาดพงษ์กุล. 2536. การวินิจฉัยกระบวนการสร้างผลผลิตพืช. ว. สงขลานครินทร์ วทท. 15: 431-444.
- รังสรรค์ อาภาดพงษ์กุล. 2537. การเจริญเติบโตและพัฒนาการของข้าว. 1. การปรากฏใบและจำนวนใบ. ว. สงขลานครินทร์ วทท. 16: 7-16.
- รังสรรค์ อาภาดพงษ์กุล. 2538a. การเจริญเติบโตและพัฒนาการของข้าว: 2 อิทธิพลในโครงสร้างต่อการเกิดและวิวัฒนาการของหน่อ. ว. สงขลานครินทร์ วทท. 17: 151-163.
- รังสรรค์ อาภาดพงษ์กุล. 2538b. ประสิทธิภาพการใช้รังสีดูดอาทิตย์ของข้าวภายใต้แบบการทำนา และสภาพแวดล้อมที่แตกต่างกัน. ว. สงขลานครินทร์ วทท. 17: 23-33.
- Aase, J.K. 1978. Relationship between leaf area and dry matter in winter wheat. Agron. J. 70: 563-565.
- Abbate, P.E., Andrade, F.H. and Culot, J.P. 1995. The effects of radiation and nitrogen on number of grains in wheat. J. Agric. Sci. Camb. 124: 351-360.
- Aggarwal, P.K., Kalra, N., Singh, A.K. and Sinha, S.K. 1994. Analyzing the limitations set by climatic factors, genotype, water and nitrogen availability on productivity of wheat: I.The model description, parametrization and validation. Field Crops Res. 38: 73-91.
- Amir, J. and Sinclair, T.R. 1991a. A model of temperature and solar radiation effects on spring wheat growth and yield. Field Crops Res. 28: 47-58.
- Amir, J. and Sinclair, T.R. 1991b. A model of waterlimitation on spring wheat growth and yield. Field Crops Res. 28: 59-69.
- Andrade, F.H., Uhart, S.A. and Cirilo, A. 1993. Temperature effects radiation use efficiency in maize. Field Crops Res. 32: 17-25.
- Apakupakul, R. 1987. Etude de l'elaboration du rendement du ble en conditions variee de nutrition azotee. Memoire de DEA, INA-PG, 83p.

- Apakupakul, R. 1991. Contribution a l'étude du fonctionnement du peuplement du riz (*Oryza sativa* L.): Influence de la hauteur de l'eau dans les rizières, de la densité de semis, de la fertilisation azotée et de la variété. These Docteur INA-PG, 216p.+Annexes.
- Apakupakul, R. 1997. Grain growth of loeland rice under nitrogen application rates and planting methods. *Thai J. Agric. Sci.* 30: 1-17.
- Baba, I. and Iwata, I. 1967. Inorganic nutrition. p. 117-137. In: Theory and Practice of Growing Rice. Matsubayashi, M., Ito, R. Tsunemichi, T., Toshio, N. and Noboru, Y. (editors). Fuji Publishing Co. Ltd., Tokyo, Japan, 527p.
- Baker, R.J. and Gebeyehou, G. 1982. Comparative growth analysis of two spring wheats and one spring barley. *Crop Sci.* 22: 1225-1229.
- Bange, M.P., Hammer, G.L. and Rickert, K.G. 1997. Effect of specific leaf nitrogen on radiation use efficiency and growth of sunflower. *Crop. Sci.* 37: 1201-1207.
- Bauer, A., Frank, A.B. and Black, A.L. 1984. Estimation of spring wheat leaf growth rate and anthesis from air temperature. *Agron. J.* 76: 829-835.
- Bauer, A., Frank, A.B. and Black, A.L. 1985. Estimation of spring wheat grain dry matter assimilation from air temperature. *Agron. J.* 77: 743-752.
- Begue, A., Desprat, J.F., Imbernon, J. and Baret, F. 1991. Radiation use efficiency of pearl millet in the Sahelian zone. *Agric. for. Meteorol.* 56: 93-110.
- Benbi, D.K. 1994. Prediction of leaf area indices and yields of wheat. *J. Agric. Sci. Camb.* 122: 13-20.
- Bieler, P., Fussell, L.K. and Bidinger, F.R. 1993. Grain growth of *Pennisetum glaucum* (L.) R. BR. under well-watered and drought-stressed conditions. *Field Crops Res.* 31: 41-54.
- Birch, C.J., Carberry, P.S., Muchow, R.C., McCown, R.L. and Hargreaves, J.N.G. 1990. Development and evaluation of a sorghum model based on CERES-Maize in a semi-arid tropical environment. *Field Crops Res.* 24: 87-104.
- Boiffin, J., Caneill, J., Meynard, J.M. and Sebillotte, M. 1981. Elaboration du rendement et fertilisation du blé d'hiver en Champagne Crayeuse: I. Protocole et méthode d'étude d'un problème technique régional. *Agronomie.* 1: 549-558.
- Brooking, I.R. and Kirby, E.L.M. 1981. Interrelationships between stem and ear development in winter wheat: The effect of a Norin 10 dwarfing gene, Gai/Rht₂. *J. Agric. Sci. Camb.* 97: 373-381.

- Bruckner, P.L. and Frohberg, R.C. 1987. Rate and duration of grain fill in spring wheat. *Crop Sci.* 27: 451-455.
- Burns, I.G. 1992. Influence of plant nutrient concentration on growth rate: Use of a nutrient interruption technique to determine critical concentrations Of N, P and K in young plants. *Plant and Soil.* 142: 221-233.
- Cassman, K.G., Bryant, D.C., Fulton, A.E. and Jackson, L.F. 1992. Nitrogen supply effects on partitioning of dry matter and nitrogen to grain of irrigation wheat. *Crop Sci.* 32: 1251-1258.
- Chandler, Jr. R.F. 1969. Plant morphology and stand geometry in relation to nitrogen. In *Physiological aspects of crop yield.* Eastin, J.D., Haskins, F.A., Sullivan, C.Y. and van Bavel, C.H.M. Eds., pp. 265-289.
- Chang, J.H. 1971. Problems and Methods in Agricultural Climatology. Oriental Publis. Co., Taipei, Taiwan, 96p+Appendix.
- Chapman, S.C., Hammer, G.L. and Meinke, H. 1993. A sunflower simulation model: I. Model development. *Agron. J.* 85: 725-735.
- Charles-Edwards, D.A. 1982. *Physiological Determinants of Crop Growth.* Academic Press, Sydney, 161p.
- Charles-Edwards, D.A., Doley, D. and Rimmington, G.M. 1986. *Modelling Plant Growth and Development.* Academic Press, Inc, London, 235p.
- Chowdhury, S.I. and Wardlaw, I.F. 1978. The effect of temperature on kernel development in cereals. *Aust. J. Agric. Sci.* 29: 205-223.
- Connor, D.J., Hall, A.J. and Sadras, V.O. 1993. Effects of nitrogen supply on expansion and photosynthetics of sunflower leaves. *Aust. J. Plant Physiol.* 20: 251-263.
- Counce, P.A., Siebenmorgen, T.J., Poag, M.A., Holloway, G.E., Kocher, M.F. and Lu, R. 1996. Panicle emergence of tiller types and grain yield of tiller order for direct-seeded rice cultivars. *Field Crops Res.* 47: 235-242.
- Cruz, P.A. and Sinoquet, H. 1994. Competition for light and nitrogen during regrowth cycle in a tropical forage mixture. *Field Crops Res.* 36: 21-30.
- Dale, J.E. and Wilson, R.G. 1978. A comparison of leaf and ear development in barley cultivars as affected by nitrogen supply. *J. Agric. Sci. Camp.* 72: 273-280.

- Dale, R.F., Coelho, D.T. and Gallo, K.P. 1980. Prediction of daily green leaf area index for corn. *Agron. J.* 72:999-1005.
- Darroch, B.A. and Baker, R.J. 1990. Grain filling in three spring wheat genotypes: statistical analysis. *Crop Sci.* 30: 525-529.
- Darroch, B.A. and Baker, R.J. 1995. Two measures of grain filling in spring wheat. *Crop Sci.* 35: 164-168.
- De Datta, S.K. 1981. *Principles and Practices of Rice Production*. John Wiley & Sons, New York, 618 p.
- Deyun, P., Zhaoquin, W. and Lijiao, Y. 1991. Simulation of tillering and potential production of indica rice. p. 94-101. In *Simulation and Systems Analysis for Rice Production (SARP)*. Penning de Vries, F.W.T., van Laar, H.H. and Kropff, M.J. (Editors). Pudoc Wageningen, The Netherlands.
- Dingkuhn, M., De Datta, S.K., Javellana C., Pamplona, R. and Schnier, H.F. 1992a. Effect of late-season N fertilization on photosynthesis and yield of transplanted and direct-seeded tropical flooded rice. I. Growth dynamics. *Field Crops Res.* 28: 223-234.
- Dingkuhn, M., De Datta, S.K., Pamplona, R., Javellana C., and Schnier, H.F. 1992b. Effect of late-season N fertilization on photosynthesis and yield of transplanted and direct-seeded tropical flooded rice. II. A canopy stratification study. *Field Crops Res.* 28: 235-249.
- Dingkuhn, M., Jones, M.P., Johnson, D.E. and Scw, A. 1998. Growth and yield potential of *Oryza sativa* and *O. glaberrima* upland rice cultivars and their interspecific progenies. *Field Crops Res.* 57: 57-69.
- Dingkuhn, M., Schnier, H.F., De Datta, S.K., Dorffling, K., and Javellana C. 1991. Relationships between ripening-phase productivity and crop duration, canopy photosynthesis and senescence in transplanted and direct-seeded lowland rice. *Field Crops Res.* 26: 327-345.
- Dingkuhn, M., Schnier, H.F., De Datta, S.K., Wijanco, E. and Dorffling, K. 1990a. Diurnal and developmental changes in canopy gas exchange in relation to growth in transplanted and direct-seeded flooded rice. *Aust. J. Plant Physiol.* 17: 119-134.
- Dingkuhn, M., Schnier, H.F., De Datta, S.K., Dorffling, K., Javellana C. and Pamplona, R. 1990b. Nitrogen fertilization of direct-seeded flooded vs. transplanted rice: II. Interactions among canopy properties. *Crop Sci.* 30: 1284-1292.

- Diouf, M. 1990. Analyse de l'elaboration du rendement du mil (*Penesetum Typhoides* stapf et Mubb). Mise en point d'une method de diagnostic en parcelles paysannes. These de Docteur INA-PG, 227p+Annexes.
- Dracup, M. and Kirby, E.J.M. 1996. Pod and seed growth and development of narrow-leaved lupin in a water limited mediterranean-type environment. Field Crops Res. 48: 209-222.
- Draper, N.R. and Smith, H. 1981. Applied Regression Analysis. John Wiley & Sons, Inc., New York, 709p.
- Duguide, S.D. and Brule-Babel, A.L. 1994. Rate and duration of grain filling in five spring wheat (*Triticum aestivum* L.) genotypes Can. J. Plant Sci. 74: 681-686.
- Durr, C. 1984. Systeme de culture et elaboration du rendement du riz (*Oryza sativa* L.) en camargue. These DDI, INA-PG, 226p.
- Dwyer, L.M. and Stewart, D.W. 1986. Leaf area development in field-grown maize. Agro. J. 78: 334-343.
- Fagade, S.O. and De Datta, S.K. 1971. Leaf area index, tillering capacity, and grain yield of tropical rice as affected by plant density and nitrogen level. Agron J. 63: 503-506.
- Flenet, F. and Kiniry, J.R. 1995. Efficiency of biomass accumulation by sunflower as affected by glucose requirement of biosynthesis and leaf nitrogen content. Field Crops Res. 44: 119-127.
- Foster, E.F. and Stutte, C.A. 1986. Glutamine synthetase activity and foliar nitrogen volatilization in response to temperature and inhibitor chemicals. Annals Bot. 57: 305-307.
- Frank, A.B. and Bauer, A. 1982. Effect of temperature and fertilizer N on oat apex development in spring wheat. Agron. J. 74: 504-509.
- Fujita, K., Coronel, V.P. and Yoshida, S. 1984. Grain-filling characteristics of rice varieties (*Oryza sativa* L.) differing in grain size under controlled environmental conditions. Soil Sci. Plant Nutr. 30: 445-454.
- Gajri, P.R., Prihar, S.S. and Arora, V.K. 1993. Interdependence of nitrogen and irrigation effects on growth and input-use efficiencies in wheat. Field Crops Res. 31: 71-86.
- Gallagher, J.N. and Biscoe, P.V. 1978. Radiation absorption, growth and yield of cereals. J. Agric. Sci. Camb. 91: 47-60.
- Gbongue, D. 1985. Influence de l'alimentation azotée sur l'elabolation du nombre de grains d'un peuplement diorge d'hiver (*Hordeum hexastichum* L.) These DDI, INA-PG, 269p.

- Gebeyehou, G., Knott, D.R. and Baker, R.J. 1982. Rate and duration of grain filling in durum wheat cultivars. *Crop Sci.* 22: 337-340.
- Gent, M.P.N. 1994. Photosynthate reserves during grain filling in winter wheat. *Agron. J.* 86: 159-167.
- Gimenez, C., Connor, D.J. and Rueda, F. 1994. Canopy development, photosynthesis and radiation-use efficiency in sunflower in response to nitrogen. *Field Crops Res.* 38: 15-27.
- Goyne, P.J., Milroy, S.P., Lilley, J.M. and Hare, J.M. 1993. Radiation interception, radiation use efficiency and growth of barley cultivars. *Aust. J. Agric. Res.* 44: 1351-1366.
- Graf, B., Rakotobe, O., Zahner, P., Delucchi, V. and Gutierrez, A.P. 1990a. A simulation model for the dynamics of rice growth and development: I. The carbon balance. *Agric. Syst.* 32: 341-365.
- Graf, B., Gutierrez, A.P., Rakotobe, O., Zahner, P. and Delucchi, V. 1990b. A simulation model for the dynamics of rice growth and development: II. The competition with weeds for nitrogen and light. *Agric. Syst.* 32: 367-392.
- Graf, B., Dingkuhn, M., Schnier, F., Coronel, V. and Akita, S. 1991. A simulation model for the dynamics of rice growth and development: III. Validation of the model with high-yielding varieties. *Agric. Syst.* 36: 329-349.
- Habekotte, B. 1993. Quantitative analysis of pod formation, seed set and seed filling in winter oilseed rape (*Brassica napus L.*) under field conditions. *Field Crops Res.* 35: 21-33.
- Habekotte, B. 1997. Evaluation of seed yield determining factors of winter oilseed rape (*Brassica napus L.*) by means of crop growth modelling. *Field Crops Res.* 54: 137-151.
- Hall, A.J., Connor, D.J. and Sadras, V.O. 1995. Radiation-use efficiency of sunflower crops: Effects of specific leaf nitrogen and ontogeny. *Field Crops Res.* 41: 65-77.
- Hammer, G.L. and Muchow, R.C. 1994. Assessing climatic risk to sorghum production in water-limited subtropical environments. I. Development and testing of a simulation model. *Field Crops Res.* 36: 221-234.
- Hammer, G.L. and Wright, G.C. 1994. A theoretical analysis of nitrogen and radiation effects on radiation use efficiency in peanut. *Aust. J. Agric. Res.* 45: 575-589.
- Hoogenboom, G., White, J.W., Jones, J.W. and Boote, K.J. 1994. BEANGRO: A process-oriented dry bean model with a versatile user interface. *Agron. J.* 86: 182-190.

- Hardjadinata, S. 1980. Macroclimatic aspects of rice production in Southeast Asia. p. 57-68. In: Agrometeorology of the Rice Crop IRRI, Los banos, Philippines.
- Huan, J.R. 1973. Visual quantification of wheat development. Agron. J. 65: 116-119.
- Hunt, L.A., van der Poorten, G. and Pararajasingham, S. 1991. Postanthesis temperature effects on duration and rate of grain filling in some winter wheats. Can. J. Plant Sci. 71: 609-617.
- IRRI. 1989. Annual Report for 1988. Los Banos, Philippines. 646 p.
- ITCF. 1987. Manuel d'utilisation. STAT-ITCF. Version 3.20. Institut Technique des Cereales et des Fourrages. Paris, France.
- Iwasaki, Y., Mae, T., Makino, A., Ohira, K. and Ojima, K. 1992. Nitrogen accumulation in the inferior spikelet of rice ear during ripening. Soil Sci. Plant Nutr. 38: 517-525.
- Jamieson, P.D., Martin, R.J., Francis, G.S. and Wilson, D.R. 1995. Drough effects on biomass production and radiation-use efficiency in barley. Field Crops Res. 43: 77-86.
- Jandel Corporation. 1991. User's Manual. SigmaPlot Scientific Graphing System. Version 5.00. Jandel Corp.
- Johnson, D.E., Lee, P.G. and Wilman, D. 1991. Experiments with upland rice in southern Belize: fertilizer application, weed control, plant spacing, sowing rate and variety. J. Agric. Sci. Camb. 116: 201-215.
- Jones, C.A. and Kiniry, J.R. 1986. CERES-Maize: A simulation model of maize growth and development. Texas A & M Univ. Press, College Station, 194 p.
- Jones, D.B., Peterson, M.L. and Geng, S. 1979. Association between grain filling rate and duration and yield components in rice. Crop Sci. 19: 641-643.
- Jones, J.W., Mishoe, J.W. and Boote, K.J. 1984. SOYGRO: Soybean crop growth model. In International symposium on minimum data sets for agrotechnology transfer. ICRISAT. Patancheru, India, pp. 83-94.
- Jun, P., Lingcang, Q. and Binwu, D. 1991. Study on the relationship between nitrogen and other minerals in rice. p. 233-238. In Simulation and Systems Analysis for Rice Production (SARP). Penning de Vries, F.W.T., van Laar, H.H. and Kropff, M.J. (Editors). Pudoc Wageningen, The Netherlands.
- Keating, B.A. and Wafula, B.M. 1992. Modelling the fully expanded area of maize leaves. Field Crops Res. 29: 163-176.

- Khan, M.R. and Vergara, B.S. 1982. Varietal difference in nitrogen uptake and utilization in deepwater rice cultivars. In Deepwater Rice Workshop. IRRI, Los Banos, Laguna, Philippines, pp. 315-326.
- Kiniry, J.R. 1994. Radiation-use efficiency and grain yield of maize competing with Jonson grass. *Agron. J.* 86: 554-557.
- Kiniry, J.R., Jones, C.A., O'Toole, J.C., Blanchet, R., Cabelguene, M., and Spanel, D.A. 1989. Radiation-use efficiency in biomass accumulation prior to grain-filling for five grain crop species. *Field Crops Res.* 20: 51-64.
- Kirby, E.L.M. 1988. Analysis of leaf, stem and ear growth in wheat from terminal spikelet stage to anthesis. *Field Crops Res.* 18: 127-140.
- Koesmarno, H.K. and Sedcole, J.R. 1993. A method for the analysis of barley kernel growth data from designed experiments. *J. Agric Sci. Camb.* 123: 25-33.
- Kropff, M.J., Cassman, K.G., van Laar, H.H. and Peng, S. 1993. Nitrogen and yield potential of irrigated rice. *Plant and Soil.* 155/156: 391-394.
- Lemaire, G. and Salette, J. 1984a. Relation entre dynamique de croissance et dynamique de prelevement d'azote pour un peuplement de graminees fourrageres. I. Etude de l'effet du milieu. *Agrono.* 4: 423-430.
- Lemaire, G. and Salette, J. 1984a. Relation entre dynamique de croissance et dynamique de prelevement d'azote pour un peuplement de graminees fourrageres. II. Etude de la variabilite entre genotypes. *Agrono.* 4: 431-436.
- Lemaire, G., Gastal, F., Cruz, P., Greenwood, D.J. and Draycott, A. 1990. Relationships between plant-N, plant mass and relative growth rate for C3 and C4 crops. First Congress of the European Society of Agronomy, Paris, 5-7 December 1990.
- Lencoff, J.H. and Loomis, R.S. 1986. Nitrogen influences on yield determination in maize. *Crop Sci.* 26: 1017-1022.
- Lieth, J.H., Reynolds, J.F. and Rogers, H.H. 1986. Estimation of leaf area of soybean under elevated carbon dioxide levels. *Field Crops Res.* 13: 193-203.
- Longnecker, N., Kirby, E.J.M. and Robson, A. 1993. Leaf emergence, tiller growth, and apical development of nitrogen-deficient spring wheat. *Crop Sci.* 33: 154-160.
- Loss, S.P., Kirby, E.J.M., Siddique, K.H.M. and Perry M.W. 1989. Grain growth and development of old and modern Australian wheat. *Field Crops Res.* 21: 131-146.

- Lynch, J. and White, J.W. 1992. Shoot nitrogen dynamics in tropical common bean. *Crop Sci.* 32: 392-397.
- Ma, L., Gardner, F.P. and Selamat, A. 1992. Estimation of leaf area from leaf and total mass measurements in peanut. *Crop Sci.* 32: 467-471.
- Maas, S.J. and Arkin, G.F. 1980. Sensitivity analysis of SORGF, a grain sorghum model. *Trans. ASAE.* 23: 671-675.
- Maddonni, G.A. and Otegui, M.E. 1996. Leaf area, light interception, and crop development in maize. *Field Crops Res.* 48:81-87.
- Makarim, A.K., Hidayat, A. and ten Berge, H.F.M. 1991. Dynamics of soil ammonium, crop nitrogen uptake and dry matter production in lowland rice. p. 214-228. In *Simulation and Systems Analysis for Rice Production (SARP)*. Penning de Vries, F.W.T., van Laar, H.H. and Kropff, M.J. (Editors). Pudoc Wageningen, The Netherlands.
- Masle-Meynard, J. 1980. L'élaboration du nombre d'épis chez le blé d'hiver. Influence de différentes caractéristiques de la structure du peuplement sur l'utilisation de l'azote et de la lumière. These DDI, INA-PG, 274p.
- Matsushima, S. 1975. *Crop Science in Rice. Theory of yield determination and its application*. Fuji Publishing Co. Ltd., Tokyo, Japan, 365p.
- Matthews, R.B. and Hunt, R.B. 1994. GUMCAS: A model describing the growth of cassava (*Manihot esculenta* L. Crantz) *Field Crops Res.* 36: 69-84.
- Metzger, D.D., Czaplewski, S.J. and Rasmusson, D.C. 1984. Grain filling duration and yield in spring barley. *Crop Sci.* 24: 1101-1105.
- Meynard, M. 1985. Construction d'itinéraires techniques pour la conduite du blé d'hiver. These DDI, INA-PG, 297p.
- Meynard, J.M. 1987. L'analyse de l'élaboration du rendement sur les essais de fertilisation azotée. *Pers. Agric.* 115: 76-83.
- Meynard, J.M. and Limaux, F. 1987. Prévision des rendements et conduite de la fertilisation azotée. Cas du blé d'hiver. *C.R. Acad. Agric. Fr.* 73: 117-132.
- Mikkelsen, D.S. 1987. Nitrogen budgets in flooded soils used for rice production. *Plant and Soil* 100: 71-97.
- Miller, B.C., Foin, T.C. and Hill, J.E. 1993. CARICE: A model for scheduling and evaluating management actions. *Agron. J.* 85: 938-947.

- Milroy, S.P. and Goyne, P.J. 1995. Leaf area development in barley: Model construction and response to soil moisture stratus. *Aust. J. Agric. Res.* 46: 845-860.
- Mishra, B. 1991. Simulation of nitrogen nutrition and growth of rice. p. 229-232. In *Simulation and Systems Analysis for Rice Production (SARP)*. Penning de Vries, F.W.T., van Laar, H.H. and Kropff, M.J. (Editors). Pudoc Wageningen, The Netherlands.
- Moot, D.J., Jamieson, P.D., Henderson, A.L., Ford, M.A. and Poter, J.R. 1996. Rate of change in harvest index during grain-filling of wheat. *J. Agric. Sci. Camb.* 126: 387-395.
- Mostafavi, M.R. and Cross, H.Z. 1990. Defoliation effects on grain filling of *R-nj* color-selected maize strains. *Crop Sci.* 30: 385-362.
- Mou, B., Kronstad, W.E. and Saulescu, N.N. 1994. Grain filling parameters and protein content in selected winter wheat populations: II. Associations. *Crop Sci.* 34: 838-841.
- Muchow, R.C. 1988. Effect on nitrogen supply on the comparative productivity of maize and sorghum in a semi-arid tropical environment. I. Leaf growth and leaf nitrogen. *Field Crops Res.* 18: 1-16.
- Muchow, R.C. 1990a. Effect of high temperature on grain-growth in field-grown maize. *Field Crops Res.* 23: 145-158.
- Muchow, R.C. 1990b. Effect of high temperature on the rate and duration of grain-growth in field-grown *Sorghum bicolor* (L.) Moench. *Aust. J. Agric. Res.* 41: 329-337.
- Muchow, R.C. and Davis, R. 1988. Effect of nitrogen supply on the comparative productivity of maize and sorghum in a semi-arid tropical environment. II. Radiation interception and biomass accumulation. *Field Crops Res.* 18: 17-30.
- Muchow, R.C. and Sinclair, T.R. 1995. Effect of nitrogen supply on maize yield: II. Field and model analysis. *Agron. J.* 87: 642-648.
- Muchow, R.C., Sinclair, T.R. and Bennett, J.M. 1990. Temperature and solar radiation effects on potential maize yield across locations. *Agron. J.* 82: 338-343.
- Murata, Y. and Matsushima, S. 1975. Rice. In *Crop Physiology*. L.T. Evans (Editor). Cambridge Univ. Press, London, pp.73-99.
- Nanda, R., Bhargava, S.C. and Tomar, D.P.S. 1994. Rate and duration of siliqua and seed-filling period and their relation to seed yield in *Brassica* species. *Indian J. Agric. Sci.* 64: 227-232.

- Nanju, D. and De datta, S.K. 1970. Effect of time of harves and nitrogen level on yield and grain breakage in transplanted rice. Agron. J. 62: 468-474.
- Nass, H.G. and Reiser, B. 1975. Grain filling period and grain yield relationships in spring wheat. Can. J. Plant Sci. 55: 673-678.
- Navarro-Garza, H. 1984. L'analyse des composantes du rendement du maïs. Application à l'étude de la variability du rendement dans une petite région. These DDI, INA-PG, 238p.+ Annexes.
- Nemoto, K., Morita, S. and Baba, T. 1995. Shoot and root development in rice related to the phyllochron. Crop Sci. 35: 24-29.
- O'Leary, G.J., Connor, D.J. and White, D.H. 1985. A simulation model of the development, growth and yield of the wheat crop. Agric. Syst. 17: 1-26.
- Osaki, M., Shinano, T. and Tadano, T. 1991. Redistribution of carbon and nitrogen compounds from the shoot to the harvesting organs during maturation in field crops. Soil sci. Plant Nutr. 37: 117-128.
- Osaki, M., Matsumoto, M., Shinano, T. and Tanado, T. 1994. Parameters determining yield of field crops in relation to the amount of nitrogen absorbed. Soil Sci. Plant Nutr. 40: 19-28.
- Pararajasingham, P. and Hunt, L.A. 1995. Effects of photoperiod on leaf appearance rate and leaf dimentions in winter and spring weaths. Can. J. Plant Sci. 76: 43-50.
- Payne, W.A., Wendt, C.W., Hossner, L.R. and Gates, C.E. 1991. Estimating pearl millet leaf area and specific leaf area. Agron. J. 83: 937-941.
- Peng, S., Garcia, F.V., Laza, R.C., Sanico, A.L., Visperas, R.M. and cassman, K.G. 1996. Increased N-use efficiency using a chlorophyll meter on high-yielding irrigated rice. Field Crops Res. 47: 243-252.
- Persaud, N., Gandah, M., Ouattara, M. and Mokete, N. 1993. Estimating leaf area of pearl millet from linear measurements. Agron. J. 85: 10-12.
- Pigeaire, A. 1980. Contribution à l'analyse de l'élaboration du rendement du riz pluvial. ORSTOM, doc. mult. 99p.
- Pigeaire, A. 1984. Élaboration des composantes du rendement chez le soja de type indéterminé. These DDI, INA-Touse, 110p.
- Pilbeam, C.J. 1996. Variation in harvest index of maize (*Zea mays*) and common bean (*Phaseolus vulgaris*) grown in a marginal rainfall area of Kenya. J. Agric. Sci. Camb. 126: 1-6.

- Prihar, S.S. and Stewart, B.A. 1990. Using upper-bound slope through origin to estimate genetic harvest index. *Agron. J.* 82: 1160-1165.
- Prihar, S.S. and Stewart, B.A. 1991. Sorghum harvest index in relation to plant size, environment, and cultivar. *Agron. J.* 83: 603-608.
- Rahman, M.S. and Yoshida, S. 1985. Effect of water stress on grain filling in rice. *Soil Sci. Plant Nutr.* 31: 497-511.
- Ramos, J.M., Garcia del Moral, L.F. and Recalde, L. 1983. Dry matter and leaf area relationships in winter barley. *Agron. J.* 75: 308-310.
- Reddy, V.R., Acock, B., Baker, D.N. and Acock, M. 1989. Seasonal leaf area-leaf weight relationships in the cotton canopy. *Agron. J.* 81: 1-4.
- Reita, A. and Armbrust, D.V. 1995. Estimation of leaf and stem area in the wind erosion prediction system (WEPS). *Agron. J.* 87: 93-98.
- Rickman, R.W., Waldman, S.E. and Klepper, B. 1996. MODWht3: A development-driven wheat growth simulation. *Agron. J.* 88: 176-185.
- Ritchie, J.T. and Otter, S. 1989. Description and performance of CERES-Wheat: A user oriented wheat yield model. ARS Wheat Yield Project, Agricultural Research Service, p. 159-175.
- Ritchie, J.T., Alocilja, E.C., Singh, U. and Uehara, G. 1986. IBSNAT/CERES Rice model. *Agrotecnology Transfer.* 3:1-5.
- Rosenthal, W.D., Gerik, T.J. and Wade, L.J. 1993. Radiation-use efficiency among grain sorghum cultivars and plant densities. *Agron. J.* 85: 703-705.
- Salado-Navarro, L.R., Hinson, K. and Sinclair, T.R. 1985. Nitrogen partitioning and dry matter allocation in soybean with different seed protein concentration. *Crop Sci.* 25: 451-455.
- Sasahara, T. and Itoh, Y. 1989. Comparison of the effect of fertilizer application at and after the stage of panicle-base initiation on yield and yield components of semi-dwarf and standard rice cultivars. *Field Crops Res.* 20: 157-164.
- Sayed, H.T. and Ghadorah, H.O. 1984. Association of grain-filling characteristics with grain weight and senescence in wheat under warm dry condition. *Field Crops Res.* 9: 323-332.
- Schnier, H.F., Dingkuhn, M., De Datta, S.K., Mengel, K. Wijangco, E. and Javellana, C. 1990a. Nitrogen economy and canopy carbon dioxide assimilation of tropical lowland rice. *Agron. J.* 82: 451-459.

- Schnier, H.F., Dingkuhn, M., De Datta, S.K., Mengel, K. and Faronilo, J.E. 1990b. Nitrogen fertilization of direct-seeded flooded vs. transplanted rice: I. Nitrogen uptake, photosynthesis, growth, and yield. *Crop Sci.* 30: 1276-1284.
- Sebillotte, M. 1978. Itineraires techniques et evolution de la pensee agronomique. *C.R. Acad. agric. Fr.* 64: 906-914.
- Sebillotte, M. 1980. An analysis of yield elaboration in wheat. In *Wheat Technical Monograph*. CIBA-GEIGY, Bale, Switzerland, pp.25-32.
- Sebillotte, M. 1989. Approachs of the on-farm agronomist: Illustrated methodological considerations. Development Oriented Research on Agrarian Systems Project. Kasetsart Univ., Thailand, 36p.
- Senanayake, N., De Datta, S.K., Naylor, R.E.L. and Thompson, W.J. 1991. Lowland rice apical development: Stages and cultivar differences detected by electron microscopy. *Agron. J.* 83: 1013-1023.
- Senanayake, N., Naylor, R.E.L. and De Datta, S.K. 1996. Effect of nitrogen fertilization on rice spikelet differentiation and survival. *J. Agric. Sci. Camb.* 127: 303-309.
- Sharratt, B.S. and Baker, D.G. 1986. Alfalfa leaf area as a function of dry matter. *Crop Sci.* 26: 1040-1043.
- Shinano, T., Osaki, M. and Tadano, T. 1991. Effect of nitrogen application on reconstruction of nitrogen compounds during the maturation stage in several field crops. *Soil Sci. Plant Nutr.* 37: 259-270.
- Simane, B., Peacock, J.M. and struik, P.C. 1993. Differences in developmental plasticity and growth rate among drought-resistant and susceptible cultivars of durum weath (*Triticum turgidum* L. var. *durum*) *Plant and Soil* 157: 155-166.
- Simmons, S.R. and Crookston, R.K. 1979. Rate and duration of growth of kernels formed at specific florets in spikelets of spring wheat. *Crop Sci.* 19: 690-693.
- Sinclair, T.R. 1986. Water and nitrogen limitations in soybean grain production. I. Model development. *Field Crops Res.* 15: 125-141.
- Sinclair, T.R., Bennett, J.M. and Muchow, R.C. 1990. Relative sensitivity of grain yield and biomass accumulation to drought in field-grown maize. *Crop Sci.* 30: 690-693.
- Sinclair, T.R. and Amir, J. 1992. A model to assess nitrogen limitations on the growth and yield of spring wheat. *Field Crops Res.* 30: 63-78.

- Sinclair, T.R. and Horie, T. 1989. Leaf nitrogen, photosynthesis, and crop radiation use efficiency: A review. *Crop Sci.* 29: 90-98.
- Sinclair, T.R. and Muchow, R.C. 1995. Effect of nitrogen supply on maize yield: I. Modeling physiological responses. *Agron. J.* 87: 632-641.
- Sinclair, T.R. and Shiraiwa, T. 1993. Soybean radiation-use efficiency as influenced by nonuniform specific leaf nitrogen distribution and diffuse radiation. *Crop Sci.* 33: 808-812.
- Singh, P. and Virmani, S.M. 1996. Modeling growth and yield of chickpea (*Cicer arietinum* L.). *Field Crops Res.* 46: 41-59.
- Sofield, I., Evans, L.T. and Wardlaw, I.F. 1974. The effect of temperature and light on grain filling in wheat. In: *Mechanisms of Regulation of Plant Growth*. Bielecki, R.L., Ferguson, A.R. and Cresswell, M.M. (Editors) R. Soc. N.Z. Bull. 12: 909-915.
- Sofield, I., Evans, L.T., Crook, M.G. and Wardlaw, I.F. 1977. Factor influencing the rate and duration of grain filling in wheat. *Aust. J. Plant Physiol.* 4: 785-797.
- Spaeth, S.C. and Sinclair, T.R. 1985. Linear increase in soybean harvest index during seed-filling. *Agron. J.* 77: 207-211.
- Stone, P.J. and Nicolas, M.E. 1995. Effect of timing of heat stress duration grain filling on two wheat varieties differing in heat tolerance. I. Grain growth. *Aust. J. Plant Physiol.* 22: 927-934.
- Stone, P.J., Savin, R., Wardlaw, I.F. and Nicolas, M.E. 1995. The influence of recovery temperature on the effects of a brief heat shock on wheat. I. Grain growth. *Aust. J. Plant Physiol.* 22: 945-954.
- Stutte, C.A. and da Silva, P.R.F. 1981. Nitrogen volatilization from rice leaves. I. Effects of genotype and air temperature. *Crop Sci.* 21: 596-600.
- Tashiro, T. and Wardlaw, I.F. 1989. A comparison of the effect of high temperature on grain development in wheat and rice. *Ann. Bot.* 64: 59-65.
- Tirol-Padre, A., Ladha, J.K., Singh, U., Laureles, E., Punzalan, G. and Akita, S. 1996. Grain yield performance of rice genotypes at suboptimal levels of soil N as affected by N uptake and utilization efficiency. *Field Crops Res.* 46: 127-143.
- Tribol, E. 1990. Modele d'élaboration du poids du grain chez le blé tendre (*Triticum aestivum* em Thell). *Agronomie*. 10: 191-200.

- Uhart, S.A. and Andrade, F.H. 1995. Nitrogen deficiency in maize: I. Effects on crop growth, development, dry matter partitioning, and kernel set. *Crop Sci.* 35: 1376-1383.
- van Duivenbooden, N. de Wit, C.T. and van Keulen, H. 1996. Nitrogen, phosphorus and potassium relations in five major cereals reviewed in respect to fertilizer recommendations using simulation modelling. *Fer. Res.* 44: 37-49.
- van Keulen, H. 1991. Interaction of water and nitrogen in crop production: a simulation approach. p. 176-194. In *Simulation and Systems Analysis for Rice Production (SARP)*. Penning de Vries, F.W.T., van Laar, H.H. and Kropff, M.J. (Editors). Pudoc Wageningen, The Netherlands.
- van Oosterom, E.J. and Acevedo, E. 1993. Leaf area and crop growth in relation to phenology of barley in Mediterranean environments. *Plant and Soil.* 148: 223-237.
- van Sanford, D.A. 1985. Variation in kernel growth Characters among soft red winter wheats. *Crop Sci.* 25: 626-630.
- Watiki, J.M., Fukai, S., Banda, J.A. and Keating, B.a. 1993. Radiation interception and growth of maize/cowpea intercrop as affected by maize plant density and cowpea cultivar. *Field Crops Res.* 35: 123-133.
- Weir, A.H., Bragg, P.L., Porter, J.R. and Rayner, J.H. 1984. A winter wheat crop simulation model without water or nutrient limitations. *J. Agric. Sci. Camb.* 102: 371-382.
- Whisler, F.D., Acock, B., Baker, D.N., Fye, R.E. Hodges, H.F., Lambert, J.R., Lemmon, H.E., McKinion, J.M. and Reddy, V.R. 1986. Crop simulation models in agronomic system. *Adv. Agron.* 40: 141-208.
- Wiegand, C.L. and Cuellar, J.A. 1981. Duration of grain filling and kernel weight of wheat as affected by temperature. *Crop Sci.* 21: 95-101.
- Wilhelm, W.W. and McMaster, G.S. 1995. Importance of the phyllochron in studying development and growth in grasses. *Crop Sci.* 35: 1-3.
- Wilkerson, G.G., Jones, J.W., Boote, K.J., Ingram, K.T. and Mishoe, J.W. 1983. Modeling soybean growth for crop management. *Tran. ASAE.* 26: 63-73.
- Willey, R.W. and Heath, S.B. 1969. The quantitative relationships between plant population and crop yield. *Adv. agron.* 21: 281-321.

- Williams, J.R., Jones, C.A. and Dyke, P.T. 1984. The EPIC model and its application. In International symposium on minimum data sets for agrotechnology transfer. p. 111-121. ICRISAT. Patancheru, India.
- Wong, L.S. and Baker, R.J. 1986. Developmental patterns in five spring wheat genotypes varying in time to maturity. *Crop Sci.* 26: 1167-1170.
- Ying, J., Peng, S., Yang, G., Zhou, N., Visperas, R.M. and Cassman, K.G. 1998. Comparison of high-yield rice in tropical and subtropical environments. II. Nitrogen accumulation and utilization efficiency. *Field Crops Res.* 57: 85-93.
- Yoshida, S and Hara, T. 1977. effect of air temperature and light on grain filling of an indica and a japonica rice (*Oryza sativa* L.) under controlled environmental conditions. *Soil Sci. Plant Nutr.* 23: 93-107.
- Yoshida, S. 1981. Fundamentals of Rice Crop Science. IIRR, Los Banos, Laguna, Philippines, 269p.

Appendix A. Soil properties.

(a) Pot experiment:

pH(1:1;soil:H ₂ O)	5.10
OM	3.25%
available P	20.04 mg kg ⁻¹
exchangeable K	0.42 cmol(+) kg ⁻¹
exchangeable Al	0.26 cmol(+) kg ⁻¹
CEC	9.80 cmol(+) kg ⁻¹
NH ₄ ⁺ -N	0.070 g kg ⁻¹
NO ₃ ⁻ -N	0.003 g kg ⁻¹

(b) Field experiment:

-Wet sown rice.

Plot No.	Soil depth (cm)	pH 1:1	NH ₄ ⁺ -N g kg ⁻¹	Avai-P mg kg ⁻¹	K	Ca	Mg	Na cmol(+) kg ⁻¹	Al	Acidily	%OM
1	0-15	5.34	0.016	15.10	0.05	3.06	0.29	0.08	0.05	0.10	1.83
	15-30	6.84	0.013	1.21	0.03	3.67	0.45	0.07	0.01	0.02	0.40
2	0-15	5.19	0.041	10.57	0.05	3.75	0.18	0.03	0.34	0.45	2.72
	15-30	5.60	0.021	2.64	0.02	3.50	0.08	0.01	0.10	0.16	1.12
3	0-15	5.31	0.027	5.22	0.04	3.70	0.16	0.05	0.12	0.34	2.43
	15-30	5.68	0.045	1.83	0.03	3.94	0.13	0.08	0.07	0.12	1.31
4	0-15	5.96	0.022	8.81	0.03	2.65	0.09	0.04	0.06	0.03	1.55
	15-30	5.97	0.035	1.24	0.02	2.16	0.02	0.02	0.06	0.03	0.83
5	0-15	5.07	0.025	3.45	0.07	3.89	0.28	0.04	0.39	0.57	2.50
	15-30	4.97	0.016	1.85	0.03	2.02	0.18	0.03	1.28	1.51	1.37
6	0-15	4.88	0.012	3.99	0.05	3.22	0.25	0.05	0.82	1.01	2.24
	15-30	4.97	0.007	1.45	0.03	2.02	0.20	0.04	0.79	1.12	1.28

Appendix A. Soil properties (cont.).

(b) Field experiment:

-Transplanted rice.

Plot No	Soil depth (cm)	pH 1:1	NH ₄ ⁺ -N g kg ⁻¹	Aval-P mg kg ⁻¹	K ⁺	Ca cmol(+) kg ⁻¹	Mg cmol(+) kg ⁻¹	Na cmol(+) kg ⁻¹	Al	Acidity	%OM
1	0-15	5.41	0.017	8.17	0.05	2.47	0.41	0.03	0.13	0.23	1.55
	15-30	6.65	0.015	8.22	0.03	4.38	0.56	0.06	0.05	0.21	0.47
2	0-15	5.23	0.020	7.62	0.04	3.48	0.17	0.04	0.29	0.41	2.52
	15-30	6.18	0.017	1.96	0.03	4.05	0.09	0.10	0.04	0.09	0.97
3	0-15	5.32	0.047	3.95	0.05	3.99	0.20	0.04	0.22	0.41	3.21
	15-30	5.07	0.022	2.01	0.02	3.37	0.13	0.03	0.46	0.52	1.33
4	0-15	no data
	15-30	no data
5	0-15	5.14	0.033	3.15	0.06	3.53	0.23	0.05	0.30	0.46	3.07
	15-30	5.09	0.020	1.62	0.03	2.04	0.16	0.04	1.10	1.26	1.34
6	0-15	4.92	0.018	3.11	0.04	3.34	0.27	0.05	0.75	0.84	2.17
	15-30	4.93	0.007	1.37	0.03	2.04	0.17	0.05	1.33	1.90	1.30

Appendix B. Soil texture.

Plot No.	Soil depth (cm)	%Sand	%Silk	%Clay	Texture
1	0-15	70.50	15.33	14.17	sandy loam
	15-30	66.72	13.26	20.03	sandy clay loam
2	0-15	60.43	14.11	25.46	sandy clay loam
	15-30	63.38	11.11	25.51	sandy clay loam
3	0-15	53.48	16.89	29.62	sandy clay loam
	15-30	53.21	13.03	33.76	sandy clay loam
4	0-15	73.89	10.92	15.19	sandy loam
	15-30	70.99	9.46	19.56	sandy loam
5	0-15	51.75	16.99	31.26	sandy clay loam
	15-30	51.79	12.69	35.56	sandy clay
6	0-15	53.14	11.92	34.94	sandy clay loam
	15-30	41.17	16.27	42.57	clay

Appendix C. NH_4^+ -N at before the first N application and harvesting.

Plot No.	Soil depth (cm)	NH_4^+ -N (g kg^{-1})	
		Before the 1 st N application	Harvesting
(a) Wet sown rice:			
1	0-15	3.74	1.63
	15-30	3.21	1.76
2	0-15	1.15	2.78
	15-30	3.08	1.78
3	0-15	2.86	1.27
	15-30	3.29	1.88
4	0-15	2.15	1.29
	15-30	3.54	1.82
5	0-15	2.48	0.34
	15-30	1.56	0.61
6	0-15	2.54	0.71
	15-30	2.05	1.65
(b) Transplanted rice:			
1	0-15	2.12	0.86
	15-30	1.68	0.50
2	0-15	3.25	1.81
	15-30	2.56	2.57
3	0-15	4.72	1.48
	15-30	2.24	1.48
4	0-15	4.42	0.38
	15-30	3.01	0.36
5	0-15	3.30	1.40
	15-30	2.04	0.60
6	0-15	2.54	0.42
	15-30	4.10	0.39

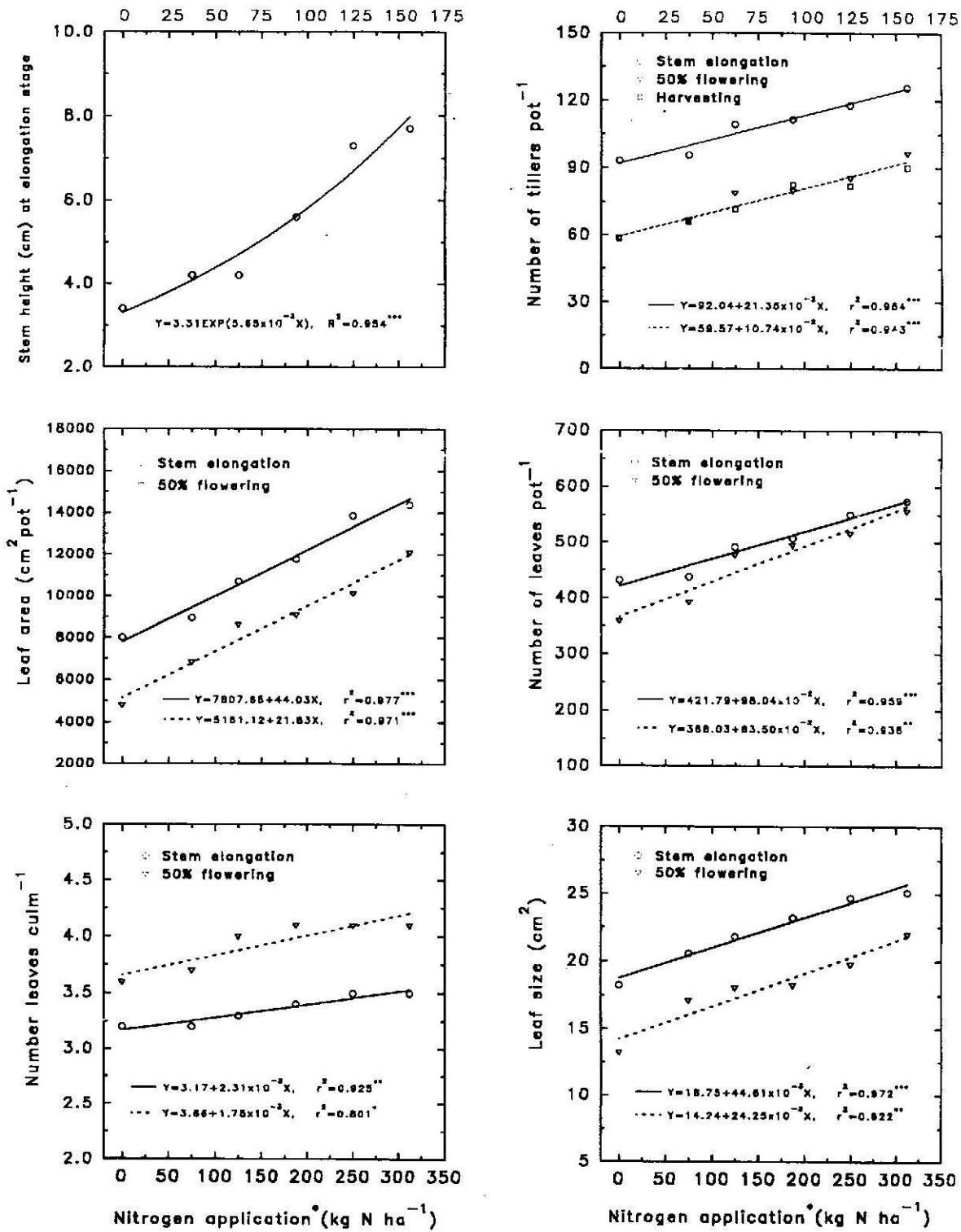
**Appendix D. Previous crop and cultural practices within farmer's field
(1995-96 wet season).**

Plot No.	Previous crop (dry season)	Number of plowing	Sowing date		Transplanting date	Harvesting date	
			WSR*	TPR**		WSR	TPR
1	non	2	27/09	21/09	20/10	13/02	13/02
2	rice	2	13/09	06/09	28/09	17/02	17/02
3	rice	2	29/09	01/09	02/10	13/02	18/01
4	non	3	05/09	30/08	05/10	17/02	30/01
5	non	2	14/09	31/08	20/09	23/01	17/01
6	non	2	27/09	10/09	07/10	13/02	30/01

* wet sown rice

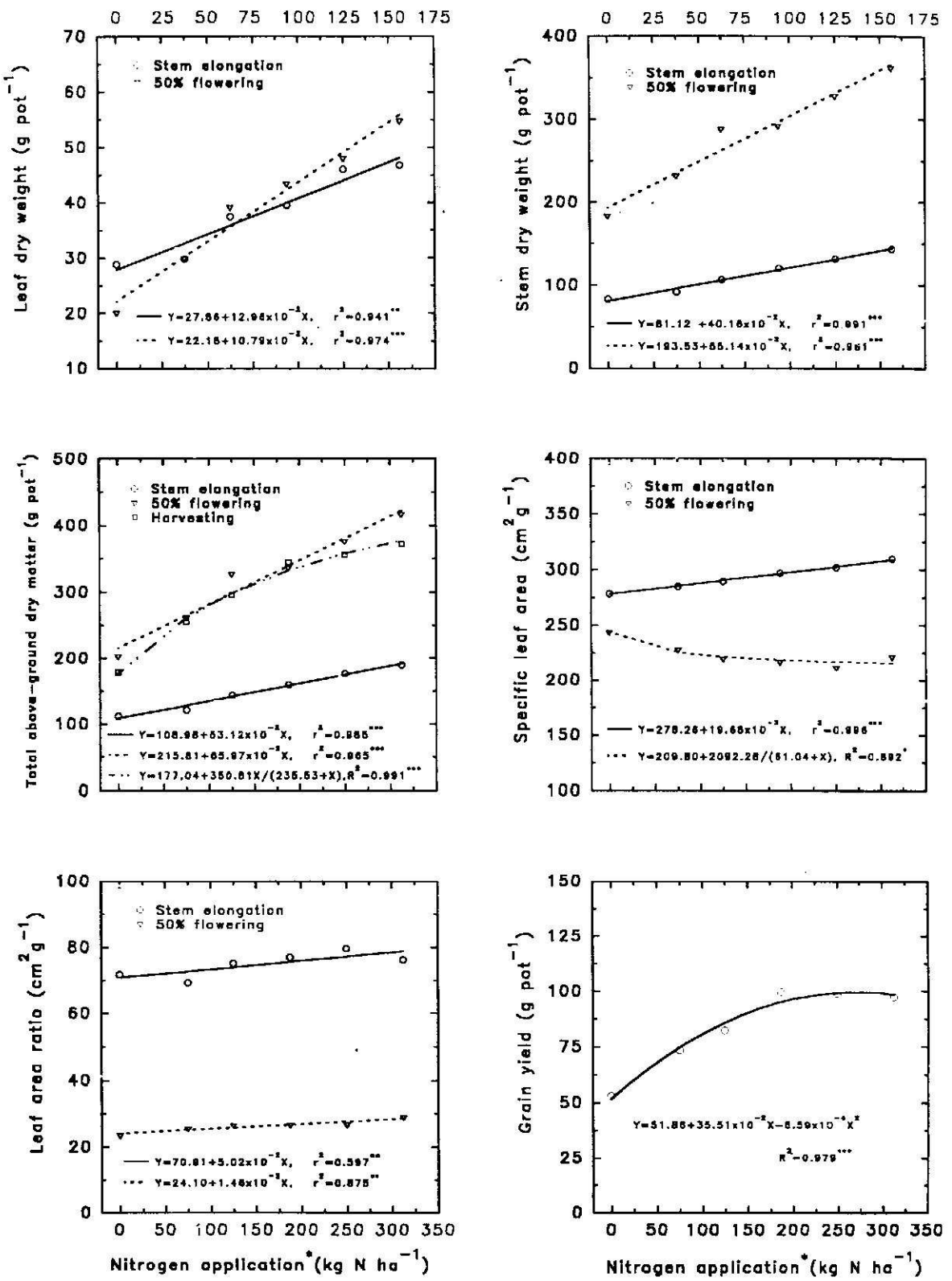
** transplanted rice

Appendix E. Responses of morphological and physiological traits to nitrogen application rates for pot experiment.



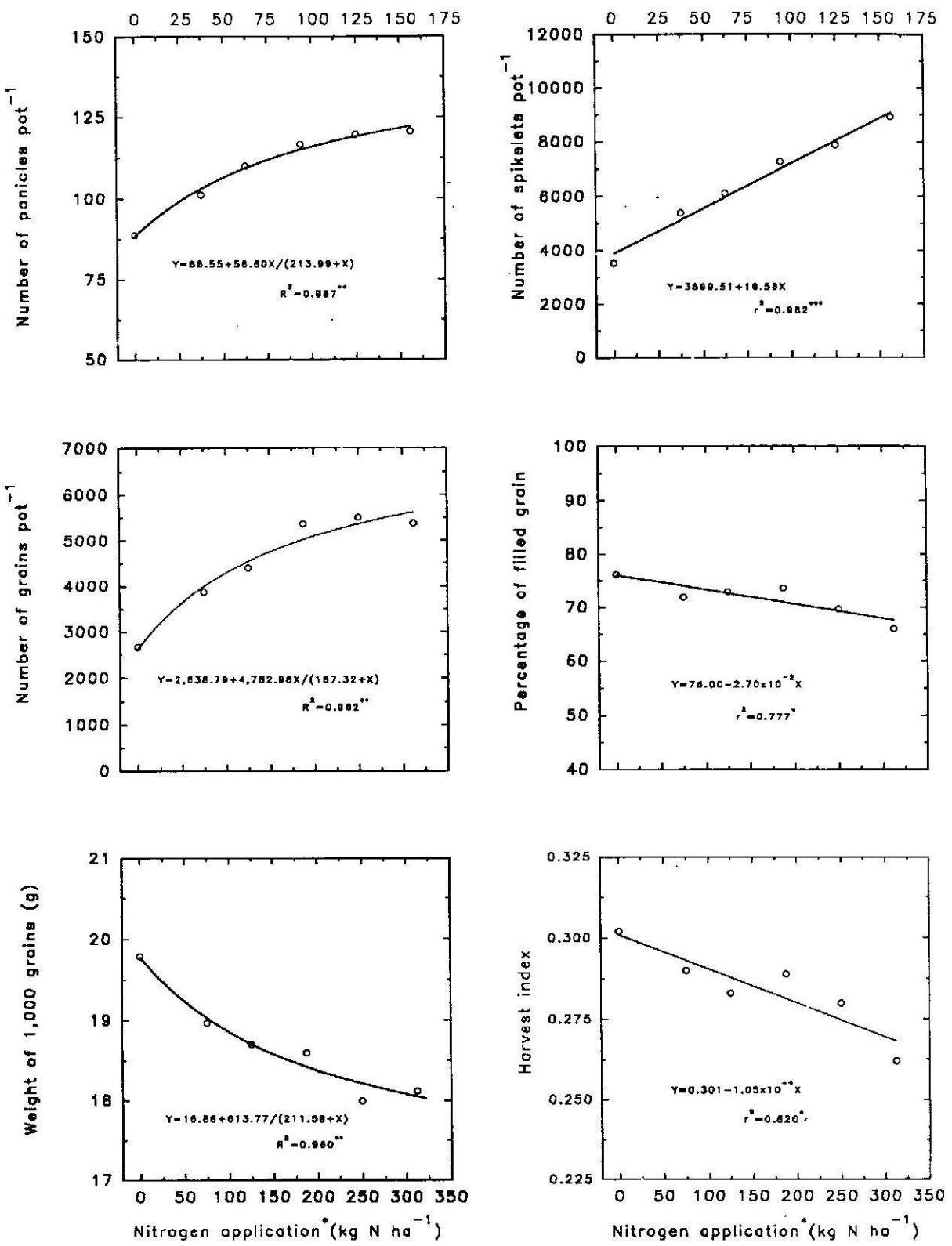
* At stem elongation (above x-axis): N1=37.5, N2=62.5, N3=93.75, N4=125 and N5=156.25 kg N ha⁻¹.

At 50% flowering and harvesting (below x-axis): N1=75, N2=125, N3=187.5, N4=250 and N5=312.5 kg N ha⁻¹.



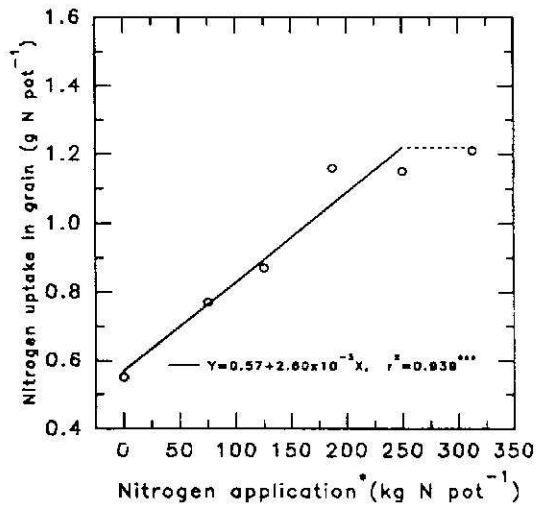
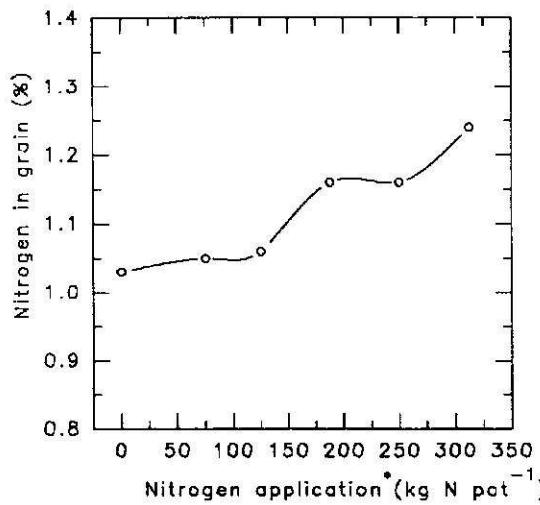
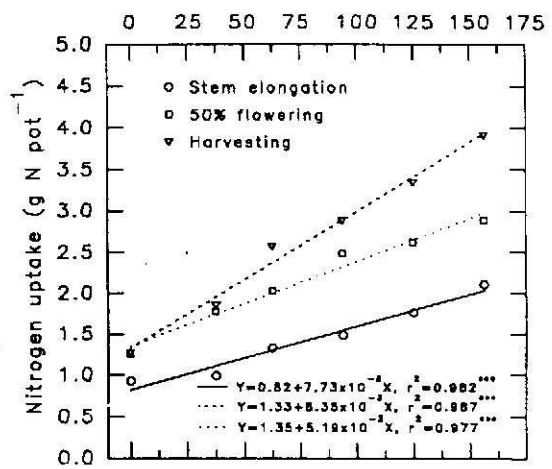
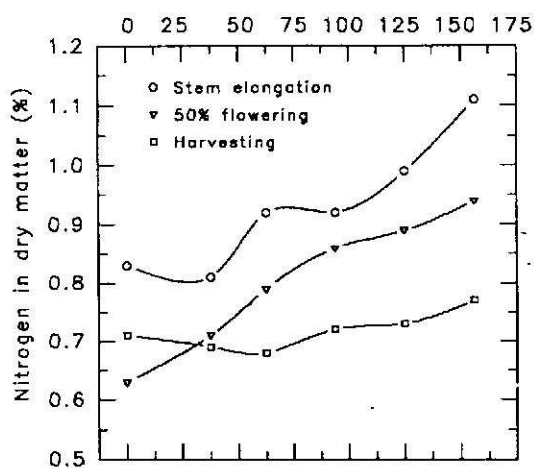
* At stem elongation (above x-axis): N1=37.5, N2=62.5, N3=93.75, N4=125 and N5=156.25 kg N ha⁻¹.

At 50% flowering and harvesting (below x-axis): N1=75, N2=125, N3=187.5, N4=250 and N5=312.5 kg N ha⁻¹.



*At stem elongation (above x-axis): N1=37.5, N2=62.5, N3=93.75, N4=125 and N5=156.25 kg N ha^{-1} .

At 50% flowering and harvesting (below x-axis): N1=75, N2=125, N3=187.5, N4=250 and N5=312.5 kg N ha^{-1} .



*At stem elongation (above x-axis): N1=37.5, N2=62.5, N3=93.75, N4=125 and N5=156.25 kg N ha⁻¹.

At 50% flowering and harvesting (below x-axis): N1=75, N2=125, N3=187.5, N4=250 and N5=312.5 kg N ha⁻¹.